



TUGAS AKHIR TERAPAN - RC 096599

**DESAIN GEOMETRIK, STRUKTUR, BESERTA  
METODE PELAKSANAAN PEMBANGUNAN  
JALUR REL GANDA (*DOUBLE TRACK*)  
TRASE BANYUWANGI BARU - KALIBARU,  
KAB. BANYUWANGI**

DWIKI PRATAMA PUTRA  
NRP. 3113 041 027

Dosen Pembimbing 1  
Ir. CHOMAEDHI, CES.Geo  
NIP. 19550319 198403 1 001

Dosen Pembimbing 2  
AMALIA FIRDAUS MAWARDI, ST., MT  
NIP. 19770218 200501 2 002

**PROGRAM STUDI DIPLOMA EMPAT TEKNIK SIPIL  
DEPARTEMEN TEKNIK INFRASTRUKTUR SIPIL  
FAKULTAS VOKASI  
INSTITUT TEKNOLOGI SEPULUH NOPEMBER  
SURABAYA 2017**



**TUGAS AKHIR TERAPAN - RC 096599**

**DESAIN GEOMETRIK, STRUKTUR, BESERTA  
METODE PELAKSANAAN PEMBANGUNAN  
JALUR REL GANDA (*DOUBLE TRACK*)  
TRASE BANYUWANGI BARU - KALIBARU,  
KAB. BANYUWANGI**

**DWIKI PRATAMA PUTRA  
NRP. 3113 041 027**

**Dosen Pembimbing 1  
Ir. CHOMAEDHI, CES.GEO  
NIP. 19550319 198403 1 001**

**Dosen Pembimbing 2  
AMALIA FIRDAUS MAWARDI, ST., MT  
NIP. 19770218 200501 2 002**

**PROGRAM STUDI DIPLOMA EMPAT TEKNIK SIPIL  
DEPARTEMEN TEKNIK INFRASTRUKTUR SIPIL  
FAKULTAS VOKASI  
INSTITUT TEKNOLOGI SEPULUH NOPEMBER  
SURABAYA 2017**



**APPLIED FINAL ASSIGNMENT - RC 096599**

**GEOMETRIC DESIGN, STRUCTURE, WITH  
METHOD OF IMPLEMENTATION DOUBLE  
TRACK RAILWAY TRACE BANYUWANGI BARU  
- KALIBARU, KAB. BANYUWANGI**

**DWIKI PRATAMA PUTRA  
NRP. 3113 041 027**

**Counsellor Lecturer 1  
Ir. CHOMAEDHI, CES.GEO  
NIP. 19550319 198403 1 001**

**Counsellor Lecturer 2  
AMALIA FIRDAUS MAWARDI, ST., MT  
NIP. 19770218 200501 2 002**

**DIPLOMA IV CIVIL ENGINEERING STUDY PROGRAM  
DEPARTEMENT OF CIVIL INFRASTRUCTURE ENGINEERING  
FACULTY OF VOCATIONAL  
INSTITUT TEKNOLOGI SEPULUH NOPEMBER  
SURABAYA 2017**

## LEMBAR PENGESAHAN

### DESAIN GEOMETRIK, STRUKTUR, BESERTA METODE PELAKSANAAN PEMBANGUNAN JALUR REL GANDA (*DOUBLE TRACK*) TRASE BANYUWANGI BARU – KALIBARU, KAB. BANYUWANGI

Diajukan Untuk Memenuhi Salah Satu Syarat Memperoleh  
Gelar Sarjana Sains Terapan  
Pada  
Program Studi Diploma IV Teknik Sipil  
Departemen Teknik Infrastruktur Sipil  
Fakultas Vokasi  
Institut Teknologi Sepuluh Nopember Surabaya

Surabaya, 27 Juli 2017  
Disusun Oleh :

MAHASISWA

DWIKI PRATAMA PUTRA

NRP. 3113 041 027

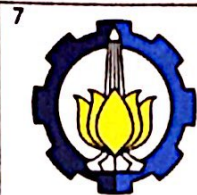
Disetujui Oleh :

27 JUL 2017

DOSEN PEMBIMBING I

DOSEN PEMBIMBING II

IR. CHOMAEDHI, CES.GEO. AMALIA FIRDAUS MAWARDI, ST., MT.  
NIP. 19550319 198403 1 001 NIP. 19770218 200501 2 002



**BERITA ACARA**  
**TUGAS AKHIR TERAPAN**  
**PROGRAM STUDI DIPLOMA EMPAT TEKNIK SIPIL**  
**DEPARTEMEN TEKNIK INFRASTRUKTUR SIPIL**  
**FAKULTAS VOKASI ITS**

No. Agenda :  
 037713/IT2.VI.8.1/PP.06.00/2017

Tanggal : 7/11/2017

Judul Tugas Akhir Terapan	Desain Geometrik, Struktur, Beserta Metode Pelaksanaan <del>Perencanaan</del> Jalur Rel Ganda (Double Track) Trase Banyuwangi Baru - Kalibaru, Kab. Banyuwangi		
Nama Mahasiswa	Dwiki Pratama Putra	NRP	3113041027
Dosen Pembimbing 1	Ir. Chomaedhi, CES.Geo. NIP 19550319 198403 1 001	Tanda tangan	
Dosen Pembimbing 2	Amalia Firdaus M, ST. MT. NIP 19770218 200501 2 002	Tanda tangan	

URAIAN REVISI	Dosen Penguji
1. Revisi Judul : 'Perencanaan' diganti pembangunan" 2. Kontrol tetek ginding penahan	 Ir. Achmad Faiz Hadi P, MS. NIP 19630310 198903 1 004
1. Posisi ujung tiang bantang sepanjang selatan dataran (Bor Log yg ada) 2. Kontrol stabilitas ginding penahan tanah cilengkapi M/W (perbaiknya kur saku)	 Ir. Djoko Sulistiono, MT. NIP 19541002 198512 1 001
.....	-
.....	NIP -
.....	-
.....	NIP -

PERSETUJUAN HASIL REVISI			
Dosen Penguji 1	Dosen Penguji 2	Dosen Penguji 3	Dosen Penguji 4
Ir. Achmad Faiz Hadi P, MS. NIP 19630310 198903 1 004	Ir. Djoko Sulistiono, MT. NIP 19541002 198512 1 001	NIP -	NIP -

Persetujuan Dosen Pembimbing Untuk Penjilidkan Buku Laporan Tugas Akhir Terapan	Dosen Pembimbing 1	Dosen Pembimbing 2
	Ir. Chomaedhi, CES.Geo. NIP 19550319 198403 1 001	Amalia Firdaus M, ST. MT. NIP 19770218 200501 2 002



KEMENTERIAN RISET, TEKNOLOGI, DAN PENDIDIKAN TINGGI

INSTITUT TEKNOLOGI SEPULUH NOPEMBER

FAKULTAS VOKASI

DEPARTEMEN TEKNIK INFRASTRUKTUR SIPIL

Kampus ITS , Jl. Menur 127 Surabaya 60116

Telp. 031-5947637 Fax. 031-5938025

<http://www.diplomasipil-its.ac.id>

## ASISTENSI TUGAS AKHIR TERAPAN

**Nama****NRP****Judul Tugas Akhir****Dosen Pembimbing**

: 1 DWIKI PRATAMA PUTRA 2

: 1 3113 041027 2

: DESAIN GEOMETRIK, STRUKTUR, BESERTA METODE PELAKSANAAN  
PEDENCANAAN JALUR REL SAWA (DOUBLE TRACK) TRASE  
BANYUWANGI BARU - KALIBARU, KAB. BANYUWANGI

: Ir. Chomaedhi, CES. Geo

No	Tanggal	Tugas / Materi yang dibahas	Tanda tangan	Keterangan
1	16 - 02 - 2017	- Gambar di detalkan lagi. - Lengkapi drg skets/Gbr p2p. Setiap per hit .		<input type="checkbox"/> <input type="checkbox"/> <input type="checkbox"/>
2	27 - 02 - 2017	- Kontrol retak pada dinding penahan tanah.		<input type="checkbox"/> <input type="checkbox"/> <input type="checkbox"/>
3	30 - 03 - 2017	- Menghitung bangunan bawah jembatan kereta api		<input type="checkbox"/> <input type="checkbox"/> <input type="checkbox"/>
4	23 - 05 - 2017	Hitung ukang tekanan tanah menggunakan ka gempa		<input type="checkbox"/> <input type="checkbox"/> <input type="checkbox"/>
				<input type="checkbox"/> <input type="checkbox"/> <input type="checkbox"/>
				<input type="checkbox"/> <input type="checkbox"/> <input type="checkbox"/>
				<input type="checkbox"/> <input type="checkbox"/> <input type="checkbox"/>
				<input type="checkbox"/> <input type="checkbox"/> <input type="checkbox"/>
				<input type="checkbox"/> <input type="checkbox"/> <input type="checkbox"/>
				<input type="checkbox"/> <input type="checkbox"/> <input type="checkbox"/>

**Ket.**

B = Lebih cepat dari jadwal

C = Sesuai dengan jadwal

K = Terlambat dari jadwal



KEMENTERIAN RISET, TEKNOLOGI, DAN PENDIDIKAN TINGGI

INSTITUT TEKNOLOGI SEPULUH NOPEMBER

FAKULTAS VOKASI

DEPARTEMEN TEKNIK INFRASTRUKTUR SIPIL

Kampus ITS , Jl. Menur 127 Surabaya 60116

Telp. 031-5947637 Fax. 031-5938025

<http://www.diplomasipil-its.ac.id>

## ASISTENSI TUGAS AKHIR TERAPAN

**Nama** : 1 DWIKI PRATAMA PUTRA **2**  
**NRP** : 1 34 3041027 **2**  
**Judul Tugas Akhir** : DESAIN GEOMETRIK, STRUKTUR, BESERTA METODE PELAKUANAI  
PERENCANAAN JALUR REL GANDA (DOUBLE TRACK) TRASE  
BANYUWANGI BARU - KALIBARU, KAB. BANYUWANGI  
**Dosen Pembimbing** : Amalia Firdaus Mawardi, ST., MT.

No	Tanggal	Tugas / Materi yang dibahas	Tanda tangan	Keterangan
1	7 Maret 2017	Kontrol $h_n$ dan $h_{max}$ harus sesuai dengan aturan, yaitu $h_n < h_{max}$	<i>Cholis</i>	<input type="checkbox"/> <input checked="" type="checkbox"/> <input type="checkbox"/> B C K
2	21 Maret 2017	Buat daftar isi yang terhitung dalam tabel, matikan urut dalam contoh perhitungan.	<i>Cholis</i>	<input type="checkbox"/> <input checked="" type="checkbox"/> <input type="checkbox"/> B C K
3	21 April 2017	- Gambar saluran memanjang secara keseluruhan - Narasi pada setiap gambar, tabel dan perhitungan.	<i>Cholis</i>	<input type="checkbox"/> <input checked="" type="checkbox"/> <input type="checkbox"/> B C K
4	26 April 2017	Potongan memanjang drainase	<i>Cholis</i>	<input type="checkbox"/> <input checked="" type="checkbox"/> <input type="checkbox"/> B C K
				<input type="checkbox"/> <input type="checkbox"/> <input type="checkbox"/> B C K
				<input type="checkbox"/> <input type="checkbox"/> <input type="checkbox"/> B C K
				<input type="checkbox"/> <input type="checkbox"/> <input type="checkbox"/> B C K
				<input type="checkbox"/> <input type="checkbox"/> <input type="checkbox"/> B C K
				<input type="checkbox"/> <input type="checkbox"/> <input type="checkbox"/> B C K

Ket.

- B = Lebih cepat dari jadwal  
C = Sesuai dengan jadwal  
K = Terlambat dari jadwal

**DESAIN GEOMETRIK, STRUKTUR, BESERTA  
METODE PELAKSANAAN PEMBANGUNAN JALUR REL  
GANDA (DOUBLE TRACK) TRASE BANYUWANGI BARU  
– KALIBARU, KAB. BANYUWANGI**

**Nama Mahasiswa : Dwiki Pratama Putra**  
**NRP : 3113 041 027**  
**Departemen : Teknik Infrastruktur Sipil**  
**Dosen Pembimbing 1 : Ir. Chomaedhi, CES.Geo**  
**Dosen Pembimbing 2 : Amalia Firdaus Mawardi, ST., MT.**

**ABSTRAK**

*Berdasarkan Rencana Induk Perkeretaapian Nasional (RIPNAS) Direktorat Jenderal Perkeretaapian Kementerian Perhubungan, April 2011, pada tahun 2030, terjadi peningkatan jumlah perjalanan orang menggunakan moda kereta api di Pulau Jawa yaitu sebesar 858,5 juta orang/tahun dan perjalanan barang di Pulau Jawa sebesar 534 juta ton/tahun sehingga akan mengakibatkan penumpukan perjalanan karena jalur kereta yang ada saat ini tidak dapat menampung volume perjalanan yang begitu besar. Oleh karena itu, pemerintah berencana untuk mengembangkan jaringan jalan rel di Jawa dengan program Double Track atau jalur ganda, antara lain pengembangan jalur tunggal menjadi jalur ganda lintas utara Jawa meliputi Jakarta – Surabaya hingga Banyuwangi agar dicapai pelayanan yang optimal.*

*Dalam Tugas Akhir ini dilakukan perencanaan double track pada ruas antara Stasiun Banyuwangi Baru dan Stasiun Kalibaru. Dimulai dari KM 18+484 hingga KM 37+390, trase jalur ganda direncanakan tetap mengacu pada trase eksisting dan dipertimbangkan pada kondisi tata guna lahan di kanan kiri jalur eksisting. Struktur atas ( rel, penambat, bantalan, wesel,*

*sambungan), struktur bawah (balas, sub-balas), pematusan jalan rel, bangunan pelengkap seperti jembatan hingga metode pelaksanaan direncanakan sesuai dengan Peraturan Menteri Perhubungan No. 60 Tahun 2012 Tentang Persyaratan Teknis Jalur Kereta Api.*

*Dari hasil perhitungan didapat penempatan trase jalur ganda sepanjang ± 51 km di sisi kanan dari arah Banyuwangi Baru ke Kalibaru dimana ketersediaan lahan terbuka lebih banyak dengan elevasi track baru setinggi elevasi track eksisting. Jalan rel didesain menggunakan jenis rel R.54 dengan lebar sepur 1067 mm, kecepatan rencana maksimum 100 km/jam, tebal balas 55 cm dan sub-balas 20 cm, menggunakan bantalan beton dengan jarak 60 cm dan jenis penambat pandrol elastis ganda, jembatan tipe rangka baja dengan bentang 30 meter dengan menggunakan tiang pancang sedalam 12 meter. Sehingga bisa dijadikan saran pembanding bagi Pemerintah Daerah dalam membangun jaringan jalan rel kedepannya.*

**Kata kunci : Trase Jalan Kereta Api, Desain Geometrik, Struktur Rel, Metode Pelaksanaan, Stabilitas Badan Jalan, Sistem Drainase, Jembatan Kereta**

**GEOMETRIC DESIGN, STRUCTURE, WITH  
IMPLEMENTATION METHOD OF DOUBLE TRACK  
RAILWAY TRACE BANYUWANGI BARU - KALIBARU,  
KAB. BANYUWANGI**

<b>Name</b>	<b>:</b> Dwiki Pratama Putra
<b>Registration number</b>	<b>:</b> 3113 041 027
<b>Departement</b>	<b>:</b> Civil Infrastructure Engineering
<b>Counsellor Lecturer 1</b>	<b>:</b> Ir. Chomaedhi, CES.Geo
<b>Counsellor Lecturer 2</b>	<b>:</b> Amalia Firdaus Mawardhi, ST., MT.

***ABSTRACT***

*Based on the National Railway Master Plan (RIPNAS) Directorate General of Railways Ministry of Transportation, April 2011, in 2030, there was an increase in the number of people traveling using railway mode in Java, which amounted to 858.5 million person / year and travel goods in Java amounted to 534 Million tonnes / year so that will lead to travel accumulation because the existing train line can not accommodate such a large travel volume. Therefore, the government plans to develop a railway network in Java with Double Track or double track program, among others the development of a single track into a double path across the north of Java covering Jakarta - Surabaya to Banyuwangi in order to achieve optimal service.*

*In this final project is done double track planning on segment between Banyuwangi Baru Station and Kalibaru Station. Starting from KM 18 + 484 to KM 37 + 390, the double track trajectory is planned to refer to the existing trace and be considered in the land use condition on the left-right of the existing route. Top structures (rails, hoists, bearings, drafts, connections), bottom structures (reply, sub-reply), railroads, auxiliary buildings*

*such as bridges to implementation methods are planned in accordance with Regulation of the Minister of Transportation. 60 Year 2012 About Railway Technical Requirements.*

*From the calculation results obtained placement of double track trace along ± 51 km on the right side of the direction of Banyuwangi Baru to Kalibaru where the availability of more open land with a new elevation track as high as the existing track elevation. The railway is designed using the R.54 rail type with 1067 mm rail width, maximum plan speed of 100 km / h, 55 cm thick and 20 cm subclasses, using concrete pads 60 cm and double elastic pandrol type, Steel frame with a span of 30 meters by using a pile as deep as 12 meters. So it can be used as a comparison suggestion for Local Government in building the rail road network in the future.*

**Keywords:** Railway Traffic, Geometric Design, Railway Structure, Implementation Method, Slope Stability, Drainage System, Railway Bridge

## **KATA PENGANTAR**

Puji Syukur kami panjatkan kepada Allah SWT atas berkah dan rahmatnya, penulis dapat menyelesaikan Tugas Akhir Terapan dengan judul “Desain Geometrik, Struktur, Beserta Metode Pelaksanaan Pembangunan Jalur Rel Ganda (*Double Track*) Trase Banyuwangi Baru – Kalibaru, Kab. Banyuwangi”. Penulis memilih judul tersebut agar bisa merencanakan jalur rel ganda mulai dari desain geometrik, struktur jalan rel, hingga metode pelaksanaannya.

Tersusunnya Proposal Tugas Akhir ini tidak lepas dukungan dan motivasi dari berbagai pihak. Ucapan terimakasih kami sampaikan kepada:

1. Kedua orang tua dan saudara-saudara kami tercinta, sebagai penyemangat terbesar bagi kami, yang telah banyak memberikan dukungan moril maupun materiil, serta do’anya.
2. Bapak Ir. Chomaedi, CES.Geo dan Ibu Amalia Firdaus Mawardi, ST., MT selaku dosen pembimbing yang telah banyak memberikan bimbingan, arahan dan motivasi dalam penyusunan tugas akhir terapan.
3. Teman-teman terdekat yang tidak bisa disebutkan satu persatu, terimakasih atas bantuan dan saran-saran yang telah diberikan selama proses penggerjaan tugas akhir terapan ini.

Penulis menyadari bahwa dalam penyusunan tugas akhir terapan ini masih banyak kekurangan, untuk itu penulis mengharapkan kritik dan saran yang membangun demi kesempurnaan tugas akhir terapan ini.

Akhir kata, semoga apa yang penulis sajikan dalam laporan ini dapat memberikan manfaat bagi pembaca, penulis dan semua pihak.

## **Penulis**

*“Halaman ini sengaja dikosongkan”*

## DAFTAR ISI

<b>ABSTRAK .....</b>	i
<b>ABSTRACT .....</b>	iii
<b>KATA PENGANTAR .....</b>	v
<b>DAFTAR ISI.....</b>	vii
<b>DAFTAR GAMBAR.....</b>	xiii
<b>DAFTAR TABEL.....</b>	xvii
<b>BAB I.....</b>	1
<b>PENDAHULUAN .....</b>	1
1.1     Latar Belakang .....	1
1.2     Rumusan Masalah .....	2
1.3     Tujuan .....	2
1.4     Batasan Masalah .....	2
1.5     Manfaat .....	3
1.6     Peta Lokasi.....	4
<b>BAB II .....</b>	5
<b>TINJAUAN PUSTAKA .....</b>	5
2.1     Geometrik Jalan Rel .....	5
2.1.1     Lengkung Vertikal.....	5
2.1.2     Lengkung Horizontal.....	6
2.2     Kriteria Jalan rel.....	8
2.2.1     Klasifikasi .....	8
2.2.2     Lebar Sepur .....	8
2.2.3     Peninggian Rel .....	9
2.2.4     Penampang Melintang .....	10
2.2.5     Kelandaian .....	11
2.3     Struktur Jalan Kereta Api.....	12
2.3.1     Tipe dan Karakteristik Penampang Rel .....	12

2.3.2	Jenis rel menurut panjangnya .....	13
2.3.3	Bantalan .....	13
2.3.4	Balas.....	14
2.3.5	Stabilisasi Badan Jalan .....	15
2.3.6	Sambungan Rel .....	15
2.3.7	Penambat.....	15
2.3.8	Wesel.....	16
2.3.9	Dinding Penahan Tanah .....	17
2.4	Bangunan Pelengkap Jalan Kereta Api .....	18
2.4.1	Sistem Drainase.....	18
2.4.2	Jembatan Kereta Api .....	19
2.5	Metode Pelaksanaan.....	21
2.5.1	Komponen Jalan Rel .....	21
2.5.2	Pemilihan Alat Berat .....	21
<b>BAB III.....</b>		<b>17</b>
<b>METODOLOGI.....</b>		<b>17</b>
3.1	Dasar dan Diagram Alir Perencanaan .....	17
3.2	Langkah – langkah Perencanaan .....	17
3.2.1	Pekerjaan Persiapan.....	17
3.2.2	Studi Literatur .....	17
3.2.3	Analisa Data .....	18
3.2.4	Pengolahan Data.....	19
3.3	Bagan Alir.....	21
<b>BAB IV .....</b>		<b>23</b>
<b>KONSTRUKSI JALAN KERETA API .....</b>		<b>23</b>
4.1	Perencanaan Geometrik Jalan Kereta Api .....	23
4.1.1	Perencanaan Lengkung Horizontal Trase Jalan KA .....	23
4.1.2	Perencanaan Lengkung Vertikal Trase Jalan KA .....	28

4.2	Perencanaan Struktur Rel Kereta Api.....	30
4.2.1	Penentuan Gaya Yang Bekerja Pada Rel .....	30
4.2.1.1	Gaya Vertikal .....	30
4.2.1.2	Gaya Horizontal .....	32
4.2.2	Penentuan Profil Rel.....	34
4.2.3	Penentuan Tipe Bantalan Beton .....	35
4.2.3.1	Data umum Bantalan .....	35
4.2.3.2	Pembebanan Pada Bantalan.....	36
4.2.4	Perencanaan Balas.....	40
4.2.4.1	Perhitungan Tebal Balas Dibawah 2 Bantalan.....	40
4.2.5	Stabilitas Badan Jalan Kereta Api .....	42
4.2.6	Perencanaan Sambungan .....	49
4.2.6.1	Penentuan Letak Lubang Baut.....	49
4.2.6.2	Gaya yang bekerja pada baut penyambung .....	49
4.2.6.3	Menentukan Lebar Cela Sambungan .....	51
4.2.7	Perencanaan Penambat .....	52
4.2.8	Penentuan Wesel Pada Emplasement .....	53
4.2.9	Perencanaan Dinding Penahan Tanah .....	54
4.2.9.1	Dimensi Dinding Penahan Tanah .....	54
4.2.9.2	Menghitung Berat Dinding Penahan Tanah.....	55
4.2.9.3	Menghitung Tekanan Tanah Aktif dan Pasif .....	56
4.2.9.4	Menghitung Stabilitas Dinding Penahan Tanah.....	57
<b>BAB V</b>	.....	65
<b>KONSTRUKSI BANGUNAN PELENGKAP .....</b>		65
5.1	Perencanaan Drainase Jalan Kereta Api .....	65
5.1.1	Curah Hujan Harian Maksimum .....	65
5.1.2	Perhitungan Parameter Statistik Data .....	66
5.1.3	Perhitungan Curah Hujan Rencana.....	67

5.1.4	Perhitungan Debit Air Rencana .....	67
5.1.5	Perhitungan Dimensi Saluran Rencana .....	69
5.2	Perencanaan Jembatan Kereta Api .....	75
5.2.1	Data Perencanaan Jembatan .....	75
5.2.2	Perencanaan Gelagar Memanjang .....	75
5.2.2.1	Pembebanan akibat beban mati .....	75
5.2.2.2	Pembebanan akibat beban hidup .....	76
5.2.2.3	Pembebanan akibat beban rem .....	77
5.2.2.4	Pembebanan akibat beban angin.....	77
5.2.3	Kombinasi pembebanan beban mati dan beban hidup.....	79
5.2.4	Kontrol Desain Gelagar Memanjang .....	79
5.2.4.1	Kontrol Lendutan .....	79
5.2.4.2	Kontrol Tegangan Geser.....	80
5.2.4.3	Kontrol Momen Lentur.....	81
5.2.5	Perencanaan Gelagar Melintang.....	81
5.2.6	Kontrol Desain Gelagar Melintang.....	82
5.2.6.1	Kontrol Lendutan .....	82
5.2.6.2	Kontrol Tegangan Geser.....	83
5.2.6.3	Kontrol Momen Lentur.....	84
5.2.7	Perencanaan Profil Rangka.....	84
5.2.7.1	Perencanaan Profil Rangka Diagonal .....	85
5.2.7.2	Perencanaan Profil Rangka Horizontal.....	86
5.2.8	Perencanaan Ikatan Angin.....	88
5.2.8.1	Perencanaan Ikatan Angin Bawah .....	88
5.2.8.2	Perencanaan Ikatan Angin Atas.....	90
5.2.9	Perencanaan Sambungan .....	91
5.2.10	Perencanaan Sambungan .....	93
5.2.10.1	Gelagar Memanjang Dengan Gelagar Melintang .....	93

5.2.10.2	Gelagar Melintang Dengan Rangka Batang .....	95
5.2.10.3	Rangka Batang Horizontal Bawah.....	97
5.2.10.4	Rangka Batang Horizontal Atas .....	99
5.2.10.5	Rangka Batang Diagonal .....	100
5.2.11	Perencanaan Elastomer.....	102
5.2.11.1	Data-Data : .....	102
5.2.11.2	Perhitungan Elastomer.....	102
5.2.11.2.1	Faktor Bentuk .....	102
5.2.11.2.2	Kontrol.....	103
5.2.11.2.3	Hasil.....	105
5.2.12	Perencanaan Abutment.....	106
5.2.12.1	Pembebanan Pada Abutment .....	106
5.2.12.2	Kombinasi Pembebanan .....	116
5.2.12.3	Kontrol Stabilitas Guling.....	119
5.2.12.4	Kontrol Stabilitas Geser .....	120
5.2.12.5	Pancang Abutment .....	122
5.2.12.6	Penulangan Abutment .....	131
<b>BAB VI</b>	.....	<b>145</b>
<b>METODE PELAKSANAAN</b> .....		<b>145</b>
6.1	Penjelasan Umum .....	145
6.2	Mobilisasi dan Demobilisasi .....	145
6.3	Pekerjaan Persiapan .....	145
6.4	Pekerjaan Tanah Dasar.....	146
6.4.1	Pekerjaan Galian .....	148
6.4.2	Pekerjaan Timbunan dan Pemadatan.....	151
6.5	Pekerjaan Lapis Dasar (Subgrade) .....	153
6.6	Pekerjaan Sub-balas .....	154
6.7	Pekerjaan Balas .....	156

6.8	Pemasangan Bantalan.....	158
6.9	Pemasangan Rel .....	159
6.10	Pemasangan Penambat Elastis.....	160
6.11	Plat Besi Penyambung.....	161
<b>BAB VII</b>	.....	<b>163</b>
<b>KESIMPULAN</b> .....		163
7.1	Kesimpulan .....	163
7.2	Saran .....	164
<b>DAFTAR PUSTAKA</b> .....		165
<b>LAMPIRAN</b> .....		167

## DAFTAR GAMBAR

Gambar 1. 1 Trase Eksisting Kereta Api di Kabupaten Banyuwangi.....	4
Gambar 2. 1 Lengkung Spiral-Circle-Spiral (SCS).....	7
Gambar 2. 2 Lebar Jalan Rel 1067 mm.....	8
Gambar 2. 3 Peninggian Elevasi Rel (h) Pada Lengkung Jalur Ganda .....	10
Gambar 2. 4 Penampang Melintang Jalan Rel Bagian Lurus.....	10
Gambar 2. 5 Penampang Melintang Jalan Rel Pada Bagian Lurus Jalur Ganda.....	11
Gambar 2. 6 Dump Truck.....	21
Gambar 2. 7 Tandem Roller .....	22
Gambar 2. 8 Vibro Roller.....	22
Gambar 2. 9 Excavator.....	23
Gambar 2. 10 Motor Grader .....	23
Gambar 2. 11 Bulldozer .....	24
Gambar 2. 12 Ballast Distributing and Profiling Machine .....	24
Gambar 4. 1 Skema Lengkung Horizontal .....	25
Gambar 4. 2 Skema Lengkung Vertikal .....	28
Gambar 4. 3 Gaya Vertikal.....	30
Gambar 4. 4 Lokomotif CC-203 .....	31
Gambar 4. 5 Gaya Horizontal.....	32
Gambar 4. 6 Bantalan Beton Tipe N-67 .....	36
Gambar 4. 7 Pot B-B Bantalan Beton Tipe N-67 .....	36
Gambar 4. 8 Pot A-A Bantalan Beton Tipe N-67 .....	36
Gambar 4. 9 Distribusi Momen Bantalan.....	36
Gambar 4. 10 Potongan Memanjang Bantalan N-67.....	37
Gambar 4. 11 Distribusi Tegangan Akibat Beban Gandar.....	40
Gambar 4. 12 Ruas Jalan Kereta Api KM 71+390.....	43

Gambar 4. 13 Sketsa Penampang Melintang KM 71+390 .....	43
Gambar 4. 14 Data Tanah Lapangan Terdekat.....	44
Gambar 4. 15 Pemodelan Beban Pada Plaxis 8.6.....	45
Gambar 4. 16 Hasil Analisa Tegangan Tanah Plaxis 8.6 .....	45
Gambar 4. 17 Hasil Analisa Displacement Plaxis 8.6.....	46
Gambar 4. 18 Safety Faktor Pada Program Geoslope .....	46
Gambar 4. 19 Pemodelan Beban Plaxis 8.6 Untuk Perbaikan Tanah .....	47
Gambar 4. 20 Hasil Analisa Tegangan Tanah Perbaikan Plaxis 8.6 .....	47
Gambar 4. 21 Hasil Analisa Displacement Tanah Perbaikan Plaxis 8.6 .....	48
Gambar 4. 22 Safety Faktor Pada Program Geoslope .....	48
Gambar 4. 23 Sambungan Pada Rel .....	50
Gambar 4. 24 Jalur Eksisting KM 12+580 – KM 12+680 .....	54
Gambar 4. 25 Rencana Dinding Penahan Tanah.....	54
Gambar 4. 26 Berat Sendiri Dinding Penahan Tanah .....	55
Gambar 4. 27 Tekanan Tanah Pada Dinding Penahan .....	56
Gambar 4. 28 Letak Titik O Pada Dinding Penahan .....	57
Gambar 4. 29 Tegangan Tanah Pada Dasar Dinding Penahan Tanah .....	62
Gambar 4. 30 Kekuatan Struktur Pada Tiap Potongan.....	63
 Gambar 5. 1 Catchment Area .....	67
Gambar 5. 2 Rencana Saluran Drainase .....	69
Gambar 5. 3 Beban Merata Akibat Beban Mati Gelagar Memanjang.....	76
Gambar 5. 4 Beban Merata Akibat Beban Hidup Gelagar Memanjang.....	76
Gambar 5. 5 Beban Angin Pada Jembatan Rangka.....	78
Gambar 5. 6 Beban Pada Gelagar Melintang .....	82
Gambar 5. 7 Frame Rangka Batang Pada SAP 2000 .....	84
Gambar 5. 8 Rencana Perletakan Elastomer .....	105

Gambar 5. 9 Desain Rencana Abutment Jembatan .....	106
Gambar 5. 10 Denah Rencana Konfigurasi Tiang Pancang Abutment.....	130
Gambar 6. 1 Struktur Pekerjaan Tanah .....	148
Gambar 6. 2 Perataan Tanah Dengan Buldozer .....	148
Gambar 6. 3 Motor Grader .....	149
Gambar 6. 4 Pemadatan Dengan Tandem Roller .....	149
Gambar 6. 5 Tes Uji Sandcone Lapangan .....	150
Gambar 6. 6 Pengangkutan Material Timbunan Dengan Dump Truck .....	151
Gambar 6. 7 Perataan Timbunan Dengan Motor Grader .....	152
Gambar 6. 8 Titik Pengambilan Sampel.....	153
Gambar 6. 9 Tumpukan Material Balas .....	157
Gambar 6. 10 Pengisian Balas Pada Rongga Bantalan .....	158
Gambar 6. 11 Ballast Distributing and Profiling Machine.....	158
Gambar 6. 12 Pemasangan Bantalan.....	159
Gambar 6. 13 Pengangkatan Rel .....	160
Gambar 6. 14 Pemasangan Rel.....	160
Gambar 6. 15 Komponen Pada Penambat Elastis .....	161
Gambar 6. 16 Sambungan Baut Pada Jalan Rel .....	162
Gambar 6. 17 Sambungan Las Termit.....	162

***“Halaman ini sengaja dikosongkan”***

## **DAFTAR TABEL**

Tabel 2. 1 Jari-jari min. Lengkung vertikal .....	5
Tabel 2. 2 Jari-Jari Minimum Yang Dijinkan .....	6
Tabel 2. 3 Klasifikasi Jalan Rel 1067 mm.....	8
Tabel 2. 4 Peninggian Jalan Rel 1067 mm .....	9
Tabel 2. 5 Penampang Melintang Jalan Rel .....	11
Tabel 2. 6 Pengelompokan Lintas Berdasarkan Pada Kelandaian .....	12
Tabel 2. 7 Landai Penentu Maksimum.....	12
Tabel 2. 8 Kelas Jalan dan Tipe Relnya .....	13
Tabel 4. 1 Perhitungan Lengkung Horizontal .....	26
Tabel 4. 2 Perhitungan Lengkung Vertikal .....	29
Tabel 4. 3 Penyelesaian Fungsi Trigonometri dan Hiperbolik ...	38
Tabel 4. 4 Penyelesaian Fungsi Trigonometri dan Hiperbolik....	39
Tabel 4. 5 Letak Wesel Pada Emplasemen .....	53
Tabel 4. 6 Momen Akibat Berat Sendiri Struktur Dinding Penahan Tanah .....	58
Tabel 4. 7 Momen Akibat Tekanan Tanah Aktif .....	58
Tabel 4. 8 Momen Akibat Tekanan Tanah Pasif.....	58
Tabel 5. 1 Data Curah Hujan Harian Maksimum Sta. Hujan Banyuwangi.....	65
Tabel 5. 2 Perhitungan Parameter Statistik Data.....	66
Tabel 5. 3 Perhitungan Drainase Jalan Kereta Api.....	71
Tabel 5. 4 Berat Sendiri Abutment.....	107
Tabel 5. 5 Kelas Situs.....	110
Tabel 5. 6 Faktor Amplifikasi Untuk Periode 0 Detik dan 02 Detik ( $F_{PGA}/F_a$ ).....	111
Tabel 5. 7 Tabel Nilai Faktor Amplifikasi Untuk Periode 1 Detik ( $F_y$ ) .....	112

Tabel 5. 8 Faktor Modifikasi Respons (R) Untuk Hubungan Antar Elemen Struktur.....	113
Tabel 5. 9 Faktor Modifikasi Respons (R) Untuk Bangunan Bawah.....	114
Tabel 5. 10 Momen Akibat Gempa .....	114
Tabel 5. 11 Beban Akibat Tekanan Tanah .....	116
Tabel 5. 12 Rekapitulasi Beban Tegangan Kerja Abutment .....	116
Tabel 5. 13 Kombinasi 1 Beban Tegangan Kerja Abutment.....	117
Tabel 5. 14 Kombinasi 2 Beban Tegangan Kerja Abutment.....	117
Tabel 5. 15 Kombinasi 3 Beban Tegangan Kerja Abutment.....	118
Tabel 5. 16 Kombinasi 4 Beban Tegangan Kerja Abutment.....	118
Tabel 5. 17 Rekapitulasi Kombinasi Pembebatan Tegangan Kerja Abutment.....	119
Tabel 5. 18 Kontrol Stabilitas Guling Arah X.....	119
Tabel 5. 19 Kontrol Stabilitas Guling Arah Y.....	120
Tabel 5. 20 Kontrol Stabilitas Geser Arah X .....	121
Tabel 5. 21 Kontrol Stabilitas Geser Arah Y .....	122
Tabel 5. 22 Rekapitulasi Kombinasi Pembebatan Tegangan Kerja .....	128
Tabel 5. 23 Repetisi Beban Diatas Tiang Pancang Kelompok Aabutment .....	129
Tabel 5. 24 Beban Layan Pilecap Abutment .....	131
Tabel 5. 25 Beban Ultimate Pilecap Abutment .....	131
Tabel 5. 26 Rekapitulasi Kombinasi Beban Ultimate Pilecap... <td>132</td>	132
Tabel 5. 27 Repetisi Beban Ultimate Diatas Ttiang Pancang Kelompok Abutment .....	132
Tabel 5. 28 Momen Akibat Tekanan Tanah Pada Stopper Abutment.....	139
Tabel 5. 29 Momen Akibat Gempa Pada Stopper Abutment ....	140
Tabel 5. 30 Beban Akibat Tekanan Tanah .....	141
Tabel 5. 31 Kombinasi Momen Ultimate Long Stopper .....	142

## **BAB I**

### **PENDAHULUAN**

#### **1.1 Latar Belakang**

Kabupaten Banyuwangi merupakan kabupaten terluas di Jawa Timur dengan luas wilayah  $5.782,40 \text{ km}^2$  dan memiliki jumlah penduduk mencapai 1.564.833 jiwa, akan tetapi belum memiliki prasarana transportasi yang optimal dan memadai. Angkutan penumpang dan barang yang berlebihan berpotensi merusak jalan raya dan menimbulkan kemacetan. Oleh karena itu dibutuhkan moda transportasi alternatif untuk membantu mengurangi beban jalan raya. Kereta Api merupakan moda transportasi darat berbasis jalan rel yang efisien dan efektif. Hal ini dibuktikan dengan daya angkutnya baik berupa manusia ataupun barang yang lebih besar dibandingkan dengan moda transportasi darat lainnya. Tetapi dengan jalur tunggal yang ada sekarang sering terjadi penundaan kereta yang menyebabkan keterlambatan kedatangan maupun keberangkatan kereta. Oleh karena itu, pemerintah berencana untuk mengembangkan jaringan jalan rel di Jawa dengan program *double track* atau jalur ganda Jakarta-Surabaya-Banyuwangi.

Pada tulisan ini, penulis akan mendesain perencanaan jalur ganda (*double track*) dari Stasiun Banyuwangi Baru KM 18+484 sampai Stasiun Kalibaru KM 37+390 di Kabupaten Banyuwangi sejauh  $\pm 51$  km. Dengan kondisi topografi yang bermacam-macam tentu perlu adanya kontrol terhadap stabilitas terhadap badan jalan dan dibuatkan dinding penahan tanah agar tidak terjadi longsoran serta perlu adanya jembatan penghubung ketikal rel melewati sungai. Kondisi rel eksisting digunakan oleh penulis sebagai dasar penentuan trase perencanaan dengan sedikit modifikasi pada geometrik baru dan struktur jalan rel tersebut sesuai dengan topografi wilayah. Dengan tujuan yaitu menjadikan jalur kereta api yang semula dengan sistem *single track* menjadi *double track*.

## 1.2 Rumusan Masalah

Berdasarkan latar belakang yang telah penulis uraikan tersebut di atas, maka permasalahan yang dapat dirumuskan pada Proyek Akhir ini adalah sebagai berikut :

1. Merencanakan geometrik jalan kereta api.
2. Merencanakan perhitungan struktur konstruksi jalan rel yang meliputi penentuan profil rel, tipe bantalan, tebal balas, perhitungan sambungan, pemilihan jenis penambat, dan penentuan letak wesel.
3. Menghitung stabilitas badan jalan dan dinding penahan tanah.
4. Merencanakan perhitungan struktur bangunan pelengkap yang meliputi jembatan dan drainase.
5. Menentukan metode pelaksanaan.

## 1.3 Tujuan

Dengan berlandaskan pada perumusan masalah, maka tujuan dari penulisan proyek akhir ini adalah sebagai berikut :

1. Mendapatkan geometrik jalan kereta api.
2. Mendapatkan perhitungan struktur konstruksi jalan rel.
3. Mendapatkan stabilitas badan jalan dan dinding penahan tanah.
4. Mendapatkan perhitungan struktur jembatan dan drainase.
5. Mendapatkan metode pelaksanaan.

## 1.4 Batasan Masalah

Batasan masalah dari Tugas Akhir ini adalah sebagai berikut :

1. Daerah perencanaan hanya di Kabupaten Banyuwangi, mulai dari Stasiun Banyuwangi Baru KM 18+484 sampai Stasiun Kalibaru KM 37+390.
2. Tidak membahas persinyalan dan infrastruktur kereta api lain (stasiun/emplasemen, dipo, rumah sinyal).
3. Tidak membahas perkiraan biaya.
4. Tidak menghitung galian dan timbunan.

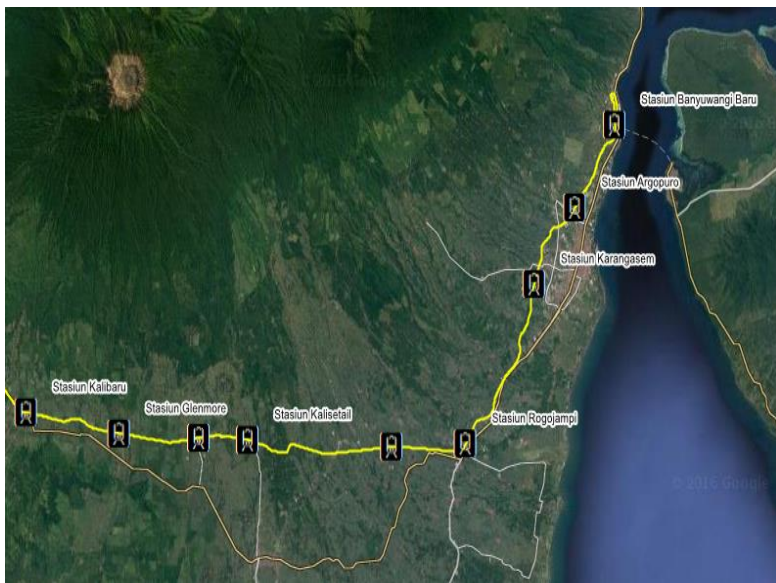
5. Hanya merencanakan satu jembatan kereta api.
6. Tidak membahas pembebasan lahan.

### **1.5 Manfaat**

Dalam penyusunan tugas akhir terapan ini, mahasiswa diharapkan mampu, kreatif, serta inovatif dalam menyusun tugas akhir terapan. Penyusunan tugas akhir ini bermanfaat bagi mahasiswa, institusi, serta instansi terkait. Dan diharapkan mahasiswa mampu merencanakan jalan kereta api baik dari gambar maupun perhitungan perencanaan dalam bentuk tugas akhir. Dari penyusunan tugas akhir ini manfaat yang dapat diambil

1. Untuk dijadikan sebagai proyek akhir yang menjadi syarat kelulusan dari Departemen Teknik Infrastruktur Sipil
2. Mahasiswa mampu mengaplikasikan keseluruhan ilmu yang telah diperoleh selama proses kuliah.
3. Mahasiswa mendapat ilmu tambahan dibidang teknik sipil, khususnya tentang konstruksi jalan rel.

## 1.6 Peta Lokasi



Gambar 1. 1 Trase Eksisting Kereta Api di Kabupaten Banyuwangi  
Sumber : Website GIS Banyuwangi

## **BAB II**

# **TINJAUAN PUSTAKA**

## 2.1 Geometrik Jalan Rel

Geometrik jalan direncanakan berdasarkan pada kecepatan rencana serta ukuran – ukuran kereta yang melewatinya dengan memperhatikan faktor keamanan, kenyamanan, ekonomi dan keserasian dengan lingkungan sekitar.

### 2.1.1 Lengkung Vertikal

Alinyemen vertikal adalah proyeksi sumbu jalan rel pada bidang vertikal yang melalui sumbu jaln rel tersebut. Alinyemen vertikal terdiri dari garis lurus, degan atau tanpa kelandaian, dan lengkung vertikal yang berupa busur lingkaran. Perhitungan lengkung vertikal dapat menggunakan persamaan :

Tabel 2. 1 Jari-jari min. Lengkung vertikal

Kecepatan Rencana (Km/Jam)	Jari-jari Minimum Lengkung Vertikal (Meter)
Lebih besar dari 100	8000
Sampai 100	6000

Sumber : Peraturan Menteri Perhubungan, 2012

Letak lengkung vertikal diusahakan tidak berimpit atau bertumpangan dengan lengkung horizontal.

### **2.1.2 Lengkung Horizontal**

Alinemen horizontal adalah proyeksi sumbu jalan rel pada bidang horizontal, alinemen horizontal terdiri dari garis lurus dan lengkungan. Dua bagian lurus, yang perpanjangnya saling membentuk sudut harus dihubungkan dengan lengkung yang berbentuk lingkaran, dengan atau tanpa lengkung-lengkung peralihan. Alinemen horizontal yang digunakan pada perencanaan adalah lengkung Spiral-Circle-Spiral (SCS)

Tabel 2. 2 Jari-Jari Minimum Yang Dijinkan

Kecepatan Rencana (km/ jam)	Jari-jari minimum lengkung lingkaran tanpa lengkung peralihan (m)	Jari-jari minimum lengkung lingkaran yang diijinkan dengan lengkung peralihan (m)
120	2370	780
110	1990	660
100	1650	550
90	1330	440
80	1050	350
70	810	270
60	600	200

Sumber : Peraturan Menteri Perhubungan, 2012

Lengkung busur lingkaran dengan lengkung peralihan lengkung Spiral-Circle-Spiral (SCS)

$$L_p = 0.01 \text{ h} V \quad \dots \quad (2.4)$$

Dimana :  $L_n$  = panjang minimum lengkung (m)

$h$  = pertinggian relatif antara dua bagian yang dihubungkan (mm)

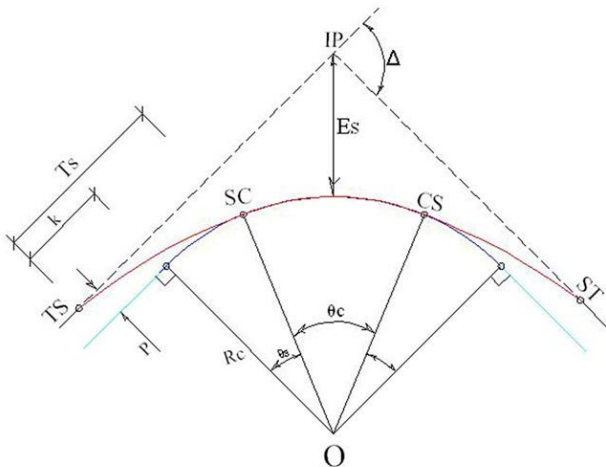
$V$  = kecepatan rencana untuk lengkung peralihan

(km/jam)

## Parameter lengkung Spiral-Circle-Spiral (SCS)

$$L = Lc + 2 \cdot Ls \quad \dots \dots \dots \quad (2.8)$$

$$k = Lh - \frac{Ls^3}{40Rc^2} - Rc \cdot \sin \theta s \quad \dots \dots \dots \quad (2.10)$$



Gambar 2. 1 Lengkung Spiral-Circle-Spiral (SCS)

Sumber : Modul Geometrik Jalan

## 2.2 Kriteria Jalan rel

### 2.2.1 Klasifikasi

Daya angkut lintas, kecepatan maksimum, beban gandar dan ketentuan-ketentuan lain untuk setiap kelas jalan, tercantum pada table 2.3.

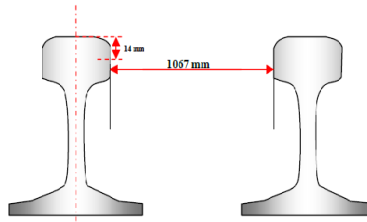
Tabel 2. 3 Klasifikasi Jalan Rel 1067 mm

Kelas Jalan	Daya Angkut Lintas (ton/tahun)	V maks (km/jam)	P maks gandar (ton)	Tipe Rel	Jenis Bantalan	Jenis Penambat	Tebal Balas Atas (cm)	Lebar Bahu Balas (cm)
					Jarak antar sumbu bantalan (cm)			
I	$> 20 \cdot 10^6$	120	18	R.60/R.54	Beton 60	Elastis Ganda	30	60
II	$10 \cdot 10^6 - 20 \cdot 10^6$	110	18	R.54/R.50	Beton/Kayu 60	Elastis Ganda	30	50
III	$5 \cdot 10^6 - 10 \cdot 10^6$	100	18	R.54/R.50/R.42	Beton/Kayu/Baja 60	Elastis Ganda	30	40
IV	$2,5 \cdot 10^6 - 5 \cdot 10^6$	90	18	R.54/R.50/R.42	Beton/Kayu/Baja 60	Elastis Ganda/Tunggal	25	40
V	$< 2,5 \cdot 10^6$	80	18	R.42	Kayu/Baja 60	Elastis Tunggal	25	35

Sumber : Peraturan Menteri Perhubungan, 2012

### 2.2.2 Lebar Sepur

Lebar jalan rel terdiri dari 1067 mm dan 1435 mm. Lebar jalan rel merupakan jarak minimum kedua sisi kepala rel yang diukur pada 0-14 mm dibawah permukaan teratas rel.



Gambar 2. 2 Lebar Jalan Rel 1067 mm

Sumber : Peraturan Menteri Perhubungan, 2012

### 2.2.3 Peninggian Rel

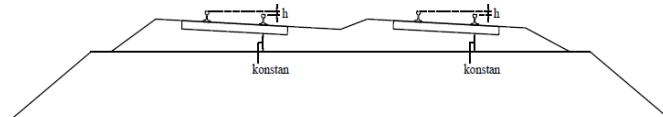
Pada lengkungan, elevasi rel luar dibuat lebih tinggi dari pada rel dalam untuk mengimbangi gaya sentrifugal yang dialami oleh rangkaian kereta. Peninggian rel dicapai dengan menempatkan rel dalam pada tinggi semestinya dan rel luar lebih tinggi. Besar peninggian untuk lebar jalan rel 1067 mm pada berbagai kecepatan tercantum pada Tabel 2.4.

Tabel 2. 4 Peninggian Jalan Rel 1067 mm

Jari-jari (m)	Peninggian (mm) pas (km/ hr)						
	120	110	100	90	80	70	60
100							
150							
200							110
250							90
300						100	75
350					110	85	65
400					100	75	55
450				110	85	65	50
500			100	80	60	45	
550		110	90	70	55	40	
600		100	85	65	50	40	
650		95	75	60	50	35	
700	105	85	70	55	45	35	
750	100	80	65	55	40	35	
800	110	90	75	65	50	40	30
850	105	85	70	60	45	35	30
900	100	80	70	55	45	35	30
950	95	80	65	55	45	35	25
1000	90	75	60	50	40	30	25
1100	80	70	55	45	35	30	20
1200	75	60	55	45	35	25	20

1300	70	60	50	40	30	25	20
1400	65	55	45	35	30	25	20
1500	60	50	40	35	30	20	15
1600	55	45	40	35	25	20	15
1700	55	45	35	30	25	20	15
1800	50	40	35	30	25	20	15
1900	50	40	35	30	25	20	15
2000	45	40	30	25	20	15	15
2500	35	30	25	20	20	15	10
3000	30	25	20	20	15	10	10
3500	25	25	20	15	15	10	10
4000	25	20	15	15	10	10	10

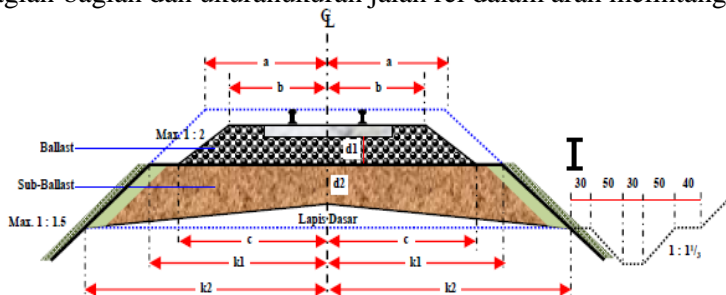
Sumber : Peraturan Menteri Perhubungan, 2012



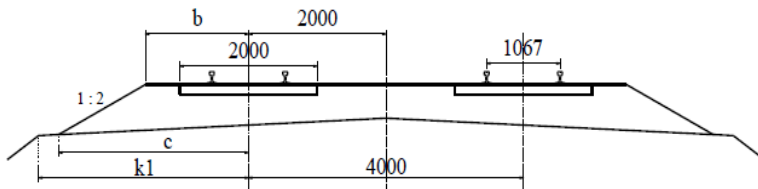
Gambar 2. 3 Peninggian Elevasi Rel (h) Pada Lengkung Jalur Ganda

#### 2.2.4 Penampang Melintang

Penampang melintang jalan rel adalah potongan pada jalan rel, dengan arah tegak lurus sumbu jalan rel, dimana terlihat bagian-bagian dan ukuran-ukuran jalan rel dalam arah melintang.



Gambar 2. 4 Penampang Melintang Jalan Rel Bagian Lurus



Gambar 2. 5 Penampang Melintang Jalan Rel Pada Bagian lurus Jalur Ganda

Tabel 2. 5 Penampang Melintang Jalan Rel

KELAS JALAN	V Maks (km/jam)	d1 (cm)	b (cm)	C (cm)	k2 (cm)	d2 (cm)	e (cm)	k2 (cm)
I	120	30	150	235	265	15-50	25	375
II	110	30	150	235	265	15-50	25	375
III	100	30	140	225	240	15-50	22	325
IV	90	25	140	215	240	15-35	20	300
V	80	25	135	210	240	15-35	20	300

Sumber : Peraturan Menteri Perhubungan, 2012

### 2.2.5 Kelandaian

#### a. Pengelompokan Lintas

Berdasarkan pada kelandaian dari sumbu dan rel dapat dibedakan atas 4 (Empat) kelompok seperti yang tercantum pada tabel berikut:

Tabel 2. 6 Pengelompokan Lintas Berdasarkan Pada Kelandaian

Kelompok	Kelandaian
Emplasemen	0 sampai 1,5 %
Lintas datar	0 sampai 10 %
Lintas Pegunungan	10 sampai 40 %
Lintas dengan rel gigi	40 sampai 80 %

Sumber : Peraturan Menteri Perhubungan, 2012

b. Landai Penentu

Landai penentu adalah suatu kelandaian (pendakian) yang terbesar yang ada pada suatu lintas lurus. Besar landai penentu terutama berpengaruh pada kombinasi daya tarik lokomotif dan rangkaian yang dioperasikan. Untuk masing-masing kelas jalan rel, besar landai penentu adalah seperti yang tercantum dalam tabel berikut.

Tabel 2. 7 Landai Penentu Maksimum

Kelas Jalan Rel	Landai penentu maksimum (%)
1	10
2	10
3	20
4	25
5	25

Sumber : Peraturan Menteri Perhubungan, 2012

## 2.3 Struktur Jalan Kereta Api

### 2.3.1 Tipe dan Karakteristik Penampang Rel

Tipe rel untuk masing-masing kelas jalan tercantum pada tabel 2.8

Tabel 2. 8 Kelas Jalan dan Tipe Relnya

Kelas Jalan	Tipe Rel
I	R.60 / R.54
II	R.54 / R.50
III	R.54 / R.50 / R.42
IV	R.54 / R.50 / R.42
V	R.42

Sumber : Peraturan Menteri Perhubungan, 2012

### 2.3.2 Jenis rel menurut panjangnya

Menurut panjangnya dibedakan tiga jenis rel, yaitu:

1. Rel Standar memiliki panjang 25 m
2. Rel pendek adalah rel yang memiliki panjang maksimal 100 m
3. Rel Panjang adalah rel yang panjang minimumnya tercantum pada tabel 2.7.

Tabel 2. 9 Panjang Minimum Rel Panjang

Jenis bantalan	Tipe Rel			
	R. 42	R. 50	R. 54	R.60
Bantalan kayu	325 m	375 m	400 m	450 m
Bantalan beton	200 m	225 m	250 m	275 m

Sumber : PD 10 Tahun 1986

### 2.3.3 Bantalan

Bantalan berfungsi meneruskan beban dari rel ke balas, menahan lebar sepur dan stabilitas ke arah luar jalan rel. Bantalan dapat terbuat dari kayu, baja, ataupun beton. Pemilihan didasarkan pada kelas yang sesuai dengan klasifikasi jalan rel Indonesia.

Menentukan momen tepat dibawah kaki rel bantalan :

$$M_{C/D} = \frac{P_d x 60\%}{4 x \lambda} x \frac{1}{\sinh \lambda L + \sin \lambda L} [2 \cosh^2 \lambda a (\cos 2\lambda c + \cosh \lambda L) - 2 \cos^2 \lambda a (\cosh 2\lambda c + \cos \lambda L) - \sinh 2\lambda a (\sin 2\lambda c + \sinh \lambda L) - \sin 2\lambda a (\sinh 2\lambda c + \sin \lambda L)] .....(2.13)$$

Menentukan momen ditengah bantalan :

$$M_0 = - \frac{P_d x 60\%}{2 x \lambda} x \frac{1}{\sinh \lambda L + \sin \lambda L} [\sinh \lambda c (\sin \lambda c + \sin \lambda (L-c)) + \sin \lambda c (\sinh \lambda c + \sinh \lambda (L-c)) + \cosh \lambda c \cos \lambda (L-c) - \cos \lambda c \cosh \lambda (L-c)] .....(2.14)$$

### 2.3.4 Balas

Lapisan balas pada dasarnya adalah terusan dari lapisan tanah dasar, dan terletak di daerah yang mengalami konsentrasi tegangan yang terbesar akibat lalu lintas kereta pada jalan rel, oleh karena itu material pembentuknya harus sangat terpilih.

$$x = \frac{b}{2 x h} x \tan \alpha x P .....(2.15)$$

Dimana :  $x$  = Tegangan yang terjadi ( $\text{kg/cm}^2$ )

$b$  = Lebar bantalan (cm)

$h$  = Tebal balas rencana (cm)

$\alpha$  = Sudut penyebaran tekanan (batu pecah =  $60^\circ$ )

$P$  = Tekanan gandar kereta api (kg)

Rumus Terzaghi untuk mencari daya dukung tanah.

$$q_{ult} = 1,3.c.N_c + q.N_q + 0,4.\gamma.B.N_\gamma .....(2.16)$$

$$x_{ijin} = \frac{q_{ult}}{FK}$$

Dimana :  $q_{ult}$  = Daya dukung tanah ultimate ( $\text{kg/cm}^2$ )

$FK$  = Faktor keamanan ( $FK = 2$ )

$x_{ijin}$  = Tegangan tanah ijin ( $\text{kg/cm}^2$ )

### **2.3.5 Stabilisasi Badan Jalan**

1. Badan jalan harus mampu memikul beban kereta api dan stabil terhadap bahaya kelongsoran.
  2. Stabilitas lereng badan jalan dinyatakan dengan faktor keamanan (FK) yang mengacu pada kekuatan geser tanah di lereng tersebut, sekurang-kurangnya sebesar 1,5 untuk beban statis dan sekurang-kurangnya 1,1 untuk beban gempa.
  3. Daya dukung tanah dasar harus lebih besar dari seluruh beban yang berada diatasnya, termasuk beban kereta api, beban konstruksi jalan rel bagian atas dan beban tanah timbunan untuk badan jalan di daerah timbunan.

### 2.3.6 Sambungan Rel

Sambungan rel adalah konstruksi yang mengikat dua ujung rel sedemikian rupa sehingga operasi kereta api tetap aman dan nyaman.

Baut plat penyambung harus kuat menahan gaya sebagai berikut (dalam penjelasan Peraturan Dinas No. 10).

$$H = T' + T'' \dots \quad (2.17)$$

$$M = H \times (a + b + c) \dots \quad (2.18)$$

Dimana :

H = Gaya lateral yang bekerja di tengah-tengah plat penyampung

T' dan T'' = Gaya tarik baut sebelah luar dan dalam

$M'$  dan  $M''$  = Momen peralihan sebelah dalam dan luar plat antara pusat tekanan rel yang akan disambung

M = Momen total arah lateral

### 2.3.7 Penambat

Gaya yang terjadi pada alat penambat :

1. Akibat pemuaian (sepanjang daerah muai  $L = 250$  m)

$$F_1 = \frac{\hat{G} x E x A}{L} \dots \quad (2.21)$$

Dimana : G = Lebar celah

E = Modulus elastisitas rel ( $2,1 \cdot 10^6$  kg/cm $^2$ )

A = Luas penampang rel

L = Panjang rel



Dimana :  $f$  = koefisien geser rel yang tergantung pada kecepatan kereta api

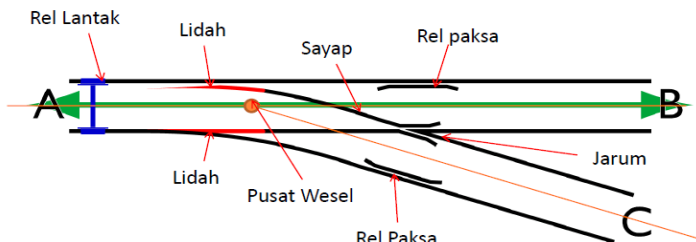
V = 100 km/jam, maka f = 0,29

$F_{\text{tot}} = F_1 + F_2 < \text{Kuat Jepit Penambatan}$

### 2.3.8 Wesel

Wesel merupakan konstruksi jalan rel yang paling rumit dengan beberapa persyaratan dan ketentuan pokok yang harus dipatuhi. Untuk pembuatan komponen-komponen wesel yang penting khususnya mengenai komposisi kimia dari bahannya. Wesel terdiri atas komponen – komponen sebagai berikut :

1. Lidah
  2. Jarum beserta sayap – sayapnya
  3. Rel lantak
  4. Rel paksa
  5. Sistem penggerak



Sumber : Peraturan Menteri Perhubungan, 2012

### **2.3.9 Dinding Penahan Tanah**

Dinding penahan tanah adalah suatu konstruksi yang berfungsi untuk menahan tanah lepas atau alami dan mencegah keruntuhan tanah yang miring atau lereng yang kemantapannya tidak dapat dijamin oleh lereng tanah itu sendiri. Tanah yang tertahan memberikan dorongan secara aktif pada struktur dinding sehingga struktur cenderung akan terguling atau akan tergeser.

Menghitung koefisien tekanan tanah aktif dan pasif. Perhitungannya sebagai berikut :

Tekanan tanah aktif dan pasif masing-masing bidang.

- Tekanan tanah aktif

- Tekanan tanah pasif

$$P_p = \frac{1}{2} K_p \gamma t H_2^2 \dots \quad (2.26)$$

Kontrol Stabilitas meliputi :

- ### 1. Stabilitas Guling

$$F_{gl} = \frac{Momen\ yang\ akan\ melawan}{Momen\ yang\ akan\ menggulingkan} > 1,5 \dots\dots\dots(2.27)$$

- ## 2. Stabilitas Geser

Dimana :  $W = \text{Berat dinding penahan tanah}$

B = Lebar pondasi dinding penahan tanah

c = Kohesi tanah

P<sub>p</sub> = Tekanan tanah pasif

P<sub>p</sub> = Tekanan tanah aktif

$\phi$  = Geser tanah

### 3. Daya Dukung Tanah

Dimana :  $q_{ijin}$  = Tegangan ijin tanah ( $t/m^2$ )

qu = Tegangan ultimate tanah ( $t/m^2$ )

FK = Faktor keamanan (FK = 3)

$$q_{\text{maks,min}} = \frac{P}{E} + \frac{M}{W} \dots \quad (2.30)$$

Dimana  $q$  maks, min = Tegangan kontak pada dasar dinding penahan tanah ( $t/m^2$ )

P = Beban pada pondasi (ton)

$F$  = Luas dasar pondasi ( $m^2$ )

M = Momen yang bekerja terhadap pusat dasar pondasi (ton.m)

$$W = \text{Momen penahan} = 1/6 LB^2 (m^3)$$

Kontrol

$q_{ijin} > q_{maks, min}$

#### 4. Kekuatan struktur terhadap retak

qmaks, min < q ijin

Dimana :  $q_{ijin} = \frac{\text{Tegangan ijin bahan}}{(\text{batu kali } 150 \text{ t/m}^2)}$

$q_{\text{maks, min}} = \text{Tegangan pada struktur dinding penahan tanah}$  ( $\text{t/m}^2$ )

#### **2.4 Bangunan Pelengkap Jalan Kereta Api**

### 2.4.1 Sistem Drainase

Sistem drainase, yaitu sistem pengaliran pembuangan air disuatu daerah jalan rel agar tidak sampai terjadi penggenangan. Ukuran penampang saluran harus cukup besar sehingga mampu membuang debit air hujan yang menuju padanya (strom water runoff). Bila dinyatakan dengan rumus, maka :

$$Q_2 > 1,20 Q_1 \dots \quad (2.31)$$

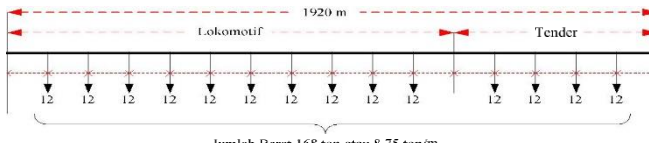
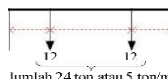
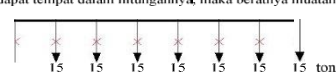
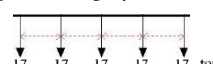
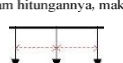
## 2.4.2 Jembatan Kereta Api

Sistem jembatan harus memenuhi persyaratan berikut:

### 1. Beban gandar

Untuk beban gandar sampai dengan 18 ton dapat digunakan skema rencana muatan 1921 (RM 21) sebagaimana tersebut dalam Tabel 2.10. Untuk beban gandar lebih besar dari 18 ton, rencana muatan disesuaikan dengan kebutuhan tekanan gandar.

Tabel 2. 10 Skema Pembebaan Rencana Muatan 1921 (RM 21)

<b>RENCANA MUATAN 1921</b>	
<b>MUATAN GERAK</b> Sebagai muatan gerak dianggap suatu susunan kereta api terdiri dari 2 Lokomotif pakai tender, serupa demikian:	
 Jumlah Berat 168 ton atau 8,75 ton/m	
Bila dengan kereta / gerobak yang banyaknya tidak tertentu, serupa demikian:	
 Jumlah 24 ton atau 5 ton/m	
Susunan kereta itu selalu dibikin sehingga bagi bagian yang harus dibitung kekuatannya paling berbahaya. Jika ada 6 atau 7 gandar yang dapat tempat dalam hitungannya, maka beratnya muatan gandar harus ditambah sampai 15 ton.	
 15    15    15    15    15    15    15 ton	
Jika hanya ada 5 gandar yang dapat tempat dalam hitungannya, maka beratnya muatan gandar harus ditambah sampai 17 ton.	
 17    17    17    17    17    17 ton	
Jika hanya ada 3 gandar yang dapat tempat dalam hitungannya, maka beratnya muatan gandar harus ditambah sampai 18 ton.	
 18    18    18 ton	
Jika hanya ada 2 gandar yang dapat tempat dalam hitungannya, maka beratnya muatan gandar harus ditambah sampai 19 ton.	
 19    19 ton	
Jika hanya ada 1 gandar yang dapat tempat dalam hitungannya, maka beratnya muatan gandar harus ditambah sampai 20 ton.	
 20 ton	
Dari rencana-rencana muatan tersebut, selalu yang dipilih itu rencana yang pendapatannya paling berbahaya bagi yang dihitungnya.	

Sumber : Peraturan Menteri Perhubungan, 2012

## 2. Lendutan

Lendutan didefinisikan sebagai besaran penyimpangan (*deflection*) yang tidak boleh melebihi persyaratan koefisien terhadap panjang teoritis. Koefisien lendutan maksimum jembatan baja, sebagaimana tersebut dalam Tabel 2.11

Tabel 2. 11 Koefisien Lendutan Maksimum Jembatan Baja

Jenis	Gelagar			Rangka Batang
Jenis Kereta	L (m)	$L < 50$	$L \geq 50$	Seluruh Rangka
Lokomotif		$L / 800$	$L / 700$	$L / 1000$
Kereta Listrik dan/atau Kereta	V (km/h)	$V < 100$	$L / 700$	
		$100 < V \leq 130$	$L / 800$	$L / 700$
		$100 < V \leq 130$	$L / 1100$	$L / 900$

Sumber : Peraturan Menteri Perhubungan, 2012

## 3. Stabilitas konstruksi

Pada bangunan atas yang terdiri dari balok memanjang, melintang, struktur rangka utama, dan ikatan angin kontrol kestabilan profil antara lain :

- Kontrol momen lentur.
- Kontrol tegangan geser.
- Kontrol tegangan putus dan leleh profil.

Stabilitas konstruksi untuk jembatan bagian bawah adalah kapasitas daya dukung tanah dan kekuatan konstruksi yang diperhitungkan dari jumlah kombinasi pembebanan yang terdiri dari beban-beban vertikal jembatan bagian atas, beban horizontal (gempa, angin, tekanan tanah), dan momen guling.

## 2.5 Metode Pelaksanaan

### 2.5.1 Komponen Jalan Rel

1. Badan jalan
  - a. Badan jalan di daerah timbunan
    - Tanah dasar
    - Tanah timbunan; dan
    - Lapis dasar (*subgrade*).
  - b. Badan jalan di daerah galian
    - Tanah dasar
    - Lapis dasar (*subgrade*).
2. Sub-balas
3. Balas
4. Bantalan
5. Alat penambat
6. Rel

### 2.5.2 Pemilihan Alat Berat

1. Dump Truck

Dump truk biasa digunakan untuk mengangkut barang semacam pasir, kerikil atau tanah untuk keperluan konstruksi.



Gambar 2. 6 Dump Truck

## 2. Tandem Roller

Alat untuk memadatkan tanah yang akan diratakan sehingga tanah menjadi padat. Biasanya alat digunakan pembuatan jalan, baik untuk jalan tanah dan jalan dengan perkerasan lentur maupun perkerasan kaku.



Gambar 2. 7 Tandem Roller

## 3. Vibro Roller

Secara umum vibratory roller adalah suatu alat pemasangan yang menggabungkan antara tekanan dan getaran. Vibrator roller mempunyai efisiensi pemasangan yang baik. Alat ini memungkinkan digunakan secara luas dalam tiap jenis pekerjaan pemasangan.



Gambar 2. 8 Vibro Roller

#### 4. Excavator

Salah satu alat jenis kendaraan alat berat yang digunakan dalam berbagai kegiatan penggalian dan pengerukan.



Gambar 2. 9 Excavator

#### 5. Motor Grader

Fungsi utama dari grader adalah meratakan, memotong gundukan dan mengisi lubang. Grader juga dapat digunakan untuk pengupasan lapisan atas yang hendak dibuang, atau dikurangi, mencapur material dan meratakan/ menyebarkan lagi.



Gambar 2. 10 Motor Grader

## 6. Bulldozer

Bulldozer merupakan traktor yang mempunyai traksi besar. Alat berat ini digunakan untuk pekerjaan menggali, mendorong, menggusur dan menarik material (tanah, pasir, dsb). Bulldozer dapat dioperasikan pada medan yang berlumpur, berbatu, berbukit dan di daerah yang berhutan.



Gambar 2. 11 Bulldozer

## 7. Ballast Distributing and Profiling Machine

Fungsi dari Ballast Distributing and Profiling Machine yaitu merapikan susunan/struktur balas yang tidak sesuai agar rapi, membersikan balas-balas yang tersisa setelah penebaran balas supaya tidak ada balas yang melenceng dari badan rel, dan tidak ada balas yang ketebalannya melebihi permukaan bantalan rel.



Gambar 2. 12 Ballast Distributing and Profiling Machine

## **BAB III**

### **METODOLOGI**

Dalam bab 3 dijelaskan tentang metode penyusunan yang digunakan dalam perencanaan Jalur Rel Ganda (*Double Track*) diantaranya sebagai berikut :

#### **3.1 Dasar dan Diagram Alir Perencanaan**

Sebagai dasar penyusunan Tugas Akhir ini adalah sebagai berikut :

Peraturan Menteri Perhubungan – Persyaratan Teknis Jalur Kereta Api

#### **3.2 Langkah – langkah Perencanaan**

Untuk memperjelas metodologi dalam penggerjaan Tugas Akhir dijelaskan dalam pembahasan berikut.

##### **3.2.1 Pekerjaan Persiapan**

Proses ini merupakan tahap awal untuk mendapatkan data terkait yang hendak dijadikan bahan penelitian. Proses pada tahap persiapan diantaranya :

1. Pembuatan Surat Perijinan

Pembuatan surat perijinan dilakukan guna mendapatkan izin peminjaman data terhadap pihak yang bersangkutan.

2. Peminjaman Data

Data perencanaan yang digunakan dalam Tugas Akhir ini berlandaskan pada data yang didapat dari pihak terkait yang dalam hal ini pihak yang bersangkutan adalah PT. KAI DAOP 9 Jember.

##### **3.2.2 Studi Literatur**

Mempelajari berbagai sumber informasi yang mampu menunjang dalam penggerjaan Tugas Akhir yang dalam hal ini diantaranya :

1. Peraturan Menteri Perhubungan No. 60 Tahun 2012 – Persyaratan Teknis Jalur Kereta Api
2. Modul Ajar Geometrik Jalan Kereta Api

### **3.2.3 Analisa Data**

Dalam tugas akhir terapan ini hanya menggunakan data sekunder yang meliputi :

1. Peta Topografi  
Untuk mengetahui elevasi permukaan tanah pada lokasi perencanaan yang dalam hal ini menggunakan Peta Topografi Kabupaten Banyuwangi yang diperoleh dari Bappeda Banyuwangi.
2. Data Tanah  
Untuk melakukan perhitungan stabilitas pada badan jalan, perhitungan dinding penahan tanah, dan perhitungan bangunan bawah jembatan kereta api. Data tanah diperoleh dari Dinas PU Banyuwangi dan Lab. Tanah Teknik Infrastruktur Sipil.
3. Data Curah Hujan  
Untuk melakukan desain perencanaan drainase. Data hujan diperoleh dengan mengunduh di situs resmi BPS Banyuwangi.
4. Data Spesifikasi Lokomotif  
Data moda transportasi yang digunakan dalam tugas akhir terapan adalah lokomotif dengan spesifikasi yang diperoleh dari Buku Informasi Perkeretaapian Tahun 2014.
5. Data Spesifikasi Bantalan  
Untuk mengetahui spesifikasi produk yang sesuai dengan perencanaan bantalan. Dalam hal ini menggunakan spesifikasi produk bantalan dari WIKA Beton.

### 3.2.4 Pengolahan Data

#### 1. Perencanaan Geometrik

Perhitungan yang digunakan dalam perencanaan tugas akhir terapan ini diantaranya :

- a. Alinyemen Horizontal
- b. Alinyemen Vertikal

#### 2. Perencanaan Struktur

Perencanaan struktur jalan rel yang digunakan diantaranya tentang penentuan

##### a. Profil rel

Penentuan dimensi rel yang akan digunakan dalam perencanaan

##### b. Sambungan

Perencanaan tentang jenis sambungan, penempatan posisi sambungan serta perhitungan baut penyambung

##### c. Penambat

Pemilihan tentang jenis penambat yang akan digunakan

##### d. Bantalan

Perencanaan tentang penentuan tipe bantalan yang digunakan, penentuan jarak bantalan serta perhitungan kemampuan momen yang bekerja.

##### e. Balas-Sub balas

Perencanaan tentang pemilihan meterial balas yang digunakan serta perhitungan tebal lapisan.

##### f. Wesel

Perencanaan tentang pemilihan wesel yang tepat pada persimpangan di emplasemen.

g. Dinding Penahan.

Perencanaan dimensi dinding penahan tanah pada tebing yang dilalui trek baru jalan kereta api. Kemudian dikontrol stabilitas yang meliputi geser, guling, dan daya dukung tanahnya.

3. Perencanaan Bangunan Pelengkap

Dalam perencanaan bangunan pelengkap meliputi :

a. Drainase

Perencanaan dimensi saluran drainase berdasarkan data hujan dan cathment area setempat.

b. Jembatan Rangka

Perencanaan bangunan atas jembatan rangka dan bangunan bawah berdasarkan data tanah terdekat.

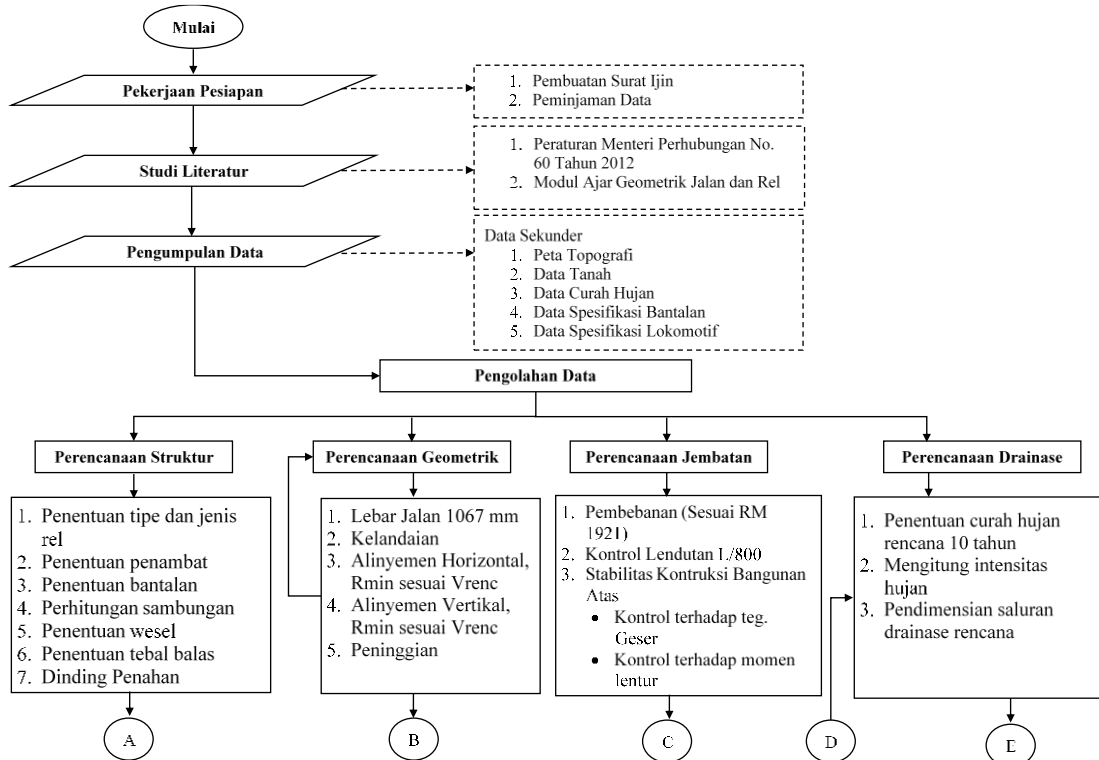
4. Stabilitas Badan Jalan Rel

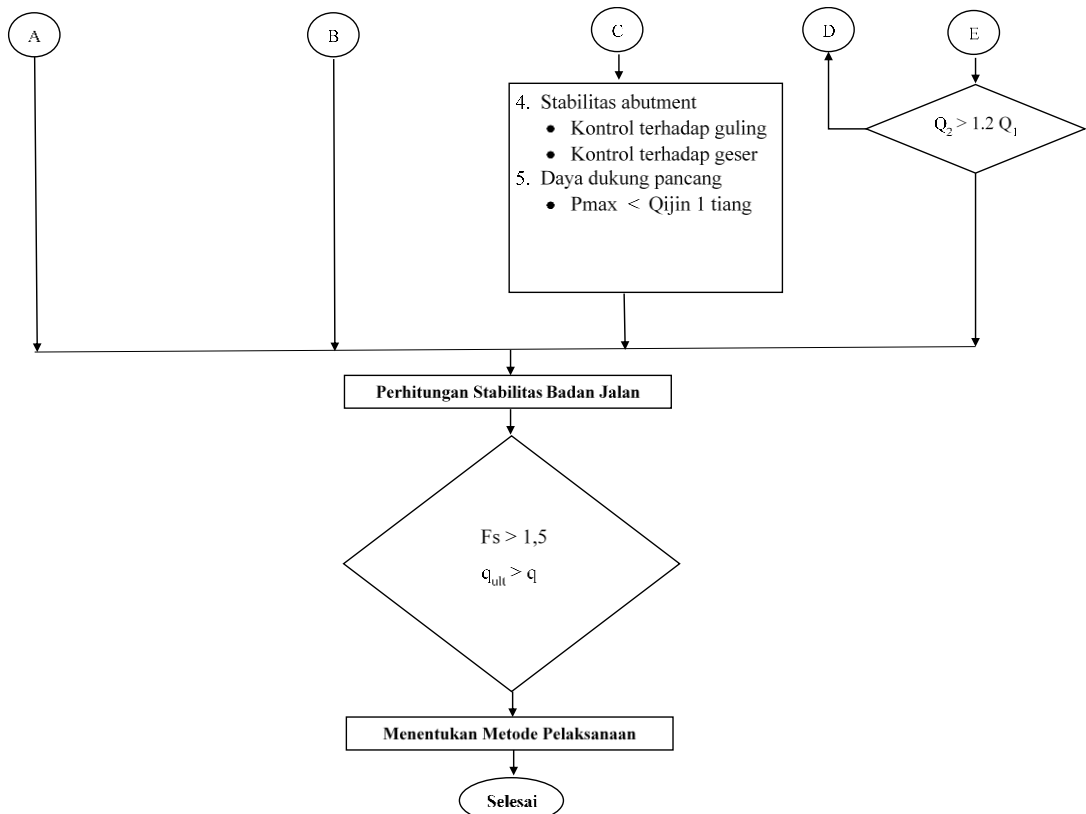
Apabila tanah tidak cukup kuat, atau penurunan yang diperkirakan akan terjadi melebihi persyaratan, dan pada lereng timbunan akan terjadi kelongsoran, maka perlu diadakan perbaikan tanah.

5. Metode Pelaksanaan

Menentukan metode pelaksanaan pembangunan untuk trek baru jalan kereta api yang akan di buat jalur ganda.

### 3.3 Bagan Alir





## BAB IV

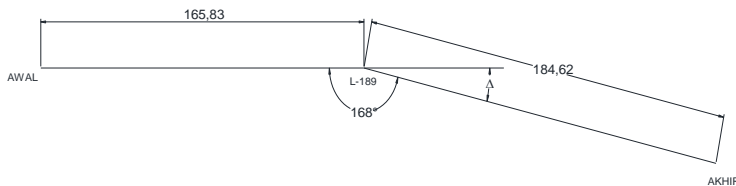
### KONSTRUKSI JALAN KERETA API

#### 4.1 Perencanaan Geometrik Jalan Kereta Api

##### 4.1.1 Perencanaan Lengkung Horizontal Trase Jalan KA

Dalam perencanaan lengkung horizontal menggunakan parameter lengkung *Spiral – Circle – Spiral*. Adapun langkah-langkah dalam menghitung parameter lengkung tersebut diatas adalah sebagaimana berikut.

Contoh perhitungan lengkung horizontal L-189 antara KM 37+731.45 sampai KM 37+832.10



Sudut eksisting =  $168^\circ$  (Sumber : KAI Daop 9 Jember)

$$V_{\text{rencana}} = 90 \text{ km/jam}$$

$$\Delta = 180^\circ - 168^\circ = 12^\circ$$

$$R_{\text{rencana}} = 500 \text{ m} \text{ (mengikuti trase eksisting)}$$

- Peninggian sisi luar rel

$$h = 5,95 \times \frac{V^2}{R}$$

$$= 5,95 \times \frac{90^2}{500}$$

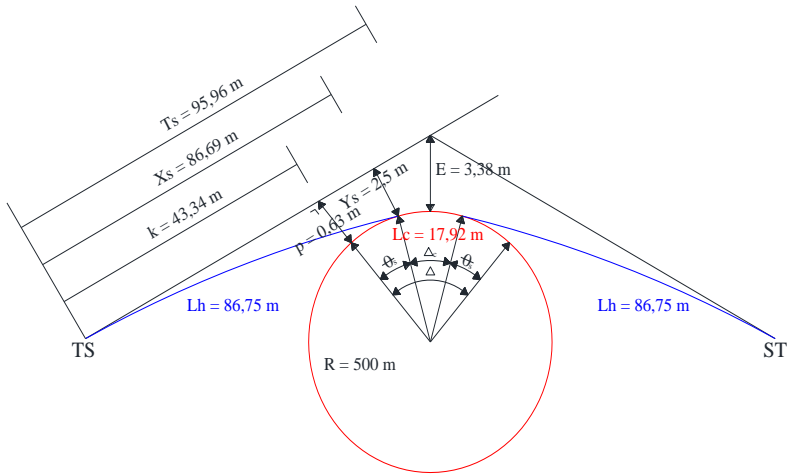
$$= 96,39 \text{ mm} < h \text{ maks} = 97,2 \text{ mm}$$

- Panjang minimum lengkung peralihan  
 $L_h = 0,01 \times h \times V = 0,01 \times 96,39 \times 90 = 86,75 \text{ m}$
- Sudut spiral  
 $\theta_s = \frac{90 \times Lh}{\pi \times R} = \frac{90 \times 86,75}{\pi \times 500} = 4,973^\circ$   
 $\Delta_c = \Delta - 2 \times \theta_s$   
 $= 12^\circ - 2 \times 4,973^\circ = 2,05^\circ$
- Panjang busur lingkaran  
 $L_c = \frac{(\Delta - 2\theta_s) \times \pi R}{180} = \frac{(12 - 2 \times 4,973) \times \pi \times 500}{180} = 17,92 \text{ m}$
- Panjang titik koordinat lengkung peralihan  
 $p = \frac{Lh^2}{6 \times R} - R \times (1 - \cos \theta_s)$   
 $= \frac{86,75^2}{6 \times 500} - 500 \times (1 - \cos 4,973) = 0,63 \text{ m}$
- Jarak titik awal mulai masuk ke daerah lengkung  
 $k = Lh - \frac{Lh^3}{40 \times R^2} - R \times \sin \theta_s$   
 $= 86,75 - \frac{86,75^3}{40 \times 500^2} - 500 \times \sin 4,973 = 43,34 \text{ m}$
- E  
 $E = \frac{(R+p)}{\cos(\frac{1}{2}\Delta)} - R$   
 $= \frac{(500+0,63)}{\cos(\frac{1}{2}12^\circ)} - 500 = 3,38 \text{ m}$

$$X_s = Lh \times \left(1 - \frac{Lh^2}{40 \times R^2}\right)$$

$$= Lh \times \left(1 - \frac{86,75^2}{40 \times 500^2}\right) = 86,69 \text{ m}$$

$$Y_s = \frac{Lh^2}{6 \times R} = \frac{86,75^2}{6 \times 500} = 2,5 \text{ m}$$



Gambar 4. 1 Skema Lengkung Horizontal

Sumber : Hasil Analisa

Untuk perhitungan lengkung horizontal selanjutnya, lihat tabel 4.1

Tabel 4. 1 Perhitungan Lengkung Horizontal

No. Busur	Antara	Dari KM	Ke KM	V <sub>r</sub>	Δ	R	h	h <sub>max</sub>	L <sub>h</sub>	θ <sub>s</sub>	Δc	L <sub>c</sub>	p	k	T <sub>s</sub>	E	X <sub>s</sub>	Y <sub>s</sub>
				km/jam	o	m	m	mm	m	o	o	m	m	m	m	m	m	m
189	Kalibar-Glenmore	37+731,45	37+832,10	90	12	500	96,39	97,2	86,75	4,973	2,05	17,92	0,63	43,34	95,961	3,38	86,69	2,51
190		40+209,21	40+432,16	90	26	500	96,39	97,2	86,75	4,973	16,1	140,03	0,63	43,34	158,92	13,79	86,69	2,51
191		40+786,90	40+887,69	90	12	500	96,39	97,2	86,75	4,973	2,05	17,92	0,63	43,34	95,961	3,38	86,69	2,51
192		41+444,91	41+573,12	67	29	250	106,8	110	71,58	8,207	12,6	54,89	0,86	35,75	100,62	9,11	71,43	3,42
193		42+689,35	42+838,55	90	18	470	102,5	103	92,29	5,628	6,74	55,29	0,75	46,11	120,67	6,62	92,20	3,02
196	Glenmore-Sumberwadung	48+673,49	48+673,49	90	15	500	96,39	97,2	86,75	4,973	5,05	44,08	0,63	43,34	109,25	4,95	86,69	2,51
201		52+298,1	52+402,75	90	12	500	96,39	97,2	86,75	4,973	2,05	17,92	0,63	43,34	95,961	3,38	86,69	2,51
202	Kalisetail-Temuguruh	55+282,69	55+441,80	74	17	300	108,6	110	80,37	7,679	1,64	8,60	0,90	40,14	85,11	4,24	80,23	3,59
203		55+571,00	55+770,81	74	38	300	108,6	110	80,37	7,679	22,6	118,50	0,90	40,14	143,75	18,24	80,23	3,59
204		55+862,42	56+128	90	31	500	96,39	97,2	86,75	4,973	21,1	183,64	0,63	43,34	182,18	19,52	86,69	2,51
205		56+643,75	56+849,41	90	24	500	96,39	97,2	86,75	4,973	14,1	122,58	0,63	43,34	149,75	11,81	86,69	2,51
206		57+692,70	58+116,64	74	81	300	108,6	110	80,37	7,679	65,6	343,53	0,90	40,14	297,13	95,71	80,23	3,59
207		58+170,00	58+625,44	74	87	300	108,6	110	80,37	7,679	71,6	374,93	0,90	40,14	325,68	114,82	80,23	3,59
208		61+051,70	61+170,00	90	18	500	96,39	97,2	86,75	4,973	8,05	70,25	0,63	43,34	122,63	6,87	86,69	2,51
209	Temugur-Singojuruh	66+707,19	67+061,96	90	8	2000	24,1	24,3	21,69	0,311	7,38	257,42	0,01	10,84	150,69	4,89	21,69	0,04
210	Singojuruh-Rogojampi	71+165,33	71+343,73	90	21	500	96,39	97,2	86,75	4,973	11,1	96,42	0,63	43,34	136,13	9,15	86,69	2,51
211		71+654,84	72+010,88	90	41	500	96,39	97,2	86,75	4,973	31,1	270,86	0,63	43,34	230,52	34,47	86,69	2,51
212	Rogojampi-Kabat	73+547,17	73+971,58	90	48	500	96,39	97,2	86,75	4,973	38,1	331,92	0,63	43,34	266,24	48,00	86,69	2,51
213		74+384,10	74+739,45	90	39	600	80,33	81	72,29	3,453	32,1	335,91	0,36	36,12	248,72	36,89	72,27	1,45
214		74+950,06	75+337,70	90	37	600	80,33	81	72,29	3,453	30,1	314,97	0,36	36,12	237	33,08	72,27	1,45
215		75+831	76+005	86	25	400	110	110	94,61	6,78	11,4	79,83	0,93	47,26	136,15	10,67	94,48	3,73
5	Kabat-Karangasem	0+782,50	1+022,60	90	14	1000	48,2	48,6	43,38	1,243	11,5	200,85	0,08	21,68	144,47	7,59	43,37	0,31
6		1+714	2+140	90	24	1000	48,2	48,6	43,38	1,243	21,5	375,29	0,08	21,68	234,25	22,42	43,37	0,31
7		2+513,60	2+808	90	33	500	96,39	97,2	86,75	4,973	23,1	201,08	0,63	43,34	191,63	22,13	86,69	2,51
8		3+157,40	3+690,80	90	51	600	80,33	81	72,29	3,453	44,1	461,51	0,36	36,12	322,48	65,16	72,27	1,45
9		4+046,30	4+400,80	90	20	1000	48,2	48,6	43,38	1,243	17,5	305,51	0,08	21,68	198,02	15,51	43,37	0,31
10		5+181,18	5+478,62	90	34	500	96,39	97,2	86,75	4,973	24,1	209,80	0,63	43,34	196,4	23,50	86,69	2,51
11		5+690	5+957,496	90	31	500	96,39	97,2	86,75	4,973	21,1	183,64	0,63	43,34	182,18	19,52	86,69	2,51

12	Karangasem-Argopuro	7+379.60	7+436.38	90	3	1000	48,2	48,6	43,38	1,243	0,51	8,96	0,08	21,68	47,864	0,42	43,37	0,31
13		7+727.71	7+915.89	90	13	800	60,24	60,8	54,22	1,943	9,11	127,20	0,15	27,09	118,26	5,33	54,21	0,61
14		8+323.08	8+694.41	90	47	450	107,1	110	96,39	6,139	34,7	272,56	0,86	48,15	244,19	41,64	96,28	3,44
15		8+772.69	9+319.44	90	70	450	107,1	110	96,39	6,139	57,7	453,11	0,86	48,15	363,85	100,40	96,28	3,44
16		9+742.52	9+907.46	89	22	425	110,9	110	98,70	6,656	8,69	64,41	0,96	49,3	132,1	8,93	98,56	3,82
17		10+255.81	10+618.68	89	49	425	110,9	110	98,70	6,656	35,7	264,58	0,96	49,3	243,42	43,10	98,56	3,82
18		11+003.36	11+201.93	90	23	500	96,39	97,2	86,75	4,973	13,1	113,86	0,63	43,34	145,2	10,88	86,69	2,51
19		11+461.64	11+619.01	90	9	1000	48,2	48,6	43,38	1,243	6,51	113,62	0,08	21,68	100,38	3,17	43,37	0,31
20		12+050.93	12+178.56	90	7	1000	48,2	48,6	43,38	1,243	4,51	78,74	0,08	21,68	82,844	1,95	43,37	0,31
22	Argopuro-BWI Baru	14+814,5	15+133.80	90	18	1000	48,2	48,6	43,38	1,243	15,5	270,62	0,08	21,68	180,07	12,54	43,37	0,31
23		15+911,20	16+096.40	90	13	800	60,24	60,8	54,22	1,943	9,11	127,20	0,15	27,09	118,26	5,33	54,21	0,61
24		16+825.80	17+205.82	90	44	500	96,39	97,2	86,75	4,973	34,1	297,03	0,63	43,34	245,61	39,94	86,69	2,51
25		17+351.20	18+59.901	90	81	500	96,39	97,2	86,75	4,973	71,1	619,75	0,63	43,34	470,92	158,37	86,69	2,51

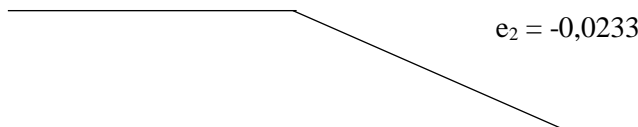
Sumber : Hasil Analisa Perhitungan

#### 4.1.2 Perencanaan Lengkung Vertikal Trase Jalan KA

Lengkung vertikal berupa unsur lingkaran yang menghubungkan dua kelandaian lintas yang berbeda dan ditentukan beda elevasi ketinggian dan besarnya jari-jari lengkung vertikal.

Contoh perhitungan lengkung vertikal KM 37+580

$$e_1 = 0,0000$$



Gambar 4. 2 Skema Lengkung Vertikal

$$V_{\text{rencana}} = 100 \text{ km/jam}$$

$$R_{\text{lengkung}} = 6000 \text{ m (PM No. 60 Tahun 2012)}$$

Panjang Lengkung Peralihan (Xm)

$$\begin{aligned} X_m &= \frac{R}{2} \times \varphi \\ &= \frac{6000}{2} \times (e_2 - e_1) \\ &= \frac{6000}{2} \times (-0,0233 - 0,0000) = 69,90 \text{ m} \end{aligned}$$

$$\begin{aligned} Y_m &= \frac{R}{8} \times \varphi^2 \\ &= \frac{R}{8} \times (e_2 - e_1)^2 \\ &= \frac{R}{8} \times (-0,0233 - 0,0000)^2 = 0,4072 \text{ m} \end{aligned}$$

Untuk perhitungan lengkung vertikal selanjutnya, lihat tabel 4.2

Tabel 4. 2 Perhitungan Lengkung Vertikal

KM	Kelandaian		Selisih Kelandaian	V <sub>rencana</sub>	Jari-jari Lengkung Vertikal	Panjang Lengkung Peralihan (X <sub>m</sub> )	Peniggian (Y <sub>m</sub> )
	e <sub>kiri/e<sub>1</sub></sub>	e <sub>kanan/e<sub>2</sub></sub>					
37+580	0,0000	-0,0233	-0,0233	100	6000	69,90	0,4072
37+890	-0,0233	-0,008	0,0153	100	6000	45,90	0,1756
38+890	-0,008	-0,024	-0,0160	100	6000	48,00	0,1920
38+890	-0,024	-0,006	0,0180	100	6000	54,00	0,2430
39+890	-0,007	-0,029	-0,0220	100	6000	66,00	0,3630
40+390	-0,029	-0,014	0,0150	100	6000	45,00	0,1688
41+390	-0,0194	-0,0026	0,0168	100	6000	50,40	0,2117
43+090	0,0000	-0,026	-0,0260	100	6000	78,00	0,5070
43+390	-0,026	-0,01	0,016	100	6000	48,00	0,1920
44+590	-0,0114	0,0000	0,0114	100	6000	34,20	0,0975
45+000	0,0000	-0,02	-0,02	100	6000	60,00	0,3000
45+100	-0,02	-0,002	0,018	100	6000	54,00	0,2430
45+480	-0,002	0,00875	0,01075	100	6000	32,25	0,0867
45+890	0,00875	-0,0129	-0,02165	100	6000	64,95	0,3515
46+240	-0,0129	0,0000	0,0129	100	6000	38,70	0,1248
46+890	0,0000	-0,018	-0,018	100	6000	54,00	0,2430
47+390	-0,018	0,0000	0,018	100	6000	54,00	0,2430
47+890	0,0000	-0,018	-0,018	100	6000	54,00	0,2430
48+600	-0,02	0,0000	0,02	100	6000	60,00	0,3000
48+890	0,0000	-0,012	-0,012	100	6000	36,00	0,1080
49+390	-0,012	0,0000	0,012	100	6000	36,00	0,1080
49+410	0,0000	-0,01	-0,01	100	6000	30,00	0,0750
50+390	-0,01	0,0000	0,01	100	6000	30,00	0,0750
53+180	-0,01	-0,02	-0,01	100	6000	30,00	0,0750
54+390	-0,02	-0,01	0,01	100	6000	30,00	0,0750
54+990	0,0000	-0,0217	-0,0217	100	6000	65,10	0,3532
55+210	-0,0217	0,0000	0,0217	100	6000	65,10	0,3532
55+610	0,0000	-0,0143	-0,0143	100	6000	42,90	0,1534
55+910	-0,0143	0,0000	0,0143	100	6000	42,90	0,1534
56+390	0,0000	-0,01	-0,01	100	6000	30,00	0,0750
56+540	-0,01	0,0000	0,01	100	6000	30,00	0,0750
57+890	-0,0172	0,0000	0,0172	100	6000	51,60	0,2219
58+060	0,0000	-0,0213	-0,0213	100	6000	63,90	0,3403
58+390	-0,0213	-0,005	0,0163	100	6000	48,90	0,1993
58+710	-0,005	-0,03	-0,025	100	6000	75,00	0,4688
58+890	-0,03	-0,014	0,016	100	6000	48,00	0,1920
61+100	-0,0192	0,0000	0,0192	100	6000	57,60	0,2765
61+250	0,0000	-0,0088	-0,0088	100	6000	26,40	0,0581
61+890	-0,0133	0,0000	0,0133	100	6000	39,90	0,1327
62+240	0,0000	-0,0125	-0,0125	100	6000	37,50	0,1172
62+890	-0,0146	0,0000	0,0146	100	6000	43,80	0,1599
63+350	0,0000	-0,0091	-0,0091	100	6000	27,30	0,0621
64+080	0,0000	-0,024	-0,024	100	6000	72,00	0,4320
64+500	-0,024	0,0000	0,024	100	6000	72,00	0,4320
66+450	0,0000	-0,0137	-0,0137	100	6000	41,10	0,1408
71+390	-0,019	-0,0111	0,0079	100	6000	23,70	0,0468
71+560	-0,0111	0,0000	0,0111	100	6000	33,30	0,0924
73+100	-0,0157	-0,0067	0,009	100	6000	27,00	0,0608
74+510	-0,0123	0,0000	0,0123	100	6000	36,90	0,1135
74+740	0,0000	-0,03	-0,03	100	6000	90,00	0,6750

75+910	-0,01625	0,0000	0,01625	100	6000	48,75	0,1980
00+300	0,0000	-0,0129	-0,0129	100	6000	38,70	0,1248
1+985	0,0042	-0,012	-0,0162	100	6000	48,60	0,1968
2+285	-0,012	0,0000	0,012	100	6000	36,00	0,1080
2+985	0,0000	0,04	0,04	100	6000	120,00	1,2000
4+485	0,04	-0,006	-0,046	100	6000	138,00	1,5870
4+985	-0,006	0,018	0,024	100	6000	72,00	0,4320
5+485	0,018	0,002	-0,016	100	6000	48,00	0,1920
6+485	0,0000	0,008	0,008	100	6000	24,00	0,0480
6+985	0,008	-0,002	-0,01	100	6000	30,00	0,0750
8+985	0,001	-0,009	-0,01	100	6000	30,00	0,0750
9+485	-0,009	0,004	0,013	100	6000	39,00	0,1268
9+985	0,004	-0,022	-0,026	100	6000	78,00	0,5070
10+485	-0,022	-0,014	0,008	100	6000	24,00	0,0480
11+485	-0,01	0,0000	0,01	100	6000	30,00	0,0750
12+985	-0,004	-0,016	-0,012	100	6000	36,00	0,1080
13+985	-0,004	-0,021	-0,017	100	6000	51,00	0,2168
14+485	-0,021	-0,0125	0,0085	100	6000	25,50	0,0542
14+985	-0,0125	-0,0045	0,008	100	6000	24,00	0,0480
16+485	-0,014	-0,024	-0,01	100	6000	30,00	0,0750
16+985	-0,024	-0,002	0,022	100	6000	66,00	0,3630

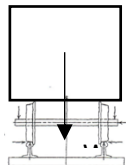
Sumbur : Hasil Analisa Perhitungan

## 4.2 Perencanaan Struktur Rel Kereta Api

Fungsi rel adalah tempat berdiri dan mengelilingkan roda kereta api yang meneruskan beban roda ke bantalan.

### 4.2.1 Penentuan Gaya Yang Bekerja Pada Rel

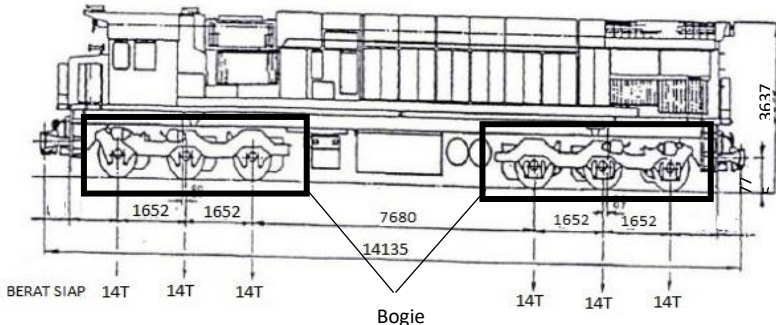
#### 4.2.1.1 Gaya Vertikal



Gambar 4. 3 Gaya Vertikal

Gaya vertikal pada rel merupakan beban yang paling besar dalam struktur jalan rel, terjadi akibat oleh beban kereta. Gaya ini menyebabkan defleksi vertikal. Beban yang paling besar terjadi

pada lokomotif, sehingga perhitungan beban menggunakan jenis CC-203.



Gambar 4. 4 Lokomotif CC-203

Lokomotif berjenis CC-203 memiliki spesifikasi :

Berat (W) = 84 Ton

Jarak antar gandar = 1652 mm

Tinggi = 3637 mm

Lebar = 2642 mm

Panjang = 14135 mm

Sehingga dapat dihitung :

- Ditumpu oleh 2 bogie yang masing-masing terdiri dari 3 gandar dan masing-masing gandar terdiri dari 2 roda.  
(Gambar 4.3)

Berat lokomotif ( $W_{lok}$ ) = 84 Ton

Gaya kepada bogie ( $P_b$ ) =  $W_{lok}/2 = 42$  Ton

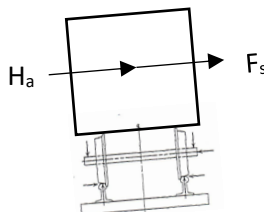
Gaya gandar ( $P_g$ ) =  $P_b/3 = 14$  Ton

Gaya roda statis ( $P_s$ ) =  $P_g/2 = 7$  Ton

- Faktor dinamis ( $I_p$ ) dan beban dinamis ( $P_d$ ).  
Jika menggunakan lokomotif CC-203 dengan  $V_{maks}$  100km/jam, maka :

$$\begin{aligned}
 V_{\text{renc}} &= 1,25 \times V_{\text{maks}} \\
 &= 1,25 \times 100 = 125 \text{ km/jam} = 34,72 \text{ m/det} \\
 P_s &= 7 \text{ Ton} \\
 I_p &= 1 + 0,01 \times \left[ \frac{V_{\text{renc}}}{1,609} - 5 \right] \\
 &= 1 + 0,01 \times \left[ \frac{125}{1,609} - 5 \right] \\
 &= 1,727 \\
 P_d &= P_s \times I_p = 7 \times 1,727 = 12,088 \text{ Ton}
 \end{aligned}$$

#### 4.2.1.2 Gaya Horizontal



Gambar 4. 5 Gaya Horizontal

Gaya horizontal pada rel disebabkan oleh gaya angin, goyangan kereta api dan gaya sentrifugal ditikungan. Pada umumnya digunakan tekanan angin  $25 \text{ kg/m}^2$  (jauh dari laut). Koefisien angin  $+0,9$  untuk tekanan angin dan  $-0,4$  untuk angin hisap. (Peraturan Muatan Indonesia)

Angin tekan :

$$0,9 \times 25 = 22,5 \text{ kg/m}^2$$

Angin hisap :

$$0,4 \times 25 = 10 \text{ kg/m}^2$$

$$\text{Total} = 22,5 + 10 = 32,5 \text{ kg/m}^2$$

Dari data lokomotif diperoleh :

Panjang lokomotif = 14,135 m (Gambar 4.3)

Tinggi lokomotif = 3,637 m (Gambar 4.3)

Luas bidang sentuh kereta (diasumsikan persegi empat), maka beban angin dapat dihitung :

$$Y_{\text{angin}} (H_a) = 32,5 \times (14,135 \times 3,637) = 1670,8 \text{ kg}$$

$$\text{Beban sentrifugal} = \frac{W \times V^2}{g \times R} = \frac{84000 \times 34,72^2}{9,8 \times 250} = 41335,979 \text{ kg}$$

Dengan :

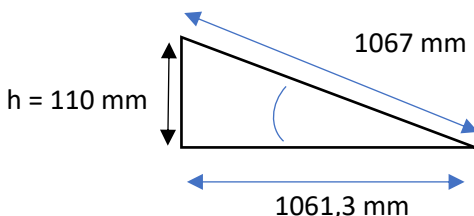
V = Kecepatan rencana (m/det)

W = Berat kereta (kg)

g = Percepatan gravitasi (9,8 m/det)

R = Jari-jari lengkung minimum

Peninggian maksimum h = 110 mm (PD 10)



$$\begin{aligned} Y_{\text{sentrifugal}} &= 41335,98 \times \cos \alpha \\ &= 41335,98 \times \frac{1061,31}{1067} = 41115,73 \text{ kg} \end{aligned}$$

$$\begin{aligned} Y_{\text{total}} &= Y_{\text{angin}} (H_a) + Y_{\text{sentrifugal}} \\ &= 1670,79 + 41115,73 \\ &= 42786,52 \text{ kg} = 42,78652 \text{ Ton} \end{aligned}$$

Gaya horizontal didistribusikan ke rel :

$$Y \text{ kepada bogie} = Y_{\text{total}}/2 = 42,78652/2 = 21,393 \text{ Ton}$$

$$Y \text{ kepada ganda} = Y_{\text{bogie}}/3 = 21,393/3 = 7,131 \text{ Ton}$$

$$Y \text{ kepada roda} = Y_{\text{gandar}}/2 = 7,131/2 = 3,566 \text{ Ton}$$

Agar roda tidak keluar dari rel , maka  $P_{\text{horizontal}} < P_{\text{vertikal}}$   
 $3,566 \text{ Ton} < 12,088 \text{ Ton}$  (**OK**)

Agar rel tidak anjlok,  $\frac{P_{\text{horizontal}}}{P_{\text{vertikal}}} < 1,2$

$$\frac{3,566}{12,088} < 1,2$$

$0,295 < 1,2$  (**OK**)

Agar rel dan roda tidak aus,  $\frac{P_{\text{horizontal}}}{P_{\text{vertikal}}} < 0,75$

$$\frac{3,566}{12,088} < 0,75$$

$0,295 < 0,75$  (**OK**)

#### 4.2.2 Penentuan Profil Rel

Kecepatan kereta api = 100 km/jam

Gaya gandar ( $P_g$ ) = 14 Ton (Gambar 4.1)

Jarak antar bantalan ( $S$ ) = 60 cm

Lebar sepur ( $s$ ) = 1067 mm

Tipe rel = R.54

Luas penampang rel ( $A$ ) = 69,34 cm<sup>2</sup>

Berat rel per meter ( $W$ ) = 54,43 kg/m

Modulus elasitisitas ( $E$ ) =  $2,1 \times 10^6$  kg/cm<sup>2</sup>

Momen inersia terhadap sumbu X ( $I_x$ ) = 2346 cm<sup>4</sup>

Jarak tepi bawah kaki rel garis netral ( $Y_b$ ) = 76,2 mm

Transformasi gaya statis roda menjadi gaya dinamis roda digunakan persamaan Talbot sebagai berikut :

$$P_s = 0,5 \times P_g = 0,5 \times 14 = 7 \text{ Ton}$$

$$P_d = P_s + 0,01 \times P_s \times \left( \frac{V}{1,609} - 5 \right)$$

$$= 7 + 0,01 \times 7 \times \left( \frac{100}{1,609} - 5 \right)$$

$$= 11 \text{ Ton} = 11000 \text{ kg}$$

$$\lambda = \sqrt[4]{\frac{k}{4 \times E \times I_x}}$$

$$= \sqrt[4]{\frac{180}{4 \times 2,1 \cdot 10^6 \times 2364}} = 0,00978 \text{ cm}^{-1}$$

Dimana :

$\lambda$  = faktor dumping ( $\text{cm}^{-1}$ )

$k$  = modulus elastisitas jalan rel ( $180 \text{ kg/cm}^2$ )

$E$  = Modulus elastisitas rel ( $2,1 \cdot 10^6 \text{ kg/cm}^2$ )

$I_x$  = Momen inersia terhadap sumbu X

$$M_{\text{maks}} = \frac{Pd}{4 \times \lambda} = \frac{11000}{4 \times 0,00978} = 281311,35 \text{ kg.cm}$$

$$\sigma = \frac{0,85 \times M_{\text{maks}} \times y_b}{I_x} = \frac{0,85 \times 281311,35 \times 7,62}{2346} = 776,66 \text{ kg/cm}^2$$

$$\sigma_{\text{ijin}} = \frac{Teg.leleh \ baya}{SF} = \frac{2400}{2} = 1200 \text{ kg/cm}^2$$

Tegangan yang terjadi tidak boleh melebihi tegangan ijin baja.

Sehingga,  $776,66 \text{ kg/cm}^2 < 1200 \text{ kg/cm}^2$  (OK)

#### 4.2.3 Penentuan Tipe Bantalan Beton

##### 4.2.3.1 Data umum Bantalan

Beban gandar ( $P_g$ ) = 14 Ton (perhitungan subbab 4.2.1.1)

Kecepatan kereta api = 100 km/jam

Lebar sepur ( $s$ ) = 1067 mm

Jarak pasang bantalan = 60 cm

Tipe rel = R.54

Tipe bantalan = N-67

Mutu beton  $f_c'$  = 500 kg/cm<sup>2</sup>

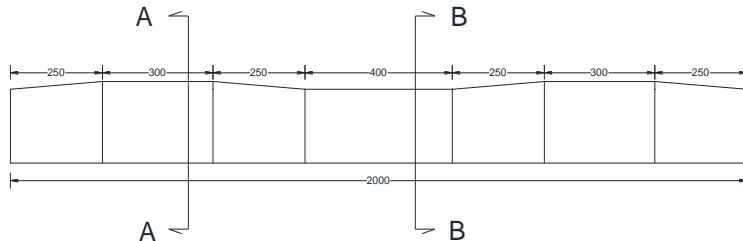
Momen izin :

Dibawah rel (positif) = 1500 kgm

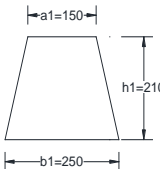
Dibawah rel (negatif) = 750 kgm

Ditengah bantalan (positif) = 660 kgm

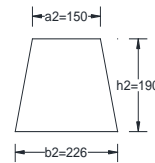
Ditengah bantalan (negatif) = 930 kgm



Gambar 4. 6 Bantalan Beton Tipe N-67



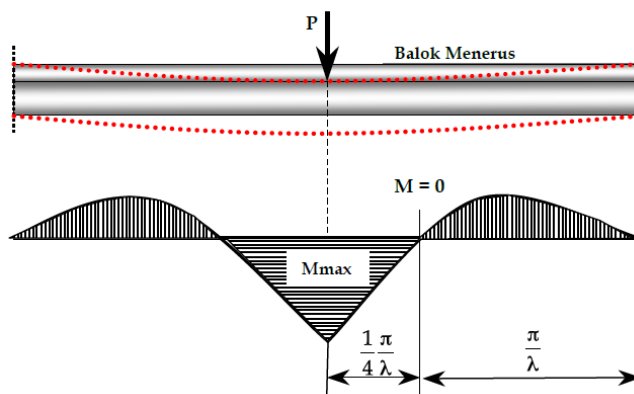
Gambar 4. 8 Pot A-A Bantalan Beton Tipe N-67



Gambar 4. 7 Pot B-B Bantalan Beton Tipe N-67

#### 4.2.3.2 Pembebaan Pada Bantalan

Analisa pembebaan menggunakan perumusan Talbot. Maksimum beban merata di kaki rel.



Gambar 4. 9 Distribusi Momen Bantalan

$$\lambda = 0,00978 \text{ cm}^{-1} \text{ (dari perhitungan subbab 4.2.2)}$$

$$X_1 = \frac{\pi}{4 \times \lambda} = \frac{\pi}{4 \times 0,00978} = 80,3 \text{ cm}$$

$$P_d = 11000 \text{ kg (dari perhitungan subbab 4.2.2)}$$

$$E = 6400\sqrt{fc'} = 6400\sqrt{500} = 143108,4 \text{ kg/cm}^2$$

Distribusi beban ke bantalan dapat dituliskan sebagai berikut :

$$Q = 0,786 \times \frac{P_d \cdot S}{X_1} = 0,786 \times \frac{P_d \cdot 60}{80,3}$$

$$= 0,587 \cdot P_d \approx 60\% \cdot P_d$$

Berdasarkan spesifikasi penampang bantalan pada potongan A-A bantalan beton tipe N-67 dapat dihitung momen di titik C dan D atau tepat dibawah kaki rel (lihat Gambar 4.10)

$$A_1 = \frac{1}{2} \times (a_1 + b_1) \times h_1 = \frac{1}{2} \times (150 + 250) \times 210 = 420 \text{ cm}^2$$

$$I_1 = \frac{a_1^2 + (4 \times a_1 \times b_1) + b_1^2}{36 \times (a_1 + b_1)} \times h_1^3$$

$$= \frac{a_1^2 + (4 \times 150 \times 250) + 250^2}{36 \times (150 + 250)} \times 210^3 = 15113,44 \text{ cm}^4$$

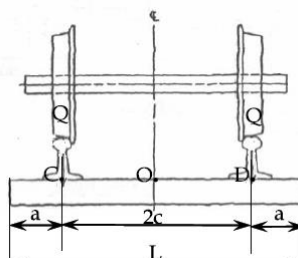
$$\lambda_1 = \sqrt[4]{\frac{k}{4 \times E \times I_x}}$$

$$= \sqrt[4]{\frac{180}{4 \times 143108,4 \times 15113,44}} = 0,012 \text{ cm}^{-1}$$

$$a = 45 \text{ cm}$$

$$c = 55 \text{ cm}$$

$$L = 200 \text{ cm}$$



Gambar 4. 10 Potongan Memanjang Bantalan N-67

Tabel 4. 3 Penyelesaian Fungsi Trigonometri dan Hiperbolik

$\sin \lambda L$	=	0,674	$\cos 2\lambda c$	=	0,247
$\sinh \lambda L$	=	5,477	$\cos \lambda L$	=	-0,739
$\cosh \lambda a$	=	1,150	$\sinh \lambda c$	=	0,710
$\cosh 2\lambda c$	=	2,007	$\sin \lambda c$	=	0,614
$\cosh \lambda L$	=	5,568	$\sin \lambda (L-c)$	=	0,985
$\cos \lambda a$	=	0,857	$\sinh \lambda (L-c)$	=	2,765
$\sinh 2\lambda a$	=	1,304	$\cosh \lambda c$	=	1,226
$\sin 2\lambda c$	=	0,969	$\cos \lambda (L-c)$	=	-0,170
$\sinh 2\lambda c$	=	1,740	$\cos \lambda c$	=	0,790
$\sin 2\lambda a$	=	0,882	$\cosh \lambda (L-c)$	=	2,940

$$\begin{aligned}
 M_{C/D} &= \frac{P_d x 60\%}{4 x \lambda} x \frac{1}{\sinh \lambda L + \sin \lambda L} [2 \cosh^2 \lambda a (\cos 2\lambda c + \cosh \lambda L) \\
 &\quad - 2 \cos^2 \lambda a (\cosh 2\lambda c + \cos \lambda L) - \sinh 2\lambda a (\sin 2\lambda c + \\
 &\quad \sinh \lambda L) - \sin 2\lambda a (\sinh 2\lambda c + \sin \lambda L)] \\
 &= \frac{11000 x 60\%}{4 x 0,012} x \frac{1}{5,477+0,674} [2,643 (0,247 + 5,568) \\
 &\quad - 1,471 (2,007 + (-0,739)) - 1,304 (0,969 + 5,477) - \\
 &\quad 0,882 (1,740 + 0,674)] \\
 &= 66314,122 \text{ kgcm} < \text{Momen ijin} = 150000 \text{ kgcm (OK)}
 \end{aligned}$$

Berdasarkan spesifikasi penampang bantalan pada potongan B-B bantalan beton tipe N-67 dapat dihitung momen di titik O atau tepat dibawah kaki rel (lihat Gambar 4.9)

$$A_2 = \frac{1}{2} x (a_2 + b_2) x h_2 = \frac{1}{2} x (150 + 226) x 190 = 357,2 \text{ cm}^2$$

$$I_2 = \frac{a_2^2 + (4 x a_2 x b_2) + b_2^2}{36 x (a_2 + b_2)} x h_2^3$$

$$= \frac{a_1^2 + (4 \times 150 \times 226) + 226^2}{36 \times (150 + 226)} \times 190^3 = 10599,43 \text{ cm}^4$$

$$\begin{aligned}\lambda_2 &= \sqrt[4]{\frac{k}{4 \times E \times I_x}} \\ &= \sqrt[4]{\frac{180}{4 \times 143108,4 \times 10599,43}} = 0,013 \text{ cm}^{-1}\end{aligned}$$

Tabel 4. 4 Penyelesaian Fungsi Trigonometri dan Hiperbolik

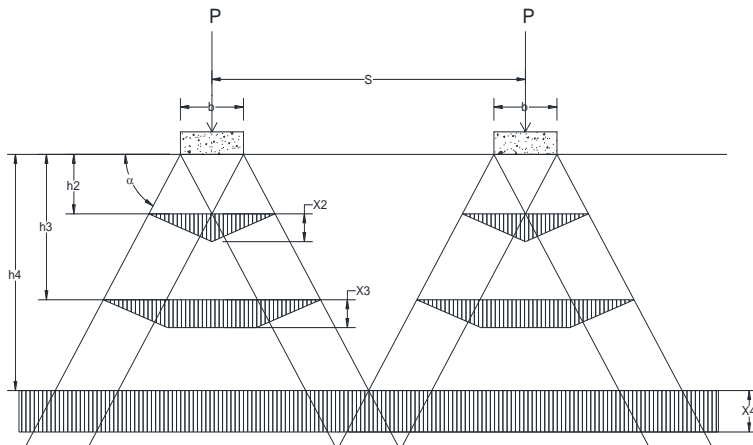
$\sin \lambda L$	=	0,494	$\cos 2\lambda c$	=	0,127
$\sinh \lambda L$	=	6,865	$\cos \lambda L$	=	-0,869
$\cosh \lambda a$	=	6,937	$\sinh \lambda c$	=	0,786
$\cosh 2\lambda c$	=	2,236	$\sin \lambda c$	=	0,661
$\cosh \lambda L$	=	6,937	$\sin \lambda(L-c)$	=	0,945
$\cos \lambda a$	=	0,831	$\sinh \lambda(L-c)$	=	3,278
$\sinh 2\lambda a$	=	1,476	$\cosh \lambda c$	=	1,272
$\sin 2\lambda c$	=	0,992	$\cos \lambda(L-c)$	=	-0,326
$\sinh 2\lambda c$	=	2,000	$\cos \lambda c$	=	0,751
$\sin 2\lambda a$	=	0,925	$\cosh \lambda(L-c)$	=	3,427

$$\begin{aligned}M_O &= - \frac{P_d \times 60\%}{2 \times \lambda} \times \frac{1}{\sinh \lambda L + \sinh \lambda L} [\sinh \lambda c (\sin \lambda c + \sin \lambda(L-c)) + \sin \lambda c (\sinh \lambda c + \sinh \lambda(L-c)) + \cosh \lambda c \cos \lambda(L-c) - \cos \lambda c \cosh \lambda(L-c)] \\ &= - \frac{11000 \times 60\%}{2 \times 0,013} \times \frac{1}{6,865 + 0,494} [0,786 (0,661 + 0,945)) + 0,66 (0,786 + 3,278)) + 1,272 \times (-0,326)) - 0,751 \times 3,427)] \\ &= 34171,406 \text{ kgcm} < \text{Momen ijin} = 93000 \text{ kgcm (OK)}\end{aligned}$$

Jadi, bantalan beton tipe N-67 dapat menerima beban kereta api dengan beban gandar 14 Ton dengan jarak antar bantalan 60 cm

#### 4.2.4 Perencanaan Balas

##### 4.2.4.1 Perhitungan Tebal Balas Dibawah 2 Bantalan



Gambar 4. 11 Distribusi Tegangan Akibat Beban Gandar

Dimana :

P = Tekanan gandar kereta api (kg) (perhitungan subbab 4.2.1.1)

b = Lebar bantalan (cm) (Gambar 4.6)

S = Jarak antar bantalan (cm)

$\alpha$  = Sudut penyebaran tekanan (untuk batu pecah =  $60^\circ$  dan untuk pasir =  $45^\circ$ )

h = Tebal alas balas (cm)

x = Tegangan maksimal yang terjadi pada kedalaman h ( $\text{kg}/\text{cm}^2$ )

Tegangan maksimal langsung dibawah bantalan =  $P_o \text{ kg}/\text{cm}^2$

$$\sigma = P_o = \frac{P}{A} = \frac{P}{b \times \text{panjang bantalan}} = \frac{14000}{25 \times 200} = 2,80 \text{ kg}/\text{cm}^2$$

Sampai pada kedalaman h2 tegangan maksimal tetap  $P_o \text{ kg}/\text{cm}^2$

$$h_2 = \frac{1}{2} \times b \times \tan \alpha = \frac{1}{2} \times 25 \times \tan 60^\circ = 21,65 \text{ cm}$$

$$x_1 = P_o \quad \text{dan} \quad x_2 = P_o$$

Untuk kedalaman  $h_3$

$h_3 = 30 \text{ cm}$  (Tebal balas minimal untuk kelas jalan III)

$$x_3 = \frac{b}{2 \times h_3} \times \tan \alpha \times P_o$$

$$= \frac{b}{2 \times h_3} \times \tan \alpha \times P_o = \frac{25}{2 \times 30} \times \tan 60^\circ \times 2,80 = 2,02 \text{ kg/cm}^2$$

Jika  $h_3 > h_2$  atau dengan kata lain  $h_3$  lebih dalam dari pada  $h_2$ , maka tegangan maksimal yang terjadi pada kedalaman  $h_3$  akan lebih kecil dari pada tegangan maksimal pada kedalaman  $h_2$

Jadi,  $x_3 = 2,02 \text{ kg/cm}^2 < x_2 = 2,80 \text{ kg/cm}^2$

Pada ketebalan balas  $h_4$ , terlihat bahawa tegangan yang terjadi telah tersebar merata (tidak ada tegangan maksimal sebagaimana pada  $h_2$ ,  $h_3$ ) dan juga sudah tidak dapat dibuat lebih kecil lagi. Oleh sebab itu tidak perlu mempertebal alas balas lebih dari  $h_4$  lagi.

$$\text{Tebal balas maksimal } h_4 = \frac{1}{2} \times S \times \tan \alpha = \frac{1}{2} \times 60 \times \tan 60^\circ = 55 \text{ cm}$$

$$\text{Tegangan yang terjadi } x_4 = \frac{b}{2 \times h_4} \times \tan \alpha \times P_o$$

$$= \frac{25}{2 \times 55} \times \tan 60^\circ \times 2,8 = 1,103 \text{ kg/cm}^2$$

### Rumus Terzaghi untuk mencari daya dukung tanah.

$$q_{ult} = 1,3.c.N_c + q.N_q + 0,4.\gamma.B.N_\gamma$$

Diketahui data tanah sebagai berikut :

$$c = 0,001 \text{ kg/cm}^2$$

$$\phi = 35,56^\circ$$

$$\gamma_t = 0,001991 \text{ kg/cm}^3$$

$$\begin{aligned} q &= \gamma t \times D, \quad D = 1 \text{ m} \\ &= 0,001991 \times 100 \\ &= 0,1991 \text{ kg/cm}^2 \end{aligned}$$

Untuk nilai faktor daya dukung berdasarkan Tabel 11.1 Buku Mekanika Tanah 2 Braja M Das, dengan  $\phi = 35,56^\circ$  maka didapat faktor daya dukung Terzaghi :

$$N_c = 48,355$$

$$N_q = 35,525$$

$$N_\gamma = 52,17$$

$$\begin{aligned} q_{ult} &= 1,3.c.N_c + q.N_q + 0,4.\gamma.B.N_\gamma \\ &= 1,3 \times 0,001 \times 48,355 + 0,1991 \times 35,525 + 0,4 \times 0,001991 \\ &\quad \times 25 \times 52,17 \\ &= 8,175 \text{ kg/cm}^2 \end{aligned}$$

$$x_{ijin} = \frac{q_{ult}}{F_s} = \frac{8,175}{2} = 4,09 \text{ kg/cm}^2$$

Jadi, pada kedalaman  $h_4$  tegangan maksimal yang terjadi lebih kecil dari pada tegangan yang diijinkan.

$$x_4 = 1,103 \text{ kg/cm}^2 < x_{ijin} = 4,09 \text{ kg/cm}^2$$

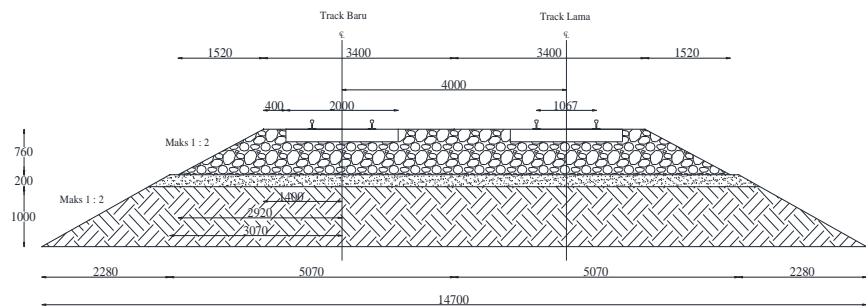
#### 4.2.5 Stabilitas Badan Jalan Kereta Api

Dalam ruas jalan kereta api rel ganda Banyuwangi KM 71+390, terdapat jalan baru sehingga perlu adanya kontrol untuk stabilitas pada badan jalan kereta api. Kontrol stabilitas tanah dalam perencanaan ini dilakukan dengan alasan :

1. Di lokasi merupakan tanah asli yang belum mengalami perbaikan tanah.
2. Di lokasi ini merupakan tikungan sehingga perlu adanya faktor keamanan untuk mencegah anjloknya kereta api.



Gambar 4. 12 Ruas Jalan Kereta Api KM 71+390



Gambar 4. 13 Sketsa Penampang Melintang KM 71+390

Rumus Terzaghi untuk mencari daya dukung tanah :

$$q_{ult} = c \times N_c + q \times N_q + 0,5 \times \gamma \times B \times N_\gamma$$

Dimana :

- $q_{ult}$  = Daya dukung ultimit
- $c$  = Kohesi tanah
- $\gamma$  = Berat volume tanah
- D = Kedalaman pondasi

B = Lebar pondasi

Nc, Nq, N $\gamma$  = Faktor daya dukung Terzaghi ditentukan oleh besar sudut geser dalam ( $\phi$ ).

SOIL DESCRIPTION																
Depth (m)	INSTRUMENTED STAKE GWL (m)	BOR LOG	DESKRIPSI TANAH/BATUAN	Physical Properties			Atterberg Limit			Oedometer Test			Strength Test			
				$\gamma_t$ Tensil kN/m <sup>3</sup>	$W_c$ %	$S_r$ %	$e$	$G_s$	LL %	PL %	IP %	Cc	Swelling Test Type	Testing C kg/cm <sup>2</sup>	$\phi$ °	$\sigma_u$ kg/cm <sup>2</sup>
0																
1,0			Lempung Berbanau Coklat	1.630	63.36	101.12	1.667	2.660	*	*	*	*	*	*	Triaxial UU 0.145	1.00
2,0			Lempung Berbanau Coklat													
3,0			Lempung Berbanau Coklat	1.571	71.19	99.04	1.937	2.695	*	*	*	*	*	*	Triaxial UU 0.075	0.70
4,0			Lempung Berbanau Berpasir Coklat													
5,0				1.443	75.40	92.29	2.052	2.512	*	*	*	*	*	*	Triaxial UU 0.109	0.70

**LEGENDA:**

	Lempung		Pasir		Batuan
	Lansau		Kerikil		MAT

**REMARKS:**

* = No Test	$\gamma_t$ = Unit weight	$e$ = Void Ratio	LL = Limit limit
NP = Non Plastic	$W_c$ = Water content	$G_s$ = Specific Gravity	PL = Plastic limit
NS = No Sample	$S_r$ = Degree of Saturation	Sp = Swelling Potential	IP = Plasticity Index
UD = Undrained Undrained	UT = Unconsolidated Undrained	SWP = Swelling Pressure	
DS = Direct Shear			

Gambar 4. 14 Data Tanah Lapangan Terdekat

Sumber : Lab. Tanah Teknik Infrastruktur Sipil ITS

Diketahui data tanah sebagai berikut : Tanah -1m

$$c = 1,45 \text{ t/m}^2$$

$$B = 2 \text{ m}$$

$$\phi = 1^\circ$$

$$SF = 2 \text{ (PM 60 Tahun 2012)}$$

$$\gamma_t = 1,63 \text{ t/m}^3$$

$$q = \gamma \times D$$

$$= 1,63 \text{ t/m}^3 \times 1 \text{ m} = 1,63 \text{ t/m}^2$$

Untuk nilai faktor daya dukung berdasarkan Tabel 11.1 Buku Mekanika Tanah 2 Braja M Das.

$$Nc = 5,38$$

$$Nq = 1,090$$

$$N\gamma = 0,07$$

$$q_{ult} = c \times Nc + q \times Nq + 0,5 \times \gamma \times B \times N\gamma$$

$$= 1,45 \times 5,38 + 1,63 \times 1,090 + 0,5 \times 1,63 \times 2 \times 0,07$$

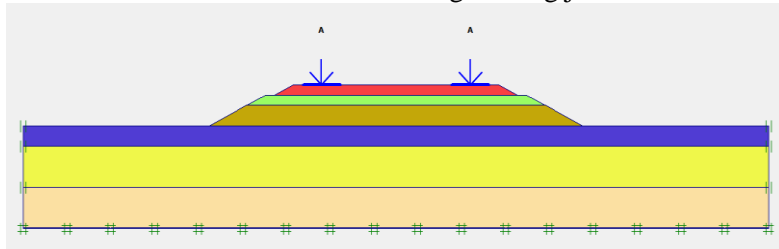
$$= 9,692 \text{ t/m}^2$$

$$q_{ijin} = \frac{q_{ult}}{SF} = \frac{9,692}{2} = 4,8 \text{ t/m}^2 \quad (\text{Tegangan Ijin})$$

### Kontrol analisa tegangan tanah menggunakan program Plaxis 8.6.

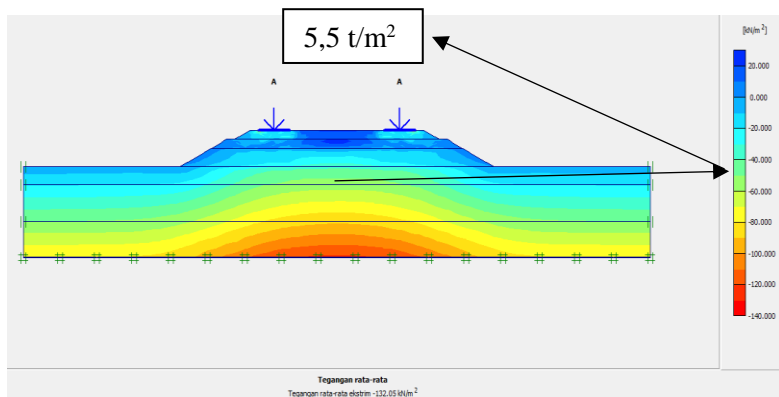
Analisa 1 :

Dilakukan pemodelan pada Plaxis 8.6 sesuai dengan sketsa penampang melintang. Kemudian diberikan beban gandar lokomotif sebesar 14 ton untuk masing-masing jalur.

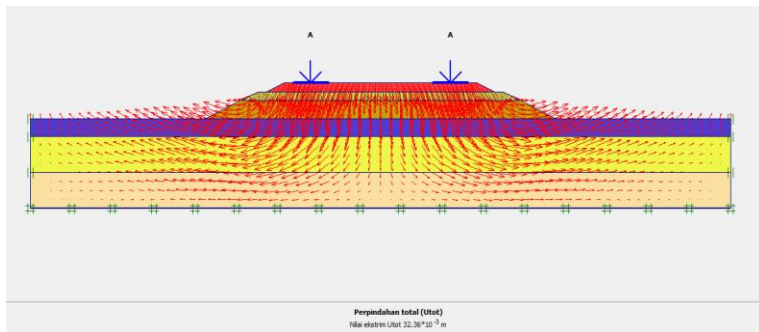


Gambar 4. 15 Pemodelan Beban Pada Plaxis 8.6

Dari analisa tegangan tanah menggunakan Plaxis 8.6 didapat tegangan tanah sebesar  $5,5 \text{ t/m}^2 > 4,8 \text{ t/m}^2$  dari tegangan ijin yang ada di lapangan dan nilai displacement 1,274 inch.

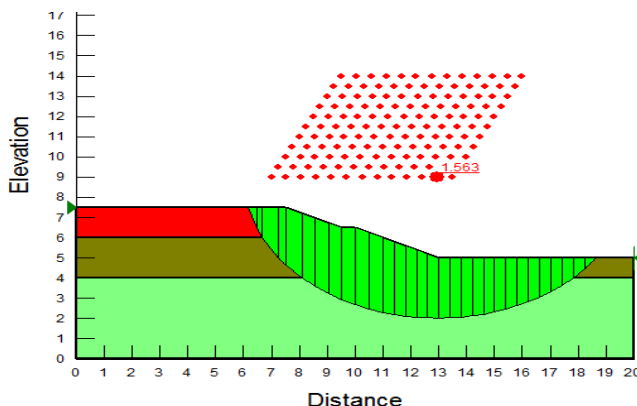


Gambar 4. 16 Hasil Analisa Tegangan Tanah Plaxis 8.6



Gambar 4. 17 Hasil Analisa Displacement Plaxis 8.6

Kemudian dikontrol dengan menggunakan program Geoslope di dapat angka SF = 1,563 < 2 (Safety Faktor Ijin)



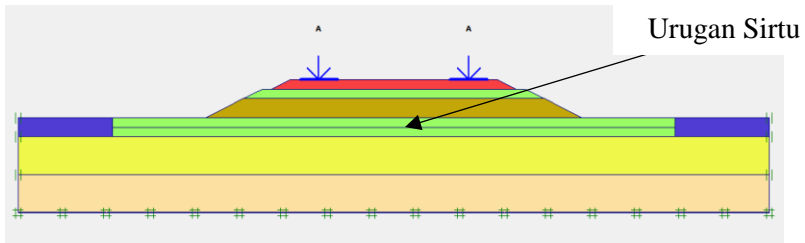
Gambar 4. 18 Safety Faktor Pada Program Geoslope

Dari hasil analisa 1 dapat disimpulkan akan terjadi pergerakan tanah terhadap tanah dasar, sehingga perlu adanya perbaikan kondisi pada tanah dasar.

Perbaikan tanah yang dilakukan adalah dengan mengupas tanah asli sedalam 100 cm dan diganti dengan sirtu yang dipadatkan per 20 cm. Kemudian dilakukan analisa 2.

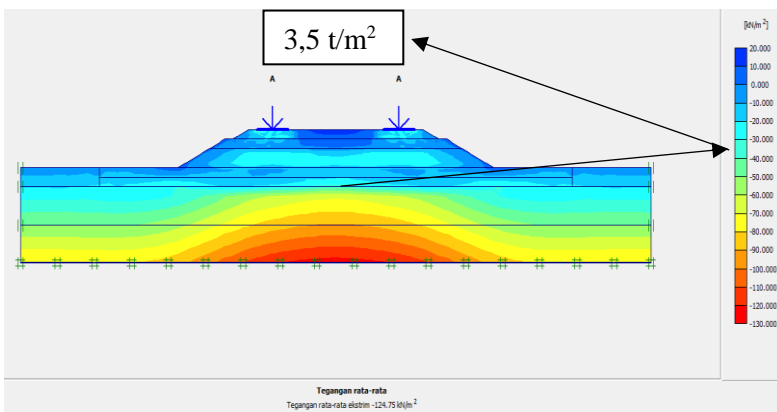
### Analisa 2 :

Dalam analisa 2 tanah asli diganti dengan sirtu sedalam 100 cm, kemudian dimodelkan kedalam Plaxis 8.6.

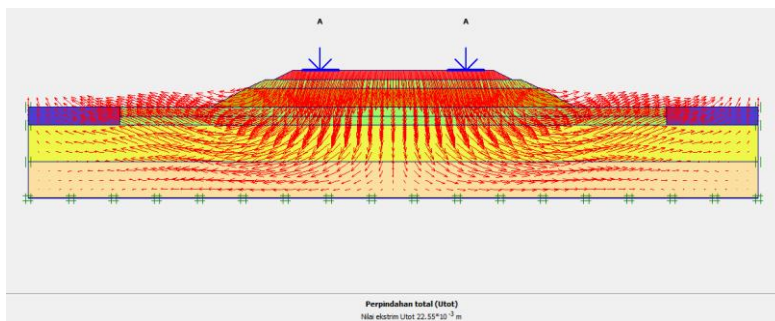


Gambar 4. 19 Pemodelan Beban Plaxis 8.6 Untuk Perbaikan Tanah

Setelah dilakukan perbaikan tanah dan di analisa menggunakan Plaxis 8.6 didapat tegangan tanah sebesar  $3,5 \text{ t/m}^2 < 4,8 \text{ t/m}^2$  dari tegangan yang terjadi di lapangan dan nilai displacement 0,888 inch

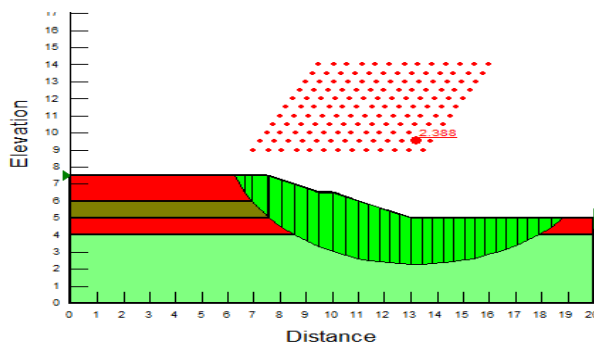


Gambar 4. 20 Hasil Analisa Tegangan Tanah Perbaikan Plaxis 8.6



Gambar 4. 21 Hasil Analisa Displacement Tanah Perbaikan Plaxis 8.6

Kemudian dikontrol dengan menggunakan program Geoslope untuk menentukan faktor keamanan.



Gambar 4. 22 Safety Faktor Pada Program Geoslope

Berdasarkan perhitungan stabilitas kelongsoran dengan menggunakan Program Geoslope, didapat faktor keamanan  $2,388 > 2$  dari faktor keamanan yang diijinkan, maka badan jalan tersebut aman untuk jalan kereta api.

#### 4.2.6 Perencanaan Sambungan

Digunakan sambungan melayang dan penempatan secara siku. Untuk pelat yang digunakan adalah plat lurus pada trase yang lurus dan plat siku pada tikungan.

##### 4.2.6.1 Penentuan Letak Lubang Baut

Letak lubang-lubang untuk tempat baut penyambung ditentukan sebagai berikut ( dalam Wahyudi, H 1983) (Gambar 2.10)

$$\begin{aligned}\text{Diameter oval (w)} &= \phi_{\text{baut}} + \frac{1}{2} \Delta L \\ &= 24 + \frac{1}{2} \times 10 = 29 \text{ mm}\end{aligned}$$

Jarak ujung lubang baut paling tepi dari ujung rel (m) adalah :

$$\begin{aligned}m &= \frac{1}{2} \times (a + d - w) \\ &= \frac{1}{2} \times (160 + 24 - 29) = 77,5 \text{ mm}, \text{ buat } 8 \text{ mm dari tepi rel}\end{aligned}$$

Dimana :

a = jarak antara pusat baut paling ujung dari kedua belah rel

d = diameter baut

w = diameter baut oval

##### 4.2.6.2 Gaya yang bekerja pada baut penyambung

Baut plat penyambung harus kuat menahan gaya sebagai berikut (dalam penjelasan Peraturan Dinas No. 10).

$$H = T' + T''$$

$$M = H \times (a + b + c)$$

$$M' = H \times (a + b)$$

$$M'' = T'' \times (a + b) + T'' \times c$$

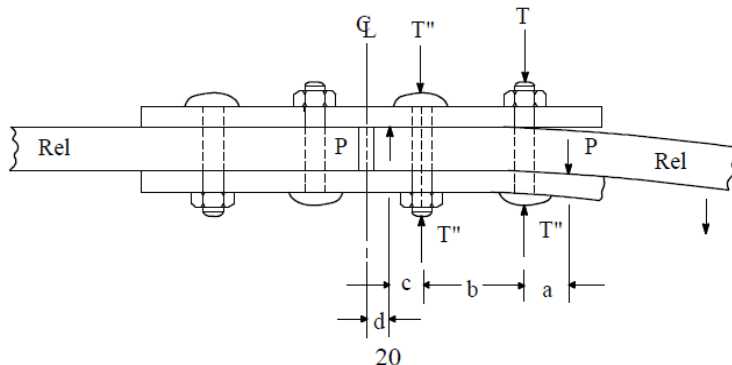
Dimana :

H = Gaya lateral yang bekerja di tengah-tengah plat penyampung

T' dan T'' = Gaya tarik baut sebelah luar dan dalam

$M'$  dan  $M''$  = Momen peralihan sebelah dalam dan luar plat antara pusat tekanan rel yang akan disambung

$M$  = Momen total arah lateral



Gambar 4. 23 Sambungan Pada Rel

Dipakai baut diameter  $\phi$  24 mm, diameter draf ( $\phi_d$ ) 23 mm

$$\text{Luas baut} = \frac{1}{4} \pi \times \pi \times \phi_d^2 = \frac{1}{4} \pi \times \pi \times 23^2 = 415,27 \text{ mm}^2$$

$$\text{Kekuatan tarik baut} = 0,75 \times 4,1527 \times 4000 = 12458,1 \text{ kg}$$

Kekuatan baut akibat beban bolak balik

$$T = 0,5 \times 12458,1 \text{ kg} = 6229,1 \text{ kg}$$

Dipakai R.54, tekanan roda = 7000 kg untuk kelas jalan III dengan kecepatan maksimum 100 km/jam

$$V_{\text{renc}} = 100 \text{ km/jam}$$

Kemiringan tepi bawah rel = 1 : 2,75 (Tabel 3.12 PD 10)

$$P_d = 11000 \text{ kg}$$

$$Q = \frac{P_d}{2} = \frac{11000}{2} = 5500 \text{ kg}$$

$$H = \frac{1}{2,75} \times Q = \frac{1}{2,75} \times 5500 = 2000 \text{ kg}$$

Dengan direncanakan nilai  $a = 7 \text{ cm}$ ,  $b = 13 \text{ cm}$ ,  $c = 4 \text{ cm}$  didapat momen yang terjadi pada baut ( $M$ )

$$M = H \times (a + b + c) = 2000 \times (7 + 13 + 4) = 4800 \text{ kgcm}$$

$$M' = H \times (a + b) = 2000 \times (7 + 13) = 40000 \text{ kgcm}$$

$$\begin{aligned} M' &= T' \times b \\ 40000 &= T' \times 13 \\ T' &= \frac{40000}{13} = 3077 \text{ kg} \end{aligned}$$

Gaya tarik yang bekerja pada baut sisi tengah  
 $T' < T$   
 $3077 \text{ kg} < 6229,1 \text{ kg}$  (**OK**)

Gaya aksial yang bekerja pada baut sisi luar  
 $T'' = H - T' = 2000 - 3077 = -1077 \text{ kg}$   
 $T'' < T$   
 $1077 \text{ kg} < 6229,1 \text{ kg}$  (**OK**)

#### 4.2.6.3 Menentukan Lebar Celah Sambungan

Rel merupakan material yang dibuat dari logam yang dapat berubah panjangnya akibat perubahan suhu. Untuk mengatasi perubahan panjang rel ini maka pada sambungan rel perlu diberikan celah.

Celah untuk rel standar dan rel pendek ( $L = 25 \text{ m}$ )  
 $G = L \times \alpha \times (40 - t) + 2$

Dimana :  
 $L$  = Panjang rel  
 $\alpha$  = Koefisien muai rel ( $1,2 \cdot 10^{-5}$ )  
 $t$  = Suhu pemasangan

Untuk rel dengan panjang 25 m, lebar celah pemasangan pada suhu  $28^\circ$  dihitung sebagai berikut :

$$\begin{aligned} G &= 25000 \times 1,2 \cdot 10^{-5} \times (40 - 28) + 2 = 5,6 \text{ mm} \\ \text{Rel panjang} \end{aligned}$$

Pada perencanaan ini rel tipe R.54 panjangnya 250 m. Lebar celah pada suhu pemasangan  $28^\circ$  adalah :

$$G = \frac{E \times A \times \alpha \times (50-t)^2}{2 \times L}$$

$$= \frac{2,1 \cdot 10^4 \times 69,34 \times 1,2 \cdot 10^{-5} \times (50-28)^2}{2 \times 250} = 18,91 \text{ mm}$$

#### 4.2.7 Perencanaan Penambat

Untuk mencegah bantalan dari kerusakan akibat adanya getaran dengan frekuensi tinggi akibat kereta bergerak maka digunakan penambat elastis yang dapat mengurangi getaran pada rel terhadap bantalan.

Perhitungan :

- Alat penambat elastis = DE Spring Clips
- Daya jepit = 1300 kgf
- Jarak bantalan = 60 cm
- Jumlah penambat tiap 1,652 m (jarak gandar)

$$n = \frac{165,2}{60} = 3 \text{ pasang}$$

$$\text{Kuat jepit penambat} = 3 \times (1300 \times 2) = 7159 \text{ kg/pasang}$$

Gaya yang terjadi pada alat penambat

- a. Akibat pemuaian (sepanjang daerah muai  $L = 250 \text{ m}$ )

$$F_1 = \frac{G \times E \times A}{L} = \frac{0,01891 \times 2,1 \cdot 10^6 \times 69,34}{250} = 11016,88 \text{ kg}$$

Tiap jarak gandar 1,652 m

$$F_1 = \frac{11016,88}{250} \times 1,652 = 72,80 \text{ kg}$$

- b.  $F_2 = f \times P_d$

$f$  = koefisien geser rel yang tergantung pada kecepatan kereta api

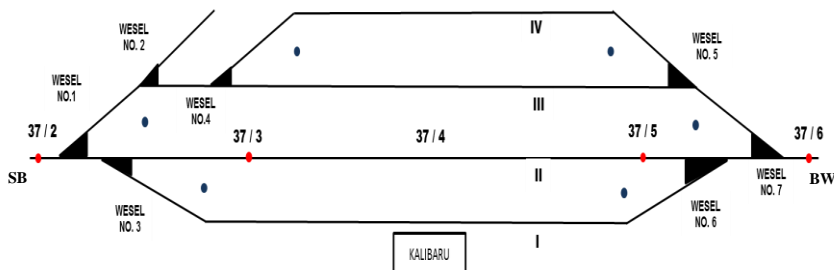
$V = 100 \text{ km/jam}$ , maka  $f = 0,29$

$$\begin{aligned}
 V_{\text{renc}} &= 1,25 \times V_{\text{maks}} = 1,25 \times 100 = 125 \text{ km/jam} \\
 F_2 &= f + [\text{Ps} + 0,01 \times \text{Ps} \times (\frac{V}{1,609} - 5)] \\
 &= 0,29 + [7000 + 0,01 \times 7000 \times (\frac{125}{1,609} - 5)] \\
 &= 3505,57 \text{ kg} \\
 F_{\text{tot}} &= F_1 + F_2 = 72,80 \text{ kg} + 3505,57 \text{ kg} \\
 &= 3578,37 \text{ kg} < \text{Kuat jepit} = 7159 \text{ kg}
 \end{aligned}$$

#### 4.2.8 Penentuan Wesel Pada Emplasemen

Dalam penentuan letak wesel, penulis menggunakan data eksisting dari PT. KAI DAOP 9 Jember.

Emplasemen ST. Kalibaru  
KM 37+390  
Ketinggian +428 dari muka air laut



Sumber : PT. KAI DAOP 9 Jember

Tabel 4. 5 Letak Wesel Pada Emplasemen

NO	SUDUT	ARAH WESEL		TYPE REL	LIDAH	TERLAYAN		MERK	TAHUN PRODUKSI
		KANAN	KIRI			PUSAT	SETEMPAT		
1	01.10		Kiri	R.42	Pegas	Pusat			1980
2	01.10	Kanan		R.42	Pegas	Pusat			"
3	01.10	Kanan		R.42	Pegas	Pusat			"
4	01.10		Kiri	R.42	Pegas	Pusat			"
5	01.10		Kiri	R.42	Pegas	Pusat			"
6	01.10		Kiri	R.42	Pegas	Pusat			"
7	01.10	Kanan		R.42	Pegas	Pusat			"

Sumber : PT. KAI DAOP 9 Jember

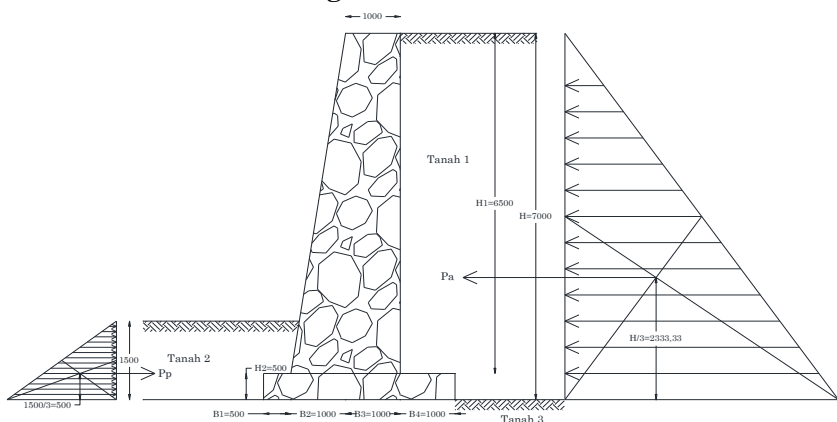
#### 4.2.9 Perencanaan Dinding Penahan Tanah

Pada KM 12+580 sampai KM12+680 terdapat sebuah lereng setinggi 7 m disisih kanan jalur eksisting dari arah Banyuwangi Baru. Maka untuk membangun jalur baru yang rencananya dibangun di sisi kanan maka lereng tersebut harus dikupas dan diberi dinding penahan tanah (Retaining Wall) sekitar 100 m agar tidak longsor. Dan dilakukan kontrol agar dinding tersebut tidak guling.



Gambar 4. 24 Jalur Eksisting KM 12+580 – KM 12+680

##### 4.2.9.1 Dimensi Dinding Penahan Tanah



Gambar 4. 25 Rencana Dinding Penahan Tanah

Berat jenis batu kali ( $\gamma_b$ ) = 2,2 t/m<sup>3</sup>

Data tanah 1 :

Berat jenis tanah ( $\gamma_t$ ) = 1,991 t/m<sup>3</sup>

Sudut geser ( $\phi$ ) = 35,56°

Kohesi (c) = 0,001 kg/cm<sup>2</sup>

Data tanah 2 :

Berat jenis tanah ( $\gamma_t$ ) = 2,037 t/m<sup>3</sup>

Sudut geser ( $\phi$ ) = 38,09°

Kohesi (c) = 0,004 kg/cm<sup>2</sup>

Data tanah 3 :

Berat jenis tanah ( $\gamma_t$ ) = 2,090 t/m<sup>3</sup>

Sudut geser ( $\phi$ ) = 39,31°

Kohesi (c) = 0,006 kg/cm<sup>2</sup>

#### 4.2.9.2 Menghitung Berat Dinding Penahan Tanah

Berat sendiri dinding penahan tanah dihitung dengan cara mengalikan volume dalam dengan berat jenis pasangan batu kali. Dari desain dinding penahan tanah maka distibusi bebananya dapat dilihat seperti di bawah ini :

Data dimensi dinding penahan tanah :

$H = 7 \text{ m}$        $B_3 = 1 \text{ m}$

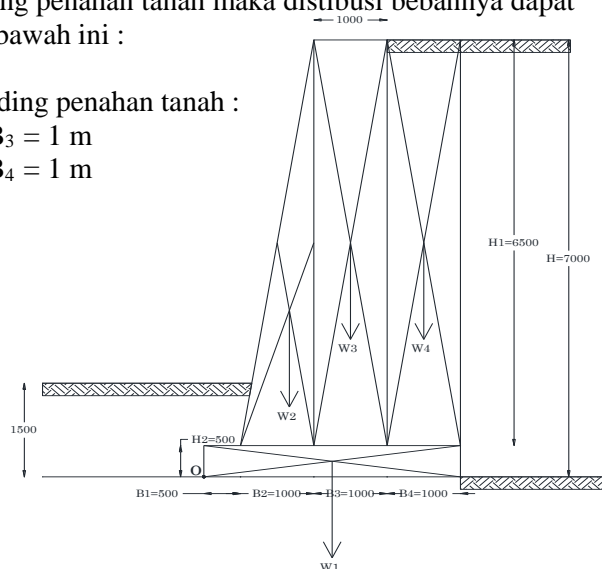
$H_1 = 6,5 \text{ m}$        $B_4 = 1 \text{ m}$

$H_2 = 0,5 \text{ m}$

$B = 3,5 \text{ m}$

$B_1 = 0,5 \text{ m}$

$B_2 = 1 \text{ m}$



Gambar 4. 26 Berat Sendiri Dinding Penahan Tanah

Dari gambar diatas tersebut dapat dihitung :

$$W_1 = B \times H_2 \times \gamma_b = 3,5 \times 0,5 \times 2,2 = 3,9 \text{ ton}$$

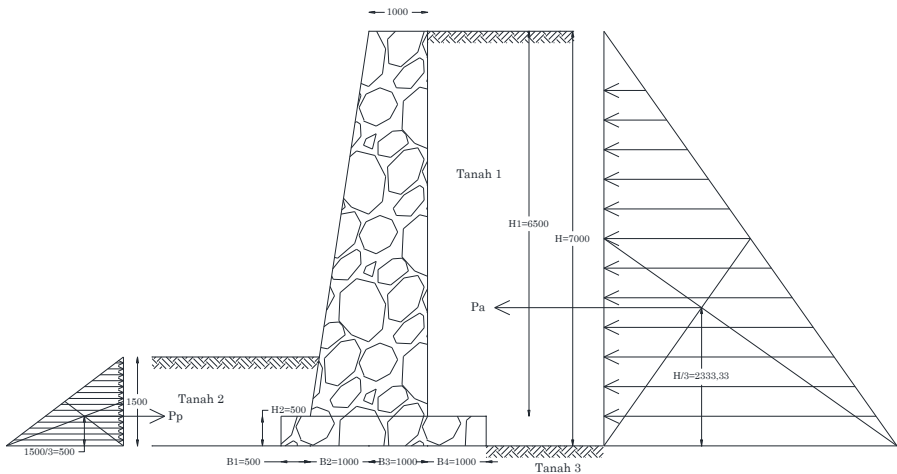
$$W_2 = \frac{1}{2} \times B_2 \times H_1 \times \gamma_b = \frac{1}{2} \times 1 \times 6,5 \times 2,2 = 7,15 \text{ ton}$$

$$W_3 = B_3 \times H_1 \times \gamma_b = 1 \times 6,5 \times 2,2 = 14,3 \text{ ton}$$

$$W_4 = B_4 \times H_1 \times \gamma_b = 1 \times 6,5 \times 1,991 = 12,94 \text{ ton}$$

#### 4.2.9.3 Menghitung Tekanan Tanah Aktif dan Pasif

Dengan adanya perbedaan elevasi tanah maka tentunya suatu dinding penahan tanah akan mengalami gaya tekanan dari tanah, baik tekanan aktif maupun pasif. Maka, setelah menghitung berat sendiri dinding penahan tanah, langkah selanjutnya adalah menggambar tekanan tanah aktif dan pasif seperti di bawah ini :



Gambar 4. 27 Tekanan Tanah Pada Dinding Penahan

Sebelum menghitung nilai tekanan tanah aktif maupun tekanan tanah pasifnya, terlebih dahulu harus menghitung koefisien tekanan tanah aktif dan pasif. Perhitungannya sebagai berikut :

$$K_a = \tan^2 (45 - \frac{\phi}{2}) = \tan^2 (45 - \frac{35,56}{2}) = 0,265$$

$$K_p = \frac{1}{K_a} = \frac{1}{0,265} = 3,78$$

Nilai  $K_a$  dan  $K_p$  sudah dihitung, maka selanjutnya kita hitung Tekanan tanah aktif dan pasif masing-masing bidang.

- Tekanan tanah aktif

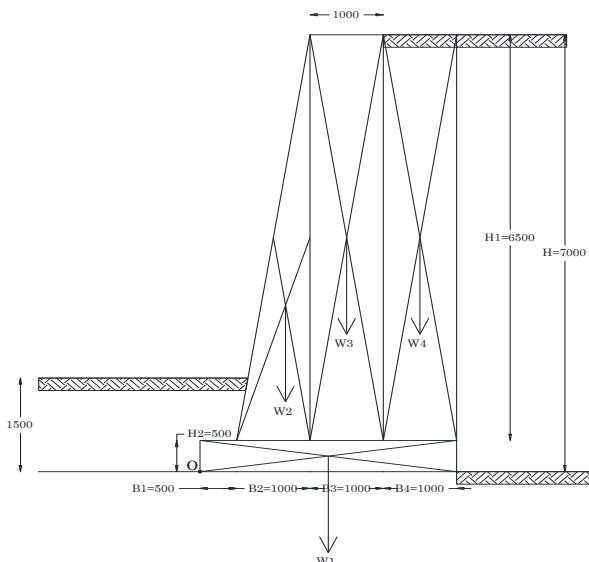
$$P_a = \frac{1}{2} \times K_a \times \gamma t \times H^2 = \frac{1}{2} \times 0,265 \times 1,991 \times 7^2 = 12,91 \text{ ton}$$

- Tekanan tanah pasif

$$P_p = \frac{1}{2} \times K_p \times \gamma t \times H_2^2 = \frac{1}{2} \times 3,78 \times 2,037 \times 1,5^2 = 8,66 \text{ ton}$$

#### 4.2.9.4 Menghitung Stabilitas Dinding Penahan Tanah

Stabilitas guling berkaitan dengan momen yang terjadi pada struktur dinding penahan. Momen tersebut terjadi karena adanya gaya-gaya lateral tanah terhadap dinding penahan, baik tekanan tanah aktif maupun pasif terhadap titik guling struktur dinding penahan tanah. Selain itu akan terjadi momen resistensi dikarenakan berat sendiri struktur terhadap titik guling, yang akan berfungsi untuk menahan momen guling akibat gaya aktif tanah.



Gambar 4. 28 Letak Titik O Pada Dinding Penahan

Untuk langkah selanjutnya kita hitung dan rangkum perhitungan gaya-gaya momen seperti pada tabel di bawah ini :  
Momen (ton.m) = gaya (ton) x jarak (m)

Tabel 4. 6 Momen Akibat Berat Sendiri Struktur Dinding Penahan Tanah

Bidang	W (berat) ton	Jarak Dari Titik Guling O (m)	Momen (ton.m)
1	3,9	1,75	6,74
2	7,15	1,00	7,15
3	14,3	1,75	25,03
4	12,94	3,00	38,82
Total	38,2		77,7

$$\text{Jadi, } \Sigma W = 38,2 \text{ ton}$$

$$\Sigma M_w = 77,7 \text{ ton.m}$$

Momen akibat gaya lateral tanah

Untuk tekanan aktif

Tabel 4. 7 Momen Akibat Tekanan Tanah Aktif

P <sub>a</sub> (ton)	Jarak Dari Titik Guling O (m)	Momen (ton.m)
12,91	2,33	30,11

Untuk tekanan pasif

Tabel 4. 8 Momen Akibat Tekanan Tanah Pasif

P <sub>p</sub> (ton)	Jarak Dari Titik Guling O (m)	Momen (ton.m)
8,66	0,50	4,33

$$\text{Jadi total, } \Sigma P = 12,91 - 8,66 = 4,24 \text{ ton}$$

$$\Sigma M_g = 30,11 - 4,33 = 25,78 \text{ ton}$$

### 1. Stabilitas Guling

Tekanan tanah lateral yang diakibatkan oleh tanah di belakang dinding penahan, cenderung menggulingkan dinding, dengan pusat rotasi terletak pada ujung kaki depan dinding penahan tanah.

$$\begin{aligned} F_{gl} &= \frac{\text{Momen yang akan melawan}}{\text{Momen yang akan menggulingkan}} > 1,5 \\ &= \frac{\Sigma M_w}{\Sigma M P_a} > 1,5 \\ &= \frac{77,7}{30,11} > 1,5 \\ &= 2,58 > 1,5 \text{ (OK)} \end{aligned}$$

### 2. Stabilitas Geser

Stabilitas geser berkaitan dengan gaya transversal yang dapat menggeser struktur dinding penahan tanah. Akan tetapi gaya tersebut akan ditahan oleh gaya gesek yang terjadi antara bidang dasar dinding penahan tanah dengan tanah yang ada di bawahnya.

$$\begin{aligned} F_{gs} &= \frac{\Sigma W \tan \phi + c B + P_p}{P_a} > 2 \\ &= \frac{38,2 \times \tan 35,56 + 0,01 \times 3,5 + 8,66}{12,91} > 2 \\ &= 2,79 > 2 \text{ (OK)} \end{aligned}$$

### 3. Stabilitas Terhadap Keruntuhan Kapasitas Daya Dukung Tanah

Dalam hal ini akan digunakan persamaan Hansen pada perhitungan, dengan menganggap pondasi terletak di permukaan.

$$X_e = \frac{\Sigma M_w - \Sigma M P_a}{\Sigma W} = \frac{77,7 - 30,11}{38,2} = 1,25 \text{ m}$$

Eksentrisitas (e)

$$e = \frac{B}{2} - X_e = \frac{3,5}{2} - 1,25 = 0,505 \text{ m}$$

Lebar efektif (B')

$$B' = B - 2e = 3,5 - 2 \times 0,505 = 2,49 \text{ m}$$

$$A' = B' \times 1 = 2,49 \times 1 = 2,49 \text{ m}^2$$

Gaya – gaya yang ada pada dinding

- Gaya horizontal = 12,91 ton
- Gaya vertikal = 38,2 ton

Faktor kemiringan beban

$$\begin{aligned} i_q &= [1 - (\frac{0,5 \Sigma H}{\Sigma V + A' c \times \tan \phi})]^2 \\ &= [1 - (\frac{0,5 \times 12,91}{38,2 + 2,49 \times 0,06 \times \tan 39,31})]^2 \\ &= 0,398 \end{aligned}$$

Dengan nilai  $\phi = 39,31^\circ$  maka diperoleh

$$N_c = 67,870$$

$$N_q = 55,960$$

$$N_y = 92,25$$

$$\begin{aligned} i_c &= i_q - (\frac{1-i_q}{N_q-1}) \\ &= 0,398 - (\frac{1-0,398}{55,960-1}) = 0,387 \end{aligned}$$

$$\begin{aligned} i_y &= [1 - (\frac{0,7 \Sigma H}{\Sigma V + A' c \times \cotan \phi})]^5 \\ &= [1 - (\frac{0,7 \times 12,91}{38,2 + 2,49 \times 0,06 \times \cotan 39,31})]^5 \\ &= 0,263 \end{aligned}$$

Kapasitas Dukung Ultimit untuk Pondasi di permukaan menurut Hansen :

$$\begin{aligned} q_u &= i_q \times c \times N_c + i_y \times 0,5 \times B' \times \gamma \times N_\gamma \\ &= 0,398 \times 0,1 \times 67,870 + 0,263 \times 0,5 \times 2,49 \times 2,090 \times 92,25 \\ &= 64,65 \text{ t/m}^2 \end{aligned}$$

Bila dihitung berdasarkan lebar pondasi efektif, yaitu tekanan pondasi ke tanah dasar terbagi rata secara sama, maka

$$q' = \frac{\Sigma V}{B'} = \frac{38,2}{2,49} = 15,35 \text{ t/m}^2$$

Faktor aman terhadap keruntuhan kapasitas daya dukung tanah:

$$F = \frac{q_u}{q'} = \frac{64,65}{15,35} = 4,21 > 3 \text{ (OK)}$$

Penentuan daya dukung ijin

$$q \text{ ijin} = \frac{q_u}{FK} = \frac{64,65}{3} = 21,55 \text{ t/m}^2$$

Gaya V yang bekerja pada titik berjarak  $e < 1/6B$  menimbulkan tegangan tanah pada kedua ujung dasar dinding. Dengan menggunakan perumusan pada sub-bab 2.3.9, distribusi tegangan sepanjang base sebagai berikut :

$$\begin{aligned} q \text{ maks,min} &= \frac{P}{F} \pm \frac{M}{W} \\ &= \frac{\Sigma V}{L \times B} \pm \frac{\Sigma V \times e}{\frac{1}{6} \times L \times B^2} \\ &= \frac{38,2 \frac{\text{ton}}{\text{m}^2} \times 100 \text{ m}}{100 \text{ m} \times 3,5 \text{ m}} \pm \frac{6 \times (38,2 \frac{\text{ton}}{\text{m}^2} \times 100 \text{ m}) \times 0,505 \text{ m}}{100 \text{ m} \times (3,5 \text{ m})^2} \\ &= 10,926 \text{ t/m}^2 \pm 9,452 \text{ t/m}^2 \end{aligned}$$

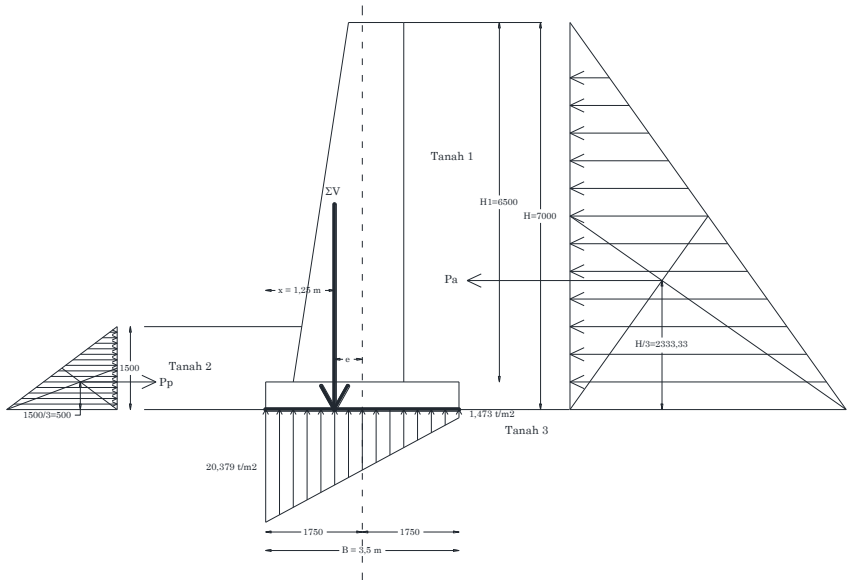
$$\begin{aligned} q \text{ maks} &= 20,379 \text{ t/m}^2 \\ q \text{ min} &= 1,473 \text{ t/m}^2 \end{aligned}$$

### Kontrol stabilitas

$$q_{ijin} > q_{maks}$$

$$21,55 \text{ t/m}^2 > 20,379 \text{ t/m}^2 \text{ (memenuhi daya dukung tanah)}$$

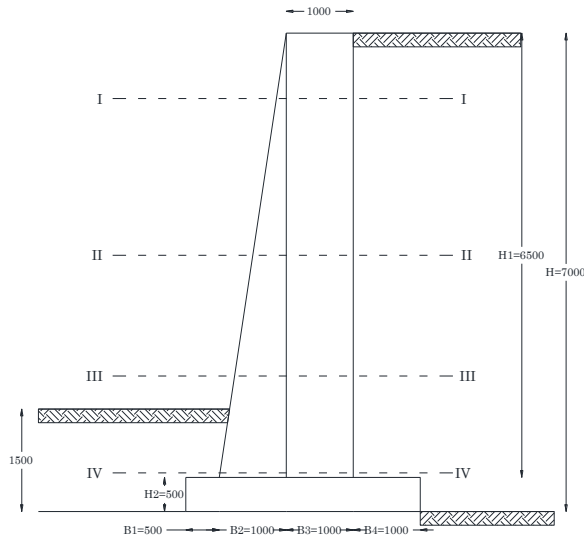
Jadi struktur dinding penahan tanah tidak pecah oleh pengaruh beban yang bekerja dan juga tidak rusak oleh pengaruh momen dan tekanan



Gambar 4. 29 Tegangan Tanah Pada Dasar Dinding Penahan Tanah

### 4. Kontrol Terhadap Kekuatan Struktur

Untuk menghitung kekuatan struktur maka perlu di cek terhadap beberapa potongan (lihat Gambar 4.30)



Gambar 4. 30 Kekuatan Struktur Pada Tiap Potongan

#### Kontrol Retak Struktur Dinding Penahan Tanah

Dengan menggunakan perumusan pada sub-bab 2.3.9, diisyaratkan  $q_{\text{maks}} < q$  bahan pasangan batu kali ( $150 \text{ t/m}^2$ ) agar struktur dinding penahan tanah tidak mengalami pecah.

##### 1. Potongan I – I

$$\begin{aligned}
 q_{\text{maks}} &= \frac{\Sigma V}{L \times B} + \frac{\Sigma V \times e}{\frac{1}{6} \times L \times B^2} \\
 &= \frac{417,736}{100 \times 2,147} + \frac{417,736 \times 0,505}{\frac{1}{6} \times 100 \times 2,147^2} \\
 &= 1,946 \text{ t/m}^2 + 2,744 \text{ t/m}^2 \\
 &= 4,690 \text{ t/m}^2 < 150 \text{ t/m}^2 \quad (\text{OK})
 \end{aligned}$$

##### 2. Potongan II – II

$$\begin{aligned}
 q_{\text{maks}} &= \frac{\Sigma V}{L \times B} + \frac{\Sigma V \times e}{\frac{1}{6} \times L \times B^2} \\
 &= \frac{1542,475}{100 \times 2,5} + \frac{1542,475 \times 0,505}{\frac{1}{6} \times 100 \times 2,5^2}
 \end{aligned}$$

$$\begin{aligned}
 &= 6,170 \text{ t/m}^2 + 7,473 \text{ t/m}^2 \\
 &= 13,643 \text{ t/m}^2 < 150 \text{ t/m}^2 \quad (\text{OK})
 \end{aligned}$$

3. Potongan III – III

$$\begin{aligned}
 q \text{ maks} &= \frac{\Sigma V}{L \times B} + \frac{\Sigma V \times e}{\frac{1}{6} \times L \times B^2} \\
 &= \frac{2530,682}{100 \times 2,772} + \frac{2530,682 \times 0,505}{\frac{1}{6} \times 100 \times 2,772^2} \\
 &= 9,129 \text{ t/m}^2 + 9,973 \text{ t/m}^2 \\
 &= 19,102 \text{ t/m}^2 < 150 \text{ t/m}^2 \quad (\text{OK})
 \end{aligned}$$

4. Potongan IV – IV

$$\begin{aligned}
 q \text{ maks} &= \frac{\Sigma V}{L \times B} + \frac{\Sigma V \times e}{\frac{1}{6} \times L \times B^2} \\
 &= \frac{3398,604}{100 \times 2,989} + \frac{3398,604 \times 0,505}{\frac{1}{6} \times 100 \times 2,989^2} \\
 &= 11,370 \text{ t/m}^2 + 11,519 \text{ t/m}^2 \\
 &= 22,889 \text{ t/m}^2 < 150 \text{ t/m}^2 \quad (\text{OK})
 \end{aligned}$$

## **BAB V**

### **KONSTRUKSI BANGUNAN PELENGKAP**

#### **5.1 Perencanaan Drainase Jalan Kereta Api**

Sistem drainase, yaitu sistem pengaliran pembuangan air disuatu daerah jalan rel agar tidak sampai terjadi penggenangan. Sistem drainase berfungsi :

1. Mengurangi pengaruh air yang dapat merubah konsistensi tanah sehingga tubuh jalan selelu dalam kondisi firm (mantap, keras dan padat). Akibatnya pembentukan kantong-kantong balas tidak terjadi.
2. Tidak ada genangan air pada jalan rel (baik mengenai daerah balas maupun tubuh jalan), di mana ini akan menyebabkan terjadinya pembuangan lempung dan gaya (efek) pompa disaat kereta api lewat yang bisa maikin memperlambat kestabilan dan kekuatan jalan rel.

##### **5.1.1 Curah Hujan Harian Maksimum**

Sebelum merencanakan saluran drainase maka dibutuhkan data curah hujan daerah setempat, dalam hal ini data curah hujan di Kabupaten Banyuwangi selama 10 tahun terakhir.

Tabel 5. 1 Data Curah Hujan Harian Maksimum Sta. Hujan Banyuwangi

No.	Tahun	Curah Hujan Harian Maksimum (mm)
1	2007	110,12
2	2008	109,13
3	2009	109,81
4	2010	109,19
5	2011	104,30
6	2012	109,71
7	2013	106,87
8	2014	108,30
9	2015	105,86
10	2016	108,69

Sumber : Website Badan Pusat Statistik Banyuwangi, 2016

### 5.1.2 Perhitungan Parameter Statistik Data

Dari data hujan yang diperoleh maka selanjutnya diolah untuk mendapatkan beberapa parameter yang digunakan untuk perhitungan curah hujan rencana.

Tabel 5. 2 Perhitungan Parameter Statistik Data

No.	Tahun	R (mm)	Log R	Log $\bar{R}$	(Log R - Log $\bar{R}$ )	$(\text{Log R} - \text{Log } \bar{R})^2$	$(\text{Log R} - \text{Log } \bar{R})^3$
1	2007	110,12	2,04	2,034	0,00771	0,00006	0,0000004581
2	2009	109,81	2,04		0,00648	0,00004	0,0000002727
3	2012	109,71	2,04		0,00609	0,00004	0,0000002258
4	2010	109,19	2,04		0,00403	0,00002	0,0000000652
5	2008	109,13	2,04		0,00379	0,00001	0,0000000543
6	2016	108,69	2,04		0,00203	0,00000	0,0000000084
7	2014	108,30	2,03		0,00047	0,00000	0,0000000001
8	2013	106,87	2,03		-0,00530	0,00003	-0,0000001490
9	2015	105,86	2,02		-0,00943	0,00009	-0,0000008373
10	2011	104,30	2,02		-0,01587	0,00025	-0,0000039991
Jumlah		1081,98	20,34		0,00000	0,00054	-0,0000039007

Sumber : Hasil Analisa Perhitungan

Perhitungan parameter statistik data diatas adalah :

$$\text{Log } \bar{R} = \frac{\sum \text{Log } R}{n} = \frac{20,34}{10} = 2,034$$

$$\overline{Sd \text{ Log } R} = \sqrt{\frac{\sum (\text{Log } R - \text{Log } \bar{R})^2}{n-1}} = \sqrt{\frac{0,00054}{10-1}} = 0,00776$$

$$Cv = \frac{\overline{Sd \text{ Log } R}}{\text{Log } \bar{R}} = \frac{0,00776}{2,034} = 0,00382$$

$$Cs = \frac{\sum (\text{Log } R - \text{Log } \bar{R})^3 \cdot n}{(n-1)(n-2)(\overline{Sd \text{ Log } R})^3} = \frac{-0,0000039007 \cdot 10}{(10-1)(10-2)(0,00776)^3} \\ = -1,16$$

### 5.1.3 Perhitungan Curah Hujan Rencana

Menentukan nilai k distribusi Log Person Type III

$$Cs = -1,16$$

$$Cs = -1,2 \quad k = 1,086$$

$$Cs = -1 \quad k = 1,128$$

$$k = 1,128 + \frac{-1,16-(-1)}{-1,2-(-1)} \times (1,086 - 1,128) = 1,095$$

$$\begin{aligned} \overline{\log R} &= \log \bar{R} + (k \times \overline{Sd \log R}) \\ &= 2,034 + (1,095 \times 0,00776) = 2,0427 \end{aligned}$$

Jadi, curah hujan rencana dalam 10 tahun

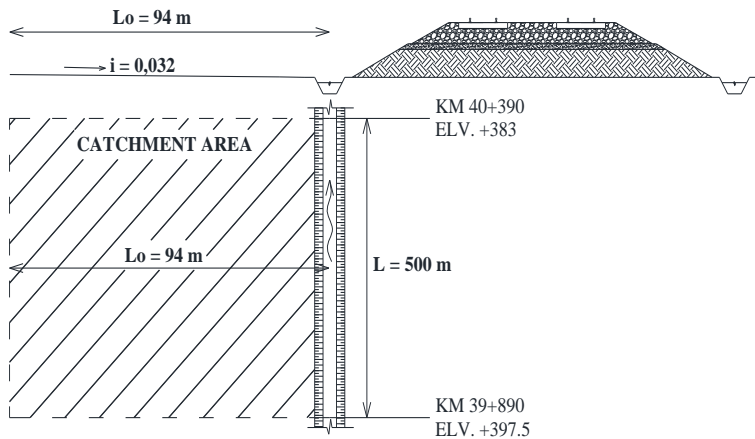
$$Rt = 10^{\overline{\log R}}$$

$$Rt = 10^{2,0427}$$

$$Rt = 110,32 \text{ mm}$$

### 5.1.4 Perhitungan Debit Air Rencana

Diketahui dari data lapangan :



Gambar 5. 1 Catchment Area

Panjang saluran rencana (L) = 500 m

Kemirinagn catchment ( $i_o$ ) = 0,032

Jarak titik terjauh DAS dengan inlet saluran ( $L_o$ ) = 94 m

Luas cathment area ( $A_1$ ) = 0,04417161 km<sup>2</sup>

Koefisien aliran (C) = 0,75 (daerah pemukiman)

### **Perhitungan waktu konsentrasi ( $t_c$ )**

$$t_o = 0,0195 \times \left(\frac{L_o}{\sqrt{i_o}}\right)^{0,77} = 0,0195 \times \left(\frac{249,47}{\sqrt{0,032}}\right)^{0,77} = 2,428 \text{ menit}$$

$$= 0,04 \text{ jam}$$

$$V_1 = 72 \times \left(\frac{i_o \times L}{L}\right)^{0,6} = 72 \times \left(\frac{0,032 \times 500}{500}\right)^{0,6} = 9,11 \text{ m/det}$$

$$t_f = \frac{L}{V \times 3600} = \frac{500}{9,11 \times 3600} = 0,015 \text{ jam}$$

$$t_c = t_o + t_f = 0,04 \text{ jam} + 0,015 \text{ jam} = 0,055 \text{ jam}$$

### **Perhitungan curah hujan periode ulang 10 tahun**

$R_{24} = 110,32 \text{ mm}$  (Perhitungan sub bab 5.1.3)

$$I = \left(\frac{R_{24}}{24}\right) \left(\frac{24}{t_c}\right)^{2/3} = \left(\frac{110,32}{24}\right) \left(\frac{24}{0,055}\right)^{2/3} = 262,2 \text{ mm/jam}$$

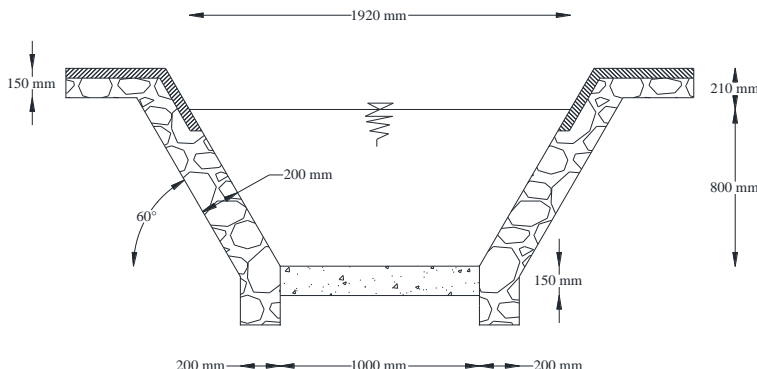
### **Besarnya debit air rencana, $Q_1$ (m<sup>3</sup>/ det)**

$$Q_1 = \frac{1}{3,6} \times C \times I \times A_1 = \frac{1}{3,6} \times 0,75 \times 262,2 \times 0,04417161$$

$$= 2,41 \text{ m}^3/\text{det}$$

### 5.1.5 Perhitungan Dimensi Saluran Rencana

**Direncanakan saluran bentuk trapesium :**



Gambar 5. 2 Rencana Saluran Drainase

Data dimensi saluran :

$$\text{Sudut kemiringan } (\alpha) = 60^\circ$$

$$\text{Tinggi rencana air (H)} = 80 \text{ cm} = 0,8 \text{ m}$$

$$\text{Lebar dasar saluran (B)} = 100 \text{ cm} = 1 \text{ m}$$

$$\text{Lebar permukaan air (T)} = 192 \text{ cm} = 1,92 \text{ m}$$

$$\text{Luas penampang basah (A}_2\text{)} = \frac{(192 + 100)}{2} \times 80 = 11695 \text{ cm}^2 \\ = 1,1695 \text{ m}^2$$

$$\text{Keliling Penampang basah (P)} = 100 + (2 \times \frac{80}{\sin 60^\circ}) = 284,75 \text{ cm} \\ = 2,8475 \text{ m}$$

$$\text{Tinggi jagaan (w)} = \sqrt{0,5 \times 80} + 15 = 21 \text{ cm} \\ = 0,21 \text{ m}$$

$$\text{Jari-jari hidrolis (R}_2\text{)} = \frac{11695}{284,75} = 41 \text{ cm} = 0,41 \text{ m}$$

$$\text{Miring dasar saluran (s)} = 0,005 \text{ (sesuai PM 60 Tahun 2012)}$$

$$\text{Koefisien kekasaran (n)} = 0,013 \text{ (sesuai PD 10 Tahun 1986)}$$

### Menghitung kecepatan aliran rencana dalam saluran (m/det)

$$V_2 = \frac{1}{n} \times R_2^{2/3} \times s^{1/2} = \frac{1}{0,013} \times 0,41^{2/3} \times 0,005^{1/2}$$

$$= 3,26 \text{ m/det}$$

Ukuran penampang saluran harus cukup besar sehingga mampu menampung debit air hujan yang menuju saluran

$$Q_2 > 1,2 Q_1$$

$$V_2 \times A_2 > 1,2 \times Q_1$$

$$3,26 \times 1,1695 > 1,2 \times 2,41$$

$$3,81 \text{ m}^3/\text{det} > 2,90 \text{ m}^3/\text{det} \quad (\text{OK})$$

Untuk perhitungan selanjutnya lihat tabel 5.3

Tabel 5. 3 Perhitungan Drainase Jalan Kereta Api

No	Dari KM	Ke KM	L (m)	i <sub>o</sub>	L <sub>o</sub> (m)	A (km <sup>2</sup> )	C	Kondisi	Q <sub>1</sub> (m <sup>3</sup> /det)	Saluran	α (o)	H (m)	B (m)	Q <sub>2</sub> (m <sup>3</sup> /det)	1,2 Q <sub>1</sub> (m <sup>3</sup> /det)	1,2Q <sub>1</sub> < Q <sub>2</sub>
1	37+390	37+890	500	0,023	132	0,06208435	0,5	Pemukiman	1,80	Persegi	90	1	1	2,83	2,16	OK
2	37+890	38+390	500	0,034	88	0,04204448	0,75	Sawah	2,40	Trapesium	60	0,8	1	3,81	2,88	OK
3	38+390	38+890	500	0,037	82	0,03974973	0,75	Sawah	2,38	Trapesium	60	0,8	1	3,81	2,85	OK
4	38+890	39+390	500	0,032	93	0,04399537	0,75	Sawah	2,42	Trapesium	60	0,8	1	3,81	2,90	OK
5	39+390	39+890	500	0,029	102	0,04668213	0,75	Sawah	2,41	Trapesium	60	0,8	1	3,81	2,90	OK
6	39+890	40+390	500	0,032	94	0,04417161	0,75	Sawah	2,41	Trapesium	60	0,8	1	3,81	2,90	OK
7	40+390	40+890	500	0,028	107	0,04305646	0,75	Sawah	2,16	Trapesium	60	0,8	1	3,81	2,59	OK
8	40+890	41+390	500	0,039	77	0,03904466	0,75	Sawah	2,44	Trapesium	60	0,8	1	3,81	2,92	OK
9	41+390	41+890	500	0,027	110	0,04386048	0,75	Sawah	2,16	Trapesium	60	0,8	1	3,81	2,59	OK
10	41+890	42+390	500	0,041	73	0,07710382	0,75	Sawah	4,98	Trapesium	60	0,8	1	6,65	5,98	OK
11	42+390	42+890	500	0,030	100	0,06998344	0,5	Pemukiman	2,45	Trapesium	60	0,8	1	3,81	2,93	OK
12	42+890	43+390	500	0,035	85	0,03991261	0,5	Pemukiman	2,89	Trapesium	60	0,8	1	3,81	3,47	OK
13	43+390	43+890	500	0,035	86	0,06831019	0,75	Sawah	3,96	Trapesium	60	1	1	5,67	4,75	OK
14	43+890	44+390	500	0,034	88	0,05844151	0,75	Sawah	3,34	Trapesium	60	1	1	5,67	4,00	OK
15	44+390	44+890	500	0,030	100	0,04065025	0,5	Pemukiman	1,42	Persegi	60	0,8	1	3,81	1,70	OK
16	44+890	45+390	500	0,030	99	0,0461136	0,5	Pemukiman	1,62	Persegi	60	0,8	1	3,81	1,95	OK
17	45+390	45+890	500	0,028	109	0,04748096	0,75	Sawah	2,35	Trapesium	60	0,8	1	3,81	2,82	OK
18	45+890	46+390	500	0,033	90	0,04188397	0,75	Sawah	2,36	Trapesium	60	0,8	1	3,81	2,83	OK
19	46+390	46+890	500	0,033	91	0,04591908	0,75	Sawah	2,56	Trapesium	60	0,8	1	3,81	3,08	OK
20	46+890	47+390	500	0,034	87	0,04163104	0,75	Sawah	2,39	Trapesium	60	0,8	1	3,81	2,87	OK
21	47+390	47+890	500	0,038	78	0,03895916	0,75	Sawah	2,41	Trapesium	60	0,8	1	3,81	2,89	OK
22	47+890	48+390	500	0,036	83	0,04072081	0,75	Sawah	2,42	Trapesium	60	0,8	1	3,81	2,90	OK
23	48+390	48+890	500	0,032	95	0,04503221	0,75	Sawah	2,44	Trapesium	60	0,8	1	3,81	2,93	OK
24	48+890	49+390	500	0,028	107	0,04648862	0,75	Sawah	2,33	Trapesium	60	0,8	1	3,81	2,79	OK
25	49+390	49+890	500	0,031	97	0,04475425	0,75	Sawah	2,39	Trapesium	60	0,8	1	3,81	2,87	OK
26	49+890	50+390	500	0,030	99	0,05370437	0,75	Sawah	2,83	Trapesium	60	0,8	1	3,81	3,40	OK
27	50+390	50+890	500	0,031	98	0,04399289	0,75	Sawah	2,34	Trapesium	60	0,8	1	3,81	2,80	OK

28	50+890	51+390	500	0,031	96	0,04486406	0,5	Pemukiman	1,61	Persegi	90	1	1	2,83	1,93	OK
29	51+390	51+890	500	0,034	89	0,04411099	0,75	Sawah	2,50	Trapesium	60	0,8	1	3,81	3,00	OK
30	51+890	52+390	500	0,037	82	0,04092474	0,75	Sawah	2,45	Trapesium	60	0,8	1	3,81	2,94	OK
31	52+390	52+890	500	0,032	95	0,04365511	0,75	Sawah	2,37	Trapesium	60	0,8	1	3,81	2,84	OK
32	52+890	53+390	500	0,038	79	0,04069259	0,75	Sawah	2,50	Trapesium	60	0,8	1	3,81	2,99	OK
33	53+390	53+890	500	0,028	107	0,04775984	0,75	Sawah	2,39	Trapesium	60	0,8	1	3,81	2,87	OK
34	53+890	54+390	500	0,029	102	0,0531875	0,75	Sawah	2,75	Trapesium	60	0,8	1	3,81	3,30	OK
35	54+390	54+890	500	0,034	88	0,0380692	0,5	Pemukiman	1,45	Persegi	90	1	1	2,83	1,74	OK
36	54+890	55+390	500	0,036	84	0,03977356	0,5	Pemukiman	1,56	Persegi	90	1	1	2,83	1,87	OK
37	55+390	55+890	500	0,026	114	0,04098631	0,75	Sawah	1,97	Trapesium	60	0,8	1	3,81	2,36	OK
38	55+890	56+390	500	0,028	107	0,04749575	0,75	Sawah	2,38	Trapesium	60	0,8	1	3,81	2,85	OK
39	56+390	56+890	500	0,025	122	0,06019586	0,75	Sawah	2,76	Trapesium	60	0,8	1	3,81	3,31	OK
40	56+890	57+390	500	0,026	114	0,05941276	0,75	Sawah	2,85	Trapesium	60	0,8	1	3,81	3,42	OK
41	57+390	57+890	500	0,028	108	0,0563839	0,75	Sawah	2,81	Trapesium	60	0,8	1	3,81	3,37	OK
42	57+890	58+390	500	0,023	131	0,0458371	0,75	Sawah	2,00	Trapesium	60	0,8	1	3,81	2,40	OK
43	58+390	58+890	500	0,031	98	0,04544626	0,75	Sawah	2,41	Trapesium	60	0,8	1	3,81	2,90	OK
44	58+890	59+390	500	0,037	82	0,04050462	0,75	Sawah	2,42	Trapesium	60	0,8	1	3,81	2,91	OK
45	59+390	59+890	500	0,038	78	0,04023933	0,75	Sawah	2,49	Trapesium	60	0,8	1	3,81	2,99	OK
46	59+890	60+390	500	0,037	82	0,032926	0,75	Sawah	1,97	Trapesium	60	0,8	1	3,81	2,36	OK
47	60+390	60+890	500	0,058	52	0,01779804	0,75	Sawah	1,43	Trapesium	60	0,8	1	3,81	1,72	OK
48	60+890	61+390	500	0,029	105	0,04401143	0,75	Sawah	2,23	Trapesium	60	0,8	1	3,81	2,68	OK
49	61+390	61+890	500	0,036	83	0,04162497	0,75	Sawah	2,47	Trapesium	60	0,8	1	3,81	2,96	OK
50	61+890	62+390	500	0,028	107	0,04443566	0,5	Pemukiman	1,48	Persegi	90	1	1	2,83	1,78	OK
60	62+390	62+890	500	0,032	93	0,04332776	0,75	Sawah	2,38	Persegi	90	1	1,2	3,68	2,86	OK
61	62+890	63+390	500	0,030	99	0,04541515	0,75	Sawah	2,40	Trapesium	60	0,8	1	3,81	2,88	OK
62	63+390	63+890	500	0,024	127	0,05207334	0,75	Sawah	2,32	Trapesium	60	0,8	1	3,81	2,79	OK
63	63+890	64+390	500	0,027	113	0,05043264	0,75	Sawah	2,43	Trapesium	60	0,8	1	3,81	2,92	OK
64	64+390	64+890	500	0,024	127	0,08938121	0,75	Sawah	3,99	Trapesium	60	1	1	5,67	4,78	OK
65	64+890	65+390	500	0,021	144	0,07492267	0,75	Sawah	3,07	Trapesium	60	0,8	1	3,81	3,68	OK
66	65+390	65+890	500	0,039	76	0,03513594	0,75	Sawah	2,21	Trapesium	60	0,8	1	3,81	2,65	OK
67	65+890	66+390	500	0,035	86	0,03838762	0,5	Pemukiman	1,48	Persegi	60	1	1	2,65	1,78	OK
68	66+390	66+890	500	0,032	94	0,0437956	0,75	Sawah	2,39	Trapesium	60	0,8	1	3,81	2,87	OK
69	66+890	67+390	500	0,034	87	0,04326394	0,75	Sawah	2,49	Trapesium	60	0,8	1	3,81	2,99	OK

70	67+390	67+890	500	0,029	104	0,04666723	0,75	Sawah	2,38	Trapesium	60	0,8	1	3,81	2,86	OK
71	67+890	68+390	500	0,033	91	0,04393212	0,75	Sawah	2,45	Trapesium	60	0,8	1	3,81	2,94	OK
72	68+390	68+890	500	0,032	94	0,04342757	0,75	Sawah	2,37	Trapesium	60	0,8	1	3,81	2,85	OK
73	68+890	69+390	500	0,033	92	0,04105013	0,75	Sawah	2,27	Trapesium	60	0,8	1	3,81	2,73	OK
74	69+390	69+890	500	0,033	90	0,04216942	0,75	Sawah	2,37	Trapesium	60	0,8	1	3,81	2,85	OK
75	69+890	70+390	500	0,036	83	0,0418953	0,75	Sawah	2,49	Trapesium	60	0,8	1	3,81	2,98	OK
76	70+390	70+890	500	0,037	81	0,0406084	0,75	Sawah	2,45	Trapesium	60	0,8	1	3,81	2,94	OK
77	70+890	71+390	500	0,032	93	0,04435491	0,5	Pemukiman	1,63	Trapesium	60	0,8	1	3,81	1,95	OK
78	71+390	71+890	500	0,027	112	0,04190963	0,75	Sawah	2,03	Trapesium	60	0,8	1	3,81	2,44	OK
79	71+890	72+390	500	0,033	91	0,04197157	0,5	Pemukiman	1,56	Persegi	90	0,8	1	2,15	1,87	OK
80	72+390	72+890	500	0,030	99	0,0468713	0,5	Pemukiman	1,65	Trapesium	60	0,8	1	3,81	1,98	OK
81	72+890	73+390	500	0,034	87	0,04192482	0,75	Sawah	2,41	Trapesium	60	0,8	1	3,81	2,89	OK
82	73+390	73+890	500	0,034	89	0,0418783	0,75	Sawah	2,37	Trapesium	60	0,8	1	3,81	2,85	OK
83	73+890	74+390	500	0,027	110	0,04507039	0,75	Sawah	2,22	Trapesium	60	0,8	1	3,81	2,66	OK
84	74+390	74+890	500	0,032	93	0,04188924	0,75	Sawah	2,30	Trapesium	60	0,8	1	3,81	2,77	OK
85	74+890	75+390	500	0,024	126	0,05212543	0,75	Sawah	2,34	Trapesium	60	0,8	1	3,81	2,80	OK
86	75+390	76+000	510	0,027	112	0,0448898	0,75	Sawah	2,17	Trapesium	60	0,8	1	3,81	2,61	OK
87	76+000	0+000	440	0,035	86	0,0367349	0,75	Sawah	2,18	Trapesium	60	0,8	1	3,81	2,61	OK
88	0+000	0+485	485	0,038	80	0,03890875	0,75	Sawah	2,38	Trapesium	60	0,8	1	3,81	2,86	OK
89	0+485	0+985	500	0,030	101	0,04399913	0,75	Sawah	2,29	Trapesium	60	0,8	1	3,81	2,75	OK
90	0+985	1+485	500	0,025	120	0,05160902	0,75	Sawah	2,39	Trapesium	60	0,8	1	3,81	2,87	OK
91	1+485	1+985	500	0,027	111	0,0433233	0,75	Sawah	2,12	Trapesium	60	0,8	1	3,81	2,54	OK
92	1+985	2+485	500	0,038	80	0,04070873	0,75	Sawah	2,48	Trapesium	60	0,8	1	3,81	2,97	OK
93	2+485	2+985	500	0,028	106	0,0432867	0,75	Sawah	2,18	Trapesium	60	0,8	1	3,81	2,62	OK
94	2+985	3+485	500	0,029	102	0,04602178	0,75	Sawah	2,38	Trapesium	60	0,8	1	3,81	2,86	OK
95	3+485	3+985	500	0,028	106	0,0468358	0,75	Sawah	2,36	Trapesium	60	0,8	1	3,81	2,83	OK
96	3+985	4+485	500	0,025	119	0,04781704	0,75	Sawah	2,23	Trapesium	60	0,8	1	3,81	2,67	OK
97	4+485	4+985	500	0,033	90	0,03892328	0,75	Sawah	2,19	Trapesium	60	0,8	1	3,81	2,63	OK
98	4+985	5+485	500	0,033	91	0,03865884	0,75	Sawah	2,16	Trapesium	60	0,8	1	3,81	2,59	OK
99	5+485	5+985	500	0,023	128	0,0521458	0,75	Sawah	2,31	Trapesium	60	0,8	1	3,81	2,78	OK
100	5+985	6+485	500	0,023	128	0,05222527	0,75	Sawah	2,32	Trapesium	60	0,8	1	3,81	2,78	OK
101	6+485	6+985	500	0,036	83	0,04114978	0,5	Pemukiman	1,63	Persegi	90	1	1	2,83	1,95	OK
102	6+985	7+485	500	0,030	100	0,04704641	0,75	Sawah	2,47	Trapesium	60	0,8	1	3,81	2,96	OK

103	7+485	7+985	500	0,034	88	0,0436614	0,5	Pemukiman	1,66	Trapesium	60	0,8	1	3,81	1,99	OK
104	7+985	8+485	500	0,029	105	0,04607883	0,75	Sawah	2,34	Trapesium	60	0,8	1	3,81	2,80	OK
105	8+485	8+985	500	0,036	84	0,0408239	0,75	Sawah	2,40	Trapesium	60	0,8	1	3,81	2,88	OK
106	8+985	9+485	500	0,030	99	0,04108324	0,75	Sawah	2,17	Trapesium	60	0,8	1	3,81	2,60	OK
107	9+485	9+985	500	0,027	111	0,0481671	0,75	Sawah	2,35	Trapesium	60	0,8	1	3,81	2,82	OK
108	9+985	10+485	500	0,026	117	0,05284463	0,75	Sawah	2,49	Trapesium	60	0,8	1	3,81	2,99	OK
109	10+485	10+985	500	0,017	179	0,05652003	0,75	Sawah	1,99	Trapesium	60	0,8	1	3,81	2,39	OK
110	10+985	11+485	500	0,022	136	0,0546988	0,5	Pemukiman	1,55	Trapesium	60	0,8	1	3,81	1,86	OK
111	11+485	11+985	500	0,020	152	0,06084585	0,75	Sawah	2,40	Trapesium	60	0,8	1	3,81	2,88	OK
112	11+985	12+485	500	0,034	87	0,04296415	0,75	Sawah	2,47	Trapesium	60	0,8	1	3,81	2,97	OK
113	12+485	12+985	500	0,022	138	0,05647815	0,5	Pemukiman	1,59	Persegi	90	1	1	2,83	1,90	OK
114	12+985	13+485	500	0,038	79	0,04099491	0,75	Sawah	2,51	Trapesium	60	0,8	1	3,81	3,02	OK
115	13+485	13+985	500	0,037	81	0,03995446	0,5	Pemukiman	1,61	Trapesium	60	0,8	1	3,81	1,93	OK
116	13+985	14+485	500	0,035	85	0,04147873	0,75	Sawah	2,42	Trapesium	60	0,8	1	3,81	2,91	OK
117	14+485	14+985	500	0,020	150	0,06224919	0,75	Sawah	2,48	Trapesium	60	0,8	1	3,81	2,97	OK
118	14+985	15+485	500	0,025	118	0,0529429	0,75	Sawah	2,48	Trapesium	60	0,8	1	3,81	2,98	OK
119	15+485	15+985	500	0,030	101	0,04466062	0,75	Sawah	2,32	Trapesium	60	0,8	1	3,81	2,79	OK
120	15+985	16+485	500	0,030	100	0,04579463	0,75	Sawah	2,40	Trapesium	60	0,8	1	3,81	2,88	OK
121	16+485	16+985	500	0,027	113	0,05130621	0,75	Sawah	2,48	Trapesium	60	0,8	1	3,81	2,97	OK
122	16+985	17+485	500	0,029	102	0,04288606	0,5	Pemukiman	1,48	Trapesium	60	0,8	1	3,81	1,77	OK
123	17+485	17+985	500	0,031	97	0,03550123	0,75	Sawah	1,90	Trapesium	60	0,8	1	3,81	2,28	OK
124	17+985	18+485	500	0,031	97	0,04274954	0,75	Sawah	2,29	Persegi	90	1	1	2,83	2,74	OK

Sumber : Hasil Analisa Perhitungan

## 5.2 Perencanaan Jembatan Kereta Api

Dalam tugas akhir ini direncanakan jembatan kereta api BH-200 yang terletak di KM 46+274 yang menghubungkan antara Glenmore dengan Sumberwadung. Jembatan ini direncanakan dengan bentang 30 m dan menggunakan tipe jembatan rangka batang.

### 5.2.1 Data Perencanaan Jembatan

Bentang jembatan	: 30 m
Jarak antar gelagar memanjang	: 1 m
Jarak antar gelagar melintang ( $\lambda$ )	: 5 m
Tinggi Rangka	: 5 m
Jarak antar rel	: 1,067 m
Tipe rel R-50	: 50,40 kg/m
BJ bantalan kayu	: 815,77 kg/m <sup>3</sup>
Panjang bantalan	: 1,8 m
Tinggi bantalan	: 0,18 m
Lebar bantalan	: 0,22 m
Jarak antar bantalan	: 0,5 m

### 5.2.2 Perencanaan Gelagar Memanjang

Direncanakan pada gelagar memanjang menggunakan profil WF 350x350x10x16. Dengan data propertis sebagai berikut :

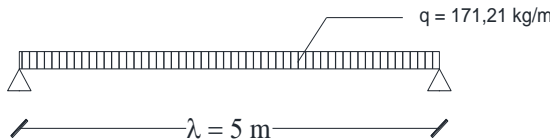
$$\begin{array}{ll} h = 35 \text{ cm} & tw = 1 \text{ cm} \\ b = 35 \text{ cm} & A = 146 \text{ cm}^2 \\ tf = 1,6 \text{ cm} & q = 115 \text{ kg/m} \\ I_x = 33300 \text{ cm}^4 & Z_x = 2069,664 \text{ cm}^3 \end{array}$$

#### 5.2.2.1 Pembebanan akibat beban mati

1. Beban profil = 115 kg/m
2. Beban bantalan =  $0,22 \text{ m} \times 0,18 \text{ m} \times 1,8 \text{ m} \times 815,77 \text{ kg/m}^3 = 58,15 \text{ kg}$   
 $= \frac{58,15 \text{ kg}}{2} = 29,07 \text{ kg}$  (bebannya terpusat)

$$\begin{aligned}
 &= \frac{29,07 \text{ kg}}{\lambda} = \frac{29,07 \text{ kg}}{5 \text{ m}} = 5,81 \text{ kg/m} \\
 3. \text{ Berat rel} \quad &= 50,40 \text{ kg/m}
 \end{aligned}$$

$$\begin{aligned}
 \text{Jadi, } q &= 115 \text{ kg/m} + 5,81 \text{ kg/m} + 50,40 \text{ kg/m} \\
 &= 171,21 \text{ kg/m}
 \end{aligned}$$



Gambar 5. 3 Beban Merata Akibat Beban Mati Gelagar Memanjang

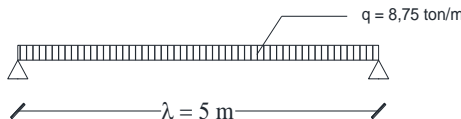
Momen maksimal akibat beban mati pada gelagar memanjang.

$$M_{\text{maks}} = \frac{1}{8} \times q \times \lambda^2 = \frac{1}{8} \times 171,21 \text{ kg/m} \times 5^2 = 535,05 \text{ kgm}$$

$$R = \frac{1}{2} \times q \times \lambda = \frac{1}{2} \times 171,21 \text{ kg/m} \times 5 = 428,04 \text{ kg}$$

### 5.2.2.2 Pembebanan akibat beban hidup

Berdasarkan pembebanan Rencana Muatan 1921 untuk jalan kereta api pembebanan hanya diambil akibat beban terberat. Di dalam perencanaan ini menggunakan standar lokomotif uap dengan lebih dari 8 gandar ditambah kereta batu bara dengan beban total 168 Ton atau 8,75 ton/m'.



Gambar 5. 4 Beban Merata Akibat Beban Hidup Gelagar Memanjang

Momen maksimal akibat beban hidup pada gelagar memanjang.

$$R = \frac{1}{2} \times q \times \lambda = \frac{1}{2} \times 8750 \text{ kg/m} \times 5 = 21875 \text{ kg}$$

$$\begin{aligned} M_{\max} &= R \times \frac{\lambda}{2} - \left( \frac{1}{2} \times q \times \left(\frac{\lambda}{2}\right)^2 \right) = 21875 \times 2,5 - \frac{1}{2} \times 8750 \times 2,5^2 \\ &= 27343,75 \text{ kgm} \end{aligned}$$

Untuk satu gelagar memanjang

$$R = \frac{21875 \text{ kg}}{2} = 10937,5 \text{ kg}$$

$$M_{\max} = \frac{27343,75 \text{ kgm}}{2} = 13671,875 \text{ kgm}$$

### 5.2.2.3 Pembebanan akibat beban rem

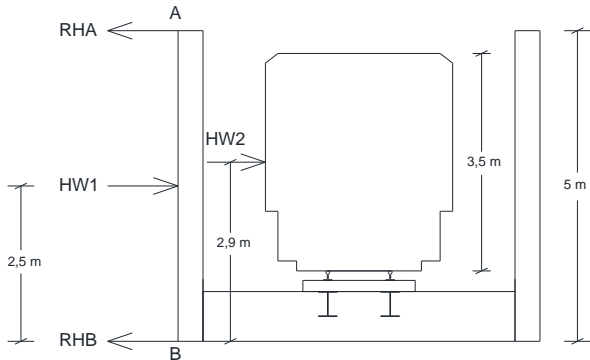
Beban Pengereman adalah 25% dari beban kereta, bekerja pada pusat gaya berat kereta ke arah rel.

$$\begin{aligned} R &= 25\% \times W_{\text{lokomotif}} \\ &= 25\% \times 84000 \text{ kg} = 21000 \text{ kg} \end{aligned}$$

### 5.2.2.4 Pembebanan akibat beban angin

Untuk jembatan rangka, luas bidang sisi jembatan yang terkena angin diambil 30% dari luas sisi jembatan ditambah 15% dari luas sisi yang lain.

1. Tinggi Lokomotif = 3,5 m
2. Beban angin bekerja tegak lurus rel, secara horisontal, tipikal nilainya = 120 kg/m<sup>2</sup>



Gambar 5. 5 Beban Angin Pada Jembatan Rangka

Gaya angin pada sisi rangka jembatan :

$$Hw1 = (30\% \times q_w \times \text{luas sisi jembatan}) + (15\% \times q_w \times \text{luas sisi jembatan})$$

$$\begin{aligned} &= (30\% \times 120 \times (\frac{1}{2} \times (30+25) \times 5)) + (15\% \times 120 \times (\frac{1}{2} \times \\ &\quad (30+25) \times 5)) \\ &= 7425 \text{ kg} \end{aligned}$$

Gaya angin pada lokomotif :

$$\begin{aligned} Hw2 &= q_w \times \text{tinggi lokomotif} \times \text{bentang jembatan} \\ &= 120 \times 3,5 \times 30 = 12600 \text{ kg} \end{aligned}$$

Gaya pertambahan angin atas:

$$\Sigma M_B = 0$$

$$Hw1 \times 2,5 - R_{HA} \times 5 + Hw2 \times 2,9 = 0$$

$$7425 \times 2,5 - R_{HA} \times 5 + 12600 \times 2,9 = 0$$

$$R_{HA} = 11020,5 \text{ kg}$$

$$\text{Pada 1 buhul} = \frac{1}{4} \times R_{HA} = \frac{1}{4} \times 11020,5 \text{ kg} = 2755,13 \text{ kg}$$

$$\text{Pada buhul tepi} = \frac{1}{2} \times 2204,1 = 1377,56 \text{ kg}$$

Gaya pertambahan angin bawah :

$$\begin{aligned} R_{HB} &= Hw1 + Hw2 - R_{HA} \\ &= 7425 + 12600 - 11020,5 = 9005 \text{ kg} \end{aligned}$$

$$\text{Pada 1 buhul } = \frac{1}{5} \times R_{HB} = \frac{1}{5} \times 9005 \text{ kg} = 1800,9 \text{ kg}$$

$$\text{Pada buhul tepi } = \frac{1}{2} \times 1800,9 = 900,45 \text{ kg}$$

### 5.2.3 Kombinasi pembebanan beban mati dan beban hidup

$$\begin{aligned} M &= \text{Beban mati} + \text{Beban hidup} \\ &= 535,05 \text{ kgm} + 13671,875 \text{ kgm} \\ &= 14206,921 \text{ kgm} \end{aligned}$$

$$\begin{aligned} R &= \text{Beban mati} + \text{Beban hidup} \\ &= 428,04 \text{ kg} + 10937,5 \text{ kg} \\ &= 11365,54 \text{ kg} \end{aligned}$$

### 5.2.4 Kontrol Desain Gelagar Memanjang

#### 5.2.4.1 Kontrol Lendutan

$$\begin{aligned} q &= \text{beban mati} + \text{beban hidup} \\ &= 1,7121 \text{ kg/cm} + \frac{87,50 \text{ kg/cm}}{2} = 45,46 \text{ kg/cm} \end{aligned}$$

$$E = 2100000 \text{ kg/cm}^2$$

$$\lambda = 500 \text{ cm}$$

$$I_x = 33300 \text{ cm}^4$$

Lendutan yang diijinkan :

$$f = \frac{\lambda}{800} = \frac{500 \text{ cm}}{800} = 0,625 \text{ cm}$$

Lendutan yang terjadi akibat beban merata untuk satu gelagar memanjang :

$$f_1 = \frac{5 \times q \times \lambda^4}{384 \times E \times I_x} = \frac{5 \times 45,46 \times 500^4}{384 \times 2100000 \times 33300} = 0,529 \text{ cm}$$

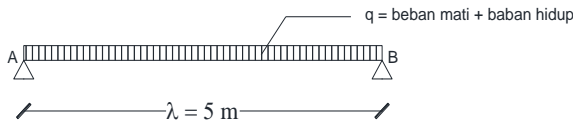
Jadi,

$$f > f_1$$

$$0,625 \text{ cm} > 0,529 \text{ cm} \quad (\text{OK})$$

### 5.2.4.2 Kontrol Tegangan Geser

Gaya geser maksimum terjadi pada saat beban hidup dekat perletakan akibat beban mati dan beban hidup.



$$\begin{aligned} V_a &= \frac{1}{2} \times q \text{ beban mati} \times \lambda + \frac{1}{2} \times q \text{ beban hidup} \times \lambda \\ &= \frac{1}{2} \times 171,21 \text{ kg/m} \times 5 \text{ m} + \frac{1}{2} \times 8750 \text{ kg/m} \times 5 \text{ m} \\ &= 22303,04 \text{ kg} \end{aligned}$$

$$\begin{aligned} V_n &= 0,6 \times f_y \times A_w \\ &= 0,6 \times 2400 \times ((h - 2xtf) \times t_w) \\ &= 0,6 \times 2400 \times 31,2 \\ &= 44928 \text{ kg} \end{aligned}$$

$$\begin{aligned} V_a &< 0,9 V_n \\ 22303,04 \text{ kg} &< 0,9 \times 44928 \text{ kg} \\ 22303,04 \text{ kg} &< 40435,2 \text{ kg} \quad (\text{OK}) \end{aligned}$$

Gaya geser diatas bekerja pada sambungan antara balok memanjang dan balok melintang. Karena terdapat sambungan, gaya geser diterima oleh badan WF.

$$\begin{aligned} \text{Syarat : } \delta_{\max} &\leq \delta_{ijin} \\ \delta_{ijin} &= 0,625 \times f_y \\ &= 0,625 \times 2400 \\ &= 1500 \text{ kg/cm}^2 \end{aligned}$$

$$\delta_{\max} = \frac{V_a}{A_w} = \frac{22303,04}{31,2} = 714,84 \text{ kg/cm}^2$$

$$\begin{aligned}\delta_{\max} &\leq \delta_{ijin} \\ 714,84 \text{ kg/cm}^2 &\leq 1500 \text{ kg/cm}^2\end{aligned}$$

#### 5.2.4.3 Kontrol Momen Lentur

$$\begin{aligned}M_p &= f_y \times Z_x \\ &= 2400 \text{ kg/cm}^2 \times 2069,664 \text{ cm}^3 \\ &= 4967193,6 \text{ kgcm}\end{aligned}$$

$$\begin{aligned}\Phi M_p &= 0,9 \times M_p \\ &= 0,9 \times 4967193,6 \text{ kgcm} \\ &= 4470474 \text{ kgcm}\end{aligned}$$

$$\begin{aligned}M_u &= M_D + M_L \\ &= 53505 \text{ kgcm} + 1367187,5 \text{ kgm kgcm} \\ &= 1420692,13 \text{ kgcm}\end{aligned}$$

$$\begin{aligned}\Phi M_p &\geq M_u \\ 4470474 \text{ kgcm} &\geq 1420692,13 \text{ kgcm} \quad (\text{OK})\end{aligned}$$

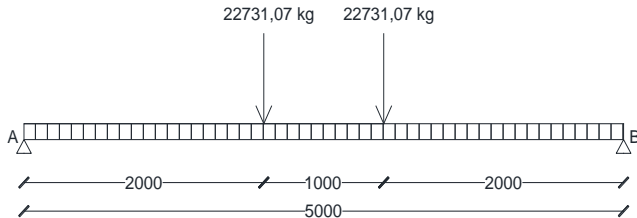
#### 5.2.5 Perencanaan Gelagar Melintang

Direncanakan pada gelagar memanjang menggunakan profil WF 600x300x12x20. Dengan data propertis sebagai berikut :

$$\begin{aligned}h &= 60 \text{ cm} & tw &= 1,2 \text{ cm} \\ b &= 30 \text{ cm} & A &= 192,5 \text{ cm}^2 \\ t_f &= 2 \text{ cm} & q &= 151 \text{ kg/m} \\ I_x &= 118000 \text{ cm}^4 & Z_x &= 4020 \text{ cm}^3\end{aligned}$$

Pada gelagar melintang akan menerima beban dari gelagar memanjang sebesar 2 kali reaksi tumpuan.

$$\begin{aligned}
 P &= 2 \times \text{Reaksi pada tumpuan gelagar mamanjang} \\
 &= 2 \times 11365,54 \text{ kg} \\
 &= 22731,07 \text{ kg}
 \end{aligned}$$



Gambar 5. 6 Beban Pada Gelagar Melintang

Mencari reaksi pada tumpuan A dan B balok melintang

$$\Sigma M_B = 0$$

$$Ra \times 5m - 22731,07 \times 3m - 22731,07 \times 2m - \frac{1}{2} \times 151 \text{ kg/m} \times (5m)^2$$

$$Ra = 23108,57 \text{ kg}$$

$$Rb = Ra = 23108,57 \text{ kg}$$

Mencari momen maksimum di tengah bentang gelagar melintang

$$\begin{aligned}
 M_{max} &= Ra \times 2,5 \text{ m} - 22731,07 \text{ kg} \times 0,5 \text{ m} - \frac{1}{2} \times q \times (2,5 \text{ m})^2 \\
 &= 23108,57 \text{ kg} \times 2,5 \text{ m} - 22731,07 \text{ kg} \times 0,5 \text{ m} \\
 &\quad - \frac{1}{2} \times 151 \text{ kg/m} \times (2,5 \text{ m})^2 \\
 &= 45934,02 \text{ kgm}
 \end{aligned}$$

## 5.2.6 Kontrol Desain Gelagar Melintang

### 5.2.6.1 Kontrol Lendutan

$$q = 151 \text{ kg/m} = 1,51 \text{ kg/cm}$$

$$E = 2100000 \text{ kg/cm}^2$$

$$L = 500 \text{ cm}$$

$$I_x = 118000 \text{ cm}^4$$

Lendutan yang diijinkan :

$$f = \frac{L}{800} = \frac{500 \text{ cm}}{800} = 0,625 \text{ cm}$$

Lendutan yang terjadi akibat beban terpusat P

$$f_1 = \frac{2 \times P \times b (3 \times L^2 - 4 \times b^2)}{48 \times E \times I_x}$$

$$= \frac{2 \times 22731,07 \text{ kg} \times 200 \text{ cm} (3 \times 500^2 - 4 \times 200^2)}{48 \times 2100000 \times 118000} = 0,451 \text{ cm}$$

Lendutan yang terjadi akibat beban merata untuk satu gelagar memanjang :

$$f_2 = \frac{5 \times q \times \lambda^4}{384 \times E \times I_x} = \frac{5 \times 1,51 \times 500^4}{384 \times 2100000 \times 118000} = 0,005 \text{ cm}$$

Jadi,

f	>	f1	+	f2
0,625 cm	>	0,451 cm	+	0,005 cm
0,625 cm	>	0,456 cm		(OK)

### 5.2.6.2 Kontrol Tegangan Geser

$$V_a = 2 \times P$$

$$= 2 \times 22691,08 \text{ kg} = 45462,15 \text{ kg}$$

$$V_n = 0,6 \times f_y \times A$$

$$= 0,6 \times 2400 \text{ kg/cm}^2 \times 192,5 \text{ cm}^2$$

$$= 277200 \text{ kg}$$

$$V_a < 0,9 V_n$$

$$45462,15 \text{ kg} < 0,9 \times 277200 \text{ kg}$$

$$45462,15 \text{ kg} < 249480 \text{ kg} \quad (OK)$$

### 5.2.6.3 Kontrol Momen Lentur

$$\begin{aligned} M_p &= f_y \times Z_x \\ &= 2400 \text{ kg/cm}^2 \times 4020 \text{ cm}^3 \\ &= 9648000 \text{ kgcm} \end{aligned}$$

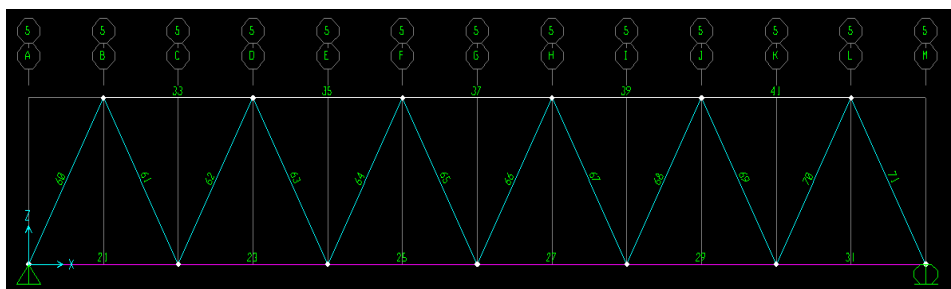
$$\begin{aligned} \Phi M_p &= 0,9 \times M_p \\ &= 0,9 \times 9648000 \text{ kgcm} \\ &= 8683200 \text{ kgcm} \end{aligned}$$

$$\begin{aligned} M_u &= M_{max} \\ &= 45934,02 \text{ kgm} \end{aligned}$$

$$\begin{array}{ccc} \Phi M_p & \geq & M_u \\ 8683200 \text{ kgcm} & \geq & 4593402 \text{ kgcm} \end{array} \quad (\text{OK})$$

### 5.2.7 Perencanaan Profil Rangka

Dari hasil perhitungan SAP 2000 didapat gaya-gaya yang terjadi dalam batang rangka dan diambil yang terbesar.  
(Kombinasi Dead + Live + Angin + Rem)



Gambar 5. 7 Frame Rangka Batang Pada SAP 2000

$$\begin{aligned} P_{\text{Diagonal}} &= 71133,436 \text{ kg (Tekan)} - \text{Frame 60} \\ &= 69977,886 \text{ kg (Tarik)} - \text{Frame 61} \end{aligned}$$

$$\begin{aligned} P_{\text{Horizontal}} &= 113180,551 \text{ kg (Tekan)} - \text{Frame 37} \\ &= 75699,521 \text{ kg (Tarik)} - \text{Frame 25} \end{aligned}$$

Data-data perencanaan :

Mutu baja = BJ 37 dengan  $f_y = 2400 \text{ kg/cm}^2$

$\sigma = 1600 \text{ kg/cm}^2$

$\sigma_{tr} = 0,75 \times 1600 \text{ kg/cm}^2$

$= 1200 \text{ kg/cm}^2$

### 5.2.7.1 Perencanaan Profil Rangka Diagonal

Direncanakan dengan profil WF 300x300x12x12

$A = 107,7 \text{ cm}^2 \quad I_x = 5520 \text{ cm}^4$

$i_x = 12,5 \text{ cm} \quad q = 84,5 \text{ kg/m}$

$i_y = 7,16 \text{ cm} \quad L_k = 600 \text{ cm}$

$I_y = 16900 \text{ cm}^4$

Syarat kelangsungan, menurut PPBBI Pasal 7

$$\frac{L_k}{i_{min}} = \frac{600}{7,16} < 240 \\ = 83,80 < 240 \quad (\text{OK})$$

### Kontrol Kekuatan Batang Tarik

- Batas leleh

$$P_u = \phi \times f_y \times A_g \\ = 0,9 \times 2400 \times 107,7 \\ = 232632 \text{ kg} > 69977,886 \text{ kg}$$

- Batas putus

$$A_n = A_g - [1 \times d_{baut} \times t_{plat}] \\ = 107,7 - [1 \times 1,6 \times 1,2] \\ = 106 \text{ cm}^2$$

$$A_e = 0,9 \times A_n \\ = 0,9 \times 106 \text{ cm}^2 = 95,202 \text{ cm}^2$$

$$P_u \leq \phi \times f_u \times A_e \\ 69977,886 \text{ kg} \leq 0,75 \times 3700 \times 95,202$$

$$69977,886 \text{ kg} \leq 264185,6 \text{ kg} \quad (\text{OK})$$

### Kontrol Kekuatan Batang Tekan

$$\lambda_x = \frac{Lk}{ix} = \frac{600}{12,5} = 48$$

$$\lambda_y = \frac{Lk}{iy} = \frac{600}{7,16} = 83,8$$

Dipakai yang terkecil  $\lambda = 48$

$$\lambda_c = \frac{\lambda}{\pi} \times \sqrt{\frac{fy}{E}} = \frac{48}{3,14} \times \sqrt{\frac{2400}{2100000}} = 0,530$$

$0,25 < \lambda_c < 1,2 \rightarrow$  Bentang menengah

$$\text{Dimana, } \omega = \frac{1,43}{1,6 - 0,67 \lambda_c} = \frac{1,43}{1,6 - 0,67 \times 0,53} = 1,148$$

$$fcr = \frac{fy}{\omega} = \frac{2400}{1,148} = 2090 \text{ kg/cm}^2$$

Kuat nominal profil :

$$\begin{aligned} P_n &= A_s \times fcr \\ &= 107,7 \times 2090 \\ &= 225077,40 \text{ kg} \end{aligned}$$

Kuat rencana profil :

$$\begin{aligned} \Phi P_n &= 0,9 \times 225077,40 \text{ kg} \\ &= 202569,66 \text{ kg} > P_u = 71133,436 \text{ kg} \quad (\text{OK}) \end{aligned}$$

### 5.2.7.2 Perencanaan Profil Rangka Horizontal

Direncanakan dengan profil WF 300x300x15x15

$$A = 134,8 \text{ cm}^2 \quad I_x = 7100 \text{ cm}^4$$

$$ix = 12,6 \text{ cm} \quad q = 106 \text{ kg/m}$$

$$iy = 7,26 \text{ cm} \quad Lk = 500 \text{ cm}$$

$$I_y = 21500 \text{ cm}^4$$

Syarat kelangsungan, menurut PPBBI Pasal 7

$$\frac{Lk}{i \text{ min}} = \frac{500}{7,26} < 240 \\ = 68,87 < 240 \quad (\text{OK})$$

### Kontrol Kekuatan Batang Tarik

- Batas leleh

$$Pu = \phi \times fy \times Ag \\ = 0,9 \times 2400 \times 134,8 \\ = 291168 \text{ kg} > 75699,521 \text{ kg}$$

- Batas putus

$$An = Ag - [1 \times d_{baut} \times t_{plat}] \\ = 134,8 - [1 \times 1,6 \times 1,2] \\ = 133 \text{ cm}^2$$

$$Ae = 0,9 \times An \\ = 0,9 \times 133 \text{ cm}^2 = 119,592 \text{ cm}^2$$

$$Pu \leq \phi \times fu \times Ae \\ 75699,521 \text{ kg} \leq 0,75 \times 3700 \times 119,592 \\ 75699,521 \text{ kg} \leq 331867,8 \text{ kg} \quad (\text{OK})$$

### Kontrol Kekuatan Batang Tekan

$$\lambda_x = \frac{Lk}{ix} = \frac{500}{12,6} = 39,68$$

$$\lambda_y = \frac{Lk}{iy} = \frac{500}{8,43} = 68,87$$

Dipakai yang terkecil  $\lambda = 39,68$

$$\lambda_c = \frac{\lambda}{\pi} \times \sqrt{\frac{fy}{E}} = \frac{39,68}{3,14} \times \sqrt{\frac{2400}{2100000}} = 0,438$$

$0,25 < \lambda_c < 1,2 \rightarrow$  Bentang menengah

$$\text{Dimana, } \omega = \frac{1,43}{1,6 - 0,67 \lambda c} = \frac{1,43}{1,6 - 0,67 \times 0,438} = 1,094$$

$$\text{fcr} = \frac{fy}{\omega} = \frac{2400}{1,094} = 2193 \text{ kg/cm}^2$$

Kuat nominal profil :

$$\begin{aligned} P_n &= A_s \times f_{cr} \\ &= 134,8 \times 2193 \\ &= 295621,34 \text{ kg} \end{aligned}$$

Kuat rencana profil :

$$\begin{aligned} \Phi P_n &= 0,9 \times 295621,34 \text{ kg} \\ &= 266059,21 \text{ kg} > P_u = 113180,551 \text{ kg} \quad (\text{OK}) \end{aligned}$$

## 5.2.8 Perencanaan Ikatan Angin

### 5.2.8.1 Perencanaan Ikatan Angin Bawah

Dari hasil perhitungan SAP 2000 didapat gaya-gaya yang terjadi dalam ikatan angin bawah dan diambil yang terbesar. (Kombinasi Dead + Live + Angin + Rem).

$$P = 17995,722 \text{ kg (Tekan) - Frame 155}$$

$$P = 25063,122 \text{ kg (Tarik) - Frame 157}$$

Direncanakan dengan profil L 120.120.12

$$A = 27,5 \text{ cm}^2$$

$$ix = iy = 3,66 \text{ cm}$$

$$Lk = 3,536 \text{ m}$$

$$q = 27,29 \text{ kg/m}$$

Syarat kelangsungan, menurut PPBBI Pasal 7

$$\begin{aligned} \frac{Lk}{i_{min}} &= \frac{353,6}{3,66} < 240 \\ &= 96,6 < 240 \quad (\text{OK}) \end{aligned}$$

### Kontrol Kekuatan Batang Tarik

- Batas leleh

$$\begin{aligned} P_u &= \phi \times f_y \times A_g \\ &= 0,9 \times 2400 \times 27,5 \\ &= 59400 \text{ kg} > 25063,122 \text{ kg} \end{aligned}$$

- Batas putus

$$\begin{aligned} A_n &= A_g - [1 \times d_{baut} \times t_{plat}] \\ &= 27,5 - [1 \times 1,6 \times 1,2] \\ &= 25,58 \text{ cm}^2 \\ A_e &= 0,9 \times A_n \\ &= 0,9 \times 25,58 \text{ cm}^2 = 23,02 \text{ cm}^2 \end{aligned}$$

$$\begin{aligned} P_u &\leq \phi \times f_u \times A_e \\ 25063,122 \text{ kg} &\leq 0,75 \times 3700 \times 23,02 \\ 25063,122 \text{ kg} &\leq 63886,1 \text{ kg} \quad (\text{OK}) \end{aligned}$$

### Kontrol Kekuatan Batang Tekan

$$\lambda_x = \frac{Lk}{ix} = \frac{353,6}{3,66} = 96,6$$

$$\lambda_y = \frac{Lk}{iy} = \frac{353,6}{3,66} = 96,6$$

Dipakai  $\lambda = 96,6$

$$\lambda_c = \frac{\lambda}{\pi} \times \sqrt{\frac{f_y}{E}} = \frac{96,6}{3,14} \times \sqrt{\frac{2400}{2100000}} = 1,066$$

$0,25 < \lambda_c < 1,2 \rightarrow$  Bentang menengah

$$\text{Dimana, } \omega = \frac{1,43}{1,6 - 0,67 \lambda_c} = \frac{1,43}{1,6 - 0,67 \times 1,066} = 1,614$$

$$f_{cr} = \frac{f_y}{\omega} = \frac{2400}{1,614} = 1487 \text{ kg/cm}^2$$

Kuat nominal profil :

$$P_n = A_s \times f_{cr}$$

$$\begin{aligned}
 &= 27,5 \times 1487 \\
 &= 40891,29 \text{ kg}
 \end{aligned}$$

Kuat rencana profil :

$$\begin{aligned}
 \Phi P_n &= 0,9 \times 40891,29 \text{ kg} \\
 &= 34757,59 \text{ kg} > P_u = 17995,722 \text{ kg} \quad (\text{OK})
 \end{aligned}$$

### 5.2.8.2 Perencanaan Ikatan Angin Atas

Dari hasil perhitungan SAP 2000 didapat gaya-gaya yang terjadi dalam ikatan angin bawah dan diambil yang terbesar. (Kombinasi Dead + Live + Angin + Rem).

$$P = 601,952 \text{ kg} \text{ (Tekan) - Frame 97}$$

Direncanakan dengan profil L 120.120.12

$$A = 27,5 \text{ cm}^2$$

$$ix = iy = 3,66 \text{ cm}$$

$$Lk = 2,795 \text{ m}$$

$$q = 21,59 \text{ kg/m}$$

Syarat kelangsungan, menurut PPBBI Pasal 7

$$\begin{aligned}
 \frac{Lk}{i_{min}} &= \frac{279,5}{3,66} < 240 \\
 &= 76,37 < 240 \quad (\text{OK})
 \end{aligned}$$

### Kontrol Kekuatan Batang Tekan

$$\lambda_x = \frac{Lk}{ix} = \frac{279,5}{3,66} = 76,4$$

$$\lambda_y = \frac{Lk}{iy} = \frac{279,5}{3,66} = 76,4$$

Dipakai  $\lambda = 76,4$

$$\lambda_c = \frac{\lambda}{\pi} \times \sqrt{\frac{f_y}{E}} = \frac{76,4}{3,14} \times \sqrt{\frac{2400}{2100000}} = 0,842$$

$0,25 < \lambda c < 1,2 \rightarrow$  Bentang menengah

$$\text{Dimana, } \omega = \frac{1,43}{1,6 - 0,67 \lambda c} = \frac{1,43}{1,6 - 0,67 \times 0,842} = 1,381$$

$$\text{fcr} = \frac{fy}{\omega} = \frac{2400}{1,381} = 1738 \text{ kg/cm}^2$$

Kuat nominal profil :

$$\begin{aligned} P_n &= As \times fcr \\ &= 27,5 \times 1738 \\ &= 47793,95 \text{ kg} \end{aligned}$$

Kuat rencana profil :

$$\begin{aligned} \Phi P_n &= 0,9 \times 47793,95 \text{ kg} \\ &= 40624,86 \text{ kg} > P_u = 601,952 \text{ kg} \quad (\text{OK}) \end{aligned}$$

### 5.2.9 Perencanaan Ikatan Tumbuk

Dari hasil perhitungan SAP 2000 didapat gaya-gaya yang terjadi dalam ikatan angin bawah dan diambil yang terbesar. (Kombinasi Dead + Live + Angin + Rem).

$$P = 3666,55 \text{ kg (Tekan) - Frame 76}$$

$$P = 3567,21 \text{ kg (Tarik) - Frame 72}$$

Direncanakan dengan profil L 50.50.5

$$A = 4,8 \text{ cm}^2$$

$$ix = iy = 1,52 \text{ cm}$$

$$Lk = 1,41 \text{ m}$$

$$q = 3,77 \text{ kg/m}$$

Syarat kelangsingan, menurut PPBBI Pasal 7

$$\frac{Lk}{i \text{ min}} = \frac{141,421}{1,52} < 240 \\ = 93,04 < 240 \quad (\text{OK})$$

### Kontrol Kekuatan Batang Tarik

- Batas leleh

$$Pu = \phi \times fy \times Ag \\ = 0,9 \times 2400 \times 4,80 \\ = 10368 \text{ kg} > 3567,21 \text{ kg}$$

- Batas putus

$$An = Ag - [ 1 \times d_{baut} \times t_{plat} ] \\ = 4,8 - [ 1 \times 1,6 \times 1,2 ] \\ = 2,88 \text{ cm}^2$$

$$Ae = 0,9 \times An \\ = 0,9 \times 2,88 \text{ cm}^2 = 2,59 \text{ cm}^2$$

$$Pu \leq \phi \times fu \times Ae \\ 3567,21 \text{ kg} \leq 0,75 \times 3700 \times 2,59 \\ 3567,21 \text{ kg} \leq 7192,8 \text{ kg} \quad (\text{OK})$$

### Kontrol Kekuatan Batang Tekan

$$\lambda_x = \frac{Lk}{ix} = \frac{141,421}{1,52} = 93 \\ \lambda_y = \frac{Lk}{iy} = \frac{141,421}{1,52} = 93$$

Dipakai  $\lambda = 93$

$$\lambda_c = \frac{\lambda}{\pi} \times \sqrt{\frac{fy}{E}} = \frac{45,9}{3,14} \times \sqrt{\frac{2400}{2100000}} = 1,026$$

$0,25 < \lambda_c < 1,2 \rightarrow$  Bentang menengah

$$\text{Dimana, } \omega = \frac{1,43}{1,6-0,67 \lambda_c} = \frac{1,43}{1,6-0,67 \times 1,026} = 1,567 \\ fcr = \frac{fy}{\omega} = \frac{2400}{1,567} = 1531 \text{ kg/cm}^2$$

Kuat nominal profil :

$$\begin{aligned} P_n &= A_s \times f_{cr} \\ &= 4,8 \times 1531 \\ &= 7349,33 \text{ kg} \end{aligned}$$

Kuat rencana profil :

$$\begin{aligned} \Phi P_n &= 0,9 \times 7349,33 \text{ kg} \\ &= 6614,4 \text{ kg} > P_u = 3666,55 \text{ kg} \quad (\text{OK}) \end{aligned}$$

## 5.2.10 Perencanaan Sambungan

### 5.2.10.1 Gelagar Memanjang Dengan Gelagar Melintang

Data-data :

Gelagar memanjang menggunakan profil : WF 350x350x10x16

Gelagar melintang menggunakan profil : WF 600x300x12x20

Pelat penyambung = 1,2 cm, BJ 41 dengan  $f_u = 4100 \text{ kg/cm}^2$

Baut =  $\phi 1,6 \text{ cm}$ , BJ 50 dengan  $f_u = 5000 \text{ kg/cm}^2$

$\phi_{lubang}$  = 1,75 cm (dengan bor)

$r_1$  = 0,4 (untuk baut dengan ulir)

m = jumlah bidang geser

$A_b = \frac{1}{4} \times \pi \times \phi^2 = \frac{1}{4} \times \pi \times (1,6)^2 = 2,01 \text{ cm}^2$

Sambungan pada gelagar memanjang (2 bidang geser)

Kekuatan geser baut

$$\begin{aligned} V_d &= 0,75 \times r_1 \times f_u \times m \times A_b \\ &= 0,75 \times 0,4 \times 5000 \times 2 \times 2,01 \\ &= 6028,8 \text{ kg} \end{aligned}$$

Kekuatan tumpu baut

$$\begin{aligned} R_d &= 0,75 \times 2,4 \times d_b \times t_p \times f_u \\ &= 0,75 \times 2,4 \times 1,6 \times 1,2 \times 4100 \\ &= 14169,6 \text{ kg} \end{aligned}$$

Jadi diambil yang terkecil, 6028,8 kg

Gaya geser yang bekerja adalah gaya geser maksimum antara gelagar memanjang dengan melintang  $V_a = 45462,11 \text{ kg}$  (Subbab 5.2.5.2).

$$\text{Perkiraan jumlah baut } \Sigma_{\text{baut}} = \frac{45462,11}{6028,8} = 7,5 \sim 8 \text{ baut}$$

Penentuan jarak baut

$$3d < s < 15t_p \text{ atau } 20 \text{ cm}$$

$$3x1,6 < s < 15x1,2 \text{ atau } 20 \text{ cm}$$

$$4,8\text{cm} < s < 18 \text{ cm atau } 20 \text{ cm}$$

$$s = 10 \text{ cm}$$

$$1,5d < s_1 < (4t + 10) \text{ atau } 20 \text{ cm}$$

$$1,5x1,6 < s_1 < (4x1,2 + 10) \text{ atau } 20 \text{ cm}$$

$$2,4 < s_1 < 14,8 \text{ atau } 20 \text{ cm}$$

$$s_1 = 6 \text{ cm}$$

Sambungan pada gelagar melintang

Kekuatan geser baut

$$\begin{aligned} V_d &= 0,75 \times r_1 \times f_u \times m \times A_b \\ &= 0,75 \times 0,4 \times 5000 \times 1 \times 2,01 \\ &= 3014,4 \text{ kg} \end{aligned}$$

Kekuatan tumpu baut

$$\begin{aligned} R_d &= 0,75 \times 2,4 \times d_b \times t_p \times f_u \\ &= 0,75 \times 2,4 \times 1,6 \times 1,2 \times 4100 \\ &= 14169,6 \text{ kg} \end{aligned}$$

Jadi diambil yang terkecil, 3014,4 kg

Gaya geser yang bekerja adalah gaser maksimum antara gelagar memanjang dengan melintang  $V_a = 45462,15 \text{ kg}$  (Subbab 5.2.5.2).

$$\text{Perkiraan jumlah baut } \Sigma_{\text{baut}} = \frac{45462,15}{3014,4} = 15,05 \sim 16 \text{ baut}$$

Kontrol pelat siku L 150x150x12

$$b = 15 \text{ cm}$$

$$\begin{aligned} h &= 15 \text{ cm} \\ t_p &= 1,2 \text{ cm} \\ A &= 34,77 \text{ cm}^2 \end{aligned}$$

$$\begin{aligned} \text{Luas geser Anv} &= A - (\Sigma_{\text{baut}} \times \phi_{\text{lubang}} \times t_p) \\ &= 34,77 - (8 \times 1,6 \times 1,2) \\ &= 17,97 \text{ cm}^2 \end{aligned}$$

$$\begin{aligned} \text{Kuat rencana } \phi R_n &= 0,75 \times 0,6 \times f_u \times \text{Anv} \\ &= 0,75 \times 0,6 \times 4100 \times 17,97 \\ &= 33154,65 \text{ kg} \end{aligned}$$

Karena 2 siku maka,

$$\begin{aligned} 2 \times \phi R_n &> V_a = 45462,15 \text{ kg} \text{ (Subbab 5.2.5.2).} \\ 2 \times 33154,65 \text{ kg} &> 45462,15 \text{ kg} \\ 66309,3 \text{ kg} &> 45462,15 \text{ kg} \quad (\text{OK}) \end{aligned}$$

### 5.2.10.2 Gelagar Melintang Dengan Rangka Batang

Data-data :

Gelagar melintang menggunakan profil	: WF 600x300x12x20
Horizontal bawah menggunakan profil	: WF 300x300x15x15
Pelat penyambung	= 1,2 cm, BJ 41 dengan $f_u = 4100 \text{ kg/cm}^2$
Baut	= $\phi 1,6 \text{ cm}$ , BJ 50 dengan $f_u = 5000 \text{ kg/cm}^2$
$\phi_{\text{lubang}}$	= 1,75 cm (dengan bor)
r1	= 0,4 (untuk baut dengan ulir)
m	= jumlah bidang geser
Ab	= $\frac{1}{4} \times \pi \times \phi^2 = \frac{1}{4} \times \pi \times (1,6)^2 = 2,01 \text{ cm}^2$

Sambungan pada gelagar melintang

Kekuatan geser baut

$$\begin{aligned} V_d &= 0,75 \times r_1 \times f_u \times m \times A_b \\ &= 0,75 \times 0,4 \times 5000 \times 2 \times 2,01 \\ &= 6028,8 \text{ kg} \end{aligned}$$

Kekuatan tumpu baut

$$\begin{aligned} Rd &= 0,75 \times 2,4 \times d_b \times t_p \times f_u \\ &= 0,75 \times 2,4 \times 1,6 \times 1,2 \times 4100 \\ &= 14169,6 \text{ kg} \end{aligned}$$

Jadi diambil yang terkecil, 6028,8 kg

Gaya geser yang bekerja adalah gaya geser maksimum antara gelagar memanjang dengan melintang  $V_a = 45462,15 \text{ kg}$  (Subbab 5.2.5.2).

$$\text{Perkiraan jumlah baut } \Sigma_{\text{baut}} = \frac{45462,15}{6028,8} = 7,52 \sim 10 \text{ baut}$$

Penentuan jarak baut

$$3d < s < 15t_p \text{ atau } 20 \text{ cm}$$

$$3 \times 1,6 < s < 15 \times 1,2 \text{ atau } 20 \text{ cm}$$

$$4,8 \text{ cm} < s < 18 \text{ cm atau } 20 \text{ cm}$$

$$s = 10 \text{ cm}$$

$$1,5d < s_1 < (4t + 10) \text{ atau } 20 \text{ cm}$$

$$1,5 \times 1,6 < s_1 < (4 \times 1,2 + 10) \text{ atau } 20 \text{ cm}$$

$$2,4 < s_1 < 14,8 \text{ atau } 20 \text{ cm}$$

$$s_1 = 6 \text{ cm}$$

Sambungan pada rangka horizontal bawah (2 bidang geser)

Kekuatan geser baut

$$\begin{aligned} Vd &= 0,75 \times r_1 \times f_u \times m \times A_b \\ &= 0,75 \times 0,4 \times 5000 \times 2 \times 2,01 \\ &= 6028,8 \text{ kg} \end{aligned}$$

Kekuatan tumpu baut

$$\begin{aligned} Rd &= 0,75 \times 2,4 \times d_b \times t_p \times f_u \\ &= 0,75 \times 2,4 \times 1,6 \times 1,2 \times 4100 \\ &= 14169,6 \text{ kg} \end{aligned}$$

Jadi diambil yang terkecil, 6028,8 kg

Gaya geser yang bekerja adalah gaser maksimum antara gelagar memanjang dengan melintang  $V_a = 45462,15 \text{ kg}$  (Subbab 5.2.5.2).

$$\text{Perkiraan jumlah baut } \Sigma_{\text{baut}} = \frac{45462,15}{2 \times 6028,8} = 3,7 \sim 5 \text{ baut}$$

Kontrol pelat siku L 120x120x12

$$b = 12 \text{ cm}$$

$$h = 12 \text{ cm}$$

$$t_p = 1,2 \text{ cm}$$

$$A = 27,5 \text{ cm}^2$$

$$\begin{aligned}\text{Luas geser Anv} &= A - (\Sigma_{\text{baut}} \times \phi_{\text{lubang}} \times t_p) \\ &= 27,5 - (5 \times 1,6 \times 1,2) \\ &= 17 \text{ cm}^2\end{aligned}$$

$$\begin{aligned}\text{Kuat rencana } \phi R_n &= 0,75 \times 0,6 \times f_u \times Anv \\ &= 0,75 \times 0,6 \times 4100 \times 17 \\ &= 31356 \text{ kg}\end{aligned}$$

Karena 2 siku maka,

$$2 \times \phi R_n > V_a = 45462,15 \text{ kg} \text{ (Subbab 5.2.5.2).}$$

$$2 \times 31356 \text{ kg} > 45462,15 \text{ kg}$$

$$62730 \text{ kg} > 45462,15 \text{ kg} \quad (\text{OK})$$

### 5.2.10.3 Rangka Batang Horizontal Bawah

Data-data :

Gelagar rangka horizontal bawah : WF 300x300x15x15

Pelat penyambung = 1,2 cm, BJ 41 dengan  $f_u = 4100 \text{ kg/cm}^2$

Baut =  $\phi 1,6 \text{ cm}$ , BJ 50 dengan  $f_u = 5000 \text{ kg/cm}^2$

$\phi_{\text{lubang}}$  = 1,75 cm (dengan bor)

$r_1$  = 0,4 (untuk baut dengan ulir)

$m$  = jumlah bidang geser

$A_b = \frac{1}{4} \times \pi \times \phi^2 = \frac{1}{4} \times \pi \times (1,6)^2 = 2,01 \text{ cm}^2$

Kekuatan geser baut

$$V_d = 0,75 \times r_1 \times f_u \times m \times A_b$$

$$\begin{aligned}
 &= 0,75 \times 0,4 \times 5000 \times 2 \times 2,01 \\
 &= 6028,8 \text{ kg}
 \end{aligned}$$

Kekuatan tumpu baut

$$\begin{aligned}
 Rd &= 0,75 \times 2,4 \times d_b \times t_p \times f_u \\
 &= 0,75 \times 2,4 \times 1,6 \times 1,2 \times 4100 \\
 &= 14169,6 \text{ kg}
 \end{aligned}$$

Jadi diambil yang terkecil, 6028,8 kg

Gaya geser yang bekerja adalah gaya geser maksimum antara gelagar memanjang dengan melintang  $V_a = 75699,521 \text{ kg}$  (Tarik) – Frame 25 (Subbab 5.2.6)

Perkiraan jumlah baut  $\Sigma_{\text{baut}} = \frac{75699,521}{2 \times 6028,8} = 6,27 \sim 7$  baut (baut untuk tiap flens)

Penentuan jarak baut (Jarak Horizontal)

$$\begin{aligned}
 3d &< s &< 15t_p \text{ atau } 20 \text{ cm} \\
 3 \times 1,6 &< s &< 15 \times 1,2 \text{ atau } 20 \text{ cm} \\
 4,8 \text{ cm} &< s &< 18 \text{ cm atau } 20 \text{ cm} \\
 s &= 10 \text{ cm}
 \end{aligned}$$

$$\begin{aligned}
 1,5d &< s_1 &< (4t + 10) \text{ atau } 20 \text{ cm} \\
 1,5 \times 1,6 &< s_1 &< (4 \times 1,2 + 10) \text{ atau } 20 \text{ cm} \\
 2,4 &< s_1 &< 14,8 \text{ atau } 20 \text{ cm} \\
 s_1 &= 6 \text{ cm}
 \end{aligned}$$

Penentuan jarak baut (Jarak Vertikal)

$$\begin{aligned}
 3d &< s &< 15t_p \text{ atau } 20 \text{ cm} \\
 3 \times 1,6 &< s &< 15 \times 1,2 \text{ atau } 20 \text{ cm} \\
 4,8 \text{ cm} &< s &< 18 \text{ cm atau } 20 \text{ cm} \\
 s &= 6 \text{ cm}
 \end{aligned}$$

$$\begin{aligned}
 1,5d &< s_1 &< (4t + 10) \text{ atau } 20 \text{ cm} \\
 1,5 \times 1,6 &< s_1 &< (4 \times 1,2 + 10) \text{ atau } 20 \text{ cm}
 \end{aligned}$$

$$2,4 < s_1 < 14,8 \text{ atau } 20 \text{ cm}$$

$$s_1 = 5 \text{ cm}$$

#### 5.2.10.4 Rangka Batang Horizontal Atas

Data-data :

Gelagak rangka horizontal atas : WF 300x300x15x15

Pelat penyambung = 1,2 cm, BJ 41 dengan  $f_u = 4100 \text{ kg/cm}^2$

Baut =  $\phi 1,6 \text{ cm}$ , BJ 50 dengan  $f_u = 5000 \text{ kg/cm}^2$

$\phi_{lubang}$  = 1,75 cm (dengan bor)

$r_1$  = 0,4 (untuk baut dengan ulir)

$m$  = jumlah bidang geser

$A_b = \frac{1}{4} \times \pi \times \phi^2 = \frac{1}{4} \times \pi \times (1,6)^2 = 2,01 \text{ cm}^2$

Kekuatan geser baut

$$\begin{aligned} V_d &= 0,75 \times r_1 \times f_u \times m \times A_b \\ &= 0,75 \times 0,4 \times 5000 \times 2 \times 2,01 \\ &= 6028,8 \text{ kg} \end{aligned}$$

Kekuatan tumpu baut

$$\begin{aligned} R_d &= 0,75 \times 2,4 \times d_b \times t_p \times f_u \\ &= 0,75 \times 2,4 \times 1,6 \times 1,2 \times 4100 \\ &= 14169,6 \text{ kg} \end{aligned}$$

Jadi diambil yang terkecil, 6028,8 kg

Gaya geser yang bekerja adalah gaya geser maksimum antara gelagak memanjang dengan melintang  $V_a = 113180,551 \text{ kg}$  (Tekan) – Frame 37 (Subbab 5.2.6)

$$\text{Perkiraan jumlah baut } \Sigma_{\text{baut}} = \frac{113180,551}{2 \times 6028,8} = 9,38 \sim 16 \text{ baut}$$

Penentuan jarak baut (Jarak Horizontal)

$$3d < s < 15t_p \text{ atau } 20 \text{ cm}$$

$$3 \times 1,6 < s < 15 \times 1,2 \text{ atau } 20 \text{ cm}$$

$$4,8 \text{ cm} < s < 18 \text{ cm atau } 20 \text{ cm}$$

$$s = 10 \text{ cm}$$

$$\begin{aligned} 1,5d &< s_1 &< (4t + 10) \text{ atau } 20 \text{ cm} \\ 1,5 \times 1,6 &< s_1 &< (4 \times 1,2 + 10) \text{ atau } 20 \text{ cm} \\ 2,4 &< s_1 &< 14,8 \text{ atau } 20 \text{ cm} \\ s_1 &= 6 \text{ cm} \end{aligned}$$

Penentuan jarak baut (Jarak Vertikal)

$$\begin{aligned} 3d &< s &< 15t_p \text{ atau } 20 \text{ cm} \\ 3 \times 1,6 &< s &< 15 \times 1,2 \text{ atau } 20 \text{ cm} \\ 4,8 \text{ cm} &< s &< 18 \text{ cm atau } 20 \text{ cm} \\ s &= 6 \text{ cm} \end{aligned}$$

$$\begin{aligned} 1,5d &< s_1 &< (4t + 10) \text{ atau } 20 \text{ cm} \\ 1,5 \times 1,6 &< s_1 &< (4 \times 1,2 + 10) \text{ atau } 20 \text{ cm} \\ 2,4 &< s_1 &< 14,8 \text{ atau } 20 \text{ cm} \\ s_1 &= 5 \text{ cm} \end{aligned}$$

### 5.2.10.5 Rangka Batang Diagonal

Data-data :

Gelagor rangka diagonal : WF 300x300x12x12

$$\begin{aligned} \text{Pelat penyambung} &= 1,2 \text{ cm, BJ 41 dengan } f_u = 4100 \text{ kg/cm}^2 \\ \text{Baut} &= \phi 1,6 \text{ cm, BJ 50 dengan } f_u = 5000 \text{ kg/cm}^2 \\ \phi_{lubang} &= 1,75 \text{ cm (dengan bor)} \\ r_1 &= 0,4 \text{ (untuk baut dengan ulir)} \\ m &= \text{jumlah bidang geser} \\ A_b &= \frac{1}{4} \pi \times \phi^2 = \frac{1}{4} \pi \times (1,6)^2 = 2,01 \text{ cm}^2 \end{aligned}$$

Kekuatan geser baut

$$\begin{aligned} V_d &= 0,75 \times r_1 \times f_u \times m \times A_b \\ &= 0,75 \times 0,4 \times 5000 \times 2 \times 2,01 \\ &= 6028,8 \text{ kg} \end{aligned}$$

Kekuatan tumpu baut

$$R_d = 0,75 \times 2,4 \times d_b \times t_p \times f_u$$

$$= 0,75 \times 2,4 \times 1,6 \times 1,2 \times 4100 \\ = 14169,6 \text{ kg}$$

Jadi diambil yang terkecil, 6028,8 kg

Gaya geser yang bekerja adalah gaya geser maksimum antara gelagar memanjang dengan melintang  $V_a = 71133,436 \text{ kg}$  (Tekan) – Frame 60 (Subbab 5.2.6)

$$\text{Perkiraan jumlah baut } \Sigma_{\text{baut}} = \frac{72825,579}{2 \times 6028,8} = 5,89 \sim 8 \text{ baut}$$

Penentuan jarak baut (Jarak Horizontal)

$$\begin{aligned} 3d &< s &< 15t_p \text{ atau } 20 \text{ cm} \\ 3 \times 1,6 &< s &< 15 \times 1,2 \text{ atau } 20 \text{ cm} \\ 4,8 \text{ cm} &< s &< 18 \text{ cm atau } 20 \text{ cm} \\ s &= 16 \text{ cm} \end{aligned}$$

$$\begin{aligned} 1,5d &< s_1 &< (4t + 10) \text{ atau } 20 \text{ cm} \\ 1,5 \times 1,6 &< s_1 &< (4 \times 1,2 + 10) \text{ atau } 20 \text{ cm} \\ 2,4 &< s_1 &< 14,8 \text{ atau } 20 \text{ cm} \\ s_1 &= 7 \text{ cm} \end{aligned}$$

Penentuan jarak baut (Jarak Vertikal)

$$\begin{aligned} 3d &< s &< 15t_p \text{ atau } 20 \text{ cm} \\ 3 \times 1,6 &< s &< 15 \times 1,2 \text{ atau } 20 \text{ cm} \\ 4,8 \text{ cm} &< s &< 18 \text{ cm atau } 20 \text{ cm} \\ s &= 8 \text{ cm} \end{aligned}$$

$$\begin{aligned} 1,5d &< s_1 &< (4t + 10) \text{ atau } 20 \text{ cm} \\ 1,5 \times 1,6 &< s_1 &< (4 \times 1,2 + 10) \text{ atau } 20 \text{ cm} \\ 2,4 &< s_1 &< 14,8 \text{ atau } 20 \text{ cm} \\ s_1 &= 5 \text{ cm} \end{aligned}$$

### 5.2.11 Perencanaan Elastomer

#### 5.2.11.1 Data-Data :

Beban Mati, DL	= 12479,14 kg
Beban Hidup, LL	= 65625 kg
Lebar Elastomer, W	= 450 mm
Tinggi Elastomer, H	= 140 mm
Panjang Elastomer, L	= 500
Tebal Lapisan, hri	= 17 mm
Tebal lapisan penutup, hc	= 4 mm
Jumlah lapisan, n	= 8
Fy	= 240 Mpa
Modulus Geser, G	= 0,6 Mpa sampai 1,3 Mpa = 0,7 Mpa

#### 5.2.11.2 Perhitungan Elastomer

##### 5.2.11.2.1 Faktor Bentuk

$$S = \frac{A}{Ip \times hri}$$

$$Ip = 2 \times (L + W)$$

$$A = L \times W$$

Dimana,

S = faktor bentuk

A = Luas keseluruhan

Ip = Keliling elastomer

hri = Ketebalan efektif karet pada lapisan

Maka,

$$Ip = 2 \times (L + W)$$

$$= 2 \times (500 \text{ mm} + 450 \text{ mm})$$

$$= 1900 \text{ mm}$$

$$A = L \times W$$

$$= 500 \text{ mm} \times 450 \text{ mm} = 225000 \text{ mm}^2 = 2250 \text{ cm}^2$$

$$S = \frac{225000 \text{ mm}}{1900 \text{ mm} \times 17 \text{ mm}} = 6,97$$

Kontrol faktor bentuk (S) untuk bantalan tipe berlapis

$$\begin{aligned} 4 &\leq S \leq 12 \\ 4 &\leq 6,97 \leq 12 \quad (\text{OK}) \end{aligned}$$

### 5.2.11.2.2 Kontrol

#### 1. Cek Tegangan Ijin

$$\begin{aligned} \sigma_s &= \frac{PDL + PLL}{A} \\ &= \frac{12479,14 \text{ kg} + 65625 \text{ kg}}{2250 \text{ cm}^2} \\ &= 34,71 \text{ kg/cm}^2 = 3,40 \text{ Mpa} \end{aligned}$$

$$\sigma_L = \frac{PLL}{A} = \frac{65625 \text{ kg}}{2250 \text{ cm}^2} = 29,17 \text{ kg/cm}^2 = 2,86 \text{ Mpa}$$

Kontrol Bantalan dengan deformasi geser yang tidak dikekang

$$\begin{aligned} - \quad \sigma_s &\leq 7,0 \text{ Mpa} \\ 3,40 \text{ Mpa} &\leq 7,0 \text{ Mpa} \quad (\text{OK}) \end{aligned}$$

$$\begin{aligned} - \quad \sigma_s &\leq 1,0 \times G \times S \\ 3,42 \text{ Mpa} &\leq 4,88 \text{ Mpa} \quad (\text{OK}) \end{aligned}$$

Kontrol Bantalan dengan deformasi geser yang dikekang

$$\begin{aligned} - \quad \sigma_s &\leq 7,7 \text{ Mpa} \\ 3,40 \text{ Mpa} &\leq 7,7 \text{ Mpa} \quad (\text{OK}) \end{aligned}$$

$$\begin{aligned} - \quad \sigma_s &\leq 1,1 \times G \times S \\ 3,40 \text{ Mpa} &\leq 5,36 \text{ Mpa} \quad (\text{OK}) \end{aligned}$$

#### 2. Cek Deformasi Geser

Direncanakan H elatomer = 140 mm

$$\begin{aligned}\varepsilon &= \frac{PDL+PDL}{A \times E} \\ &= \frac{781,04 \text{ kN}}{225000 \text{ mm}^2 \times 0,5 \text{ kN/mm}^2} \\ &= 0,0069\end{aligned}$$

$$\begin{aligned}\Delta s &= \varepsilon \times H \\ &= 0,0069 \times 140 \text{ mm} \\ &= 0,97 \text{ mm}\end{aligned}$$

$$\begin{aligned}\text{Total deformasi geser rencana, } \Delta s &= 0,97 \text{ mm} \\ \text{Deformasi ijin, } 2 \times \Delta s &= 1,94 \text{ mm}\end{aligned}$$

$$\begin{aligned}\text{Ketebalan total elastomer, hrt} \\ \text{Tebal lapisan internal} &= 17 \text{ mm} \times 8 \text{ (lapisan)} \\ &= 136 \text{ mm} \\ \text{Jumlah tebal cover} &= 4 \text{ mm} \times 2 \\ &= 8 \text{ mm}\end{aligned}$$

$$hrt = 136 \text{ mm} + 8 \text{ mm} = 144 \text{ mm}$$

Kontrol Deformasi :

$$\begin{aligned}hrt &\geq 2 \times \Delta s \\ 144 \text{ mm} &\geq 1,94 \text{ mm} \quad (\text{OK})\end{aligned}$$

### 3. Cek Rotasi

$$\Delta s \geq 0,5 \text{ G.S} \left(\frac{L}{hri}\right)^2 \frac{\theta_{s,x}}{n} = 3,40 \text{ Mpa} \geq 1,76 \text{ Mpa}$$

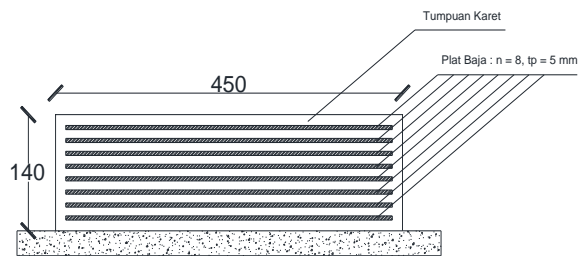
$$\Delta s \geq 0,5 \text{ G.S} \left(\frac{W}{hri}\right)^2 \frac{\theta_{s,x}}{n} = 3,40 \text{ Mpa} \geq 1,42 \text{ Mpa}$$

### 4. Cek Stabilitas

$$\begin{aligned}- H &\leq L/3 \\ 140 \text{ mm} &\leq 500 \text{ mm} / 3 = 166,67 \text{ mm} \quad (\text{OK})\end{aligned}$$

- $H \leq W/3$   
140 mm  $\leq 450 \text{ mm} / 3 = 150 \text{ mm}$  **(OK)**
- $h_{\text{cover}} \leq 0,7 \text{ hri}$   
4 mm  $\leq 0,7 \times 17 \text{ mm} = 11,9 \text{ mm}$  **(OK)**

### 5.2.11.2.3 Hasil



Gambar 5. 8 Rencana Perletakan Elastomer

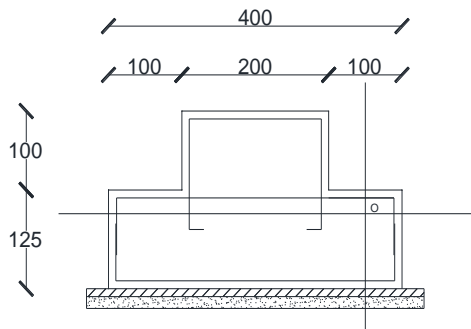
### 5.2.12 Perencanaan Abutment

Abutmen merupakan bangunan bawah jembatan yang terletak pada kedua ujung jembatan, yang berfungsi sebagai pemikul beban yang disalurkan dari bangunan atas.

Untuk pondasi yang digunakan pada Jembatan Kereta Api ini menggunakan pondasi tiang pancang karena berdasarkan hasil dari penyelidikan tanah terdekat didapatkan nilai SPT yang tinggi ( $N>50$ ) pada kedalaman 13,5 – 31,5 meter, maka direncanakan kedalaman tiang pancang nantinya sedalam 12 meter karena pada kedalaman tersebut nilai daya dukung tiang sudah cukup memenuhi. Dengan dimensi yang digunakan untuk tiang pancang berdiameter 500 mm dengan tebal dinding 90 mm. Jumlah tiang pancang yang digunakan sebanyak 8 tiang pancang masing-masing pilar dengan taksiran 2 baris dan tiap berisinya berisi 4 tiang pancang dengan jarak memanjang sebesar 2500 mm dan melintang sejauh 1500 mm.

#### 5.2.12.1 Pembebanan Pada Abutment

1. Beban Vertikal
  - Berat Sendiri Abutment



Gambar 5. 9 Desain Rencana Abutment Jembatan

Tabel 5. 4 Berat Sendiri Abutment

Segmen	PARAMETER BAGIAN				Wc (kg/m3)	Luas A (m2)	BERAT (kg)	Lengan terhadap sisi bawah Titik O		Momen Y	Momen X
	h (m)	b (m)	Bentuk	L (m)				Y (m)	X (m)		
1	1	2	1	6	2400	2	28800	0,8	2	23142,86	57600
2	1,25	4	1	6	2400	5	72000	0,32	2	23142,86	144000
TOTAL						7	230400			46285,71	201600

Sumber : Hasil Analisa Perhitungan

Letak titik berat terhadap titik O

$$\begin{aligned} X &= \frac{\text{Momen } Y}{W \text{ Total}} \\ &= \frac{46285,71 \text{ kgm}}{100800 \text{ kg}} \\ &= 0,46 \text{ m} \end{aligned}$$

$$\begin{aligned} Y &= \frac{\text{Momen } X}{W \text{ Total}} \\ &= \frac{201600 \text{ kgm}}{100800 \text{ kg}} \\ &= 2 \text{ m} \end{aligned}$$

- Berat Sendiri Bangunan Atas

Data Perencanaan Bangunan Atas :

Bentang Jembatan	= 30 m
Lebar Jembatan	= 5 m
Jarak antar gelagar melintang, $\lambda$	= 5 m
q Tipe Rel R.50	= 50,4 kg/m
Jumlah Bantalan	= 50
Gelagar Memanajang	= WF 350.350.10.16
Gelagar Melintang	= WF 600.300.12.20

Ikatan Angin Bawah	= L.120.120.12
Ikatan Tumbuk	= L 50.50.5
<b>Perhitungan Berat Sendiri :</b>	
Rel	= q x bentang x jumlah rel = 50,4 kg/m x 30 m x 2 = 3024 kg
Bantalan	= L x T x P x $\gamma$ bantalan x jumlah bantalan = 0,22m x 0,18mx 1,8m x 815,77kg/m <sup>3</sup> x 50 = 2907,5 kg
Gelagar memanjang	= jumlah x Bentang x q profi = 2 x 30 m x 115 kg/m = 6900 kg
Gelagar Melintang	= jumlah x bentang x q profil = 7 x 5 m x 151 kg/m = 5285 kg
Ikatan Angin Atas	= jumlah x panjang x q profil = 10 x 5,59 m x 21,59 kg/m = 1206,881 kg
Ikatan Angin Bawah	= jumlah x panjang x q profil = 12 x 7 m x 21,59 kg/m = 1813,56 kg
Ikatan Tumbuk	= jumlah x panjang x q profil = 60 x 1 m x 3,77 kg/m = 226,2 kg
Batang Tepi Atas Melintang	= jumlah x panjang x q profil = 6 x 5 m x 106 kg/m = 3180 kg
Batang Tepi Atas Memanjang	= Sisi x panjang x jumlah x q profil = 2 x 5 m x 5 x 106 kg/m = 5300 kg
Batang Tepi Bawah	= Sisi x panjang x jumlah x q profil = 2 x 5 m x 6 x 106 kg/m = 6360 kg
Batang Diagonal	= Sisi x jumlah x panjang x q profil = 2 x 12 x 5,59 m x 84,5 kg/m

$$\begin{aligned}
 &= 11336,52 \text{ kg} \\
 \text{Sambungan dan Plat} &= 2376,98 \text{ kg}
 \end{aligned}$$

Jadi, total bangunan atas = 49916,54 kg

- Beban Hidup

$$\begin{aligned}
 \text{Beban hidup} &= \text{beban merata} \times \text{bentang jembatan} \\
 &= 8750 \text{ kg/m} \times 30 \text{ m} \\
 &= 262500 \text{ kg}
 \end{aligned}$$

## 2. Beban Horizontal

- Beban Angin

$$\begin{aligned}
 \text{Beban transversal di perletakan akibat angin} \\
 \text{Hw1} + \text{Hw2} &= 7425 \text{ kg} + 12600 \text{ kg} \\
 &= 20025 \text{ kg}
 \end{aligned}$$

Lengan terhadap podasi

$$\begin{aligned}
 \frac{1}{2} \times \text{tinggi rangka} + h \text{ abutment} &= \frac{1}{2} \times 5 \text{ m} + 2,25 \text{ m} \\
 &= 4,8 \text{ m}
 \end{aligned}$$

Momen pada pondasi akibat angin

$$20025 \text{ kg} \times 4,8 \text{ m} = 95118,75 \text{ kgm}$$

- Beban Rem

$$\begin{aligned}
 \text{Beban longitudinal di perletakan akibat rem} \\
 25\% \times W \text{ lok} &= 25\% \times 84000 \text{ kg} = 21000 \text{ kg}
 \end{aligned}$$

Lengan terhadap podasi

$$h \text{ abutment} = 2,25 \text{ m}$$

Momen pada pondasi akibat rem

$$21000 \text{ kg} \times 2,25 \text{ m} = 47250 \text{ kgm}$$

- Beban Gempa

Analisis gempa berdasarkan **RSNI GEMPA JEMBATAN-2013**, beban gempa diambil sebagai gaya horizontal yang ditentukan berdasarkan perkalian antara koefisien respon elastik ( $C_{sm}$ ) dengan berat struktur ekuivalen yang kemudian dimodifikasi dengan faktor modifikasi respon ( $R$ ).

Penentuan kelas situs tanah

$$\bar{N} = \frac{\sum t_i}{\sum t_i/n}$$

Dimana data diatas didapat dari data tanah dengan menggunakan SPT, maka diperoleh :

$$\bar{N} = \frac{31,5 \text{ m}}{0,67 \text{ m}} = 47,33$$

Dengan nilai  $\bar{N} = 47,33$  maka dari Gambar 5.9 diperoleh kelas situs tanah sedang.

Tabel 5. 5 Kelas Situs

Kelas Situs	$\bar{V}_z$ (m/s)	$\bar{N}$	$\bar{s}_u$ (kPa)
A. Batuan Keras	$\bar{V}_z \geq 1500$	N/A	N/A
B. Batuan	$750 < \bar{V}_z \leq 1500$	N/A	N/A
C. Tanah Sangat Padat dan Batuan Lunak	$350 < \bar{V}_z \leq 750$	$\bar{N} > 50$	$\bar{s}_u \geq 100$
D. Tanah Sedang	$175 < \bar{V}_z \leq 350$	$15 \leq \bar{N} \leq 50$	$50 \leq \bar{s}_u \leq 100$
E. Tanah Lunak	$\bar{V}_z < 175$	$\bar{N} < 15$	$\bar{s}_u < 50$
Atau setiap profil lapisan tanah dengan ketebalan lebih dari 3 m dengan karakteristik sebagai berikut :			
1. Indeks plastitas, PI > 20, 2. Kadar air (w) $\geq 40\%$ , dan 3. Kuat geser tak terdrainase $\bar{s}_u < 25 \text{ kPa}$			
F. Lokasi yang membutuhkan penyelidikan geoteknik dan analisis respons dinamik spesifik	Setiap profil lapisan tanah yang memiliki salah satu atau lebih dari karakteristik seperti : - Rentan dan berpotensi gagal terhadap beban gempa seperti likufaksi, tanah lempung sangat sensitif, tanah tersementasi lemah - Lempung organik tinggi dan/atau gambut (dengan ketebalan > 3m) - Plastisitas tinggi (ketebalan H > 7.5m dengan PI > 75) - Lapisan lempung lunak/medium kaku dengan ketebalan H > 35m		

Sumber : RSNI Gempa Jembatan-2013

### Penentuan faktor amplifikasi periode pendek

Untuk menentukan faktor amplifikasi periode pendek didapatkan dari **Peta Zona Gempa Indonesia 2010**, sesuai daerah lokasi jembatan.

Didapat nilai PGA sebesar 0,23 , sehingga untuk menentukan F<sub>PGA/F<sub>a</sub></sub> dan S<sub>s</sub> dapat melihat tabel dengan kelas situs Tanah Sedang.

Tabel 5. 6 Faktor Amplifikasi Untuk Periode 0 Detik dan 02 Detik (F<sub>PGA/F<sub>a</sub></sub>)

Kelas situs	PGA ≤ 0,1 S <sub>s</sub> ≤ 0,25	PGA = 0,2 S <sub>s</sub> = 0,5	PGA = 0,3 S <sub>s</sub> = 0,75	PGA = 0,4 S <sub>s</sub> = 1,0	PGA > 0,5 S <sub>s</sub> ≥ 1,25
Batuan Keras (SA)	0.8	0.8	0.8	0.8	0.8
Batuan (SB)	1.0	1.0	1.0	1.0	1.0
Tanah Keras (SC)	1.2	1.2	1.1	1.0	1.0
Tanah Sedang (SD)	1.6	1.4	1.2	1.1	1.0
Tanah Lunak (SE)	2.5	1.7	1.2	0.9	0.9
Tanah Khusus (SF)	SS	SS	SS	SS	SS

Sumber : RSNI Gempa Jembatan-2013

Maka didapat nilai F<sub>PGA</sub> sebesar 1,4 dan nilai S<sub>s</sub> dengan syarat = 0,5 maka diambil nilai S<sub>s</sub> sebesar 0,5.

### Penentuan faktor amplifikasi untuk periode 1 detik (F<sub>v</sub>)

Nilai F<sub>v</sub> didapat dari tabel dengan menentukan S<sub>1</sub> (parameter respon spektral percepatan gempa untuk periode 1 detik), dengan melihat **Peta Zona Gempa Indonesia 2010** didapat nilai S<sub>1</sub> sebesar 0,18 sesuai lokasi jembatan.

Tabel 5. 7 Tabel Nilai Faktor Amplifikasi Untuk Periode 1 Detik (Fy)

Kelas situs	$S_1 \leq 0.1$	$S_f = 0.2$	$S_f = 0.3$	$S_f = 0.4$	$S_f \geq 0.5$
Batuan Keras (SA)	0.8	0.8	0.8	0.8	0.8
Batuan (SB)	1.0	1.0	1.0	1.0	1.0
Tanah Keras (SC)	1.7	1.6	1.5	1.4	1.3
Tanah Sedang (SD)	2.4	2.0	1.8	1.6	1.5
Tanah Lunak (SE)	3.5	3.2	2.8	2.4	2.4
Tanah Khusus (SF)	SS	SS	SS	SS	SS

Sumber : RSNI Gempa Jembatan-2013

Sehingga  $F_v$  didapat dari tabel = 2

Respon spektrum rencana

Dengan didapatkan nilai dari PGA, SS, dan S1 serta nilai faktor amplifikasi F<sub>PGA</sub>, F<sub>a</sub>, dan F<sub>v</sub>. Maka dapat dihitung :

$$\begin{aligned} A_s &= F_{\text{PGA}} \times \text{PGA} \\ &= 1,4 \times 0,23 \\ &= 0,322 \end{aligned}$$

$$\begin{aligned} S_{DS} &= F_a \times S_s \\ &= 1,4 \times 0,5 \\ &= 0,7 \end{aligned}$$

$$\begin{aligned} S_{DI} &= F_v \times S_1 \\ &= 2 \times 0,18 \\ &= 0,36 \end{aligned}$$

Dari data diatas dapat digunakan untuk menghitung Periode (T)

$$T = 0,2 \text{ (periode pendek)}$$

$$T_s = \frac{S_{DI}}{S_{DS}} = \frac{0,36}{0,7} = 0,51$$

$$T_0 = 0,2 T_s$$

$$= 0,2 \times 0,51 = 0,103$$

Sehingga didapat,

$$\begin{aligned} T_s &> T > T_0 \\ 0,51 &> 0,2 > 0,103 \end{aligned}$$

Maka berdasarkan **RSNI GEMPA JEMBATAN-2013**

**Pasal 5.4.2**, memenuhi syarat kedua sehingga nilai  $C_{SM}$  sama dengan nilai  $S_{DS}$ .

Koefisien respons gempa elastik.

$$C_{SM} = S_{DS}$$

$$= 0,7$$

### Perhitungan Beban Gempa

Rumus untuk perhitungan beban gempa, berdasarkan **RSNI GEMPA JEMBATAN-2013 Pasal 5.1** :

$$E_Q = \frac{C_{SM}}{R} \times W_T$$

dimana,  $W_T$  adalah berat total struktur yang terdiri dari beban mati dan beban hidup yang sesuai.

### Beban gempa struktur bangunan atas

Tabel 5. 8 Faktor Modifikasi Respons (R) Untuk Hubungan Antar Elemen Struktur

Hubungan elemen struktur	Semua kategori kepentingan
Bangunan atas dengan kepala jembatan	0,8
Sambungan muai (dilatasasi) pada bangunan atas	0,8
Kolom, pilar, atau tiang dengan bangunan atas	1,0
Kolom atau pilar dengan fondasi	1,0

Sumber : RSNI Gempa Jembatan-2013

R didapat dari Gambar 5.10, sesuai ketentuan, maka didapat R sebesar 0,8 sehingga dapat dihitung :

$$W_T = 49916,54 \text{ kg}$$

$$E_{Q1} = \frac{0,7}{0,8} \times 49916,54 \text{ kg} = 43676,98 \text{ kg}$$

### Beban gempa struktur bangunan bawah

Tabel 5. 9 Faktor Modifikasi Respons (R) Untuk Bangunan Bawah

Bangunan bawah	Kategori kepentingan		
	Sangat penting	Penting	Lainnya
Pilar tipe dinding	1,5	1,5	2,0
Tiang/kolom beton bertulang			
Tiang vertikal	1,5	2,0	3,0
Tiang miring	1,5	1,5	2,0
Kolom tunggal	1,5	2,0	3,0
Tiang baja dan komposit			
Tiang vertikal	1,5	3,5	5,0
Tiang miring	1,5	2,0	3,0
Kolom majemuk	1,5	3,5	5,0

Sumber : RSNI Gempa Jembatan-2013

R didapat dari Gambar 5.11, sesuai ketentuan, maka didapat R sebesar 1,5 sehingga dapat dihitung :

$$W_T = 100800 \text{ kg}$$

$$E_{Q2} = \frac{0,7}{1,5} \times 100800 \text{ kg} = 47040 \text{ kg}$$

$$\begin{aligned} \text{Total } E_Q &= E_{Q1} + E_{Q2} \\ &= 43676,98 \text{ kg} + 47040 \text{ kg} \\ &= 90716,98 \text{ kg} \end{aligned}$$

Sehingga  $T_{EQ}$  sebesar 90716,98 kg

Tabel 5. 10 Momen Akibat Gempa

NO	JENIS BEBAN	BEBAN (kg)	LENGAN		Mx (kgm)	My (kgm)
			X (m)	Y (m)		
1	TEQ	90716,976	0,42	2,50	41655,75	181433,95
Total		90716,976			41655,75	181433,95

Sumber : Hasil Analisa Perhitungan

- Beban Akibat Tekanan Tanah
 

Berat volume tanah timbunan, Ws	= 1,654 t/m <sup>3</sup>
Sudut gesek tanah timbunan, $\phi$	= 36,5°
Tinggi tanah timbunan, H	= 2,25 m
Panjang, L	= 6 m
Urugan diatas abutment	= 0,6 m

$$\begin{aligned} 0,6 \times Ws &= 0,6 \text{ m} \times 1,654 \text{ t/m}^3 \\ &= 0,992 \text{ t/m}^2 \end{aligned}$$

Koefisien tanah aktif saat gempa ( $K_a E$ )

$$K_a E = \frac{\cos^2 (\phi' - \theta - \bar{\beta})}{\cos^2 \theta \cos \bar{\beta} \cos (\delta' + \theta + \bar{\beta}) \left[ 1 + \sqrt{\frac{\sin(\delta' + \phi') \sin(\phi' - \alpha - \bar{\beta})}{\cos(\delta' + \theta + \bar{\beta}) \cos(\theta - \alpha)}} \right]^2}$$

Dimana :

Sudut geser dalam,  $\phi'$  = 36,5°

Sudut kemiringan thd. Vertikal,  $\theta$  = 0°

Sudut kemiringan tanah timbunan,  $\alpha$  = 0°

Sudut geser antara tanah dengan dinding,  $\delta'$  = 0°

$k_h$  = koefisien percwpatan horizontal gempa

$$= C \times I$$

$$= 0,15 \times 1,2$$

$$= 0,18$$

$k_v$  = koefisien percepatan vertikal gempa

$$= 2/3 k_h$$

$$= 0,12$$

$$\begin{aligned} \bar{\beta} &= \tan^{-1} \left( \frac{k_h}{1 - k_v} \right) \\ &= \tan^{-1} \left( \frac{0,18}{1 - 0,12} \right) \\ &= 0,00357 \end{aligned}$$

Maka nilai koefisien tanah aktif saat gempa ( $K_aE$ )

$$\begin{aligned}
 K_aE &= \frac{\cos^2(\phi' - \theta - \bar{\beta})}{\cos^2 \theta \cos \bar{\beta} \cos(\delta' + \theta + \bar{\beta}) \left[ 1 + \sqrt{\frac{\sin(\delta' + \phi') \sin(\phi' - \alpha - \bar{\beta})}{\cos(\delta' + \theta + \bar{\beta}) \cos(\theta - \alpha)}} \right]^2} \\
 &= 0,254
 \end{aligned}$$

Tabel 5. 11 Beban Akibat Tekanan Tanah

Tekanan Tanah	$K_aE$	q	$W_s$	H	L	Nilai	Lengan	Momen
		t/m <sup>2</sup>	t/m <sup>3</sup>	m	m	ton	m	tm
Ea1	0,254	0,992	1,654	2,25	6	3,4	1,125	3,83
Ea2	0,254	0,992	1,654	2,25	6	13,4	0,75	10,05
Total							29,87	13,88

Sumber : Hasil Analisa Perhitungan

### 5.2.12.2 Kombinasi Pembebatan

Tabel 5. 12 Rekapitulasi Beban Tegangan Kerja Abutment

NO	Aksi/beban	Kode	Vertikal	Horizontal		Momen	
			Vz(kg)	Hx(kg)	Hy(kg)	Mx(kgm)	My (kgm)
Aksi Tetap							
1	Berat sendiri	MS	150716,54				
2	Tekanan Tanah	TA		16801,54		13877,7	
Beban Lalu-lintas							
3	Beban lajur "D"	TD	262500				
4	Gaya rem TB	TB		21000		47250	
Aksi Lingkungan							
5	Beban angin EW	EW			20025		95118,75
6	Beban gempa EQ	EQ		90716,98	90716,98	41655,75	181433,95
Ttotal			413216,54	128518,51	110741,98	102783,46	276552,70

Sumber : Hasil Analisa Perhitungan

### Kombinasi 1 (MS + TA + TD)

Tabel 5. 13 Kombinasi 1 Beban Tegangan Kerja Abutment

NO	Aksi/beban	Kode	Vertikal	Horizontal		Momen	
			Vz(kg)	Hx(kg)	Hy(kg)	Mx(kgm)	My (kgm)
<b>Aksi Tetap</b>							
1	Berat sendiri	MS	150716,54				
2	Tekanan Tanah	TA		16801,54		13877,7	
<b>Beban Lalu-lintas</b>							
3	Beban lajur "D"	TD	262500				
4	Gaya rem TB	TB					
<b>Aksi Lingkungan</b>							
5	Beban angin EW	EW					
6	Beban gempa EQ	EQ					
<b>Ttotal</b>			413216,54	16801,54		13877,7	

Sumber : Hasil Analisa Perhitungan

### Kombinasi 2 (MS + TA + TD + TB)

Tabel 5. 14 Kombinasi 2 Beban Tegangan Kerja Abutment

NO	Aksi/beban	Kode	Vertikal	Horizontal		Momen	
			Vz(kg)	Hx(kg)	Hy(kg)	Mx(kgm)	My (kgm)
<b>Aksi Tetap</b>							
1	Berat sendiri	MS	150716,54				
2	Tekanan Tanah	TA		16801,54		13877,7	
<b>Beban Lalu-lintas</b>							
3	Beban lajur "D"	TD	262500				
4	Gaya rem TB	TB		21000		47250	
<b>Aksi Lingkungan</b>							
5	Beban angin EW	EW					
6	Beban gempa EQ	EQ					
<b>Ttotal</b>			413216,54	37801,54		61127,7	

Sumber : Hasil Analisa Perhitungan

## Kombinasi 3 (MS + TA + TD + TB + EW)

Tabel 5. 15 Kombinasi 3 Beban Tegangan Kerja Abutment

NO	Aksi/beban	Kode	Vertikal	Horizontal		Momen	
			Vz(kg)	Hx(kg)	Hy(kg)	Mx(kgm)	My (kgm)
<b>Aksi Tetap</b>							
1	Berat sendiri	MS	150716,54				
2	Tekanan Tanah	TA		16801,54		13877,7	
<b>Beban Lalu-lintas</b>							
3	Beban lajur "D"	TD	262500				
4	Gaya rem TB	TB		21000		47250	
<b>Aksi Lingkungan</b>							
5	Beban angin EW	EW			20025		95118,75
6	Beban gempa EQ	EQ					
<b>Ttotal</b>			413216,54	37801,54	20025	61127,7	95118,75

Sumber : Hasil Analisa Perhitungan

## Kombinasi 4 (MS + TA + TD + TB + EW)

Tabel 5. 16 Kombinasi 4 Beban Tegangan Kerja Abutment

NO	Aksi/beban	Kode	Vertikal	Horizontal		Momen	
			Vz(kg)	Hx(kg)	Hy(kg)	Mx(kgm)	My (kgm)
<b>Aksi Tetap</b>							
1	Berat sendiri	MS	150716,54				
2	Tekanan Tanah	TA		16801,54		13877,7	
<b>Beban Lalu-lintas</b>							
3	Beban lajur "D"	TD					
4	Gaya rem TB	TB					
<b>Aksi Lingkungan</b>							
5	Beban angin EW	EW					
6	Beban gempa EQ	EQ		90716,98	90716,98	41655,75	181433,95
<b>Ttotal</b>			150716,54	107518,51	90716,98	55533,46	181433,95

Sumber : Hasil Analisa Perhitungan

Tabel 5. 17 Rekapitulasi Kombinasi Pembebatan Tegangan Kerja Abutment

NO	Kombinasi beban	Tegangan berlebihan	P (kg)	Hx (kgm)	Hy (kgm)	Mx (kgm)	My (kgm)
1	KOMBINASI 1 (MS + TA + TD)	0%	413216,54	16801,54	0,00	13877,7	0,00
2	KOMBINASI 2 (MS + TA + TD + TB)	25%	413216,54	37801,54	0,00	61127,7	0,00
3	KOMBINASI 3 (MS + TA + TD + TB + EW)	40%	413216,54	37801,54	20025,00	61127,7	95118,75
4	KOMBINASI 4 (MS + TA + EQ)	50%	150716,54	107518,51	90716,98	55533,46	181433,95

Sumber : Hasil Analisa Perhitungan

### 5.2.12.3 Kontrol Stabilitas Guling

#### 1. Arah X

Stabilitas guling arah memanjang jembatan (arah X)

Letak titik guling berada pada ujung pondasi terhadap pusat pondasi.

$$\frac{B_x}{2} = \frac{4 \text{ m}}{2} = 2 \text{ m}$$

Momen penahan guling :

Abutment dapat menahan guling jika memenuhi syarat

$$SF > 1,5$$

$$SF = \frac{M_p}{M_x}$$

$$M_p = P \times \frac{B_x}{2} \times (1 + k)$$

Tabel 5. 18 Kontrol Stabilitas Guling Arah X

NO	Kombinasi beban	k	P	Mx	Mp	SF	Keterangan
1	Kombinasi 1	0%	413216,54	13877,70	413216,54	29	OK
2	Kombinasi 2	25%	413216,54	61127,70	516520,68	8,45	OK
3	Kombinasi 3	40%	413216,54	61127,70	578503,16	9,46	OK
4	Kombinasi 4	50%	150716,54	55533,46	226074,82	4,07	OK

Sumber : Hasil Analisa Perhitungan

## 2. Arah Y

Stabilitas guling arah melintang jembatan (arah X)

Letak titik guling berada pada ujung pondasi terhadap pusat pondasi.

$$\frac{B_y}{2} = \frac{8 \text{ m}}{2} = 4 \text{ m}$$

Momen penahan guling :

Abutment dapat menahan guling jika memenuhi syarat

$$SF > 1,5$$

$$SF = \frac{M_p}{M_y}$$

$$M_p = P \times \frac{B_y}{2} \times (1 + k)$$

Tabel 5. 19 Kontrol Stabilitas Guling Arah Y

NO	Kombinasi beban	k	P	My	Mp	SF	Keterangan
1	Kombinasi 1	0%	413216,54	0,00	1239649,63	#DIV/0!	#DIV/0!
2	Kombinasi 2	25%	413216,54	0,00	1549562,04	#DIV/0!	#DIV/0!
3	Kombinasi 3	40%	413216,54	95118,75	1735509,48	18,25	OK
4	Kombinasi 4	50%	150716,54	181433,95	678224,45	3,74	OK

Sumber : Hasil Analisa Perhitungan

### 5.2.12.4 Kontrol Stabilitas Geser

#### 1. Arah X

Parameter tanah dasar pilecap :

$$\text{Sudut gesek, } \phi = 28^\circ$$

$$\text{Kohesi, } C = 1,45 \text{ t/m}^2$$

Ukuran dasar pilecap:

$$B_x = 4 \text{ m}$$

$$B_y = 6 \text{ m}$$

Gaya penahan geser :

$$H = (C \times B_x \times B_y + (P \times (\tan \phi)) \times (1 + k))$$

Abutment dapat menahan geser jika memenuhi syarat

$$SF > 1,5$$

$$SF = \frac{H}{H_x}$$

Tabel 5. 20 Kontrol Stabilitas Geser Arah X

NO	Kombinasi Beban	k	Hx (kg)	P (kg)	H (kg)	SF	Keterangan
1	Kombinasi 1	0%	16801,54	413216,54	254511,13	15,15	OK
2	Kombinasi 2	25%	37801,54	413216,54	318138,92	8,42	OK
3	Kombinasi 3	40%	37801,54	413216,54	356315,59	9,43	OK
4	Kombinasi 4	50%	107518,51	150716,54	172406,11	1,6	OK

Sumber : Hasil Analisa Perhitungan

## 2. Arah Y

Parameter tanah dasar pilecap :

$$\text{Sudut gesek, } \phi = 28^\circ$$

$$\text{Kohesi, } C = 1,45 \text{ t/m}^2$$

Ukuran dasar pilecap:

$$B_x = 4 \text{ m}$$

$$B_y = 6 \text{ m}$$

Gaya penahan geser :

$$H = (C \times B_x \times B_y + (P \times (\tan \phi)) \times (1 + k))$$

Abutment dapat menahan geser jika memenuhi syarat

$$SF > 1,5$$

$$SF = \frac{H}{H_y}$$

Tabel 5. 21 Kontrol Stabilitas Geser Arah Y

NO	Kombinasi Beban	k	Hy (kg)	P (kg)	H (kg)	SF	Keterangan
1	Kombinasi 1	0%	0,00	413216,54	254511,13	#DIV/0!	#DIV/0!
2	Kombinasi 2	25%	0,00	413216,54	318138,92	#DIV/0!	#DIV/0!
3	Kombinasi 3	40%	20025	413216,54	356315,59	17,79	OK
4	Kombinasi 4	50%	90716,98	150716,54	172406,11	1,9	OK

Sumber : Hasil Analisa Perhitungan

### 5.2.12.5 Pancang Abutment

Perhitungan tiang pancang berdasarkan **Mekanika Tanah & Teknik Pondasi – 1980**, Judul asli *Soil Mechanics And Foundation Engineering*.

#### 1. Data Tiang Pancang :

Diameter tiang pancang, Dp	= 0,5 mm
Tebal dinding tiang pancang	= 0,09 mm
Keliling tiang, Up = $\pi \times Dp$	= 1,57 m
Luas total tiang, A = $\frac{1}{4} \times \pi \times Dp^2$	= 0,196 m <sup>2</sup>
Berat jenis beton	= 2400 kg/m <sup>3</sup>
Berat tiang, A x berat jenis beton	= 278,22 kg/m
Momen inersia	= 255324,3 cm <sup>4</sup>
Modulus elastisitas	= 123840
Kuat tekan beton, fc'	= 600 kg/cm <sup>2</sup>
Allowable axial	= 185,3 ton
Bending momen crack	= 10,5 TM
Kelas	= A1

Untuk menghitung kekuatan tiang pancang dibutuhkan data tanah dengan menggunakan SPT. Dari data SPT yang didapat maka dapat ditentukan kedalaman untuk tiang pancang. Data yang digunakan dari tabel SPT yang sudah diolah diambil data dengan kedalaman yang ditentukan ( $N > 50$ ) maka diambil data pada kedalaman 12 meter dengan pengambilan data setiap 1,5 meter, diperoleh data sebagai berikut :

Data kedalaman 12 meter :

Jenis Tanah	= Sand
N rata <sup>2</sup>	= 50
fi	= 10 t/m <sup>2</sup>
fi x li	= 15 t/m
S(fi x li)	= 74,7 t/m
P. friction, Rf	= 117,34 ton
P. bearing, Rt	= 137,44 ton
P. Total, Ru	= 254,78 ton
Pall Comp	
SF = 2	= 127,39 ton
SF = 3	= 84,92 ton
SF = 5	= 50,96 ton

2. Daya dukung aksial pondasi tiang

a. Gaya geser maksimum dinding tiang, Rf

$$\begin{aligned} S(fi \times li) &= 74,7 \text{ t/m} \\ Rf &= Up \times S(fi \times li) \\ &= 1,57 \text{ m} \times 74,7 \text{ t/m} \\ &= 117,34 \text{ ton} \end{aligned}$$

b. Daya dukung pada ujung tiang pancang

$$\begin{aligned} D &= 0,5 \text{ m} \text{ (diameter ujung tiang)} \\ I &= 1,0 \text{ m} \text{ (panjang penetrasi tiang sampai ke lapisan pendukung)} \end{aligned}$$

$$I/D = 2$$

$$N_1 = \text{Nilai N-SPT ujung tiang}$$

$$N_2 = \text{Nilai N-SPT rata-rata } 4D \text{ dari ujung tiang}$$

$$\begin{aligned} N &= \frac{N_1 + N_2}{2} \\ &= \frac{50 + 41}{2} \\ &= 45,625 \end{aligned}$$

$$qd/N = 14$$

$$\begin{aligned} qd &= \frac{qd}{N} \times N \\ &= 14 \times 45,625 \end{aligned}$$

$$= 638,75 \text{ t/m}^2$$

$$\begin{aligned}Rt &= qd \times A \\&= 638,75 \times 0,196 \\&= 125,42 \text{ ton}\end{aligned}$$

- c. Daya dukung ultimit tiang (Ru)

$$\begin{aligned}Ru &= Rf + Rt \\&= 117,34 + 125,42 \\&= 242,76 \text{ ton}\end{aligned}$$

Kontrol,

$$\begin{aligned}Ru &< 2 \times \text{Allowable axial} \\242,76 \text{ ton} &< 370,6 \text{ ton} \quad (\text{OK})\end{aligned}$$

- d. Daya dukung ijin tiang (Ra)

$$\begin{aligned}Ra &= \frac{Ru}{SF} - Wp \\&= \frac{242,76}{3} - 3,34 \\&= 78 \text{ ton/tiang}\end{aligned}$$

Keterangan :

$$\begin{aligned}SF &= 3 \\L (\text{netto}) &= 12 \text{ m} \quad (\text{panjang total tiang}) \\Wt &= 0,278 \text{ ton/m} \quad (\text{berat tiang/m}) \\Wp, Wt \times L &= 3,34 \text{ ton/tiang} \quad (\text{berat per titik tiang})\end{aligned}$$

Daya dukung tiang beban sementara  $Ra_{(s)}$

$$\begin{aligned}Ra_{(s)} &= Ra \times 150\% \\&= 78 \text{ ton} \times 150\% \\&= 117 \text{ ton/tiang}\end{aligned}$$

3. Kapasitas daya dukung horizontal pondasi tiang pancang

- a. Ketentuan

Tiang menonjong diatas tanah dasar (h) = 9 m

Nilai N-SPT -1,5 m dibawah muka tanah dasar diambil nilai N-SPT minimal	= 21
Diameter tiang, diperhitungkan	= 50 cm
Mutu baja, fy	= 370 Mpa
Modulus elastisitas beton kg/cm <sup>2</sup>	= 2100000
Momen inersia tiang	= 255324 cm <sup>4</sup>

- b. Koefisien reaksi tanah dasar (k)

$$k = 0,2 \times E_o \times D^{-0,75} \times y^{-0,5}$$

- c. Modulus elastisitas tanah

$$N = 21$$

$$E_o = 28 \times N = 588$$

- d. Deformasi tiang di dasar pilecap

$$y = 1 \text{ cm}$$

$$k = 6,25 \text{ kg/cm}^3$$

$$b = (kD/(4EI))^{0,25} = 0,0034$$

- e. Virtual fixity point

$$Lm = 1/b \tan^{-1} 1/b \cdot h = 452,04 \text{ cm} = 4,5204 \text{ m}$$

- f. Daya dukung gaya horizontal tiang tegak (Ha)

$$Ha = (k \cdot D \cdot y) / b = 89,99 \text{ ton/tiang}$$

$$SF = 3$$

Jadi, gaya horizontal ijin tiang (Ha) = 30 ton/tiang

- g. Daya dukung momen lentur pada kepala tiang (Ma)

$$Ma = Ha / 2b = 43,17 \text{ ton-m/tiang}$$

4. Kapasitas cabut tiang pancang kelompok

$$Rf = U_p \times S(f_i \times l_i) = 117,34 \text{ ton}$$

$$S(f_i \times l_i) = 74,7 \text{ t/m}$$

$$\begin{aligned}
 Up &= 1,57 \text{ m (keliling tiang)} \\
 SF &= 3 \\
 W_p &= 3,339 \text{ ton/tiang} \\
 R_c, &= R_f/SF + W_p = 43 \text{ ton/tiang} \\
 \text{Jadi, kapasitas cabut ijin tiang (Rc)} &= 43 \text{ ton/tiang}
 \end{aligned}$$

Kapasitas cabut tiang untuk beban sementara  $R_{c(s)}$  :

$$\begin{aligned}
 R_{c(s)} &= R_c \times 150\% \\
 &= 64,5 \text{ ton ton/tiang}
 \end{aligned}$$

#### 5. Daya dukung tiang pancang kelompok

Pondasi tiang pancang direncanakan,  $D = 50 \text{ cm}$

Jarak dari as ke arah antar tiang pancang direncanakan seperti perhitungan dibawah ini :

Untuk jarak antar tiang pancang :

$$3D \leq S \leq 8D$$

Dimana,

$S$  = jarak antar tiang pancang

$S_1$  = jarak tiang pancang ke tepi

Sehingga didapat,

$$3(50 \text{ cm}) \leq S \leq 8(50 \text{ cm})$$

$$150 \text{ cm} \leq S \leq 400 \text{ cm}$$

Untuk jarak pancang ke tepi

$$1D \leq S_1 \leq 1,5D$$

$$1(50 \text{ cm}) \leq S_1 \leq 1,5(50 \text{ cm})$$

$$50 \text{ cm} \leq S_1 \leq 75 \text{ cm}$$

Maka, dipakai  $S = 150 \text{ cm}$  arah Y dan  $250 \text{ cm}$  arah X

$$S_1 = 75 \text{ cm}$$

**6. Efisiensi tiang pancang**

$$\eta = 1 - \left( \frac{\arctan(\frac{D}{S})}{90^\circ} \right) \left( 2 - \frac{1}{m} - \frac{1}{n} \right)$$

Dimana,

S = jarak tiang pancang

D = diameter tiang pancang

m = jumlah tiang pancang dalam 1 baris = 4

n = jumlah baris tiang pancang = 2

Maka,

$$\begin{aligned}\eta &= 1 - \left( \frac{\arctan\left(\frac{50 \text{ cm}}{150 \text{ cm}}\right)}{90^\circ} \right) \left( 2 - \frac{1}{4} - \frac{1}{2} \right) \\ &= 0,996\end{aligned}$$

Jadi untuk daya dukung tiang pancang kelompok adalah :

$$\begin{aligned}Q_{L(\text{group})} &= Q_{L(1 \text{ Tiang})} \times n \times \eta \\ &= 78 \times 8 \times 0,996 \\ &= 621,12 \text{ ton}\end{aligned}$$

Perhitungan beban aksial maksimum pada pondasi kelompok  
Reaksi kombinasi (P) = 413216,5 kg = 413,2165 ton

Kontrol,

$$\begin{aligned}Q_{L(\text{group})} &> P \\ 621,12 \text{ ton} &> 413,2165 \text{ ton} \quad (\text{OK})\end{aligned}$$

Tabel 5. 22 Rekapitulasi Kombinasi Pembebanan Tegangan Kerja

NO	Kombinasi beban	P	Hx	Hy	Mx	My
1	KOMBINASI 1 (MS + TA + TD)	413216,54	16801,54	0,00	13877,70	0,00
2	KOMBINASI 2 (MS + TA + TD + TB)	413216,54	37801,54	0,00	61127,70	0,00
3	KOMBINASI 3 (MS + TA + TD + TB + EW)	413216,54	37801,54	20025	61127,70	95118,75
4	KOMBINASI 4 (MS + TA + EQ)	150716,54	107518,51	90716,98	55533,46	181433,95

Sumber : Hasil Analisa Perhitungan

#### 7. Repetisi beban-beban diatas tiang kelompok

Bila daiatas tiang-tiang dalam kelompok yang disatukan oleh sebuah kepala tiang (poer) bekerja beban-beban vertikal (V), horizontal (H), dan momen (M), maka besarnya beban vertikal ekivalen (Pv) yang bekerja pada sebuah tiang adalah:

$$P_{max} = \frac{V}{n} + \frac{M_y \cdot X_{max}}{\Sigma X^2} + \frac{M_x \cdot Y_{max}}{\Sigma Y^2}$$

Dimana,

V = beban vertikal dari kolom

n = banyak tiang dalam 1 group

Mx = Momen terhadap sumbu X

My = Momen terhadap sumbu Y

Xmax = absis terjauh terhadap titik berat kelompok tiang

Ymax = koordinat terjauh terhadap titik berat kelompok tiang

$\Sigma X$  = jumlah dari kuadrat absis tiap tiang terhadap garis netral group

$\Sigma Y$  = jumlah dari kuadrat koordinat tiap tiang terhadap garis netral group

n = 15 (jumlah tiang pancang yang dipakai)

Tabel 5. 23 Repetisi Beban Diatas Tiang Pancang Kelompok Aabutment

Titik	x	y	x2	y2	KOMBINASI	KOMBINASI	KOMBINASI	KOMBINASI
					1	2	3	4
					$V/n+Mx.y/\Sigma y^2$	$V/n+Mx.y/\Sigma y^2$	$V/n+Mx.y/\Sigma y^2$	$V/n+Mx.y/\Sigma y^2$
1	-1,25	2,25	1,5625	5,0625	53039,84	57764,84	48252,96	6249,52
2	1,25	2,25	1,5625	5,0625	53039,84	57764,84	67276,71	42536,31
3	-1,25	0,75	1,5625	0,5625	52114,66	53689,66	44177,78	2547,29
4	1,25	0,75	1,5625	0,5625	52114,66	53689,66	63201,53	38834,08
5	-1,25	-0,75	1,5625	0,5625	51189,48	49614,48	40102,60	-1154,94
6	1,25	-0,75	1,5625	0,5625	51189,48	49614,48	59126,35	35131,85
7	-1,25	-2,25	1,5625	5,0625	50264,30	45539,30	36027,42	-4857,17
8	1,25	-2,25	1,5625	5,0625	50264,30	45539,30	55051,17	31429,62
$\Sigma$ TOTAL				12,5	22,5			
Pmax	67,28	Ton						
Pmin	-5,50	Ton						

Sumber : Hasil Analisa Perhitungan

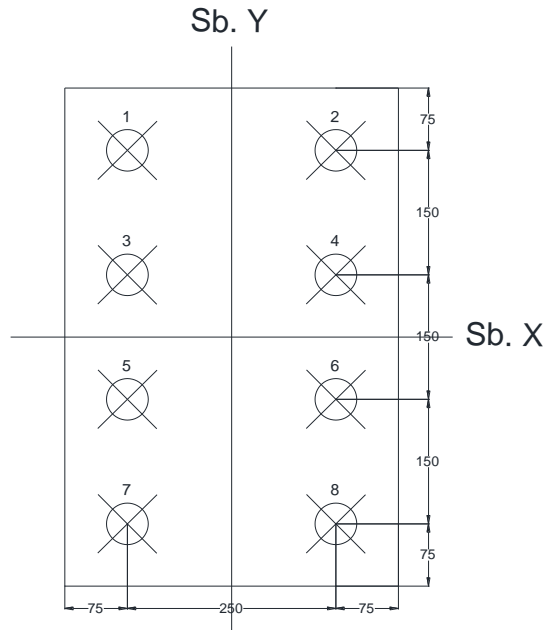
### Kontrol Beban Maksimum 1 Tiang (Pmax)

Beban maksimum yang bekerja pada satu tiang dalam tiang kelompok dihitung berdasarkan gaya aksial dan momen yang bekerja pada tiang.

Momen pada tiang dapat menyebabkan gaya tekan atau tarik pada tiang, namun yang diperhitungkan hanya gaya tekan karena gaya tarik dianggap lebih kecil dari beban gravitasi struktur, sehingga berlaku persamaan:

$$P_{max} < \text{Qijin 1 tiang}$$

$$67,28 \text{ ton} < 78 \text{ ton} \quad (\text{OK})$$



Gambar 5. 10 Denah Rencana Konfigurasi Tiang Pancang Abutment

### 5.2.12.6 Penulangan Abutment

#### 1. Perhitungan beban ultimit untuk penulangan abutment

Tabel 5. 24 Beban Layan Pilecap Abutment

NO	Aksi/beban	Kode	Vertikal	Horizontal		Momen	
			Vz(kg)	Hx(kg)	Hy(kg)	Mx(kgm)	My (kgm)
<b>Aksi Tetap</b>							
1	Berat sendiri	MS	150716,54				
2	Tekanan Tanah	TA		16801,54		13877,70	
<b>Beban Lalu-lintas</b>							
3	Beban lajur "D"	TD	262500				
4	Gaya rem TB	TB		21000		47250	
<b>Aksi Lingkungan</b>							
5	Beban angin EW	EW			20025		95118,75
6	Beban gempa EQ	EQ		90716,98	90716,98	41655,75	181433,95
<b>Ttotal</b>			<b>413216,54</b>	<b>128518,5</b>	<b>1170742</b>	<b>102783,5</b>	<b>276552,70</b>

Sumber : Hasil Analisa Perhitungan

Tabel 5. 25 Beban Ultimate Pilecap Abutment

NO	Aksi/beban	Kode	Faktor Beban	Vertikal	Horizontal		Momen	
				Vz(kg)	Hx(kg)	Hy(kg)	Mx(kgm)	My (kgm)
<b>Aksi Tetap</b>								
1	Berat sendiri	MS	1,3	195931,5				
2	Tekanan Tanah	TA	1		16801,54		13877,70	
<b>Beban Lalu-lintas</b>								
3	Beban lajur "D"	TD	1,8	472500				
4	Gaya rem TB	TB	1,8		37800		85050	
<b>Aksi Lingkungan</b>								
5	Beban angin EW	EW	1,2			24030		114142,5
6	Beban gempa EQ	EQ	1		90716,98	90716,98	41655,75	181433,95
<b>Ttotal</b>				<b>668431,5</b>	<b>145318,5</b>	<b>114747</b>	<b>140583,46</b>	<b>295576,5</b>

Sumber : Hasil Analisa Perhitungan

Tabel 5. 26 Rekapitulasi Kombinasi Beban Ultimate Pilecap

NO	Kombinasi beban	P	Hx	Hy	Mx	My
1	KOMBINASI 1 (MS + TA + TD)	668431,5	16801,54	0	13877,70	0
2	KOMBINASI 2 (MS + TA + TD + TB)	668431,5	54601,54	0	98927,70	0
3	KOMBINASI 3 (MS + TA + TD + TB + EW)	668431,5	54601,54	24030	98927,70	114142,5
4	KOMBINASI 4 (MS + TA + EQ)	195931,5	107518,5	90716,98	55533,46	181434

Sumber : Hasil Analisa Perhitungan

Tabel 5. 27 Repetisi Beban Ultimate Diatas Tiang Pancang Kelompok Abutment

Titik	x	y	x2	y2	KOMBINASI	KOMBINASI	KOMBINASI	KOMBINASI
					1	2	3	4
					V/n+Mx.y/Σy <sup>2</sup>	V/n+Mx.y/Σy <sup>2</sup>	V/n+Mx.y/Σy <sup>2</sup>	V/n+Mx.y/Σy <sup>2</sup>
1	-1,25	2,25	1,5625	5,0625	84941,71	93446,71	82032,46	11901,39
2	1,25	2,25	1,5625	5,0625	84941,71	93446,71	104860,96	48188,18
3	-1,25	0,75	1,5625	0,5625	84016,53	86851,53	75437,28	8199,16
4	1,25	0,75	1,5625	0,5625	84016,53	86851,53	98265,78	44485,95
5	-1,25	-0,75	1,5625	0,5625	83091,35	80256,35	68842,10	4496,93
6	1,25	-0,75	1,5625	0,5625	83091,35	80256,35	91670,60	40783,72
7	-1,25	-2,25	1,5625	5,0625	82166,17	73661,17	62246,92	794,70
8	1,25	-2,25	1,5625	5,0625	82166,17	73661,17	85075,42	37081,49
<b>ΣTOTAL</b>			12,5	22,5				
Pmax	104,86	Ton						
Pmin	82,17	Ton						

Sumber : Hasil Analisa Perhitungan

## 2. Perhitungan penulangan pilecap abutment

Data perencanaan :

Diameter tulangan, dt	= 16 mm
Lebar yang ditinjau arah X, b	= 2500 mm
Lebar yang ditinjau arah Y, b	= 1500 mm
Tinggi pilecap, h	= 1250 mm
Decking, d'	= 100 mm

Tebat efektif arah X, dx	= 1142 mm
Tebat efektif arah Y, dy	= 1126 mm
Kuat tekan beton, fc'	= 30 Mpa
Mutu baja D > 12mm, fy	= 390 Mpa
Mutu baja D < 12mm, fy	= 240 Mpa
Berat volume beton bertulang, Wc	= 2500 Kg/cm <sup>3</sup>
Faktor beban ultimate berat sendiri, KuMS	= 1,3
Faktor reduksi kekuatan lentur	= 0,8
Faktor reduksi kekuatan geser dan torsi	= 0,7

- Tulangan Lentur Arah X

$$\begin{aligned} qu &= p \times l \times h \times Wc \times KuMs \\ &= 2,5 \times 1,5 \times 1,25 \times 2500 \times 1,3 \\ &= 15234,38 \text{ kg} \end{aligned}$$

Reaksi ultimate tiang

$$Pu \text{ tiang} = 104861 \text{ kg}$$

Momen yang terjadi pada poer adalah :

$$\begin{aligned} Mu &= Mp - Mq \\ &= Pu \text{ tiang} \times L - qu \times \frac{1}{2} \times b1 \\ &= 104861 \times 0,75 - 15234,38 \times \frac{1}{2} \times 2,5 \\ &= 59602,75 \text{ kgm}/2,5 \text{ m} \\ &= 23841,1 \text{ kgm/m} \end{aligned}$$

### Tulangan Lentur

$$\begin{aligned} m &= \frac{fy}{0,85 \times fc'} \\ &= \frac{390}{0,85 \times 30} = 15,294 \end{aligned}$$

$$Mu = 23841,1 \text{ kgm} = 233801323,9 \text{ Nmm}$$

$$\begin{aligned}Mn &= \frac{Mu}{0,8} \\&= \frac{233801323,9}{0,8} \\&= 292251654,9 \text{ Nmm}\end{aligned}$$

$$\begin{aligned}Rn &= \frac{Mn}{b \times d^2} \\&= \frac{292251654,9}{1000 \times 1142^2} \\&= 0,2241 \text{ N/mm}^2\end{aligned}$$

$$\begin{aligned}\rho_{balance} &= \frac{0,85 \times \beta_1 \times f_{c'}}{f_y} \times \left( \frac{600}{600+f_y} \right) \\&= \frac{0,85 \times 0,85 \times 30}{390} \times \left( \frac{600}{600+390} \right) \\&= 0,03368\end{aligned}$$

$$\begin{aligned}\rho \text{ maks} &= 0,75 \rho_{balance} \\&= 0,75 \times 0,03368 \\&= 0,0253\end{aligned}$$

$$\begin{aligned}\rho \text{ perlu} &= \frac{1}{m} \left( 1 - \sqrt{1 - \frac{2 \times m \times Rn}{f_y}} \right) \\&= \frac{1}{15,294} \left( 1 - \sqrt{1 - \frac{2 \times 15,294 \times 0,2241}{390}} \right) \\&= 0,00058\end{aligned}$$

Untuk  $\rho$  min digunakan 2 rumus :

$$\begin{aligned}\rho \text{ min} &= \frac{1,4}{f_y} \\&= \frac{1,4}{390} \\&= 0,00359\end{aligned}$$

$$\begin{aligned}\rho \text{ min} &= 1,333 \times \rho \text{ perlu} \\&= 1,333 \times 0,00058\end{aligned}$$

$$= 0,000769$$

$$\rho_{\text{perlu}} = 0,00058 < \rho_{\text{min}} = 0,00359$$

Jadi dipakai  $\rho_{\text{pakai}} = 0,000769$

$$\begin{aligned} As_{\text{perlu}} &= \rho_{\text{perlu}} \times b \times d \\ &= 0,000769 \times 1000 \times 1142 \\ &= 878,57 \text{ mm}^2 \end{aligned}$$

Syarat spasi antar tulangan  $>>> s_{\text{maks}} \leq 2h$

$$\begin{aligned} s_{\text{maks}} &= 2h \\ &= 2 \times 1250 \\ &= 2500 \text{ mm} \end{aligned}$$

$$\begin{aligned} s &= \frac{\frac{1}{4} \pi \times dt^2 \times b}{As_{\text{perlu}}} \\ &= \frac{\frac{1}{4} \pi \times (16 \text{ mm})^2 \times 1000 \text{ mm}}{878,57 \text{ mm}^2} \\ &= 228,735 \text{ mm} < 2500 \text{ mm} \quad (\text{OK}) \end{aligned}$$

Maka direncanakan menggunakan tulangan  $s = 225 \text{ mm}$

$$\begin{aligned} As_{\text{pakai}} &= \frac{\frac{1}{4} \pi \times dt^2 \times b}{s_{\text{pakai}}} \\ &= \frac{\frac{1}{4} \pi \times (16 \text{ mm})^2 \times 1000 \text{ mm}}{225 \text{ mm}} = 893,16 \text{ mm}^2 \end{aligned}$$

Kontrol

$$\begin{aligned} As_{\text{pakai}} &> As_{\text{perlu}} \\ 893,16 \text{ mm}^2 &> 878,57 \text{ mm}^2 \quad (\text{OK}) \end{aligned}$$

Jadi dipakai tulangan D16 – 225

- Tulangan Lentur Arah Y

$$\begin{aligned}
 qu &= p \times l \times h \times W_c \times K_u M_s \\
 &= 1,5 \times 2,5 \times 1,25 \times 2500 \times 1,3 \\
 &= 15234,375 \text{ kg}
 \end{aligned}$$

Reaksi ultimate tiang

$$\begin{aligned}
 P_u \text{ tiang} &= 2 \times 104861 \text{ kg} \\
 &= 209722 \text{ kg}
 \end{aligned}$$

Momen yang terjadi pada poer adalah :

$$\begin{aligned}
 Mu &= M_p - M_q \\
 &= P_u \text{ tiang} \times L - qu \times \frac{1}{2} \times b_1 \\
 &= 209722 \times 0,75 - 15234,375 \times \frac{1}{2} \times 1,5 \\
 &= 145865,66 \text{ kgm}/1,5\text{m} \\
 &= 97243,77 \text{ kgm/m}
 \end{aligned}$$

### Tulangan Lentur

$$\begin{aligned}
 m &= \frac{f_y}{0,85 \times f_{c1}} \\
 &= \frac{390}{0,85 \times 30} = 15,294
 \end{aligned}$$

$$Mu = 97243,77 \text{ kgm} = 953635627,2 \text{ Nmm}$$

$$\begin{aligned}
 Mn &= \frac{Mu}{0,8} \\
 &= \frac{953635627,2}{0,8} \\
 &= 1192044534 \text{ Nmm}
 \end{aligned}$$

$$\begin{aligned}
 Rn &= \frac{Mn}{b \times d^2} \\
 &= \frac{1192044534}{1000 \times 1126^2} \\
 &= 0,94 \text{ N/mm}^2
 \end{aligned}$$

$$\begin{aligned}\rho_{\text{balance}} &= \frac{0,85 \times \beta_1 \times f_{c'}}{f_y} \times \left( \frac{600}{600+f_y} \right) \\ &= \frac{0,85 \times 0,85 \times 30}{390} \times \left( \frac{600}{600+390} \right) \\ &= 0,03368\end{aligned}$$

$$\begin{aligned}\rho_{\text{maks}} &= 0,75 \rho_{\text{balance}} \\ &= 0,75 \times 0,03368 \\ &= 0,0253\end{aligned}$$

$$\begin{aligned}\rho_{\text{perlu}} &= \frac{1}{m} \left( 1 - \sqrt{1 - \frac{2 \times m \times Rn}{f_y}} \right) \\ &= \frac{1}{15,294} \left( 1 - \sqrt{1 - \frac{2 \times 15,294 \times 0,94}{390}} \right) \\ &= 0,00246\end{aligned}$$

Untuk  $\rho_{\text{min}}$  digunakan 2 rumus :

$$\begin{aligned}\rho_{\text{min}} &= \frac{1,4}{f_y} \\ &= \frac{1,4}{390} \\ &= 0,00359\end{aligned}$$

$$\begin{aligned}\rho_{\text{min}} &= 1,333 \times \rho_{\text{perlu}} \\ &= 1,333 \times 0,00246 \\ &= 0,00328\end{aligned}$$

$$\begin{aligned}\rho_{\text{perlu}} &= 0,00219 < \rho_{\text{min}} = 0,00359 \\ \text{Jadi dipakai } \rho_{\text{pakai}} &= 0,00292\end{aligned}$$

$$\begin{aligned}A_s \text{ perlu} &= \rho_{\text{perlu}} \times b \times d \\ &= 0,00292 \times 1000 \times 1126 \\ &= 3687,71 \text{ mm}^2\end{aligned}$$

Syarat spasi antar tulangan >>>  $s_{maks} \leq 2h$

$$\begin{aligned}s_{maks} &= 2h \\ &= 2 \times 1250 \\ &= 2500 \text{ mm}\end{aligned}$$

$$\begin{aligned}s &= \frac{\frac{1}{4} \times \pi \times dt^2 \times b}{As \text{ perlu}} \\ &= \frac{\frac{1}{4} \times \pi \times (22 \text{ mm})^2 \times 1000 \text{ mm}}{3687,71 \text{ mm}^2} \\ &= 103,029 \text{ mm} < 2500 \text{ mm} \quad (\text{OK})\end{aligned}$$

Maka direncanakan menggunakan tulangan  $s = 100 \text{ mm}$

$$\begin{aligned}As_{pakai} &= \frac{\frac{1}{4} \times \pi \times dt^2 \times b}{s \text{ pakai}} \\ &= \frac{\frac{1}{4} \times \pi \times (22 \text{ mm})^2 \times 1000 \text{ mm}}{100 \text{ mm}} \\ &= 3799,4 \text{ mm}^2\end{aligned}$$

Kontrol

$$\begin{aligned}As \text{ pakai} &> As \text{ perlu} \\ 3799,4 \text{ mm}^2 &> 3687,71 \text{ mm}^2 \quad (\text{OK})\end{aligned}$$

Jadi dipakai tulangan D22 - 100

### 3. Perhitungan penulangan long stopper abutment

- Data

$$\text{Panjang} = 2 \text{ m}$$

$$\text{Tinggi} = 1 \text{ m}$$

$$\text{Lebar} = 6 \text{ m}$$

- Tekanan tanah aktif

$$\text{Sudut gesek tanah, } \phi = 36,5^\circ$$

$$\text{Berat tanah, } W_s = 1,654 \text{ t/m}^3$$

$$\text{Faktor reduksi, } K_{\phi}^R = 0,8$$

Dari data diatas dapat dihitung

$$\begin{aligned}\phi' &= \tan^{-1}(K_{\phi}^R \times \tan \phi) \\ &= \tan^{-1}(0,8 \times \tan 36,5^\circ) = 1,487 \\ K_a &= \tan^2(45^\circ - \phi'/2) \\ &= \tan^2(45^\circ - 1,487/2) \\ &= 0,949\end{aligned}$$

$$0,6 \times W_s = 0,9924 \text{ t/m}^2$$

$$By = 6 \text{ m}$$

$$H = 1 \text{ m}$$

Tabel 5. 28 Momen Akibat Tekanan Tanah Pada Stopper Abutment

NO	TEKANAN TANAH	TTA(ton)	Lengan thd O	y (m)	My (tm)
1	$TTA1 = (0,6*ws) * H * Ka * By$	5,65	$y = H/2$	0,5	2,827
2	$TTA1 = 1/2 * H^2 * W_s * Ka * By$	4,71	$y = H/3$	0,33	1,57
		13,819			4,397

Sumber : Hasil Analisa Perhitungan

- Beban Gempa

$$C_{SM} = 0,7$$

$W_T$  = Berat sendiri stopper + berat akibat tekanan tanah

$$= 28,8 \text{ ton} + 10,364 \text{ ton}$$

$$= 39,16$$

$$T_{EQ} = \frac{C_{SM}}{R} \times W_T$$

$$= \frac{0,7}{1,5} \times 39,16 \text{ ton}$$

$$= 18,28 \text{ ton}$$

Tabel 5. 29 Momen Akibat Gempa Pada Stopper Abutment

NO	JENIS BEBAN	BEBAN (ton)	LENGAN		My (tm)
			y	m	
1	TEQ	18,28	y= H/2	0,5	3,05
		18,28			3,05

Sumber : Hasil Analisa Perhitungan

- Tekanan dinamis pada long stopper

$$\text{Berat volume tanah timbunan, } W_s = 1,654 \text{ t/m}^3$$

$$\text{Sudut gesek tanah timbunan, } \phi = 36,5^\circ$$

$$\text{Tinggi tanah timbunan, } H = 1 \text{ m}$$

$$\text{Panjang, } L = 6 \text{ m}$$

$$\text{Urugan diatas abutment} = 0,6 \text{ m}$$

$$\begin{aligned} 0,6 \times W_s &= 0,6 \text{ m} \times 1,654 \text{ t/m}^3 \\ &= 0,992 \text{ t/m}^2 \end{aligned}$$

Koefisien tanah aktif saat gempa ( $K_aE$ )

$$K_aE = \frac{\cos^2(\phi' - \theta - \bar{\beta})}{\cos^2 \theta \cos \bar{\beta} \cos(\delta' + \theta + \bar{\beta}) \left[ 1 + \sqrt{\frac{\sin(\delta' + \phi') \sin(\phi' - \alpha - \bar{\beta})}{\cos(\delta' + \theta + \bar{\beta}) \cos(\theta - \alpha)}} \right]^2}$$

Dimana :

$$\text{Sudut geser dalam, } \phi' = 36,5^\circ$$

$$\text{Sudut kemiringan thd. Vertikal, } \theta = 0^\circ$$

$$\text{Sudut kemiringan tanah timbunan, } \alpha = 0^\circ$$

$$\text{Sudut geser antara tanah dengan dinding, } \delta' = 0^\circ$$

$$k_h = \text{koefisien percwpatan horizontal gempa}$$

$$= C \times I$$

$$= 0,15 \times 1,2$$

$$= 0,18$$

$k_v$  = koefisien percepatan vertikal gempa

$$= 2/3 k_h$$

$$= 0,12$$

$$\begin{aligned}\bar{\beta} &= \tan^{-1}\left(\frac{k_h}{1-k_v}\right) \\ &= \tan^{-1}\left(\frac{0,18}{1-0,12}\right) \\ &= 0,00357\end{aligned}$$

Maka nilai koefisien tanah aktif saat gempa ( $K_a E$ )

$$\begin{aligned}K_a E &= \frac{\cos^2(\phi' - \theta - \bar{\beta})}{\cos^2 \theta \cos \bar{\beta} \cos(\delta' + \theta + \bar{\beta}) \left[ 1 + \sqrt{\frac{\sin(\delta' + \phi') \sin(\phi' - \alpha - \bar{\beta})}{\cos(\delta' + \theta + \bar{\beta}) \cos(\theta - \alpha)}} \right]^2} \\ &= 0,254\end{aligned}$$

$$\begin{aligned}E_{AE} &= \frac{1}{2} \times \gamma_{tanah} \times H t^2 \times (1 - K_v) \times K_a E \times L \\ &= \frac{1}{2} \times 1,654 \times (1^2) \times (1 - 0,12) \times 0,254 \times 6 \\ &= 1,109 \text{ ton}\end{aligned}$$

Tabel 5. 30 Beban Akibat Tekanan Tanah

NO	JENIS BEBAN	BEBAN (ton)	LENGAN		My (tm)
			y	m	
1	$E_{AE}$	1,109	1/3*H	0,33	0,123
		1,690			0,123

Sumber : Hasil Analisa Perhitungan

- Kombinasi

Tabel 5. 31 Kombinasi Momen Ultimate Long Stopper

NO	Jenis Bahan	Fakto Beban	My (tonnm)	Muy (tonnm)
1	Tekanan tanah aktif	1,25	4,397	5,496
2	Beban Gempa (TEQ)	1	3,046	3,046
3	Tekanan Tanah Dinmais	1,25	0,123	0,154
			8,696	

Sumber : Hasil Analisa Perhitungan

- Perhitungan rencana tulangan
- Data perencanaan :
- Momen rencana, Mu = 8,696 tm
- Mutu beton, fc' = 30 Mpa
- Mutu baja, fy = 390 Mpa
- Tebal plat injak, h = 1000 mm
- Tebal selimut beton, d = 100 mm
- Tebal efektif lantai,d' = 900 mm
- Lebar lantai, b = 2000 mm
- Diameter tulangan, dt = 22 mm
- Faktor reduksi = 0,8

Tulangan lentur

$$\begin{aligned}
 m &= \frac{fy}{0,85 \times fc'} \\
 &= \frac{390}{0,85 \times 30} = 15,294
 \end{aligned}$$

$$Mu = 8696 \text{ kgm} = 85281103,26 \text{ Nmm}$$

$$Mn = \frac{Mu}{0,8}$$

$$= \frac{85281103,26}{0,8} \\ = 106601379,1 \text{ Nmm}$$

$$Rn = \frac{Mn}{b \times d^2} \\ = \frac{106601379,1}{2000 \times 900^2} \\ = 0,0658 \text{ N/mm}^2$$

$$\rho_{balance} = \frac{0,85 \times \beta_1 \times fc'}{fy} \times \left( \frac{600}{600+fy} \right) \\ = \frac{0,85 \times 0,85 \times 30}{390} \times \left( \frac{600}{600+390} \right) \\ = 0,0337$$

$$\rho \text{ maks} = 0,75 \rho_{balance} \\ = 0,75 \times 0,0337 \\ = 0,0253$$

$$\rho \text{ perlu} = \frac{1}{m} \left( 1 - \sqrt{1 - \frac{2 \times m \times Rn}{fy}} \right) \\ = \frac{1}{15,294} \left( 1 - \sqrt{1 - \frac{2 \times 15,294 \times 0,0658}{390}} \right) \\ = 0,00023$$

$$\rho \text{ min} = \frac{1,4}{fy} \\ = \frac{1,4}{390} \\ = 0,00359$$

$$\rho \text{ perlu} = 0,00017 < \rho \text{ min} = 0,00359 \\ \text{Jadi dipakai } \rho \text{ pakai} = 0,00359$$

Lebar yang ditinjau untuk As per 1 m

$$\begin{aligned} As \text{ perlu} &= \rho \text{ pakai} \times b \times d \\ &= 0,00359 \times 1000 \times 900 \\ &= 3230,769 \text{ mm}^2 \end{aligned}$$

$$\begin{aligned} s &= \frac{\frac{1}{4} \pi \times dt^2 \times b}{As \text{ perlu}} \\ &= \frac{\frac{1}{4} \pi \times (22 \text{ mm})^2 \times 1000 \text{ mm}}{3230,769 \text{ mm}^2} \\ &= 117,6 \text{ mm} \end{aligned}$$

Digunakan tulangan D22 – 100 mm (As = 3801,327 mm<sup>2</sup>)

Tulangan Bagi

$$\begin{aligned} As' &= 0,2 \times As \\ &= 0,2 \times 3230,769 \\ &= 646,154 \text{ mm}^2 \end{aligned}$$

Diameter tulangan bagi = 16 mm

$$\begin{aligned} s &= \frac{\frac{1}{4} \pi \times dt^2 \times b}{As \text{ perlu}} \\ &= \frac{\frac{1}{4} \pi \times (16 \text{ mm})^2 \times 1000 \text{ mm}}{646,154 \text{ mm}^2} \\ &= 311,01 \text{ mm} \end{aligned}$$

Digunakan tulangan D16 – 300 mm (As = 670,2064 cm<sup>2</sup>)

## **BAB VI**

### **METODE PELAKSANAAN**

#### **6.1 Penjelasan Umum**

Pelaksanaan pekerjaan dilapangan dilakukan sepenuhnya oleh kontraktor pelaksana yang telah ditunjuk dan diawasi langsung konsultan pengawas dan Kementerian Perhubungan. Pelaksanaan pekerjaan dilakukan berdasarkan atas gambar-gambar kerja dan spesifikasi teknik umum dan khusus yang telah tercantum dalam dokumen kontrak, rencana kerja & syarat-syarat (RKS) dan mengikuti perintah atau petunjuk dari konsultan.

#### **6.2 Mobilisasi dan Demobilisasi**

Kegiatan mobilisasi adalah pengadaan alat kerja, termasuk alat berat. Pekerjaan ini dimulai dari transportasi dari tempat dimana alat kerja tersebut disimpan sampai ke lokasi pekerjaan dan instalasi alat sehingga siap untuk digunakan.

Sedangkan demobilisasi adalah pekerjaan kebalikannya sampai kembali pada tempat dimana semula alat tersebut disimpan. Alat kerja tersebut dapat merupakan alat kerja yang disewa atau yang dimiliki sendiri. Selain alat kerja, yang termasuk dalam kegiatan mobilisasi dan demobilisasi adalah pengadaan tenaga kerja, mulai dari buruh kasar, mandor, sampai manajer pelaksana.

#### **6.3 Pekerjaan Persiapan**

Pekerjaan persiapan dilaksanakan sebelum pekerjaan fisik dimulai. Adapun pekerjaan-pekerjaan yang dilaksanakan dalam pekerjaan persiapan tersebut, yaitu :

a. Pemeriksaan Patok

Salah satu pekerjaan persiapan yang penting adalah pemeriksaan patok. Umumnya pekerjaan pemotongan telah dilaksanakan sebelum kontrak pekerjaan dibuat karena termasuk dalam bagian kegiatan perancangan jalan. Patok-patok ini diperlukan sebagai acuan garis jalan dan

kemiringan sesuai dengan gambar rencana. Jika patok-patok tersebut tidak ada, maka dengan mengacu pada gambar rencana disusun kembali patok-patok yang diperlukan.

b. Pengadan direksi keet

Untuk pengadaan direksi keet ini pihak kontraktor pelaksana membuatnya disekitar lokasi proyek. Direksi keet ini berfungsi untuk tempat beristirahat para pekerja dan penyimpanan material serta peralatan pekerjaan.

c. Penyiapan badan jalan

Pekerjaan ini meliputi pembersihan lokasi, penutupan jalan dan lainnya. Sehingga pelaksanaan proyek ini berjalan dengan lancar.

#### **6.4 Pekerjaan Tanah Dasar**

Tanah dasar harus memenuhi persyaratan berikut:

1. Tanah dasar harus mampu memikul lapis dasar (*subgrade*) dan bebas dari masalah penurunan (*settlement*). Jika terdapat lapisan tanah lunak berbutir halus alluvial dengan nilai N-SPT  $\leq 4$ , maka harus tidak boleh termasuk dalam lapisan 3 m diukur dari permukaan formasi jalan pada kondisi apapun. Permukaan tanah dasar harus mempunyai kemiringan ke arah luar badan jalan sebesar 5%.
2. Daya dukung tanah dasar yang ditentukan dengan metoda tertentu, seperti ASTM D 1196 (Uji beban plat dengan menggunakan plat dukung berdiameter 30 cm) harus tidak boleh kurang dari 70 MN/m<sup>2</sup> pada permukaan tanah pondasi daerah galian. Apabila nilai K<sub>30</sub> kurang dari 70 MN/m<sup>2</sup>, maka tanah pondasi harus diperbaiki dengan metode yang sesuai.

Tanah dasar yang dibentuk dari timbunan harus memenuhi persyaratan berikut:

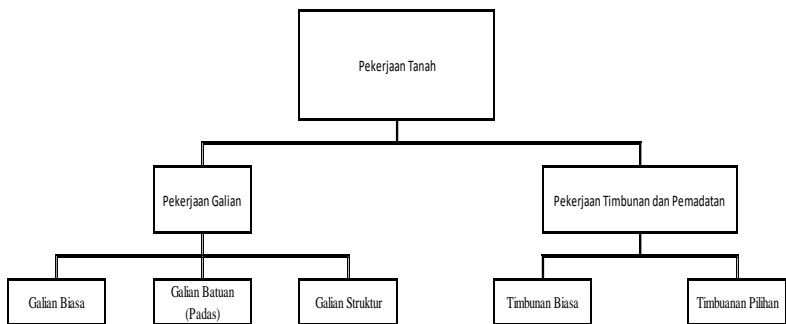
1. Tanah yang digunakan tidak boleh mengandung material bahan-bahan organik, gambut dan tanah mengembang;
2. Kepadatan tanah timbunan harus tidak boleh kurang dari 95% kepadatan kering maksimum dan memberikan sekurang-kurangnya nilai CBR 6% pada uji dalam kondisi terendam (*soaked*).

Persiapan tanah dasar mencakup pekerjaan-pekerjaan :

1. Pembersihan (*Clearing and Grubbing*)
2. Pengelupasan Lapisan Tanah Atas (*Top Soil Stripping*)
3. Pembokaran Bangunan (*Demolition*)
4. Penggalian (*Excavation*)
5. Penimbunan (*Embankment/Fill*)

*Clearing and Grubbing* mencakup pembersihan segala macam tumbuh-tumbuhan, pohon-pohon, semak-semak, tanaman lain, sampah-sampah, dan material-material lain yang mengganggu dan termasuk pencabutan akar-akar, sisa kontruksi dan sisa-sisa material dari pekerjaan *Domolition*. *Top soil stripping* mencakup pembuangan tanah humus atau tanah subur yang digunakan untuk bercocok tanam.

Peralatan yang umum digunakan untuk pekerjaan *clearing and grubbing*, *stripping*, dan *demolition* adalah Bulldozer dengan dibantu oleh Chainsaw untuk menebang pohon-pohon besar. Dump truck sebagai pengangkut dan Loader untuk memuatkan material ke truk.



Gambar 6. 1 Struktur Pekerjaan Tanah

#### 6.4.1 Pekerjaan Galian

Pekerjaan galian adalah pekerjaan pemotongan tanah dengan tujuan untuk memperoleh bentuk serta elevasi permukaan sesuai dengan gambar yang telah direncanakan. Adapun prosedur pekerjaan dari pekerjaan galian, yaitu :

- Lokasi yang akan dipotong (cutting) haruslah terlebih dahulu dilakukan pekerjaan clearing dan grubbing yang bertujuan untuk membersihkan lokasi dari akar-akar pohon dan batu-batuan dengan menggunakan ekskavator. Setelah lahan dibersihkan kemudian dilakukan pekerjaan perataan tanah dengan menggunakan alat buldozer.



Gambar 6. 2 Perataan Tanah Dengan Buldozer

- b. Untuk mengetahui elevasi jalan rencana, surveyor harus melakukan pengukuran dengan menggunakan alat ukur (theodolit). Apabila elevasi tanah tidak sesuai maka tanah dipotong kembali dengan menggunakan alat berat (motor grader), sampai elevasi yang diinginkan.



Gambar 6. 3 Motor Grader

- c. Memadatkan tanah yang telah digali dengan menggunakan Tandem Roller.



Gambar 6. 4 Pemadatan Dengan Tandem Roller

- d. Melakukan pengujian kepadatan tanah dengan tes kepadatan (Uji Density Sand Cone test) di lapangan.



Gambar 6. 5 Tes Uji Sandcone Lapangan

**Pekerjaan galian dapat diklasifikasikan menjadi beberapa bagian :**

1. Galian Biasa (Common Excavation)

Dalam pekerjaan ini dilakukan penggalian untuk menghilangkan atau membuang material yang tidak dapat dipakai sebagai struktur jalan, yang dilakukan menggunakan excavator untuk memotong bagian ruas jalan sesuai dengan gambar rencana, sedangkan pengangkutan dilakukan dengan menggunakan dump truck.

2. Galian Batuan / Padas

Pekerjaan galian batu (padas) mencakup galian bongkahan batu dengan volume 1 meter kubik atau lebih. Pada pekerjaan galian batu ini biasa dilakukan dengan menggunakan alat bertekanan udara (pemboran) dan peledakan.

3. Galian Struktur

Pada pekerjaan galian struktur ini mencakup galian pada segala jenis tanah dalam batas pekerjaan yang disebut atau ditunjukkan dalam gambar untuk struktur. Pekerjaan galian ini hanya terbatas untuk galian lantai pondasi jembatan.

#### 6.4.2 Pekerjaan Timbunan dan Pemadatan

Sebelum pekerjaan galian maupun timbunan harus didahului dengan pekerjaan clearing dan grubbing, maksudnya adalah agar lokasi yang akan dikerjakan tidak mengandung bahan organik dan benda-benda yang mengganggu proses pemadatan. Timbunan dilaksanakan lapis demi lapis dengan ketebalan tertentu dan dilakukan proses pemadatan.

**Proses penimbunan dapat diklasifikasikan menjadi 2, yaitu :**

1. Timbunan Biasa

Pada timbunan biasa ini material atau tanah yang biasa digunakan berasal dari hasil galian badan jalan yang telah memenuhi syarat.

2. Timbunan Pilihan

Pada pekerjaan timbunan ini tanah yang digunakan berasal dari luar yang biasa disebut borrowpitt. Tanah ini digunakan apabila nilai CBR tanah dari timbunan kurang dari 6%.

**Adapun langkah kerja dari proses pemadatan tanah, yaitu :**

1. Mengangkut material dari quarry menuju lokasi dengan menggunakan Dump Truck.



Gambar 6. 6 Pengangkutan Material Timbunan Dengan Dump Truck

2. Menumpahkan material pada lokasi tempat dimana akan dilaksanakan pekerjaan penimbunan.
3. Meratakan material menggunakan Motor Grader sampai ketebalan yang direncanakan. Sebagai panduan operator Grader dan vibro maka dipasang patok tiap jarak 25 m yang ditandai sesuai dengan tinggi hamparan.

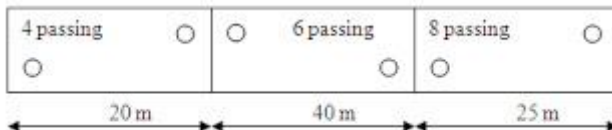


Gambar 6. 7 Perataan Timbunan Dengan Motor Grader

4. Memadatkan tanah dengan menggunakan Vibrator Roller yang dimulai sepanjang tepi dan bergerak sedikit demi sedikit ke arah sumbu jalan dalam keadaan memanjang, sedangkan pada tikungan (alinyemen horizontal) harus dimulai pada bagian yang rendah dan bergerak sedikit demi sedikit ke arah yang tinggi, pemadatan tersebut dipadatkan dengan 6 pasing (12 x lintasan) hingga didapatkan tebal padat 20 cm hingga didapat elevasi top subgrade yang sesuai dengan rencana.

### **Pengujian Kepadatan Tanah Sand Cone**

Pengujian ini bertujuan untuk mengetahui nilai kepadatan dan kadar air dilapangan. Juga bisa sebagai perbandingan pekerjaan yang akan dilaksanakan dilapangan dengan perencanaan pekerjaan.



Gambar 6. 8 Titik Pengambilan Sampel

## 6.5 Pekerjaan Lapis Dasar (Subgrade)

Lapis tanah dasar harus memenuhi persyaratan berikut:

1. Material lapis dasar tidak boleh mengandung material organik, gambut dan tanah mengembang;
2. Material lapis dasar (*subgrade*) harus tidak boleh kurang dari 95% kepadatan kering maksimum dan memberikan sekurang-kurangnya nilai CBR 8% pada uji dalam kondisi terendam (*soaked*).
3. Lapis dasar haruslah terdiri dari lapisan tanah yang seragam dan memiliki cukup daya dukung. Kekuatan CBR material lapis dasar haruslah tidak kurang dari 8% pada contoh tanah yang telah dipadatkan hingga 95% dari berat isi kering maksimum.
4. Lapis dasar harus mampu menopang jalan rel dengan aman dan memberi kecukupan dalam elastisitas pada rel. Lapis dasar juga harus mampu menghindari tanah pondasi dari pengaruh akibat cuaca. Bagian terbawah dari pondasi ini memiliki jarak minimum 0,75 m di atas muka air tanah tertinggi.
5. Ketebalan minimum lapis dasar haruslah 30 cm untuk mencegah terjadinya *mud pumping* akibat terjadinya perubahan pada tanah isian atau tanah pondasi. Lebar lapis dasar haruslah sama dengan lebar badan jalan. Dan lapis dasar juga harus memiliki kemiringan sebesar 5% ke arah bagian luar.

Cara pelaksanaan :

1. Persiapan tanah dasar harus sudah selesai dikerjakan, artinya tanah dasar harus sudah dibentuk dan dipadatkan sesuai dengan persyaratan dan sudah siap untuk perletakan lapisan lapis dasar (subgrade)
2. Material lapis dasar (subgrade) yang akan dipadatkan harus diperiksa kadar airnya. Bila kadar air material tersebut lebih kecil/besar dari kadar air optimal, maka material tersebut harus dikeringkan/ditambahkan kadar airnya. Sebelum dipadatkan kadar air dari material harus merata dengan diaduk terlebih dahulu dengan grader.
3. Setelah kadar air mencukupi, hamparan agregat dibentuk dengan baik menggunakan grader dan langsung dipadatkan dengan alat pemedat yang sesuai, seperti three wheel, tandem, pneumatic tired roller, dan alat sejenisnya yang sesuai. Tiap lapisan harus dipadatkan minimal 100% kapadatan maksimum.
4. Pelaksanaan penggilasan harus dimulai dari kedua sisi luar badan jalan menuju ketengah, sejajar as jalan, kecuali pada tikungan, pemedatan harus dimulai dari tepi yang terendah sejajar as jalan menuju ke bagian yang lebih tinggi.

## 6.6 Pekerjaan Sub-balas

Lapisan sub-balas berfungsi sebagai lapisan penyaring (filter) antara lapis dasar (subgrade) dan lapisan balas dan harus dapat mengalirkan air dengan baik. Tebal minimum lapisan balas bawah adalah 15 cm. Lapisan sub-balas terdiri dari kerikil halus, kerikil sedang atau pasir kasar yang memenuhi syarat sebagai berikut :

Standar Saringan ASTM	Presentase Lolos (%)
2 ½”	100
¾”	55 – 100
No. 4	25 – 95
No. 40	5 – 35

No. 200	0 - 10
---------	--------

Sub-balas harus memenuhi persyaratan berikut:

1. Material sub-balas dapat berupa campuran kerikil (*gravel*) atau kumpulan agregat pecah dan pasir;
2. Material sub-balas tidak boleh memiliki kandungan material organik lebih dari 5%;
3. Untuk material sub-balas yang merupakan kumpulan agregat pecah dan pasir, maka harus mengandung sekurang-kurangnya 30% agregat pecah;
4. Lapisan sub-balas harus dipadatkan sampai mencapai 100%  $\gamma_d$  menurut percobaan ASTM D 698.

Cara pelaksanaan :

1. Persiapan lapis dasar (subgrade) harus sudah selesai dikerjakan, artinya lapis dasar harus sudah dibentuk dan dipadatkan sesuai dengan persyaratan dan sudah siap untuk perletakan lapisan sub-balas.
2. Material sub-balas yang akan dipadatkan harus diperiksa kadar airnya. Bila kadar air material tersebut lebih kecil/besar dari kadar air optimal, maka material tersebut harus dikeringkan/ditambahkan kadar airnya. Sebelum dipadatkan kadar air dari material harus merata dengan diaduk terlebih dahulu dengan grader.
3. Setelah kadar air mencukupi, hamparan agregat dibentuk dengan baik menggunakan grader dan langsung dipadatkan dengan alat pematat yang sesuai, seperti three wheel, tandem, pneumatic tired roller, dan alat sejenisnya yang sesuai. Tiap lapisan harus dipadatkan minimal 100% kepadatan maksimum.
4. Pelaksanaan penggilasan harus dimulai dari kedua sisi luar badan jalan menuju ketengah, sejajar as jalan, kecuali pada tikungan, pematatan harus dimulai dari tepi yang terendah sejajar as jalan menuju ke bagian yang lebih tinggi.

## 6.7 Pekerjaan Balas

Fungsi utama balas adalah untuk meneruskan dan menyebarkan beban bantalan ke lapis dasar, mengkokohkan kedudukan bantalan dan meluluskan air sehingga tidak terjadi penggenangan air di sekitar bantalan dan rel. Kemiringan lereng lapisan balas atas tidak boleh lebih curam dari 1 : 2. Bahan balas atas dihampar hingga mencapai sama dengan elevasi bantalan. Material pembentuk balas harus memenuhi persyaratan berikut:

1. Balas harus terdiri dari batu pecah (25 – 60) mm dan memiliki kapasitas ketahanan yang baik, ketahanan gesek yang tinggi dan mudah dipadatkan;
2. Material balas harus bersudut banyak dan tajam;
3. Porositas maksimum 3%;
4. Kuat tekan rata-rata maksimum 1000 kg/cm<sup>2</sup>;
5. *Specific gravity* minimum 2,6;
6. Kandungan tanah, lumpur dan organik maksimum 0,5%;
7. Kandungan minyak maksimum 0,2%;
8. Keausan balas sesuai dengan *test Los Angeles* tidak boleh lebih dari 25%.

Cara pelaksanaan :

Balas ditaburkan dalam dua tahap.

1. Tahap pertama saat sebelum perakitan trek rel.

Bahan balas diangkut oleh kereta pengangkut ke lokasi pekerjaan, kemudian dituangkan di lokasi pekerjaan pada interval jarak tertentu dalam bentuk tumpukan-tumpukan bahan balas.



Gambar 6. 9 Tumpukan Material Balas

Sumber : manadopostonline.com

Penyebaran dan pematatan bahan balas dilakukan secara manual menggunakan sekop (shovel) atau menggunakan alat berat ekskavator. Balas ditaburkan diatas lapis dasar (subgrade) dan menjadi track bed bagi bantalan rel, agar bantalan tidak bersentuhan langsung dengan lapis dasar. Kerena akan membuat bantalan menjadi ambles akibat beban axle load.

2. Tahap kedua ketika trek rel selesai dirakit.  
Penyebaran bahan balas dilakukan oleh kereta balas (*Ballast Distributing and Profiling Machine*). Mekanisme penyebarannya ialah sewaktu kereta balas berjalan dengan kecepatan tertentu bahan balas ke luar melalui pintu yang ada di lantai kereta balas dan disebarluaskan secara merata pada sepur yang dia bangun. Selain juga untuk menambah ketinggian lapisan balas hingga setinggi bantalan, mengisi rongga-rongga antar bantalan dan disekitar bantalan itu sendiri.



Gambar 6. 10 Pengisian Balas Pada Rongga Bantalan

Sumber : republika.co.id



Gambar 6. 11 Ballast Distributing and Profiling Machine

Sumber : railway-technology.com

## 6.8 Pemasangan Bantalan

Bantalan berfungsi untuk meneruskan beban kereta api dan berat konstruksi jalan rel ke balas, mempertahankan lebar jalan rel dan stabilitas ke arah luar jalan rel. Untuk bantalan beton harus memenuhi persyaratan berikut :

1. Untuk lebar jalan rel 1067 mm dengan kuat tekan karakteristik beton tidak kurang dari  $500 \text{ kg/cm}^2$ , dan mutu baja prategang dengan tegangan putus (*tensile strength*) minimum sebesar  $16.876 \text{ kg/cm}^2$  (1.655 MPa). Bantalan beton harus mampu memikul momen minimum sebesar +1500 kg m pada bagian dudukan rel dan -930 kg m pada bagian tengah bantalan.

## 2. Dimensi bantalan beton

a) Untuk lebar jalan rel 1067 mm :

- Panjang : 2.000 mm
- Lebar maksimum : 260 mm
- Tinggi maksimum : 220 mm

Dalam pemasangan bantalan untuk rel kereta api juga harus memperhatikan jarak dari setiap bantalan tersebut. Dengan memperhatikan jarak dari setiap bantalan tersebut maka akan mengurangi beban yang harus diterima oleh setiap bantalan rel. Bantalan rel dipasang melintang dari posisi rel pada jarak antar bantalan 60 cm.



Gambar 6. 12 Pemasangan Bantalan

Sumber : [harianriau.co](http://harianriau.co)

## 6.9 Pemasangan Rel

Batang rel terbuat dari besi ataupun baja bertekanan tinggi, dan juga mengandung karbon, mangan, dan silikon. Batang rel khusus dibuat agar dapat menahan beban berat (axle load) dari rangkaian KA yang berjalan diatasnya. Inilah komponen yang pertama kalinya menerima transfer beban dari rangkian KA yang lewat. Tiap potongan (segmen) batang rel memiliki panjang 20-25 m. Rel harus memenuhi persyaratan berikut :

1. Minimum perpanjangan (*elongation*) 10%;
2. Kekuatan tarik (*tensile strength*) minimum  $1175 \text{ N/mm}^2$ ;

3. Kekerasan kepala rel tidak boleh kurang dari 320 BHN.

Cara pelaksanaan :

1. Rel yang akan dipasang dibawa ke lokasi proyek menggunakan truk trailer atau menggunakan kereta pengangkut barang.
2. Kemudian rel diangkat menggunakan ekskavator dan diletakkan diatas bantalan yang telah disusun.



Gambar 6. 13 Pengangkatan Rel

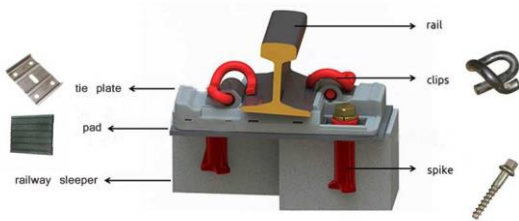


Gambar 6. 14 Pemasangan Rel

## 6.10 Pemasangan Penambat Elastis

Fungsi penambat elastis yaitu untuk mengaitkan batang rel dengan bantalan yang menjadi tumpuan batang rel tersebut, agar batang rel tetap menyatu pada bantalannya dan menjaga kelebaran trek. Penambat elastis dibuat untuk menghasilkan jalan KA yang berkualitas tinggi, yang biasanya digunakan pada jalan rel KA yang memiliki frekuensi dan axel load yang tinggi. Karena sifatnya yang elastis sehingga mampu mengabsorbsi getaran pada rel saat

rangkaian KA melintas, oleh karena itu perjalanan KA menjadi lebih nyaman dan mengurangi resiko kerusakan pada rel maupun bantalananya. Selain itu penambat elastis juga dipakai pada rel yang disambungkan dengan las termit (Continuous Welded Rails), karena sambungan rel dilas sehingga tidak punya celah pemuaian. Karena kemampuannya untuk menahan batang rel agar tidak bergerak secara horizontal saat pemuaian, penambat inilah yang sekarang banyak digunakan terutama pada bantalan beton.



Gambar 6. 15 Komponen Pada Penambat Elastis

Sumber : [railway-fastener.com](http://railway-fastener.com)

## 6.11 Plat Besi Penyambung

Dalam penyambungan antar segmen/ potongan rel terdapat dua metode

1. Metode Sambungan Tradisional (Conventional Jointed Rails)  
Plat besi penyambung merupakan plat besi dengan panjang sekitar 50-60 cm yang berfungsi untuk menyambung dua segmen/potongan rel. Pada plat tersebut terdapat 4 atau 6 lubang untuk tempat skrup/baut penyambung serta murnya. Batang rel biasanya hanya memiliki panjang sekitar 20-25 m tiap potongannya. Pada setiap sambungan rel, dibuat celah untuk tempat pemuaian. Biasanya jenis sambungan ini terdapat di daerah emplasemen/stasiun atau di dekat area wesel.



Gambar 6. 16 Sambungan Baut Pada Jalan Rel

2. Metode Sambungan Las Termit (Continuous Welded Rails)  
Dengan metode CWR, tiap 2 sampai 4 potongan batang rel dapat dilas menjadi satu rel yang panjang tanpa diberi celah pemuaian, sehingga tiap CWR memiliki panjang sekitar 40-100 m. Sambungan CWR biasanya diterapkan pada jalur dengan kecepatan laju KA yang tinggi, karena permukaan rel menjadi lebih rata dan halus sehingga rangkaian KA dapat lewat dengan nyaman.



Gambar 6. 17 Sambungan Las Termit  
Sumber : skanska.cz

## **BAB VII**

### **KESIMPULAN**

#### **7.1 Kesimpulan**

Sesuai dengan analisa data dan kondisi eksisting trase jalan kereta api, maka dalam perencanaan jalur rel ganda (*double track*) didapat beberapa poin kesimpulan, meliputi :

1. Perencanaan lengkung horizontal untuk kecepatan rencana, sudut lengkung, dan R (jari-jari) mengikuti dari data trase eksisting yang diperoleh dari DAOP IX Jember. Perencanaan lengkung vertikal sesuai dengan kondisi eksisting di lapangan.
2. Hasil perencanaan struktur jalan rel
  - Kelas Jalan = Kelas Jalan III
  - Tipe Rel = R.54
  - Vmaks = 100 km/jam
  - Beban Gandar = 14 Ton
  - Lebar sepur = 1067 mm
  - Jarak bantalan = 60 cm
  - Tebal Balas = 55 cm
  - Tebal Sub-balas = 20 cm
  - Sambungan = Las Termit dan Sambungan Baut
  - Tipe Penambat = DE Spring Clips
3. Dalam perhitungan stabilitas badan jalan diperoleh tegangan ijin sebesar  $4,8 \text{ t/m}^2$ . Kemudian dihitung dengan program plaxis diperoleh tegangan di lapangan sebesar  $3,5 \text{ t/m}^2$  dan nilai displacement sebesar 0,888 inch. Dan juga nilai kelongsoran  $SF = 2,388$  lebih besar dari pada SF ijin yang ditetapkan yaitu 2. Sehingga badan jalan dapat lalui dengan aman. Dinding penahan tanah memiliki tinggi 7 m. Kemudian dikontrol dan memenuhi stabilitas geser, guling, dan daya dukung tanahnya.
4. Untuk saluran drainase direncanakan sepanjang trase jalan kereta api. Dimensi saluran tergantung dari luas catchment

area dan kondisi wilayah setempat yang dilalui kereta api. Pada jembatan kereta api direncanakan bentang 30 m dan terletak di KM 46+274. Jembatan menggunakan rangka baja dengan tinggi rangka 5 m. Abutment pada jembatan kereta memiliki tinggi total 2,25 m dengan lebar 6 m. Terbagi atas beberapa bagian struktur abutment meliputi : pile cap dan long stopper. Pancang yang digunakan untuk abutmen sebanyak 2 x 4 buah dengan diamter 500 mm. Pancang menggunakan spun pile dengan kedalaman pancang 12 m.

5. Metode pelaksanaan jalan kereta api terdiri dari :
  - Pekerjaan penyiapan tanah dasar.
  - Pekerjaan lapis dasar (subgrade)
  - Pekerjaan penghamparan sub-balas
  - Pekerjaan penghamparan balas
  - Pemasangan bantalan
  - Pemasangan rel
  - Pemasangan penambat

## 7.2 Saran

Saran yang dapat diberikan dari pembangunan jalan kereta api double track ini adalah :

1. Dalam melakukan pembangunan jalan kereta api dengan sistem *Double Track* perlu diperhatikan kondisi topografi di kanan maupun kiri dari jalur kereta api eksisting.
2. Untuk menghindari erosi dan genangan pada badan jalan kereta api perlu direncanakan saluran ditepi kanan maupun kiri dari badan jalan kereta api, kemudian juga perlu direncanakan saluran melintang.
3. Perlu dilakukan perhitungan Rencana Anggaran Biaya untuk mengetahui budget yang dibutuhkan dalam pembangunan.

## DAFTAR PUSTAKA

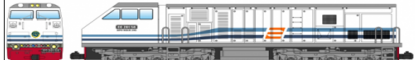
- Catatan Kuliah. *Rekayasa Jalan Rel.* Departemen Teknik Sipil.  
Institut Teknologi Bandung – Bandung.
- Catatan Kuliah. *Rekayasa Jalan Raya.* Departemen Teknik Sipil.  
Institut Teknologi Bandung – Bandung.
- Data Sektoral Kabupaten Banyuwangi. 2011
- Das, Braja M., Endah, Noor, Mochtar, Indrasurya B. 1985.  
*Mekanika Tanah (Prinsip-prinsip Rekayasa Geoteknis) Jilid 2*
- Diktat Kuliah. *Perencanaan Geometri Jalan dan Rel.* Jurusan  
Teknik Sipil dan Perencanaan. Institut Teknologi Sepuluh  
Nopember – Surabaya.
- Direktorat Jendral Perkeretaapian Kementerian Perhubungan.  
2011. *Rencana Induk Perkeretaapian Nasional.*
- Direktorat Jendral Perkeretaapian Kementerian Perhubungan.  
2014. *Buku Informasi Perkeretaapian.*
- Ir. Suyono Sosrodarsono, 2000. *Mekanika Tanah & Teknik  
Pondasi*
- Peraturan Menteri Perhubungan (Permenhub) No 60. 2012.  
*Persyaratan Teknis Jalur Kereta Api.*
- PT. KAI PERSERO. 1986. *Perencanaan Konstruksi Jalan Rel*  
(Peraturan Dinas No. 10)
- Setiawan, Agus. 2008. *Perencanaan Struktur Baja Dengan Metode  
LRFD.*
- Subarkah, Imam. 1981. *Jalan Kereta Api.*
- Triamodjo, Bambang. 2008. *Hidrologi Terapan.*
- Wahyudi, H. 1993. *Jalan Kereta Api (Struktur dan Geometrik  
Jalan Rel).* Surabaya: Jurusan Teknik Sipil-FTSP ITS

*“Halaman ini sengaja dikosongkan”*

## **LAMPIRAN**

## 13.4. Lokomotif CC-203

### SPESIFIKASI : LOKOMOTIF CC-203



Mesin, motor traksi, dan converter

Penggerak utama:	GE 7FDL-8
Jenis mesin:	4 langkah, turbocharger
<u>Generator:</u>	GT 581
<u>Motor traksi:</u>	6 buah, tipe GE 761, arus searah (DC-DC)

#### Transmisi dan kinerja

Perbandingan roda gigi:	90:21
Kecepatan maksimum:	90–120 km/h (56–75 mph)
Kecepatan minimum kontinu:	24 km/h (15 mph)
Daya mesin:	2,250 hp (1,680 kW)
Daya ke generator/converter:	2,000 hp (1,500 kW)
Jari-jari lengkung terkecil:	567 m (1,860 ft)

#### Lain-lain

<u>Rem lokomotif:</u>	Udara tekan, dinamik, parkir
-----------------------	------------------------------

#### Karier

Perusahaan pemilik:	<a href="#">PT Kereta Api Indonesia, PT Tanjung Enim Lestari Pulp and Paper</a>
Daerah operasi:	<a href="#">Pulau Jawa-Sumatera Selatan</a>
Pertama digunakan	1995 bersamaan dengan peluncuran KA Argo Bromo
Keadaan:	Semua beroperasi

#### Sumber tenaga: Diesel elektrik

Bagian dari seri GE Universal Series

Desainer:	<a href="#">GE Transportation</a> dan <a href="#">UGL Rail</a>
Perusahaan pembuat:	<a href="#">GE Transportation</a> PT GE Lokomotif Indonesia (GE Lokindo/GELI)
Nomor seri:	CC203
Model:	<a href="#">GE U20C</a>
Tanggal dibuat:	<a href="#">1995-2002</a>
Jumlah dibuat:	41 unit
<b>Data teknis</b>	
<b>Roda</b>	
<u>Susunan roda AAR:</u>	<a href="#">C-C</a>
<u>Klasifikasi UIC:</u>	Co'Co'
<b>Dimensi</b>	
<u>Lebar sepur:</u>	1,067 mm (3 ft 6 in)
Diameter roda:	914 mm (2.999 ft)
Panjang:	14.135 mm (0.04637 ft)
Lebar:	2.642 mm (0.00867 ft)
Tinggi (maksimum):	3.637 mm (0.01193 ft)
Jarak antara alat perangkai:	15.214 mm (0.04991 ft)
Jarak antar pivot:	7.680 mm (0.02520 ft)
Jarak gandar:	3.304 mm (0.01084 ft)
Tinggi alat perangkai:	775 mm (2.543 ft)
<b>Berat</b>	
Berat kosong:	78 t (78,000 kg)
Berat siap:	84 t (84,000 kg)
Berat adhesi:	84 t (84,000 kg)
<b>Bahan bakar dan kapasitas</b>	
Jenis bahan bakar:	<i>High-speed diesel</i>
Kapasitas bahan bakar:	3.028 l (0.003028 m <sup>3</sup> )
Kapasitas pelumas:	984 l (0.984 m <sup>3</sup> )
Kapasitas pendingin:	684 l (0.684 m <sup>3</sup> )
Kapasitas bak pasir:	510 l (0.51 m <sup>3</sup> )

# RAILWAY CONCRETE PRODUCT

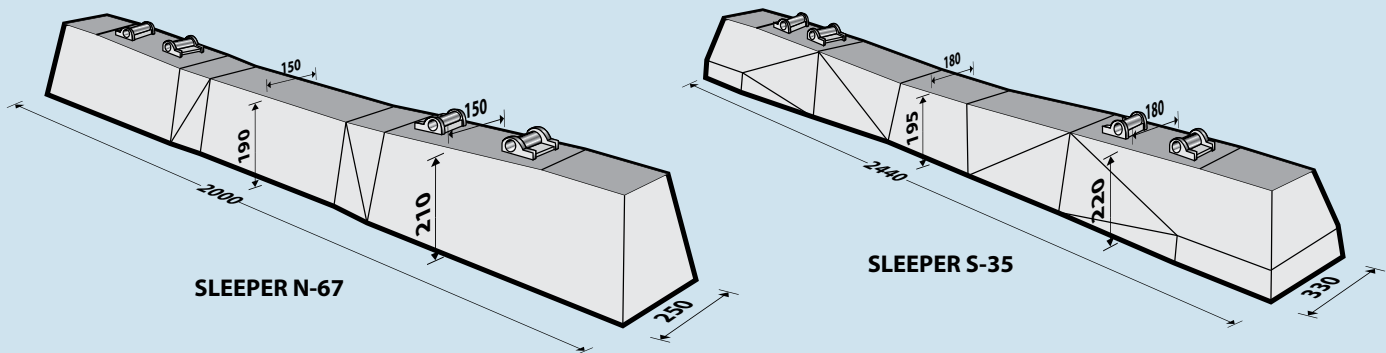
## DESCRIPTION

Type of Railway Product :      Prestressed Concrete Sleepers  
     Prestressed Concrete Turnout Sleepers  
     Prestressed Concrete Catenary Poles

## DESIGN & MANUFACTURING REFERENCE

Design	PD No.10 - Perumka AREMA Chapter 30 - 2009 GOST 10629 - 1988 TB/T 3080 - 2030 JIS A 5309 - 1981	Indonesian Railways Design Reference American Railway Engineering Maintenance of Ways Prestressed Concrete Sleepers for Railway Wide 1520 mm Technical Concrete Sleeper Railway Industry Standards Prestressed Concrete Spun Poles
Manufacturing	WB - PRD - PS - 16	Production Manufacturing Procedure

## PRODUCT SHAPE & SPECIFICATION | PC SLEEPERS



## PC SLEEPERS DIMENSION

Type	Sleeper Length (mm)	Depth (mm)		Width at Rail Seat (mm)		Width at Center (mm)	
		at rail seat	at center	Upper	Bottom	Upper	Bottom
N-67	2000	210	190	150	250	150	226
S-35	2440	220	195	190	310	180	240
W-20	2700	195	145	224	300	182	250

## PC SLEEPERS SPECIFICATION

Concrete Compressive Strength  $f_c' = 52 \text{ MPa}$  (Cube 600 kg/cm<sup>2</sup>)

Type *   **	Track Gauge (mm)	Design Axle Load (ton)	Train Speed (km/h)	Sleeper Weight (kg)	Design Bending Moments (kg.m)				Design Reference ***	
					Moments at Rail Seat		Moments at Centre			
					positive (+)	negative (-)	positive (+)	negative (-)		
N-67	1067	18	120	190	1500	750	660	930	PERUMKA PD - 10	
S-35	1435	25	200	330	2300	1500	1300	2100	AREMA	
W-20	1520	23	120	275	1300	-	-	980	GOST 10629 Grade-1	

Note :      \*) Type of Rail is available for R-33, R-38, R-40, R-42, R-50, R-54 & R-60

\*\*) Type of fastening is available for Pindad E-Clip, Pandrol E-Clip, Vossloch Clip, DE-Clip or others adjustable to customer requirement

\*\*\*) Standard design reference is adjustable to customer requirement

DE-Clips (DE-Clips Rail Fastener) diproduksi sejak tahun 1984 yang merupakan lisensi dari Hollandia Kloosdan Ewem AG. DE-Clip Rail Fastener telah lulus uji dengan standar AREMA (American Railway Engineering & Maintenance Association) :

- Tie Pad Test
- Insert Pull test and Torsi Insert test
- Up lift test
- Longitudinal load test
- Repeated load test
- Lateral load restraint

Fitur DE-Clips Rail Fastener:

- Komponen sedikit dan sederhana
- Mudah dalam pemasangan
- Dapat digunakan kembali bila rail diganti
- Perawatan/maintenance mudah
- Gaya cekam tinggi 750 1300 Kgf (SNI 11-3677-1995)
- Dapat meredam getaran rail
- Mampu menahan beban longitudinal dan lateral serta beban gandar (axle load)
- Mengunci sendiri (anti vandal)
- Dapat dipasang pada lengkung, perlintasan dan sambungan rail.
- Dapat dipakai pada berbagai type rail
- Dapat melindungi signal and tracking systems.
- Dapat dipasang pada bantalan beton, baja, dan kayu.

## Tempa Cor & Alat Perkeretaapian

- Forging
- Casting
- Railway Equipment

**Jumlah Curah Hujan Harian Maksimum (mm) 2007-2016**

Bulan	2007		2008		2009		2010		2011		2012		2013		2014		2015		2016	
	Curah Hujan (mm)																			
Januari	110,00	105,25	105,25	109,51	109,19	90,00	109,71	105,50	106,30	100,37	103,32	101,35	106,79	99,72						
Februari	106,92	106,17	102,75	106,73	103,30	89,40	100,20	103,32	100,20	96,55	96,55	96,56	106,89	106,89						
Maret	87,40	103,25	108,44	108,41	93,07	94,70	91,52	105,83	84,30	102,45										
April	104,80	105,71	92,50	105,00	96,20	53,30	97,10	19,40	87,10	97,55										
Mei	91,00	95,00	104,00	107,36	97,36	24,80	15,30	61,40	15,90	56,00	56,00	56,00								
Juni	96,00	103,00	103,00	102,33	106,00	41,80	35,80	104,00	90,73	68,08	68,08	68,08								
Juli	24,00	0,00	103,00	106,00	107,30	10,70	37,90	24,30	14,90	52,07										
Agustus	4,00	46,00	0,00	85,67	8,00	11,50	6,90	5,80	0,80	94,17										
September	11,00	22,00	39,00	94,00	4,00	6,30	6,30	36,50	21,10											
Oktober	78,33	106,00	49,00	103,40	40,80	99,00	91,50	93,60	105,02											
Nopember	104,40	104,40	107,88	107,50	104,30	79,50	104,27	106,87	96,00	105,86										
Desember	110,12	109,13	104,60	97,75																

Sumber : Badan Meteorologi Klimatologi dan Geofisika, Stasiun Meteorologi Banyuwangi

DRILLING LOG					BOREHOLE NO : DB-1				
					LOGGED BY : Amir Fauzan.Spd				
PROJECT : PEMBANGUNAN JEMBATAN PANCASILA					ELV. : 35,00				
LOCATION : KEC. GLENMORE, KAB. BANYUWANGI					DATE : 20-Mar-14				
GWL : - 0.50 meter					DRILLED BY : Ginanjar Eka, ST				
DEPTH (m)	SAMPLE SYMBOL	SAMPLE	SAMPLE DEPT (M)	SOIL DESCRIPTION	N1	N2	N3	N + SPT	SPT
0									
2	CH	UDS1 SPT1	1.00-1.50 1.50-1.95	silty CLAY, grayish brown, very stiff, high plasticity	5	9	12	21	
4	ML	SPT2	3.00-4.45	sandy SILT trace clay, little gravel, dark brown, hard, low plasticity	7	13	22	35	
6		SPT3	4.50-4.95	grades little clay, trace gravel	9	15	23	38	
8		DS1	5.50-6.00						
10		SPT4	6.00-6.45	SAND poorly graded, medium grained, little cemented sand, black, very dense	20	25	30	>50	
12	SP	SPT5	7.50-7.95	clayey SILT, little gravel, dark brown, low plasticity	25	32	35	>50	
14	ML	SPT6	9.00-9.40	grades little cemented silt	23	38	26/10	>50	
16		DS2	10.00-10.50						
18		SPT7	10.50-10.95	grades dark grey	23	25	28	>50	
20		SPT8	12.00-12.45	grades trace cemented silt	25	28	22	50	
22									
24									
26	SM	SPT9	13.50-13.95	silty SAND little cemented sand, black very dense	22	25	25	50	
28		SPT10	15.00-15.40	grades some cemented sand	27	37	18/10	>50	
30									
32								>50	

REMARK :

0 TO 10 % : TRACE

■ : Undisturbed Sample

10 TO 20 % : LITTLE

■ : Disturbed sample

20 TO 35 % : SOME

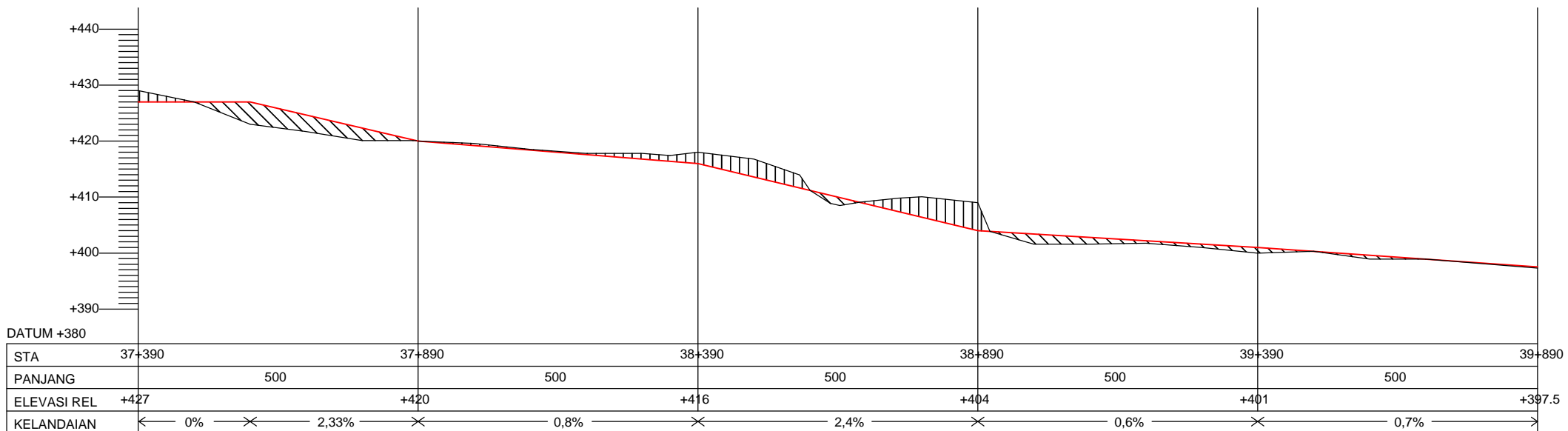
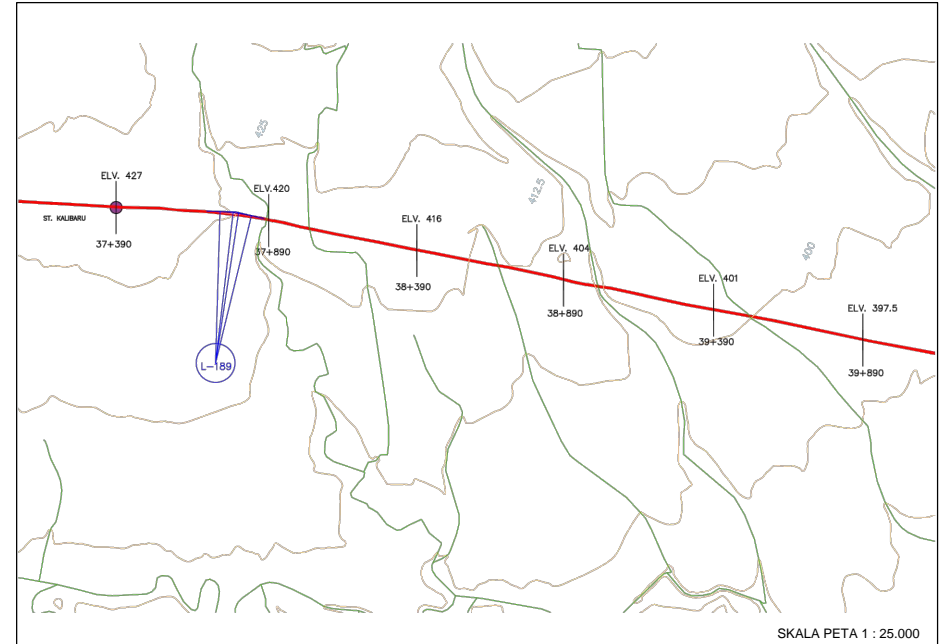
35 TO 50 % : AND

**Table SUMMARY OF LABORATORY TEST RESULTS**

Project	:	Pembangunan Tanki Kapasitas 500 KL				
Standard	:	ASTM				
Lokasi	:	Depot Tanjung Wangi - Banyuwangi				
Sample No.		1.0	2.0	3.0	4.0	5.0
Sample Depth (m)		- 4	- 8	- 12	- 16	- 20
Physical Properties	Unit weight $\gamma_t$ (%)	1.991	2.037	2.090	*	*
	Dry unit weight $\gamma_d$ (%)	1.734	1.797	1.863	*	*
	Water content $W_c$ (%)	14.83	13.38	12.21	*	*
	Degree of Saturation $S_r$ (%)	68.2	100.0	100.0	*	*
	Porosity $n$ (%)	37.7	36.9	35.7	*	*
	Void Ratio $e$	0.606	0.584	0.556	*	*
	Specific Gravity $G_s$	2.784	2.846	2.898	*	*
Visual soil description	Pasir	Pasir	Pasir	Batuan	Batuan	
	Berkerikil Berbatu	Berkerikil Berbatu	Berkerikil Berbatu	Karang	Karang	
Atterberg Limit	Liquid limit, (LL) %	NP	NP	NP	NP	NP
	Plastic limit, (PL) %	NP	NP	NP	NP	NP
	Plastic Index, (PI) %	NP	NP	NP	NP	NP
Grain Size Distribution	Gravel (%)	*	*	*	*	*
	Sand (%)	*	*	*	*	*
	Silt (%)	*	*	*	*	*
	Clay (%)	*	*	*	*	*
	Max. diameter (mm)	*	*	*	*	*
	Diam. at 60% (mm)	*	*	*	*	*
	Diam. at 10% (mm)	*	*	*	*	*
Unconfined Compression Test	Peak Deviator Stress, $q_u$ (kg/cm <sup>2</sup> )	*	*	*	*	*
	Undisturbed Cohesion, $C_u$ (kg/cm <sup>2</sup> )	*	*	*	*	*
	Modulus Elasticity, $E_{50}$ (kg/cm <sup>2</sup> )	*	*	*	*	*
	Strain at failure (%)	*	*	*	*	*
Triaxial Test	Friction Angle (degree)	*	*	*	*	*
	Cohesion Intercept (kg/cm <sup>2</sup> )	*	*	*	*	*
	Drainage condition	*	*	*	*	*
Direct Shear Test	Friction Angle (degree)	35.56	38.09	39.31	*	*
	Cohesion Intercept (kg/cm <sup>2</sup> )	0.001	0.004	0.006	*	*
Lab. Vane Shear Test	Shear Undrained, $S_u$ (kPa)	*	*	*	*	*
	Shear Undrained, $S_u$ (kg/cm <sup>2</sup> )	*	*	*	*	*
Consolidation Test	Preconsolidation Pressure (kg/cm <sup>2</sup> )	*	*	*	*	*
	Compression Index, $C_c$	*	*	*	*	*
Remarks :						
* : Not tested		NP = Non Plastics				

DATA TIKUNGAN L-189

$R = 500 \text{ m}$	$X_s = 86,69 \text{ m}$
$\Delta = 12^\circ$	$Y_s = 2,51 \text{ m}$
$h = 96,39 \text{ m}$	$k = 43,34 \text{ m}$
$L_h = 86,75 \text{ m}$	$p = 0,63 \text{ m}$
$L_c = 17,92 \text{ m}$	$T_s = 95,96 \text{ m}$
$\theta_s = 4,97^\circ$	$E = 3,38 \text{ m}$



DATA TIKUNGAN L-190

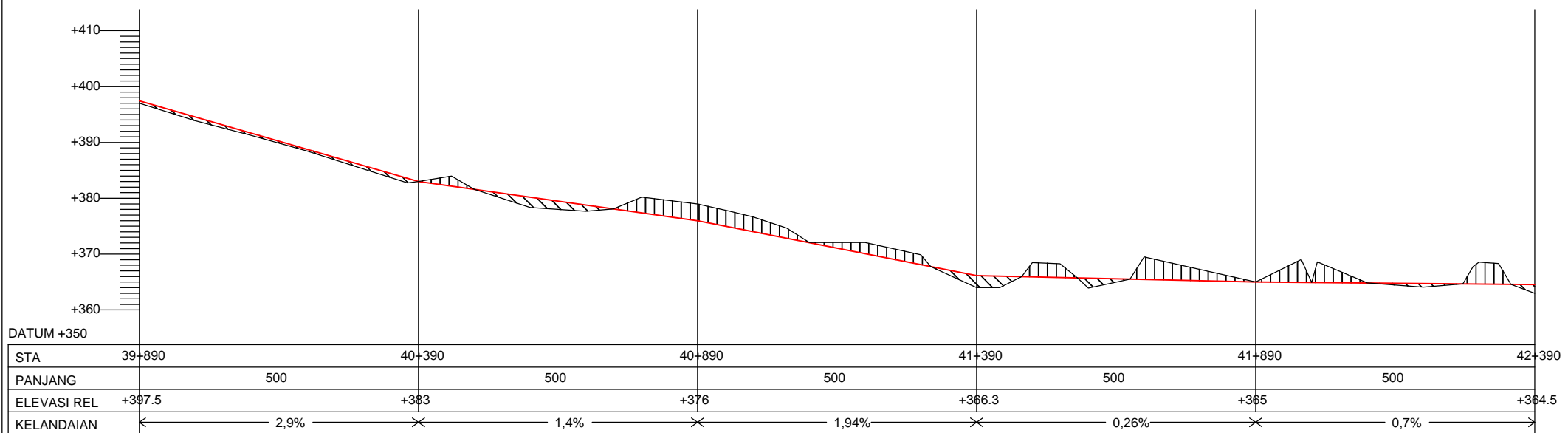
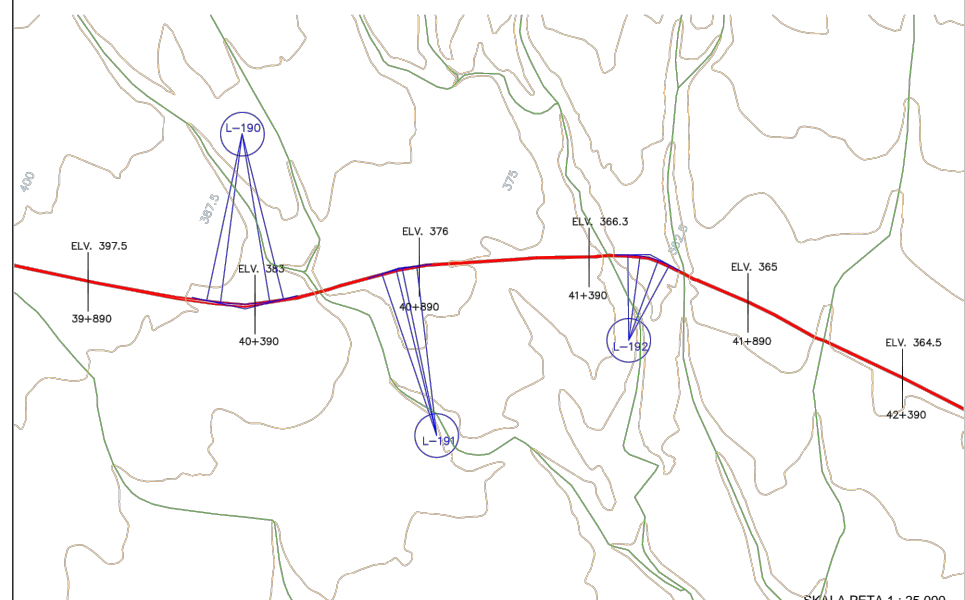
$R = 500 \text{ m}$	$X_s = 86,69 \text{ m}$
$\Delta = 26^\circ$	$Y_s = 2,51 \text{ m}$
$h = 96,39 \text{ m}$	$k = 43,34 \text{ m}$
$Lh = 86,75 \text{ m}$	$p = 0,63 \text{ m}$
$Lc = 140,03 \text{ m}$	$Ts = 158,92 \text{ m}$
$0s = 4,97^\circ$	$E = 13,79 \text{ m}$

DATA TIKUNGAN L-192

$R = 250 \text{ m}$	$X_s = 71,43 \text{ m}$
$\Delta = 29^\circ$	$Y_s = 3,24 \text{ m}$
$h = 106,84 \text{ m}$	$k = 35,75 \text{ m}$
$Lh = 71,58 \text{ m}$	$p = 0,86 \text{ m}$
$Lc = 54,89 \text{ m}$	$Ts = 100,62 \text{ m}$
$0s = 8,21^\circ$	$E = 9,11 \text{ m}$

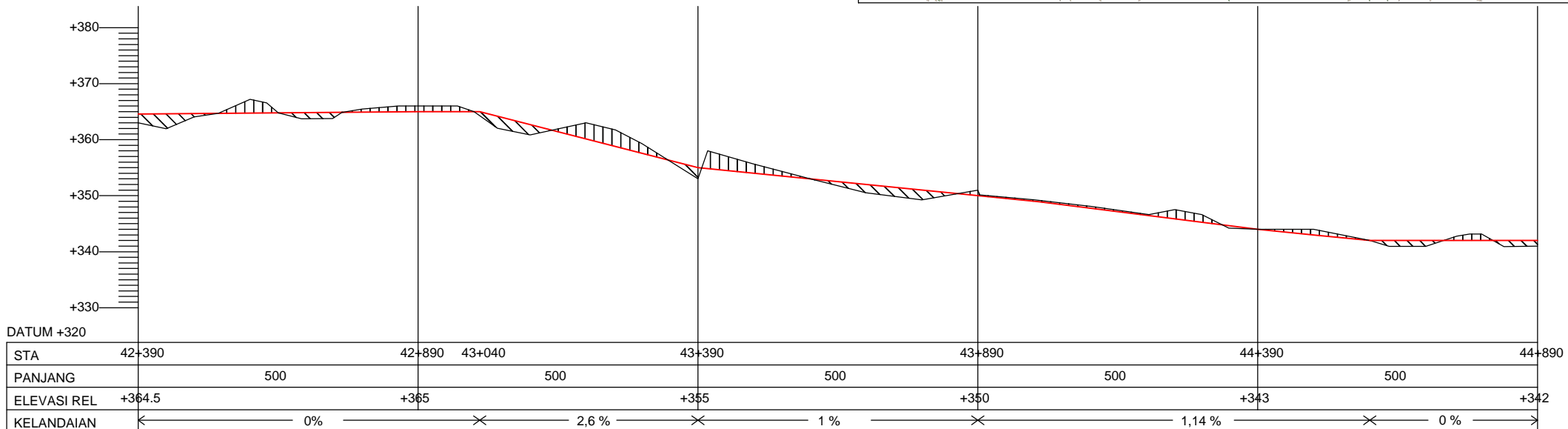
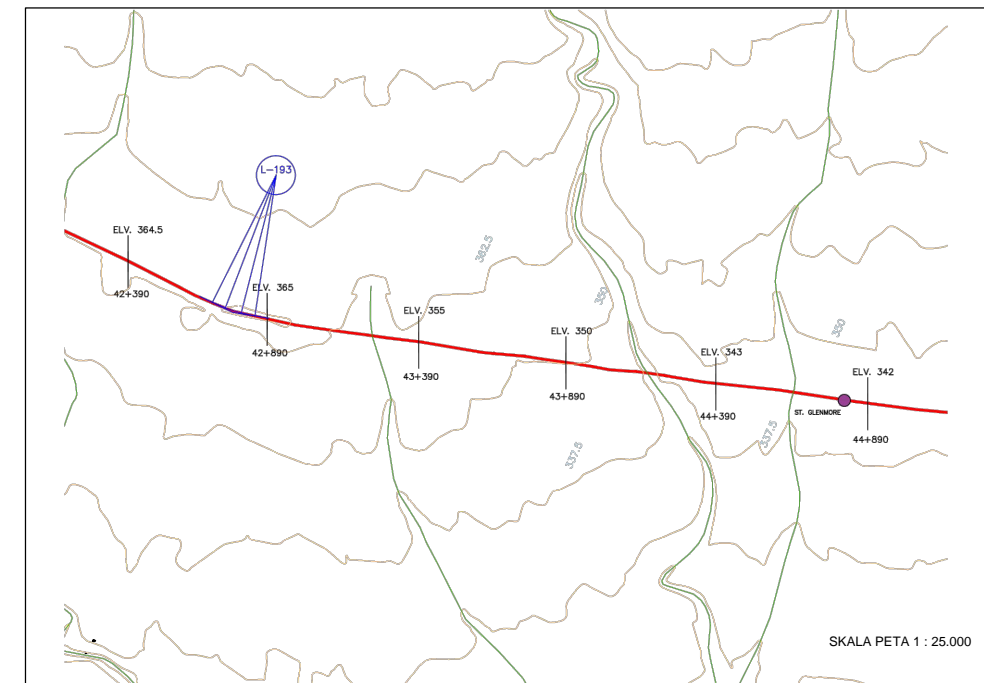
DATA TIKUNGAN L-191

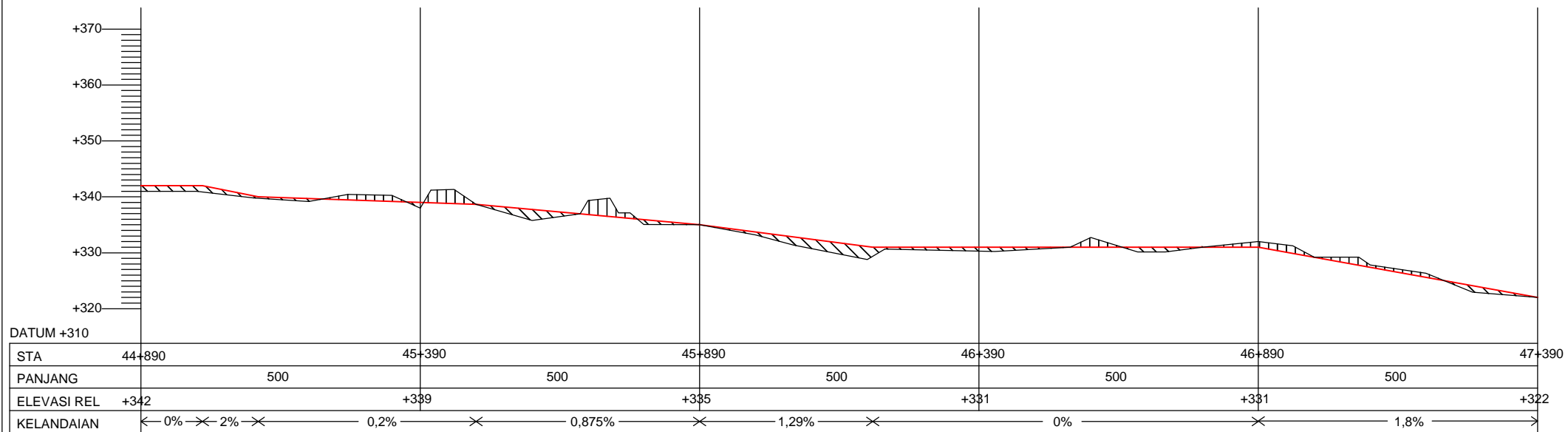
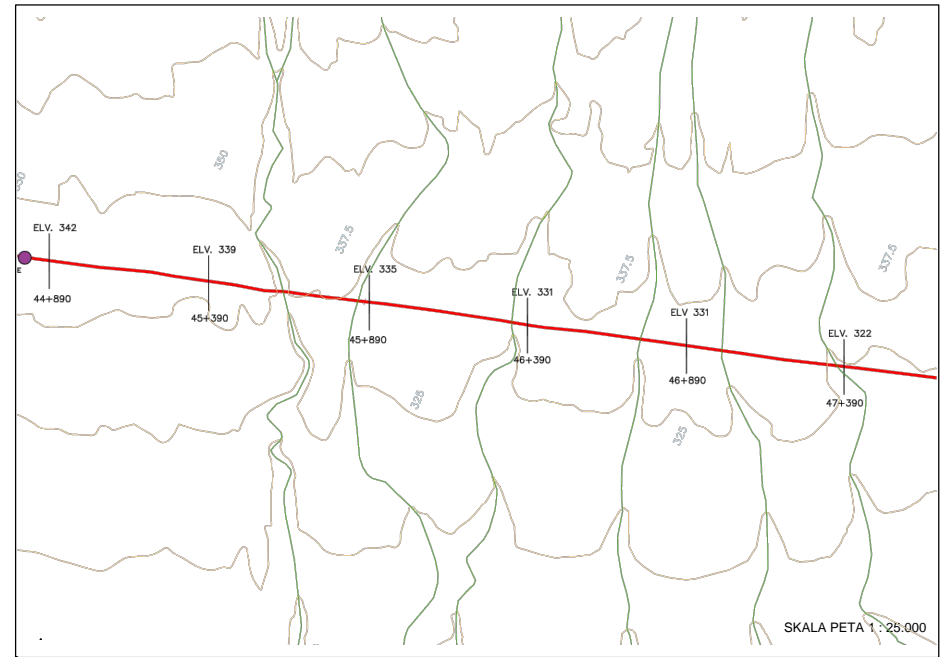
$R = 500 \text{ m}$	$X_s = 86,69 \text{ m}$
$\Delta = 12^\circ$	$Y_s = 2,51 \text{ m}$
$h = 96,39 \text{ m}$	$k = 43,34 \text{ m}$
$Lh = 86,75 \text{ m}$	$p = 0,63 \text{ m}$
$Lc = 17,92 \text{ m}$	$Ts = 95,96 \text{ m}$
$0s = 4,97^\circ$	$E = 3,38 \text{ m}$



DATA TIKUNGAN L-193

$R = 470 \text{ m}$	$X_s = 92,2 \text{ m}$
$\Delta = 18^\circ$	$Y_s = 3,02 \text{ m}$
$h = 102,5 \text{ m}$	$k = 46,11 \text{ m}$
$L_h = 92,29 \text{ m}$	$p = 0,75 \text{ m}$
$L_c = 55,29 \text{ m}$	$T_s = 120,67 \text{ m}$
$0s = 5,628^\circ$	$E = 6,62 \text{ m}$

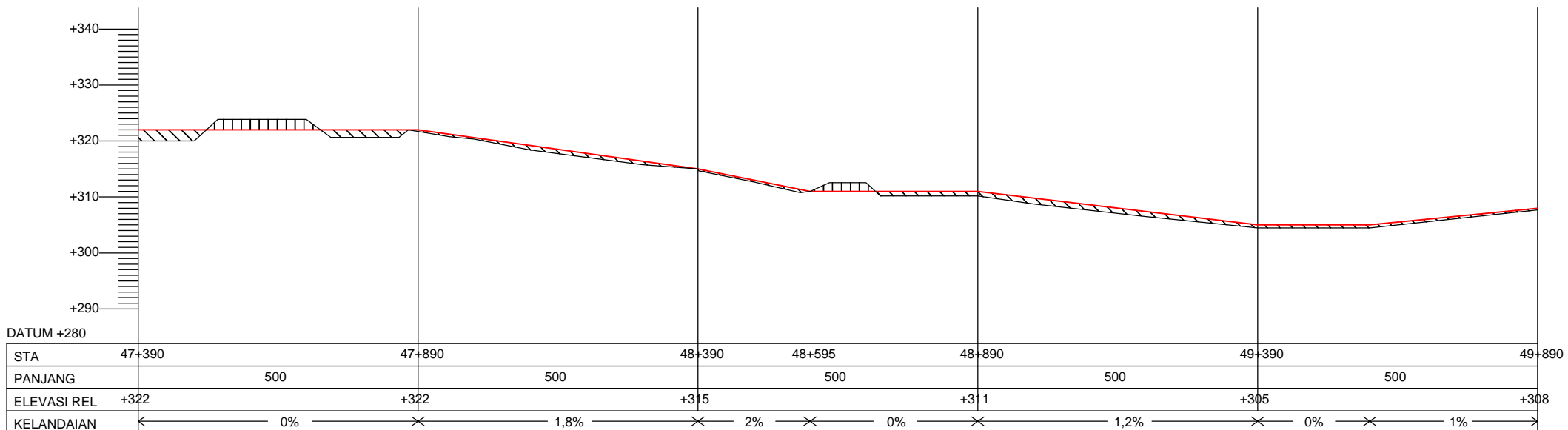
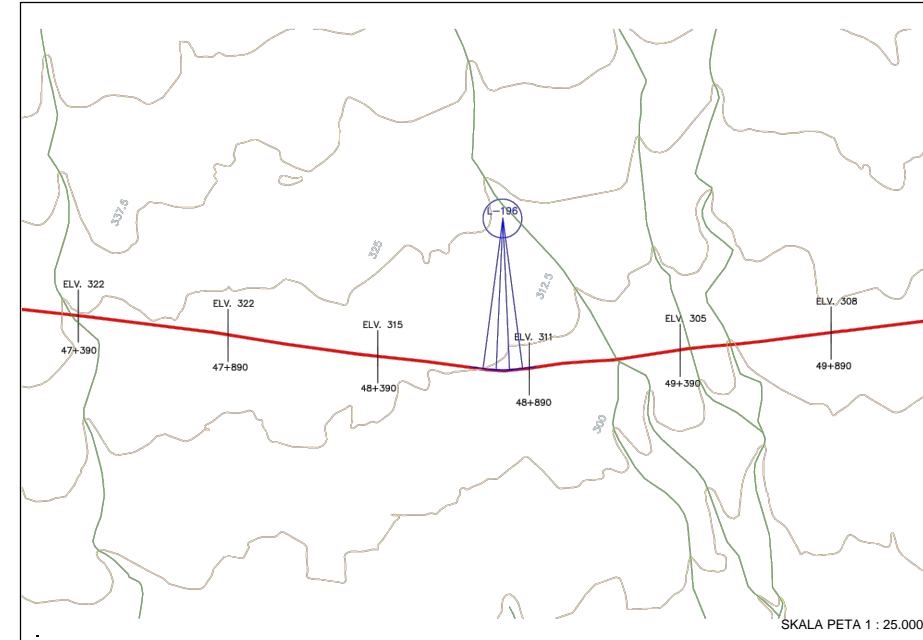




ITS Institut Teknologi Sepuluh Nopember	DESAIN GEOMETRIK, STRUKTUR, BESERTA METODE PELAKSANAAN PEMBANGUNAN JALUR REL GANDA (DOUBLE TRACK) TRASE BANYUWANGI BARU-KALIBARU, KAB. BANYUWANGI	DOSEN PEMBIMBING	MAHASISWA	JUDUL GAMBAR	SKALA		
		IR. CHOMAEDHI, CES.GEO NIP. 19550319 198403 1 001  AMALIA FIRDAUS M, ST., MT. NIP. 19770218 200501 2 002	DWIKI PRATAMA PUTRA NRP. 3113041027	POTONGAN MEMANJANG JALAN KERETA API			
				SKALA VERTIKAL 1 : 1.000			
				SKALA HORIZONTAL 1 : 10.000			

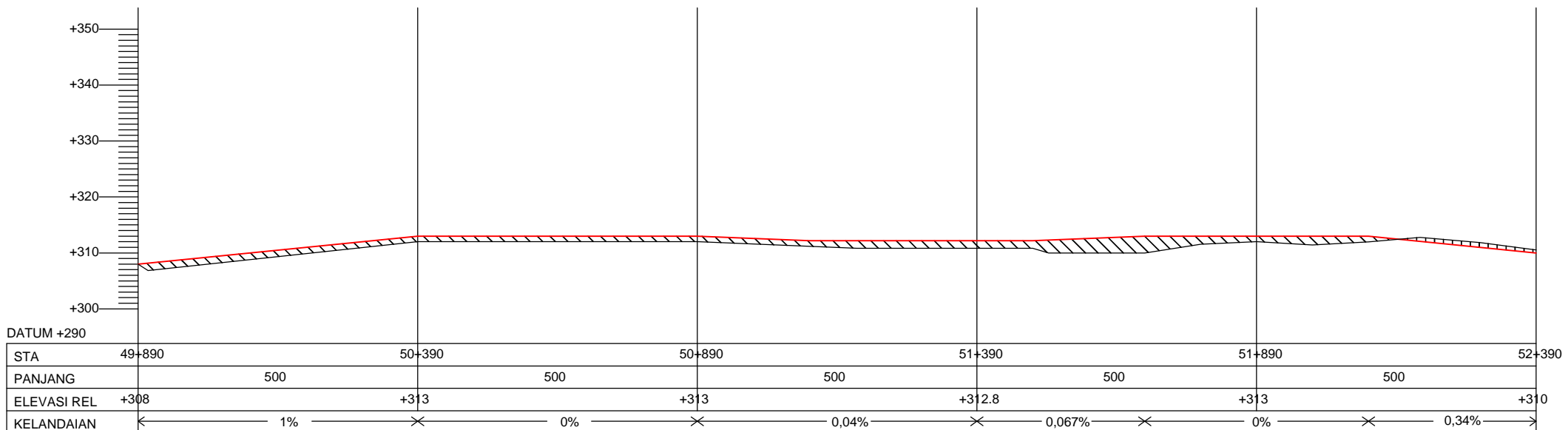
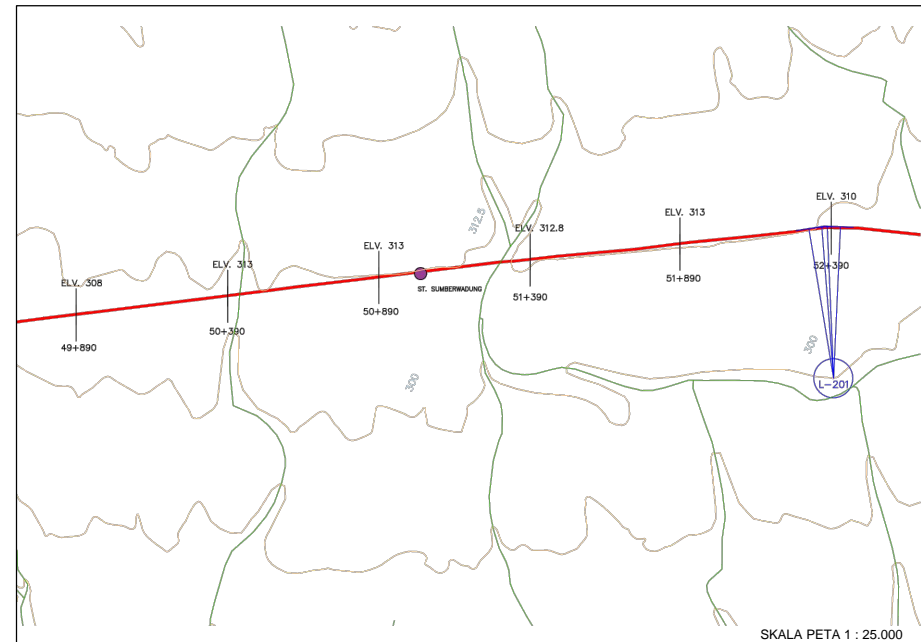
DATA TIKUNGAN L-196

$R = 500 \text{ m}$	$X_s = 86,69 \text{ m}$
$\Delta = 18^\circ$	$Y_s = 2,51 \text{ m}$
$h = 96,39 \text{ m}$	$k = 43,34 \text{ m}$
$Lh = 86,75 \text{ m}$	$p = 0,63 \text{ m}$
$Lc = 44,08 \text{ m}$	$Ts = 109,25 \text{ m}$
$0s = 4,97^\circ$	$E = 4,95 \text{ m}$



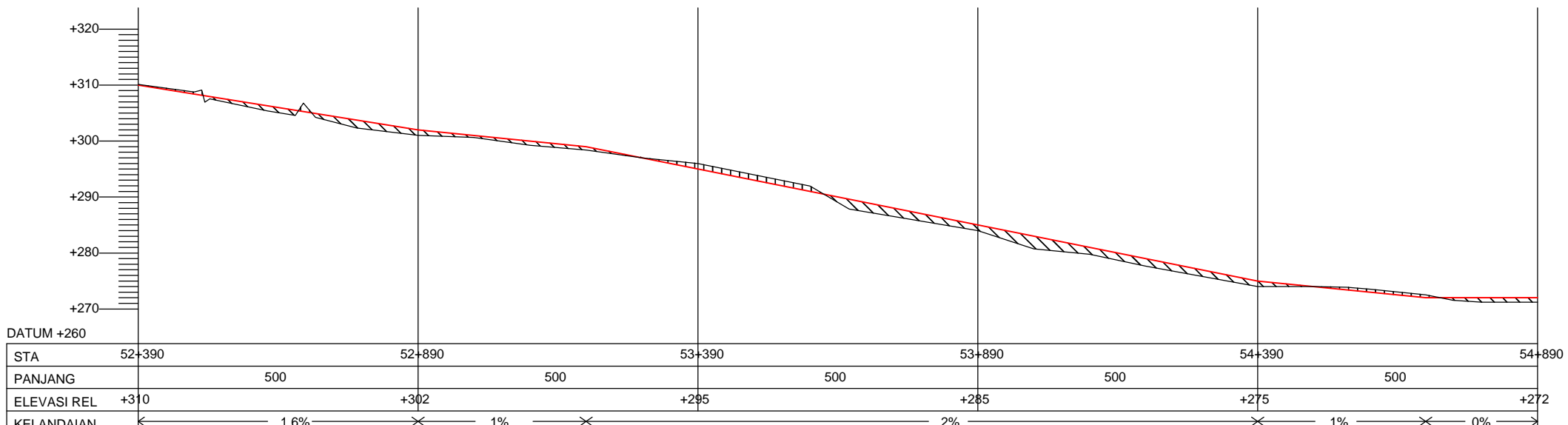
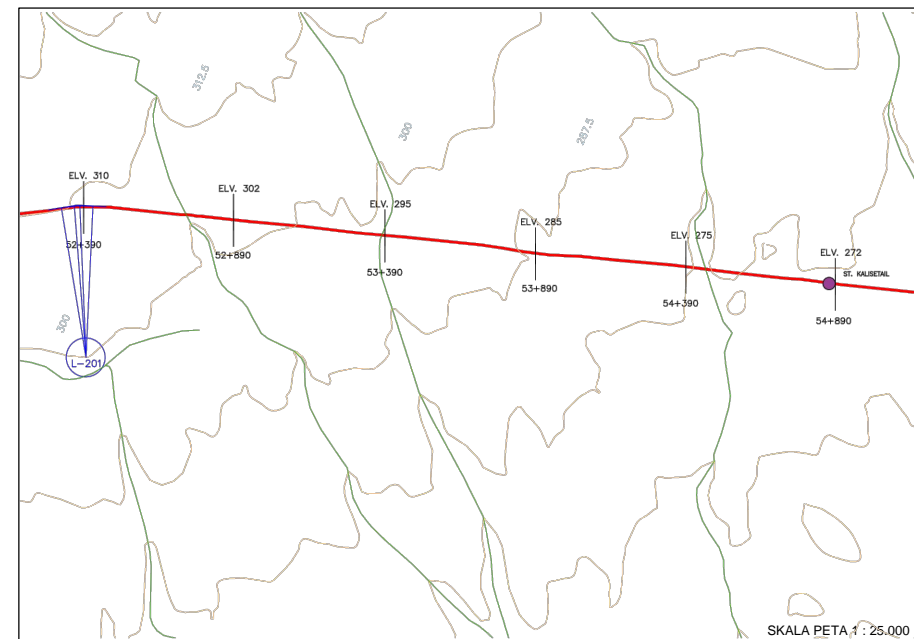
DATA TIKUNGAN L-201

$R = 500 \text{ m}$	$X_s = 86,69 \text{ m}$
$\Delta = 12^\circ$	$Y_s = 2,51 \text{ m}$
$h = 96,39 \text{ m}$	$k = 43,34 \text{ m}$
$Lh = 86,75 \text{ m}$	$p = 0,63 \text{ m}$
$Lc = 17,92 \text{ m}$	$Ts = 95,96 \text{ m}$
$\theta_s = 4,97^\circ$	$E = 3,38 \text{ m}$



DATA TIKUNGAN L-201

$R = 500 \text{ m}$	$X_s = 86,69 \text{ m}$
$\Delta = 12^\circ$	$Y_s = 2,51 \text{ m}$
$h = 96,39 \text{ m}$	$k = 43,34 \text{ m}$
$L_h = 86,75 \text{ m}$	$p = 0,63 \text{ m}$
$L_c = 17,92 \text{ m}$	$T_s = 95,96 \text{ m}$
$\theta_s = 4,97^\circ$	$E = 3,38 \text{ m}$



DATA TIKUNGAN L-202

R = 300 m	Xs = 80,23 m
$\Delta = 17^\circ$	Ys = 3,59 m
h = 108,6 m	k = 40,14 m
Lh = 80,37 m	p = 0,9 m
Lc = 8,6 m	Ts = 85,11 m
$\theta_s = 7,679^\circ$	E = 4,24 m

DATA TIKUNGAN L-203

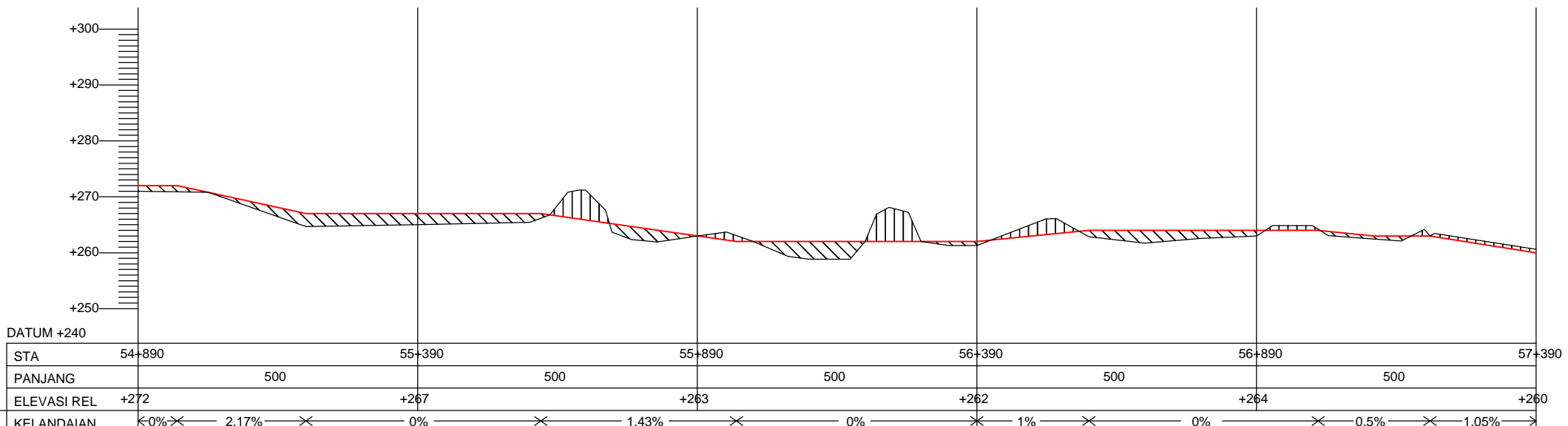
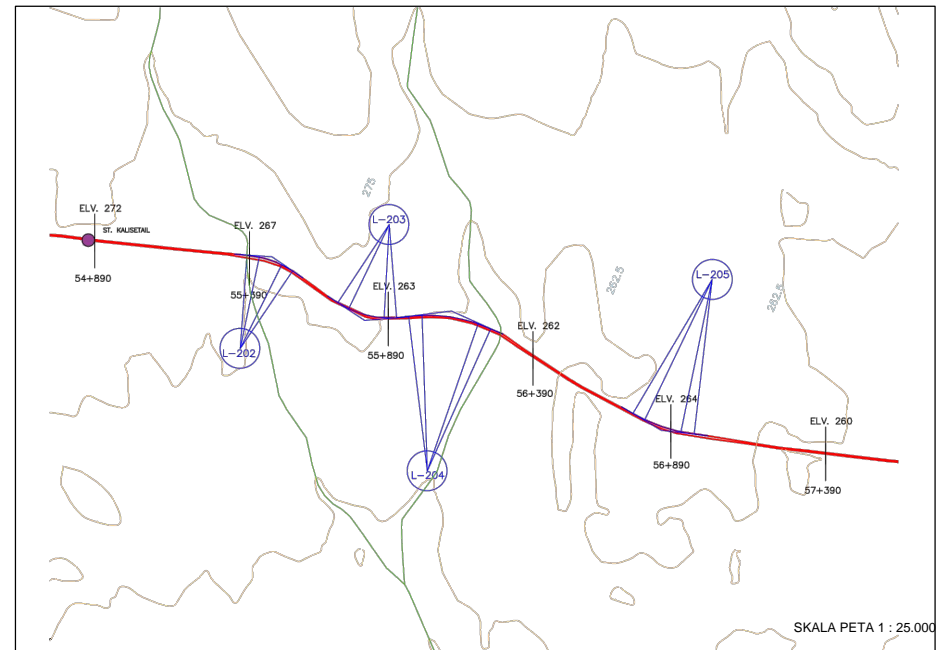
R = 300 m	Xs = 80,23 m
$\Delta = 38^\circ$	Ys = 3,59 m
h = 108,6 m	k = 40,14 m
Lh = 80,37 m	p = 0,9 m
Lc = 8,6 m	Ts = 143,75 m
$\theta_s = 7,679^\circ$	E = 18,24 m

DATA TIKUNGAN L-204

R = 500 m	Xs = 86,69 m
$\Delta = 31^\circ$	Ys = 2,51 m
h = 96,39 m	k = 43,34 m
Lh = 86,75 m	p = 0,63 m
Lc = 183,64 m	Ts = 182,18 m
$\theta_s = 4,973^\circ$	E = 19,52 m

DATA TIKUNGAN L-205

R = 500 m	Xs = 86,69 m
$\Delta = 24^\circ$	Ys = 2,51 m
h = 96,39 m	k = 43,34 m
Lh = 86,75 m	p = 0,63 m
Lc = 122,58 m	Ts = 149,75 m
$\theta_s = 4,973^\circ$	E = 11,81 m

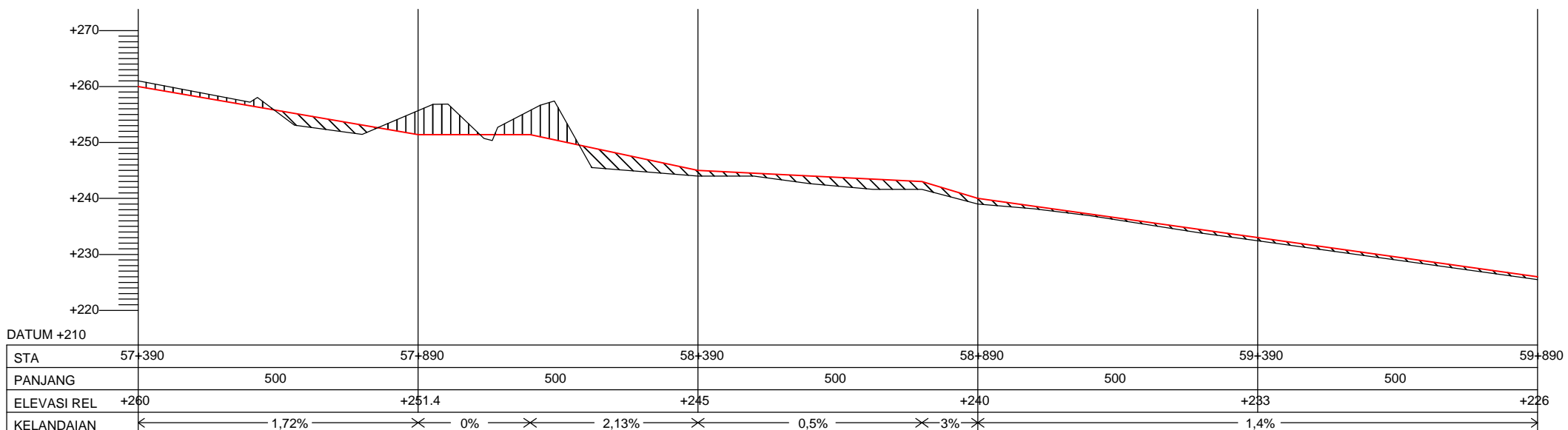
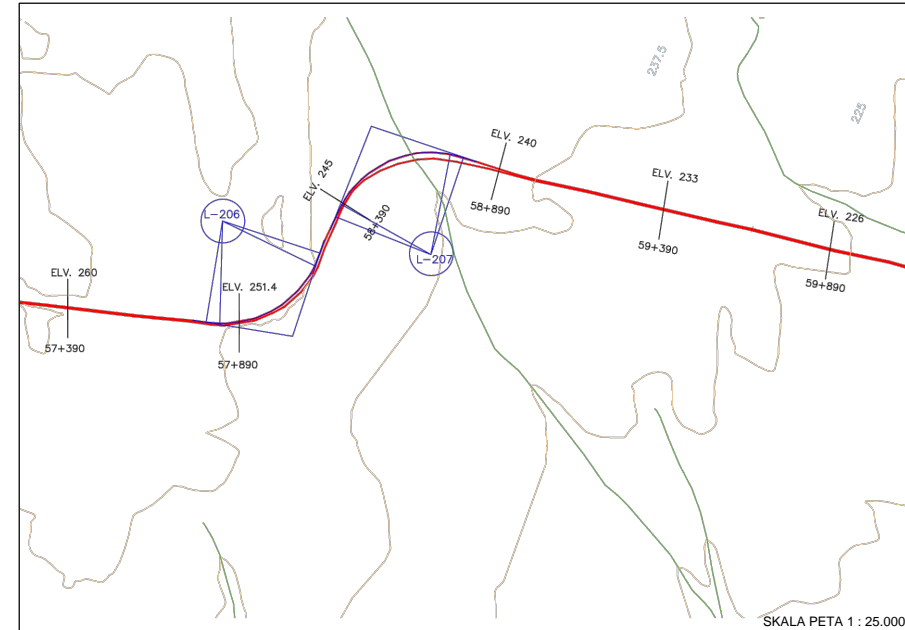


DATA TIKUNGAN L-206

R = 300 m	Xs = 80,23 m
$\Delta = 81^\circ$	Ys = 3,59 m
h = 108,6 m	k = 40,14 m
Lh = 80,37 m	p = 0,9 m
Lc = 343,53 m	Ts = 297,13 m
Os = 7,679°	E = 95,71 m

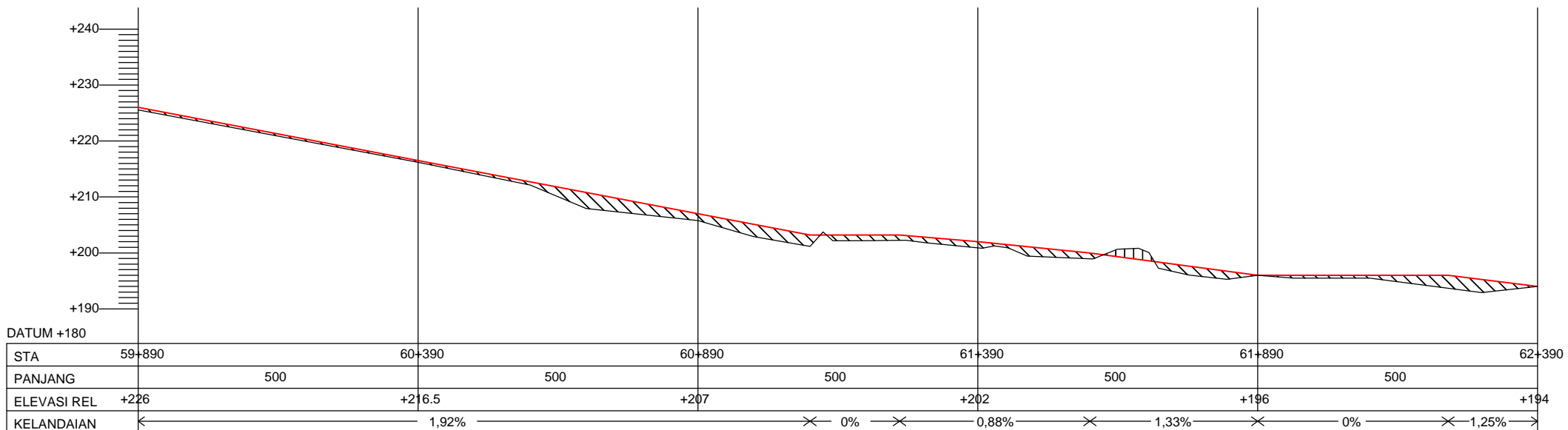
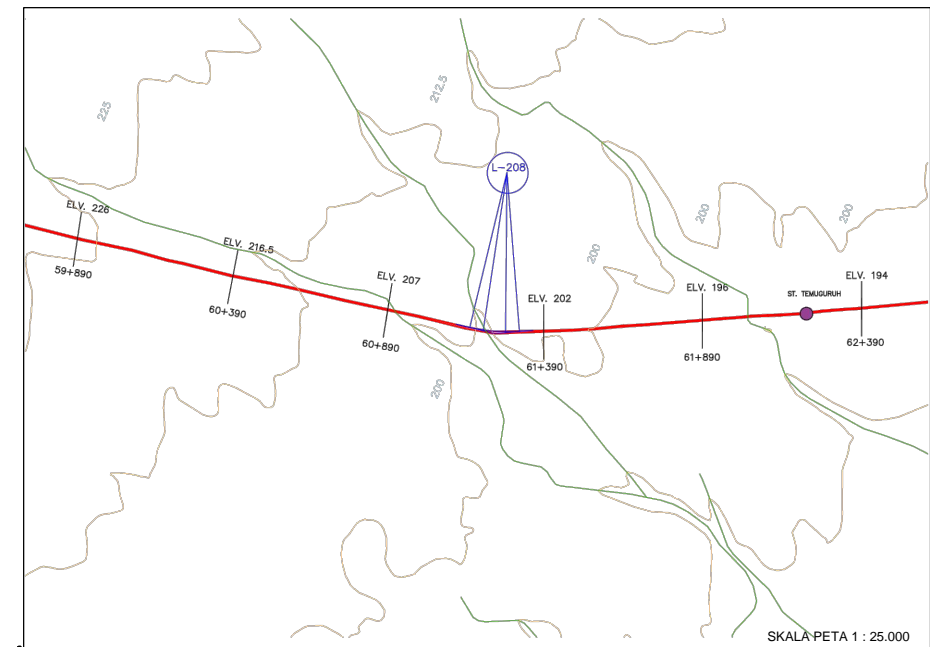
DATA TIKUNGAN L-207

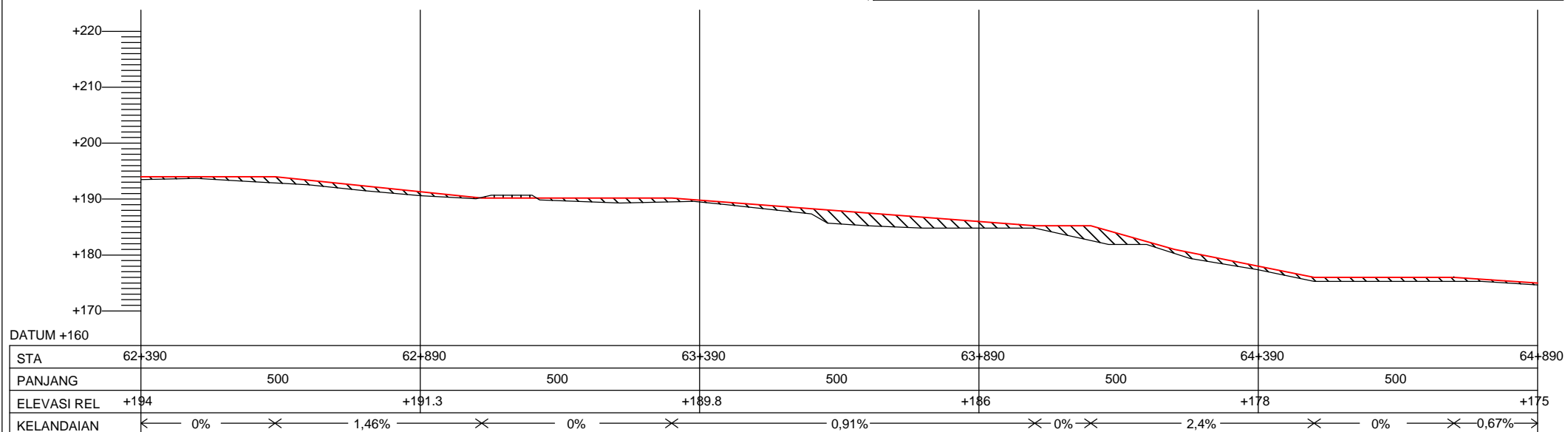
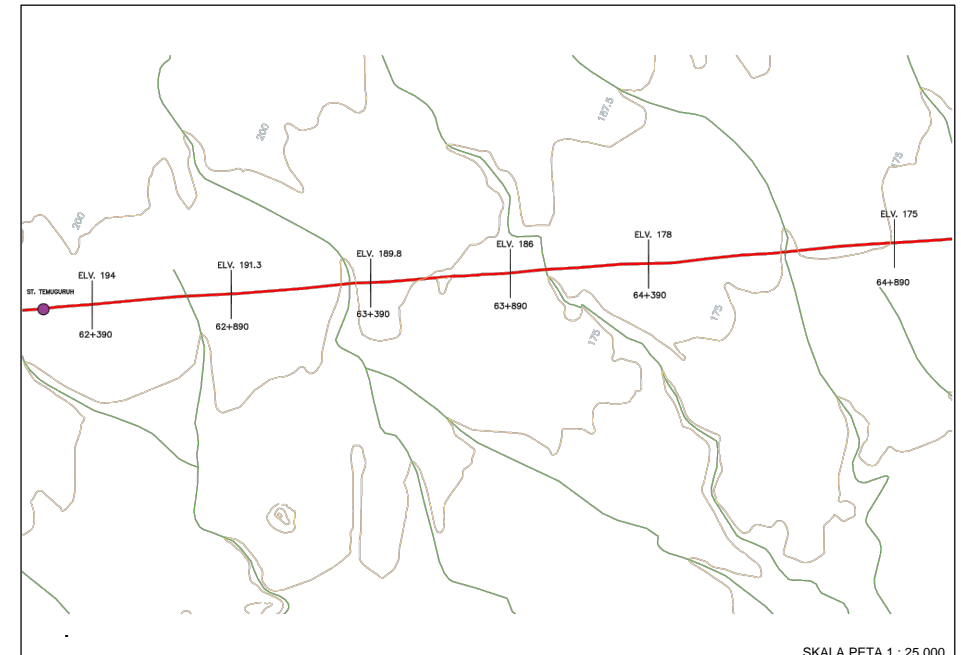
R = 300 m	Xs = 80,23 m
$\Delta = 87^\circ$	Ys = 3,59 m
h = 108,6 m	k = 40,14 m
Lh = 80,37 m	p = 0,9 m
Lc = 374,93 m	Ts = 325,68 m
Os = 7,679°	E = 114,82 m



DATA TIKUNGAN L-208

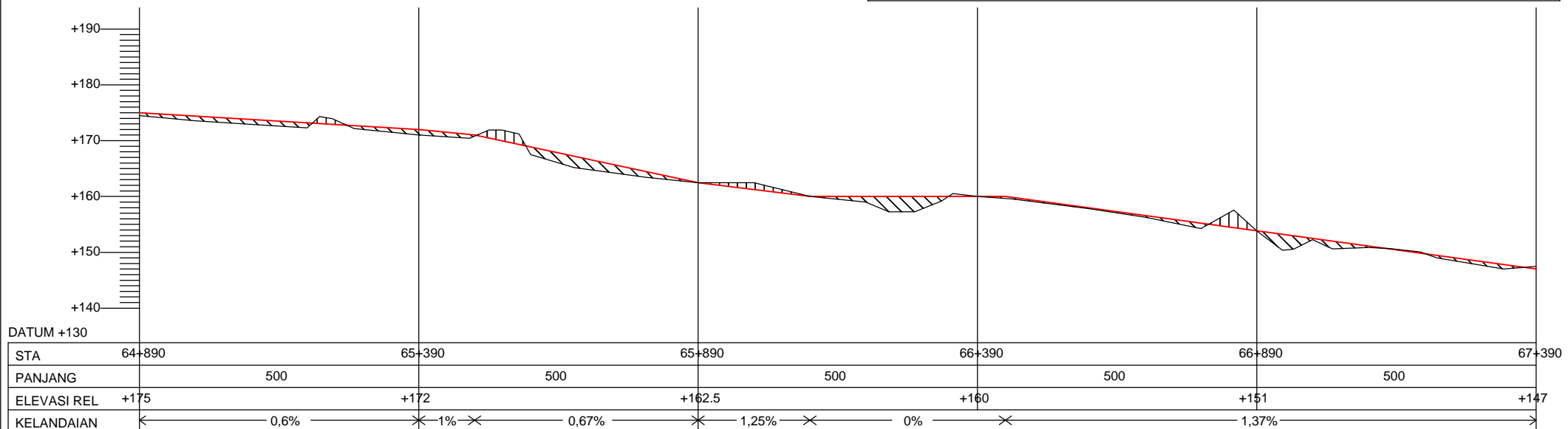
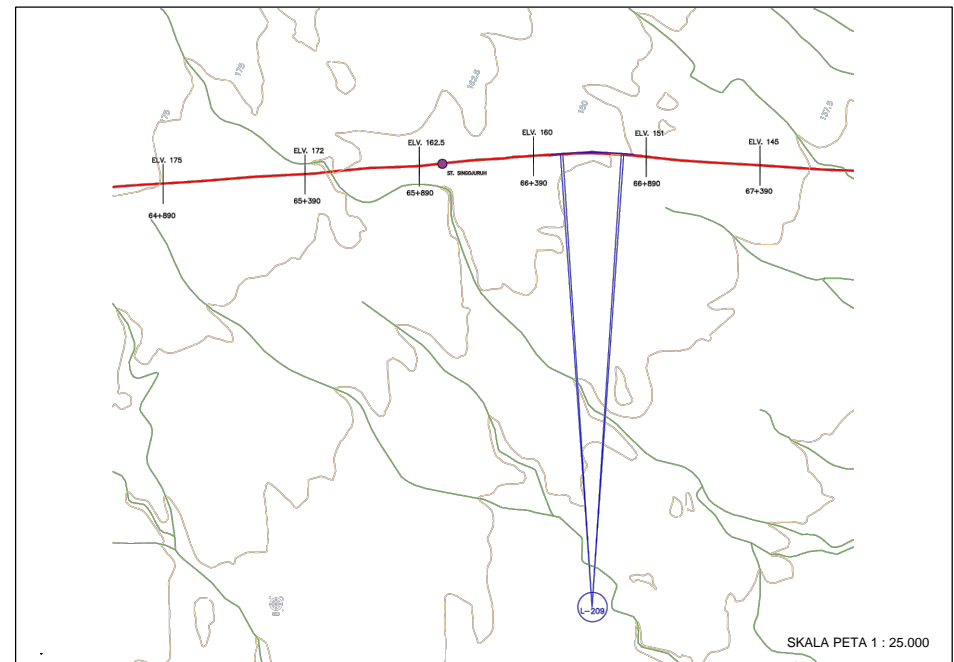
$R = 500 \text{ m}$	$X_s = 86,69 \text{ m}$
$\Delta = 18^\circ$	$Y_s = 2,51 \text{ m}$
$h = 96,39 \text{ m}$	$k = 43,34 \text{ m}$
$L_h = 86,75 \text{ m}$	$p = 0,63 \text{ m}$
$L_c = 70,25 \text{ m}$	$T_s = 122,63 \text{ m}$
$\theta_s = 4,973^\circ$	$E = 6,87 \text{ m}$

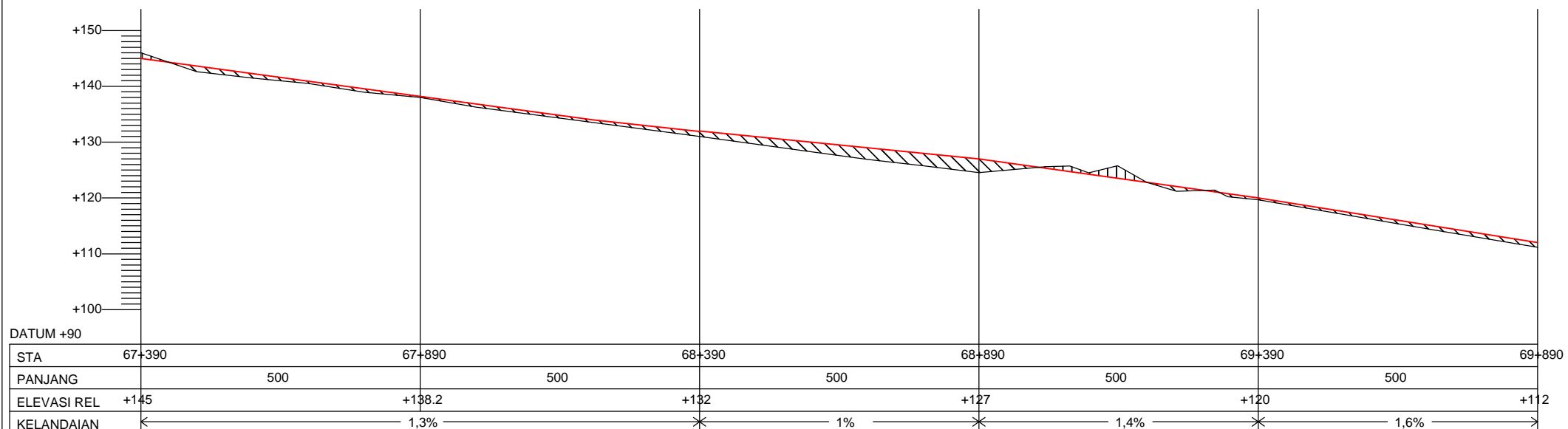
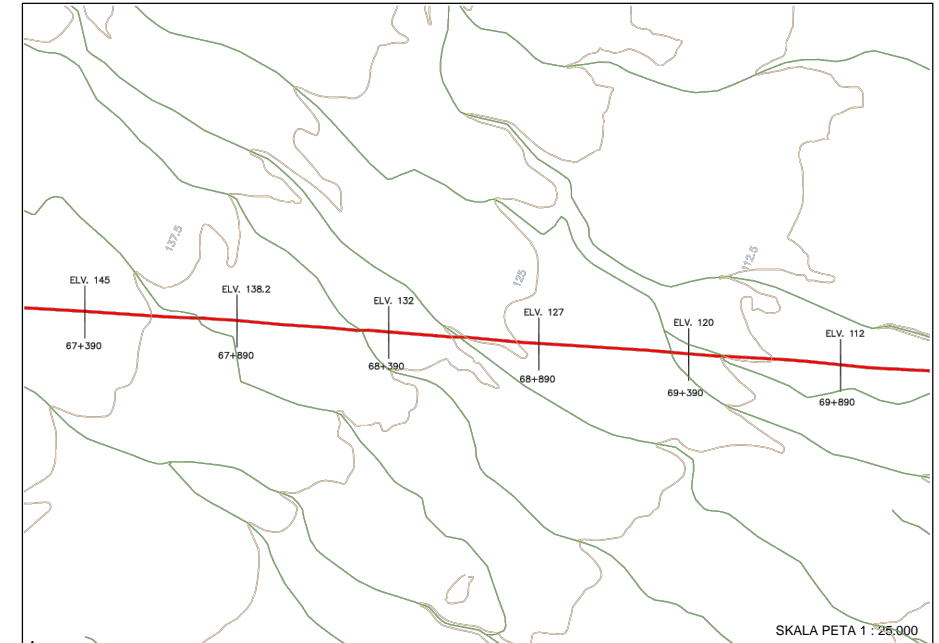




DATA TIKUNGAN L-209

$R = 2000 \text{ m}$	$X_s = 21,69 \text{ m}$
$\Delta = 8^\circ$	$Y_s = 0,04 \text{ m}$
$h = 24,1 \text{ m}$	$k = 10,84 \text{ m}$
$Lh = 21,69 \text{ m}$	$p = 0,01 \text{ m}$
$Lc = 257,42 \text{ m}$	$Ts = 150,69 \text{ m}$
$\theta_s = 0,311^\circ$	$E = 4,89 \text{ m}$



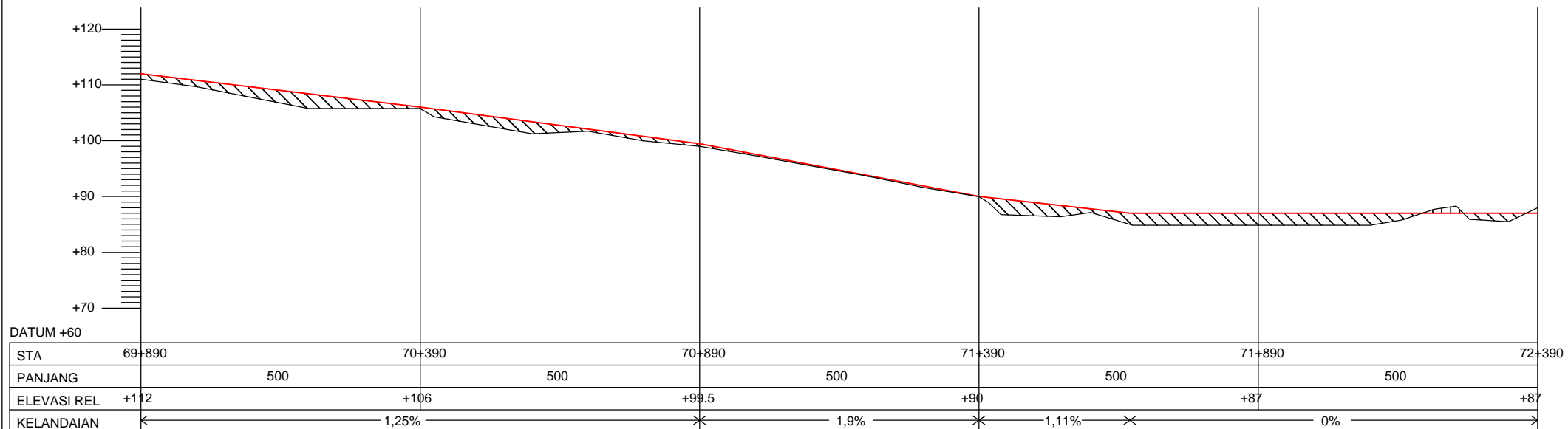
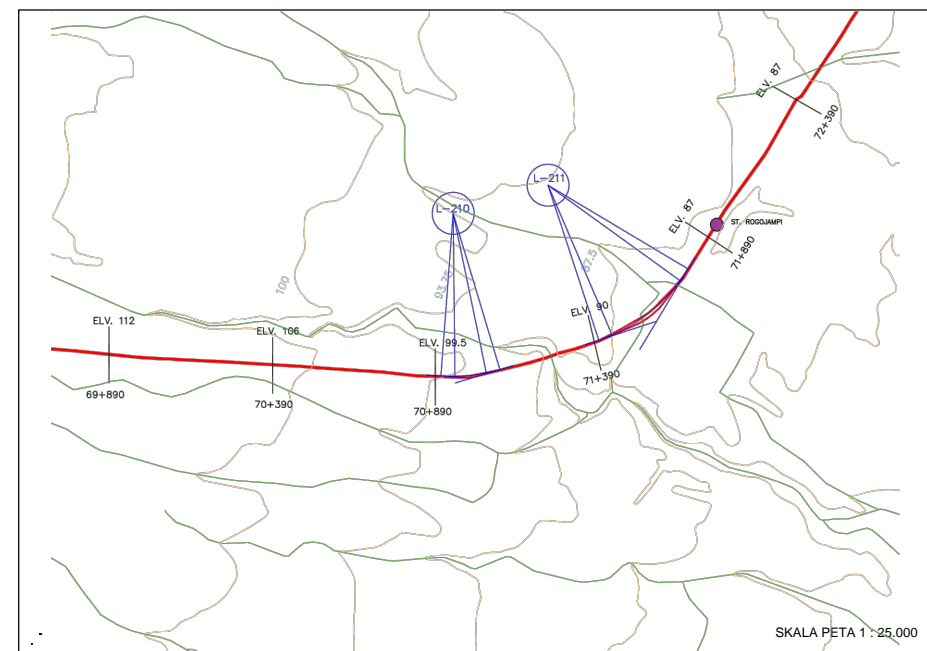


## DATA TIKUNGAN L-210

R = 500 m	Xs = 86,69 m
$\Delta = 21^\circ$	Ys = 2,51 m
h = 96,39 m	k = 43,34 m
Lh = 86,75 m	p = 0,63 m
Lc = 96,42 m	Ts = 136,13 m
0s = 4,973°	E = 9,15 m

## DATA TIKUNGAN L-211

R = 500 m	Xs = 86,69 m
$\Delta = 41^\circ$	Ys = 2,51 m
h = 96,39 m	k = 43,34 m
Lh = 86,75 m	p = 0,63 m
Lc = 270,86 m	Ts = 230,52 m
0s = 4,973°	E = 34,47 m



DATA TIKUNGAN L-212

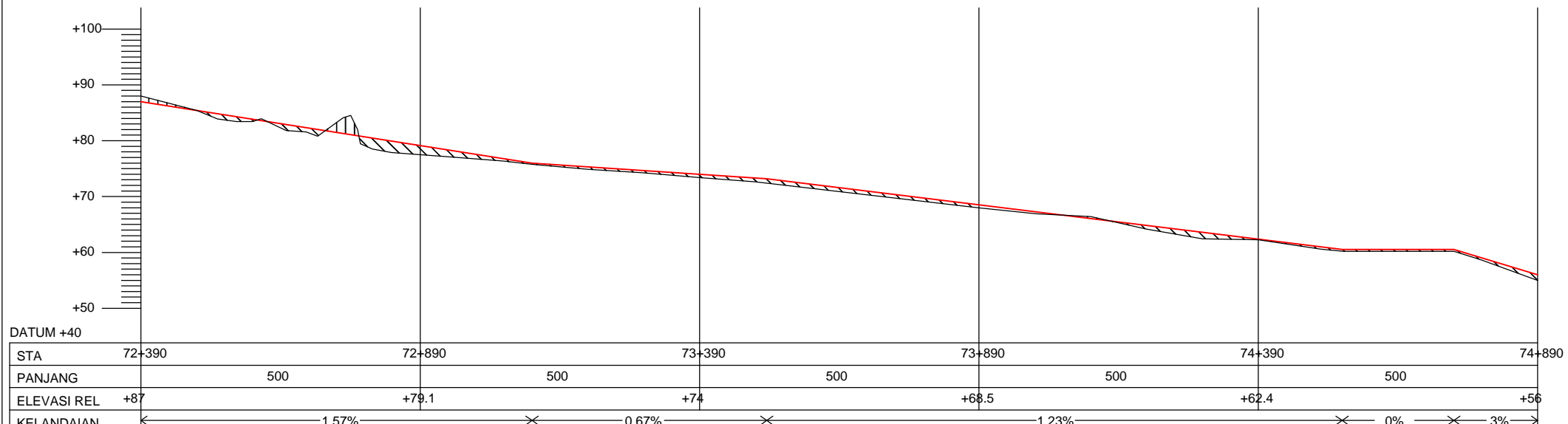
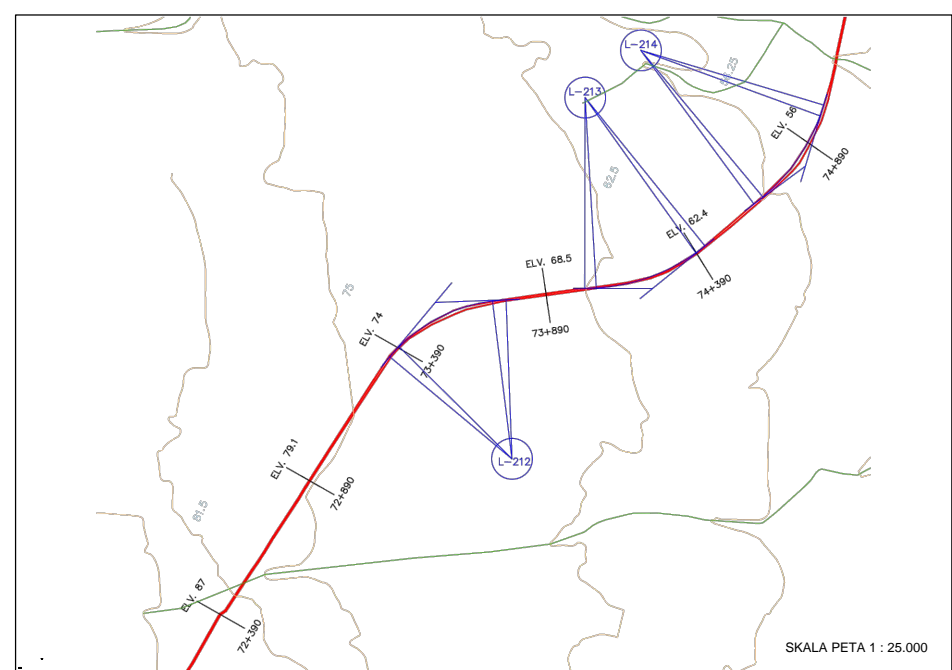
$R = 500 \text{ m}$	$X_s = 86,69 \text{ m}$
$\Delta = 48^\circ$	$Y_s = 2,51 \text{ m}$
$h = 96,39 \text{ m}$	$k = 43,34 \text{ m}$
$Lh = 86,75 \text{ m}$	$p = 0,63 \text{ m}$
$Lc = 331,92 \text{ m}$	$Ts = 266,24 \text{ m}$
$\theta_s = 4,973^\circ$	$E = 48 \text{ m}$

DATA TIKUNGAN L-213

$R = 600 \text{ m}$	$X_s = 72,27 \text{ m}$
$\Delta = 39^\circ$	$Y_s = 1,45 \text{ m}$
$h = 80,33 \text{ m}$	$k = 36,12 \text{ m}$
$Lh = 72,29 \text{ m}$	$p = 0,36 \text{ m}$
$Lc = 335,91 \text{ m}$	$Ts = 248,72 \text{ m}$
$\theta_s = 3,453^\circ$	$E = 36,89 \text{ m}$

DATA TIKUNGAN L-214

$R = 600 \text{ m}$	$X_s = 72,27 \text{ m}$
$\Delta = 37^\circ$	$Y_s = 1,45 \text{ m}$
$h = 80,33 \text{ m}$	$k = 36,12 \text{ m}$
$Lh = 72,29 \text{ m}$	$p = 0,36 \text{ m}$
$Lc = 314,97 \text{ m}$	$Ts = 237 \text{ m}$
$\theta_s = 3,453^\circ$	$E = 33,08 \text{ m}$

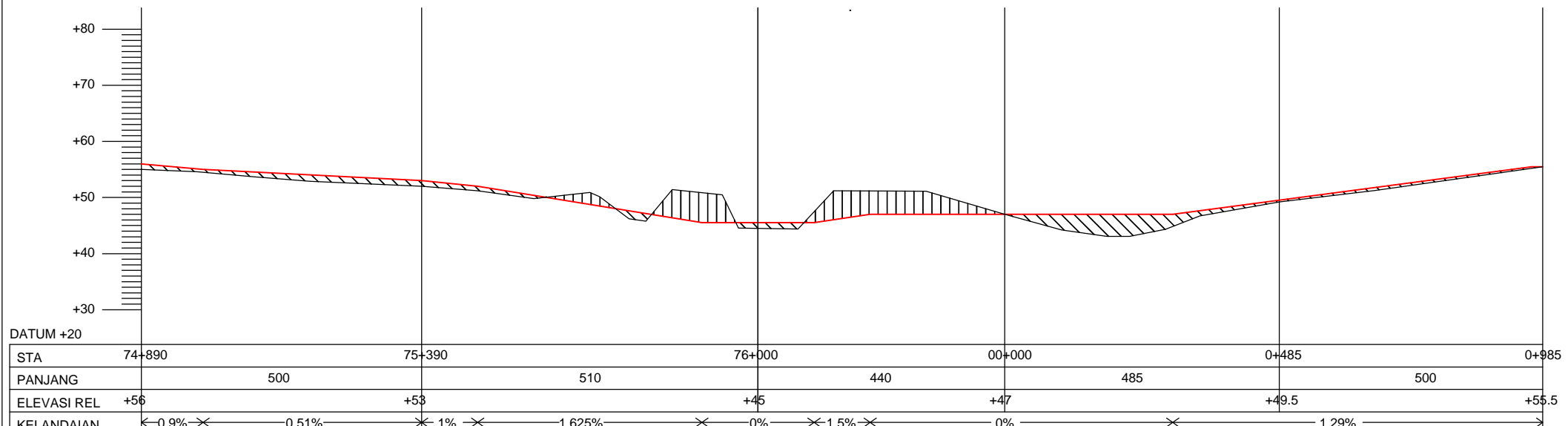
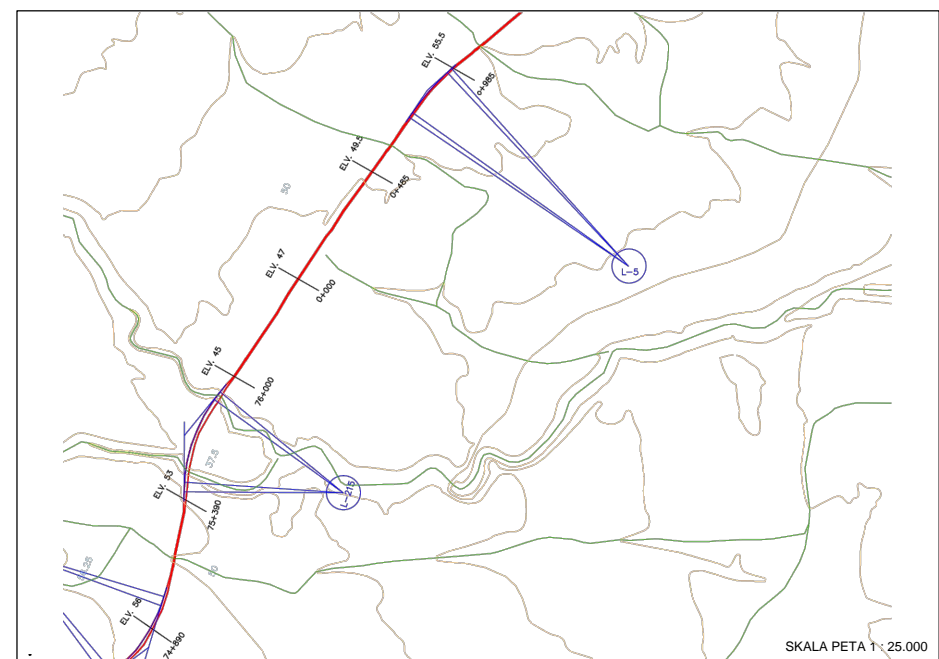


DATA TIKUNGAN L-215

$R = 400 \text{ m}$	$X_s = 94,48 \text{ m}$
$\Delta = 25^\circ$	$Y_s = 3,73 \text{ m}$
$h = 110 \text{ m}$	$k = 47,26 \text{ m}$
$Lh = 94,61 \text{ m}$	$p = 0,93 \text{ m}$
$Lc = 79,83 \text{ m}$	$Ts = 136,15 \text{ m}$
$0s = 6,78^\circ$	$E = 10,67 \text{ m}$

DATA TIKUNGAN L-5

$R = 1000 \text{ m}$	$X_s = 43,37 \text{ m}$
$\Delta = 14^\circ$	$Y_s = 0,31 \text{ m}$
$h = 48,2 \text{ m}$	$k = 21,68 \text{ m}$
$Lh = 43,38 \text{ m}$	$p = 0,08 \text{ m}$
$Lc = 200,85 \text{ m}$	$Ts = 144,47 \text{ m}$
$0s = 1,243^\circ$	$E = 7,59 \text{ m}$



DATA TIKUNGAN L-6

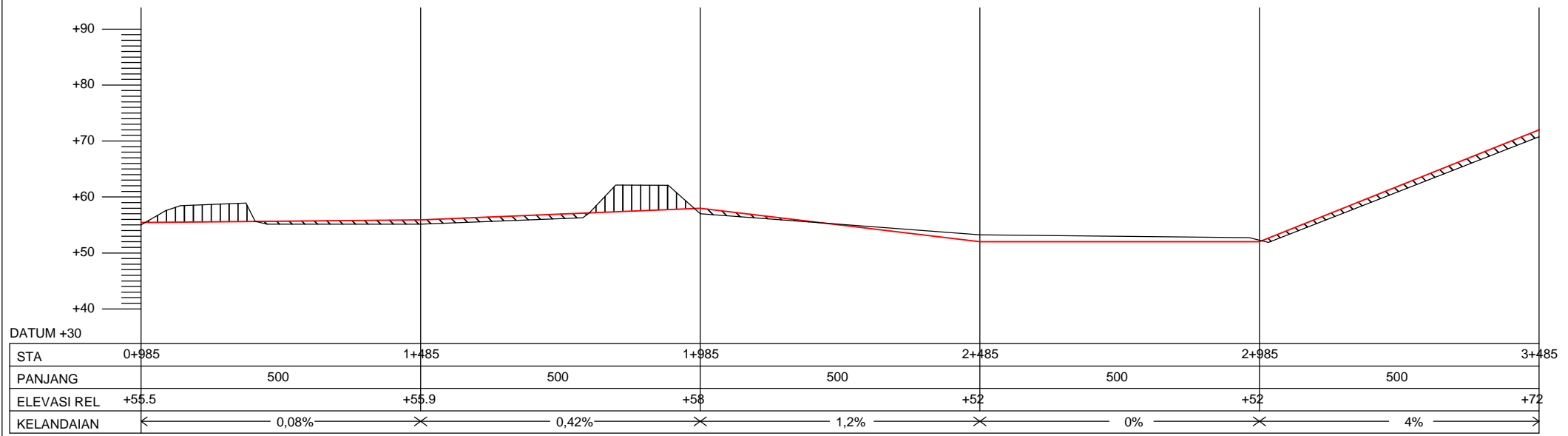
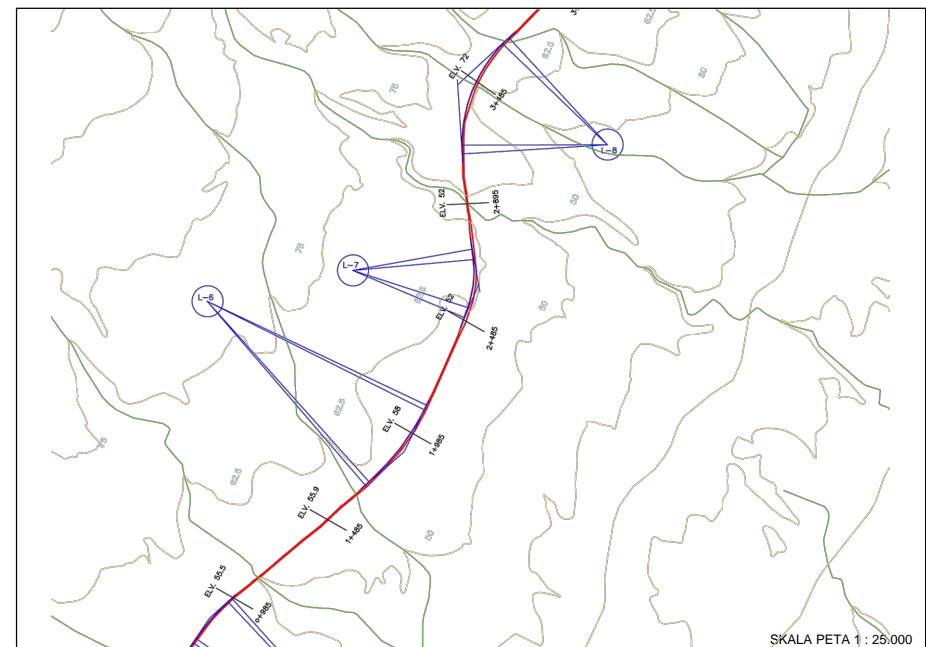
$R = 1000 \text{ m}$	$X_s = 43,37 \text{ m}$
$\Delta = 24^\circ$	$Y_s = 0,31 \text{ m}$
$h = 48,2 \text{ m}$	$k = 21,68 \text{ m}$
$Lh = 43,38 \text{ m}$	$p = 0,08 \text{ m}$
$Lc = 375,29 \text{ m}$	$Ts = 234,25 \text{ m}$
$0s = 1,243^\circ$	$E = 22,42 \text{ m}$

DATA TIKUNGAN L-7

$R = 500 \text{ m}$	$X_s = 86,69 \text{ m}$
$\Delta = 33^\circ$	$Y_s = 2,51 \text{ m}$
$h = 96,39 \text{ m}$	$k = 43,34 \text{ m}$
$Lh = 86,75 \text{ m}$	$p = 0,63 \text{ m}$
$Lc = 201,08 \text{ m}$	$Ts = 191,63 \text{ m}$
$0s = 4,973^\circ$	$E = 22,13 \text{ m}$

DATA TIKUNGAN L-8

$R = 600 \text{ m}$	$X_s = 72,27 \text{ m}$
$\Delta = 51^\circ$	$Y_s = 1,45 \text{ m}$
$h = 80,33 \text{ m}$	$k = 36,12 \text{ m}$
$Lh = 72,29 \text{ m}$	$p = 0,36 \text{ m}$
$Lc = 461,51 \text{ m}$	$Ts = 322,48 \text{ m}$
$0s = 3,453^\circ$	$E = 65,16 \text{ m}$



DATA TIKUNGAN L-9

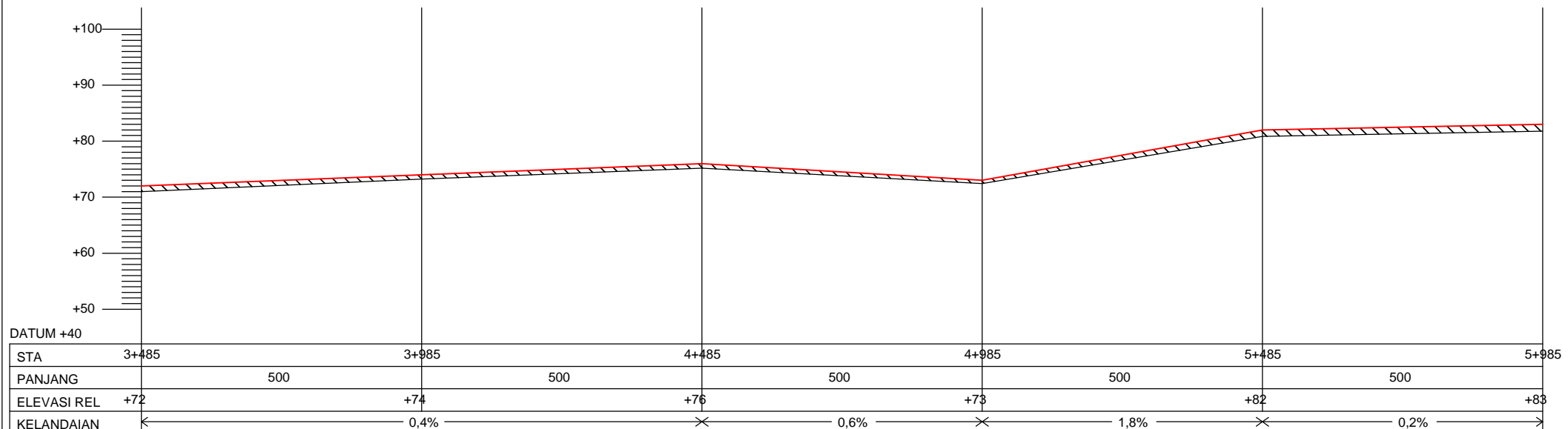
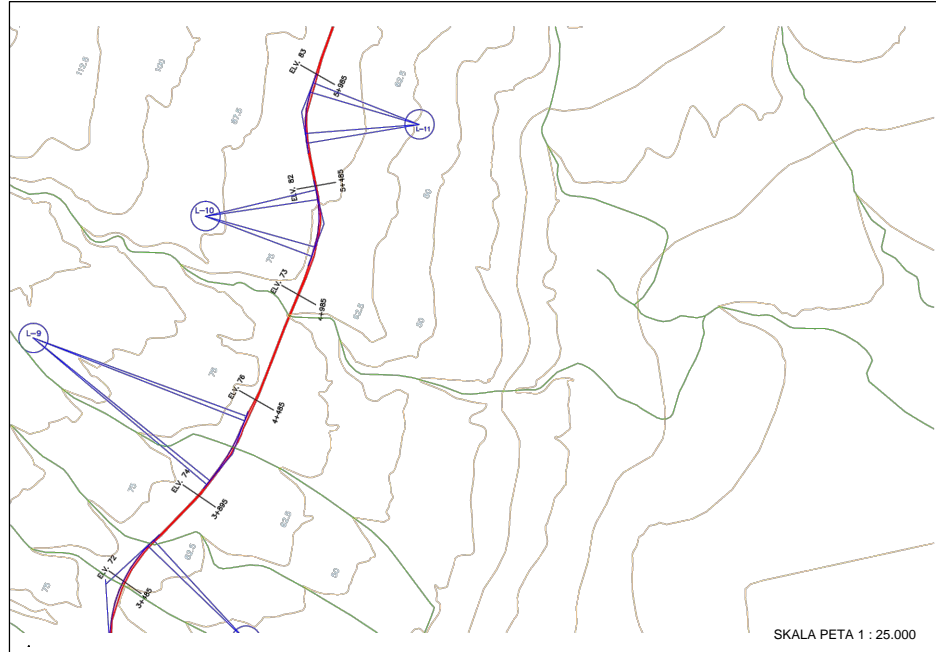
$R = 1000 \text{ m}$	$X_s = 43,37 \text{ m}$
$\Delta = 20^\circ$	$Y_s = 0,31 \text{ m}$
$h = 48,2 \text{ m}$	$k = 21,68 \text{ m}$
$Lh = 43,38 \text{ m}$	$p = 0,08 \text{ m}$
$Lc = 305,51 \text{ m}$	$Ts = 198,02 \text{ m}$
$\theta_s = 1,243^\circ$	$E = 15,51 \text{ m}$

DATA TIKUNGAN L-10

$R = 500 \text{ m}$	$X_s = 86,69 \text{ m}$
$\Delta = 34^\circ$	$Y_s = 2,51 \text{ m}$
$h = 96,39 \text{ m}$	$k = 43,34 \text{ m}$
$Lh = 86,75 \text{ m}$	$p = 0,63 \text{ m}$
$Lc = 209,8 \text{ m}$	$Ts = 196,4 \text{ m}$
$\theta_s = 4,973^\circ$	$E = 23,5 \text{ m}$

DATA TIKUNGAN L-11

$R = 500 \text{ m}$	$X_s = 86,69 \text{ m}$
$\Delta = 31^\circ$	$Y_s = 2,51 \text{ m}$
$h = 96,39 \text{ m}$	$k = 43,34 \text{ m}$
$Lh = 86,75 \text{ m}$	$p = 0,63 \text{ m}$
$Lc = 183,64 \text{ m}$	$Ts = 182,18 \text{ m}$
$\theta_s = 4,973^\circ$	$E = 19,52 \text{ m}$



## DATA TIKUNGAN L-12

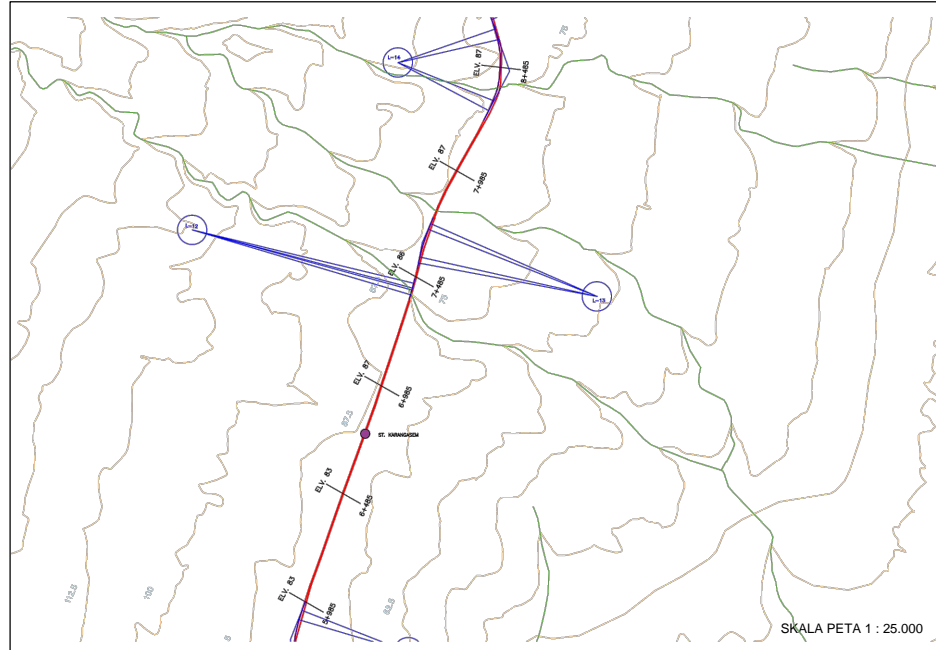
R = 1000 m	Xs = 43,37 m
$\Delta = 3^\circ$	Ys = 0,31 m
h = 48,2 m	k = 21,68 m
Lh = 43,38 m	p = 0,08 m
Lc = 8,96 m	Ts = 47,864 m
$\theta_s = 1,243^\circ$	E = 0,42 m

## DATA TIKUNGAN L-13

R = 800 m	Xs = 54,21 m
$\Delta = 13^\circ$	Ys = 0,61 m
h = 60,24 m	k = 27,09 m
Lh = 54,22 m	p = 0,15 m
Lc = 127,2 m	Ts = 118,26 m
$\theta_s = 1,943^\circ$	E = 5,33 m

## DATA TIKUNGAN L-14

R = 450 m	Xs = 96,28 m
$\Delta = 47^\circ$	Ys = 3,44 m
h = 107,1 m	k = 48,15 m
Lh = 96,39 m	p = 0,86 m
Lc = 272,56 m	Ts = 244,19 m
$\theta_s = 6,139^\circ$	E = 41,64 m



DATA TIKUNGAN L-15

$R = 450 \text{ m}$	$X_s = 96,28 \text{ m}$
$\Delta = 70^\circ$	$Y_s = 3,44 \text{ m}$
$h = 107,1 \text{ m}$	$k = 48,15 \text{ m}$
$Lh = 96,39 \text{ m}$	$p = 0,86 \text{ m}$
$Lc = 453,11 \text{ m}$	$Ts = 363,85 \text{ m}$
$\theta_s = 6,139^\circ$	$E = 100,4 \text{ m}$

DATA TIKUNGAN L-16

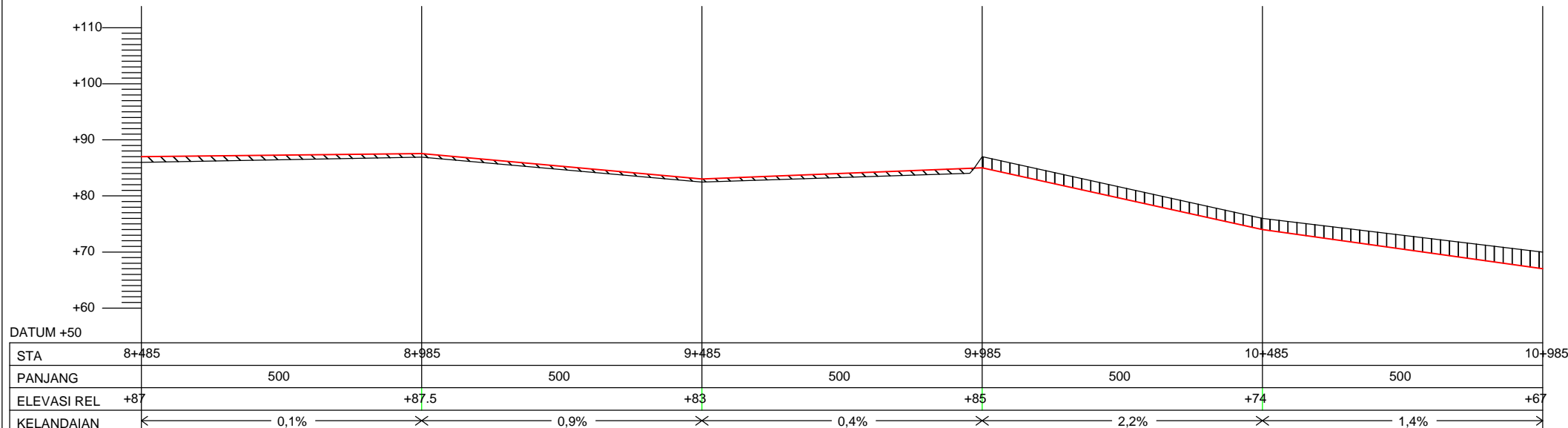
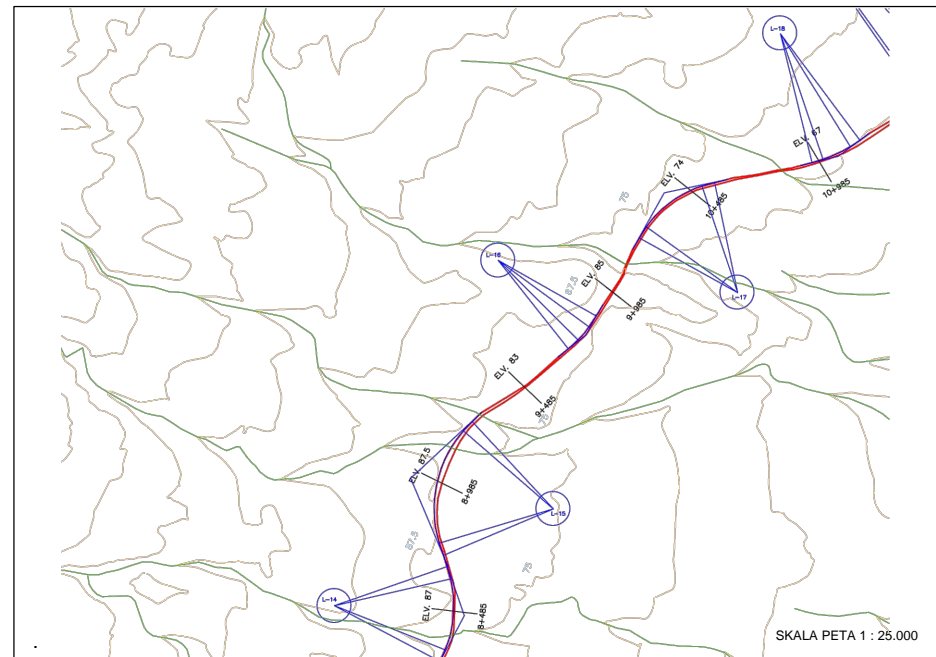
$R = 425 \text{ m}$	$X_s = 98,56 \text{ m}$
$\Delta = 22^\circ$	$Y_s = 3,82 \text{ m}$
$h = 110,9 \text{ m}$	$k = 49,3 \text{ m}$
$Lh = 98,7 \text{ m}$	$p = 0,96 \text{ m}$
$Lc = 64,41 \text{ m}$	$Ts = 132,1 \text{ m}$
$\theta_s = 6,656^\circ$	$E = 8,93 \text{ m}$

DATA TIKUNGAN L-17

$R = 425 \text{ m}$	$X_s = 98,56 \text{ m}$
$\Delta = 49^\circ$	$Y_s = 3,82 \text{ m}$
$h = 110,9 \text{ m}$	$k = 49,3 \text{ m}$
$Lh = 98,7 \text{ m}$	$p = 0,96 \text{ m}$
$Lc = 264,58 \text{ m}$	$Ts = 243,42 \text{ m}$
$\theta_s = 6,656^\circ$	$E = 43,1 \text{ m}$

DATA TIKUNGAN L-18

$R = 500 \text{ m}$	$X_s = 86,69 \text{ m}$
$\Delta = 23^\circ$	$Y_s = 2,51 \text{ m}$
$h = 96,39 \text{ m}$	$k = 43,34 \text{ m}$
$Lh = 86,75 \text{ m}$	$p = 0,63 \text{ m}$
$Lc = 113,86 \text{ m}$	$Ts = 145,2 \text{ m}$
$\theta_s = 4,973^\circ$	$E = 10,88 \text{ m}$



## DATA TIKUNGAN L-18

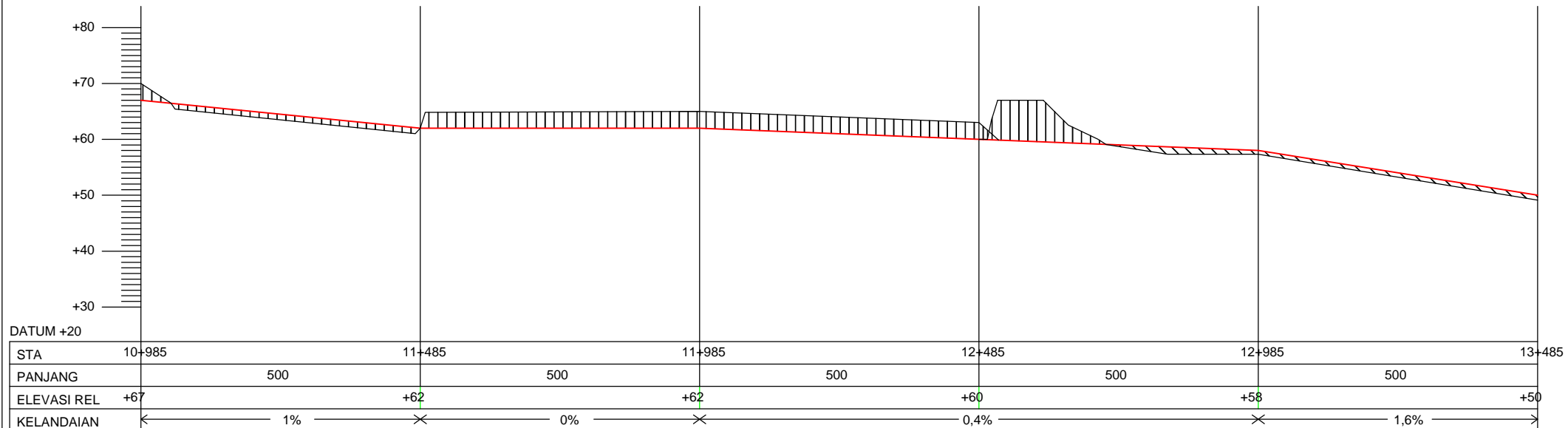
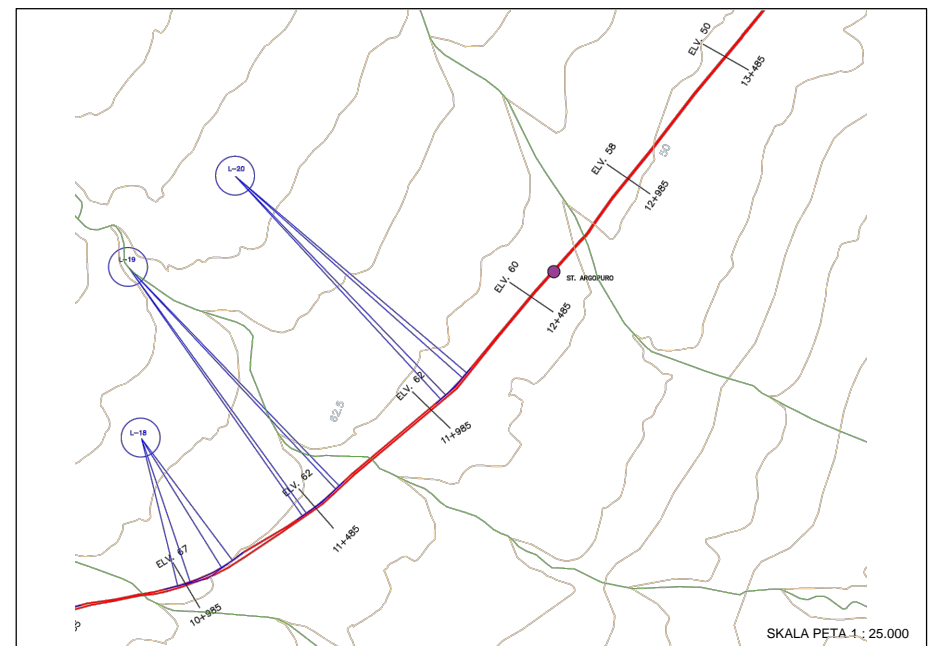
R = 500 m	Xs = 86,69 m
$\Delta = 23^\circ$	Ys = 2,51 m
h = 96,39 m	k = 43,34 m
Lh = 86,75 m	p = 0,63 m
Lc = 113,86 m	Ts = 145,2 m
$\theta_s = 4,973^\circ$	E = 10,88 m

## DATA TIKUNGAN L-19

R = 1000 m	Xs = 43,37 m
$\Delta = 9^\circ$	Ys = 0,31 m
h = 48,2 m	k = 21,68 m
Lh = 43,38 m	p = 0,08 m
Lc = 113,62 m	Ts = 100,38 m
$\theta_s = 1,243^\circ$	E = 3,17 m

## DATA TIKUNGAN L-20

R = 1000 m	Xs = 43,37 m
$\Delta = 7^\circ$	Ys = 0,31 m
h = 48,2 m	k = 21,68 m
Lh = 43,38 m	p = 0,08 m
Lc = 78,74 m	Ts = 82,844 m
$\theta_s = 1,243^\circ$	E = 1,95 m

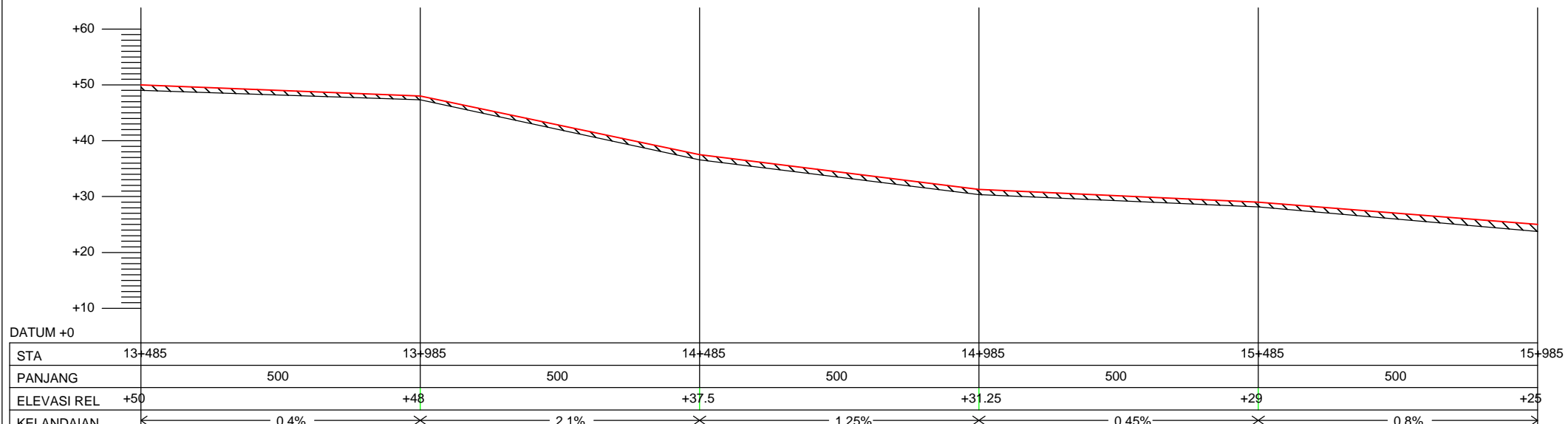
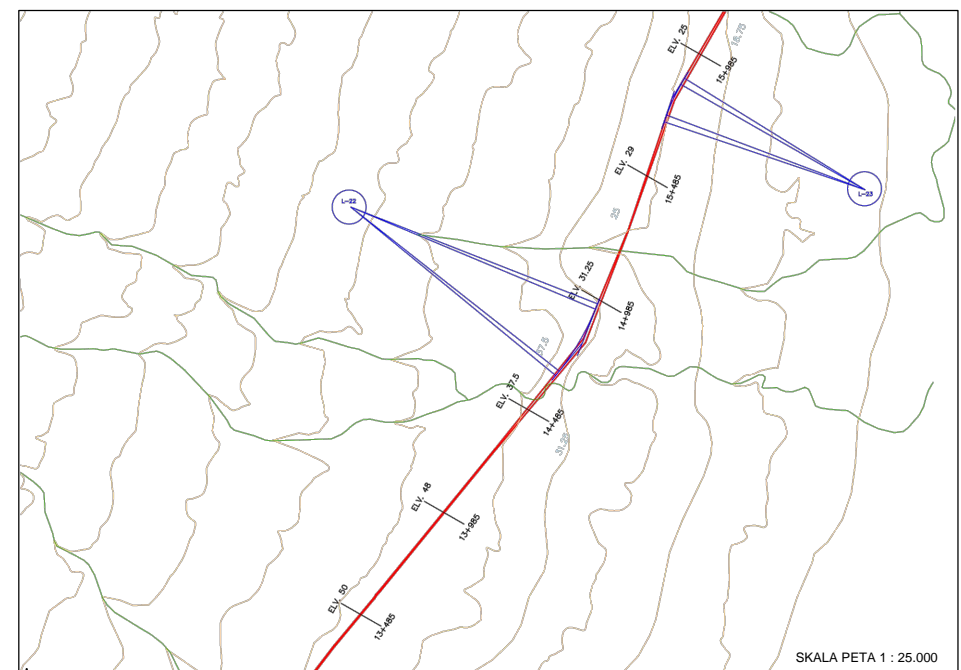


DATA TIKUNGAN L-22

$R = 1000 \text{ m}$	$X_s = 43,37 \text{ m}$
$\Delta = 18^\circ$	$Y_s = 0,31 \text{ m}$
$h = 48,2 \text{ m}$	$k = 21,68 \text{ m}$
$L_h = 43,38 \text{ m}$	$p = 0,08 \text{ m}$
$L_c = 270,62 \text{ m}$	$T_s = 180,07 \text{ m}$
$\theta_s = 1,243^\circ$	$E = 12,54 \text{ m}$

DATA TIKUNGAN L-23

$R = 800 \text{ m}$	$X_s = 54,21 \text{ m}$
$\Delta = 13^\circ$	$Y_s = 0,61 \text{ m}$
$h = 60,24 \text{ m}$	$k = 27,09 \text{ m}$
$L_h = 54,22 \text{ m}$	$p = 0,15 \text{ m}$
$L_c = 127,2 \text{ m}$	$T_s = 118,26 \text{ m}$
$\theta_s = 1,943^\circ$	$E = 5,33 \text{ m}$

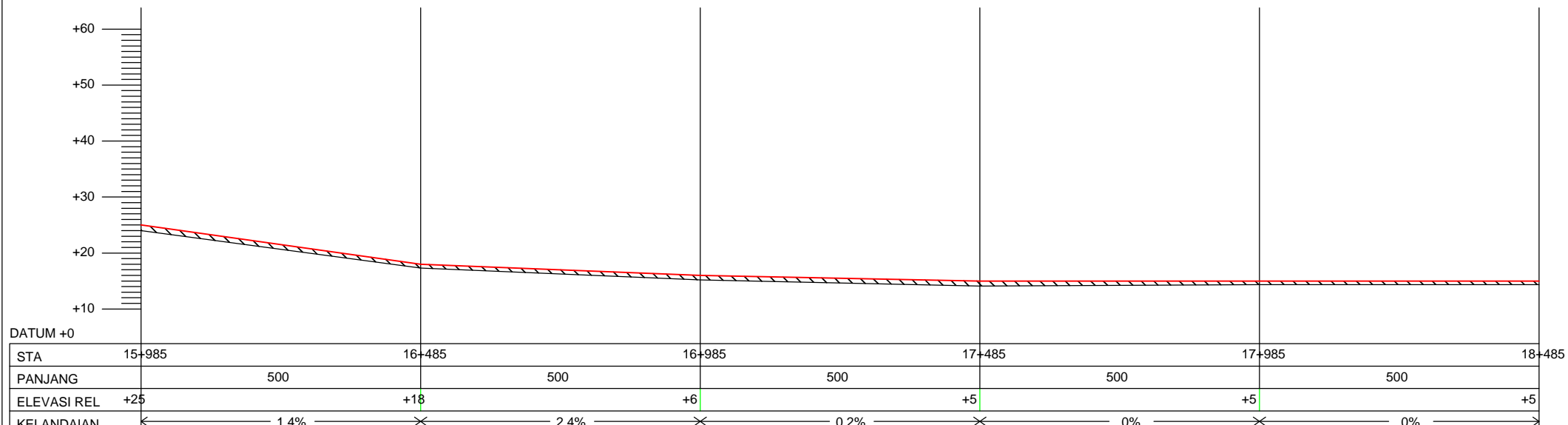
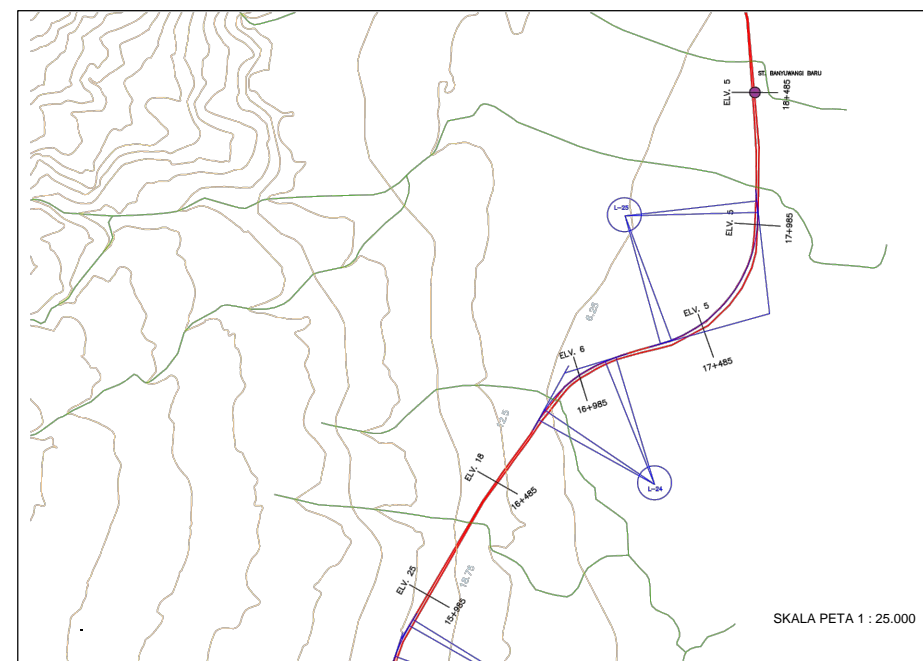


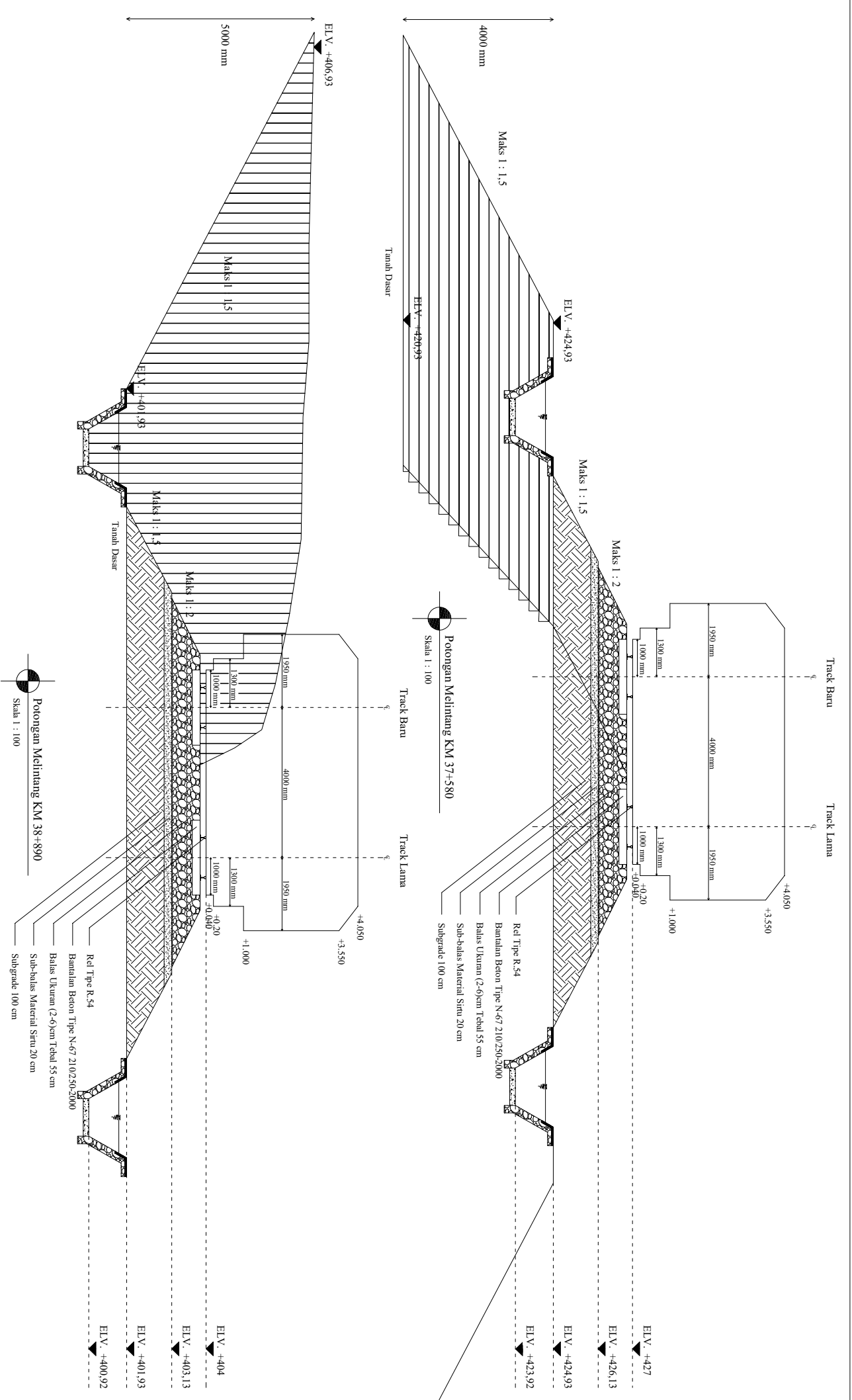
## DATA TIKUNGAN L-24

R = 500 m	Xs = 86,69 m
$\Delta = 44^\circ$	Ys = 2,51 m
h = 96,39 m	k = 43,34 m
Lh = 86,75 m	p = 0,63 m
Lc = 297,03 m	Ts = 245,61 m
$\theta_s = 4,973^\circ$	E = 39,94 m

## DATA TIKUNGAN L-25

R = 500 m	Xs = 86,69 m
$\Delta = 81^\circ$	Ys = 2,51 m
h = 96,39 m	k = 43,34 m
Lh = 86,75 m	p = 0,63 m
Lc = 619,75 m	Ts = 470,92 m
$\theta_s = 4,973^\circ$	E = 158,37 m





DESAIN GEOMETRIK, STRUKTUR, BESERTA METODE PELAKSANAAN

PEMBANGUNAN JALUR REL GANDA (DOUBLE TRACK) TRASE

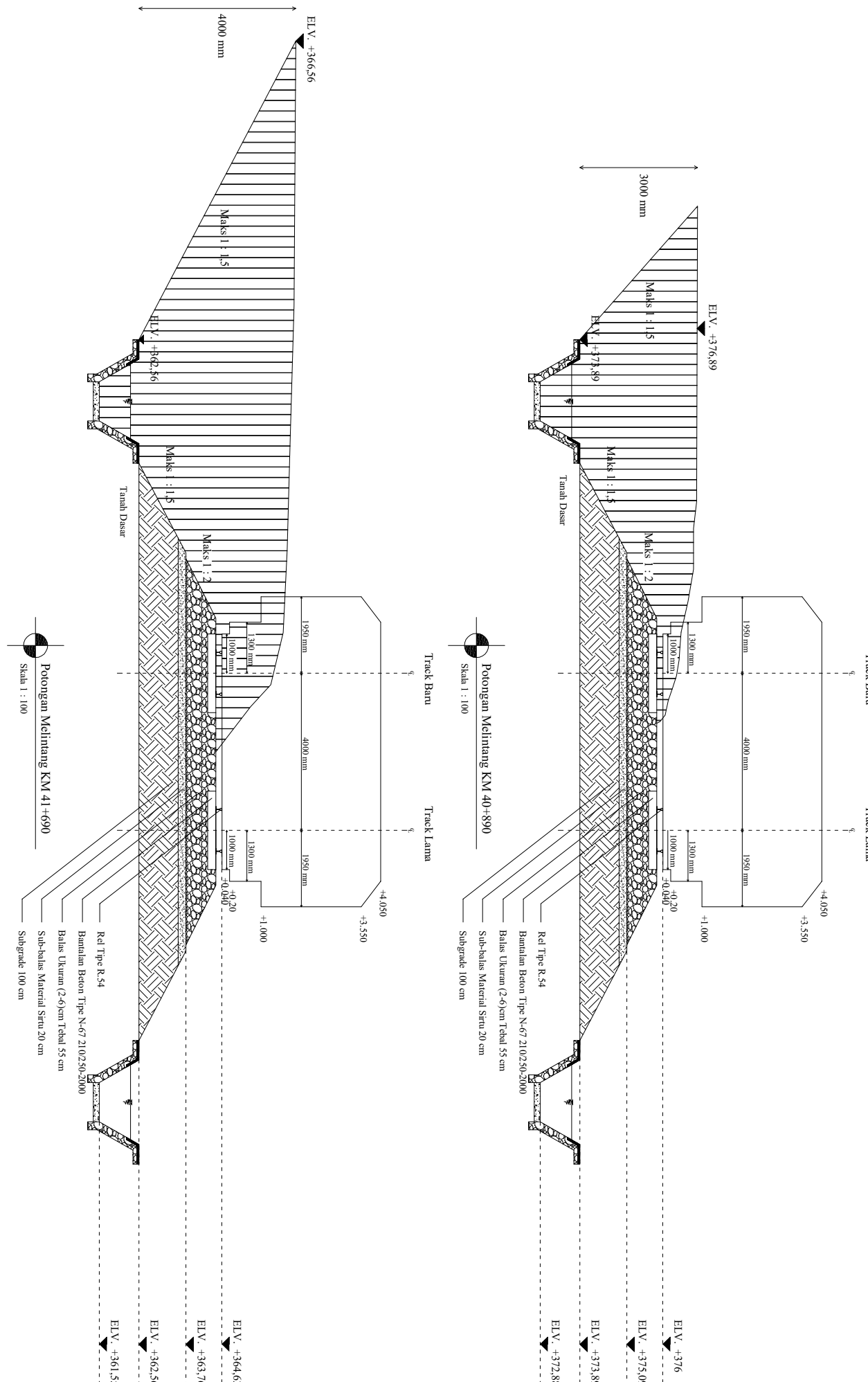
BANYUWANGI BARU-KALIBARU, KAB. BANYUWANGI

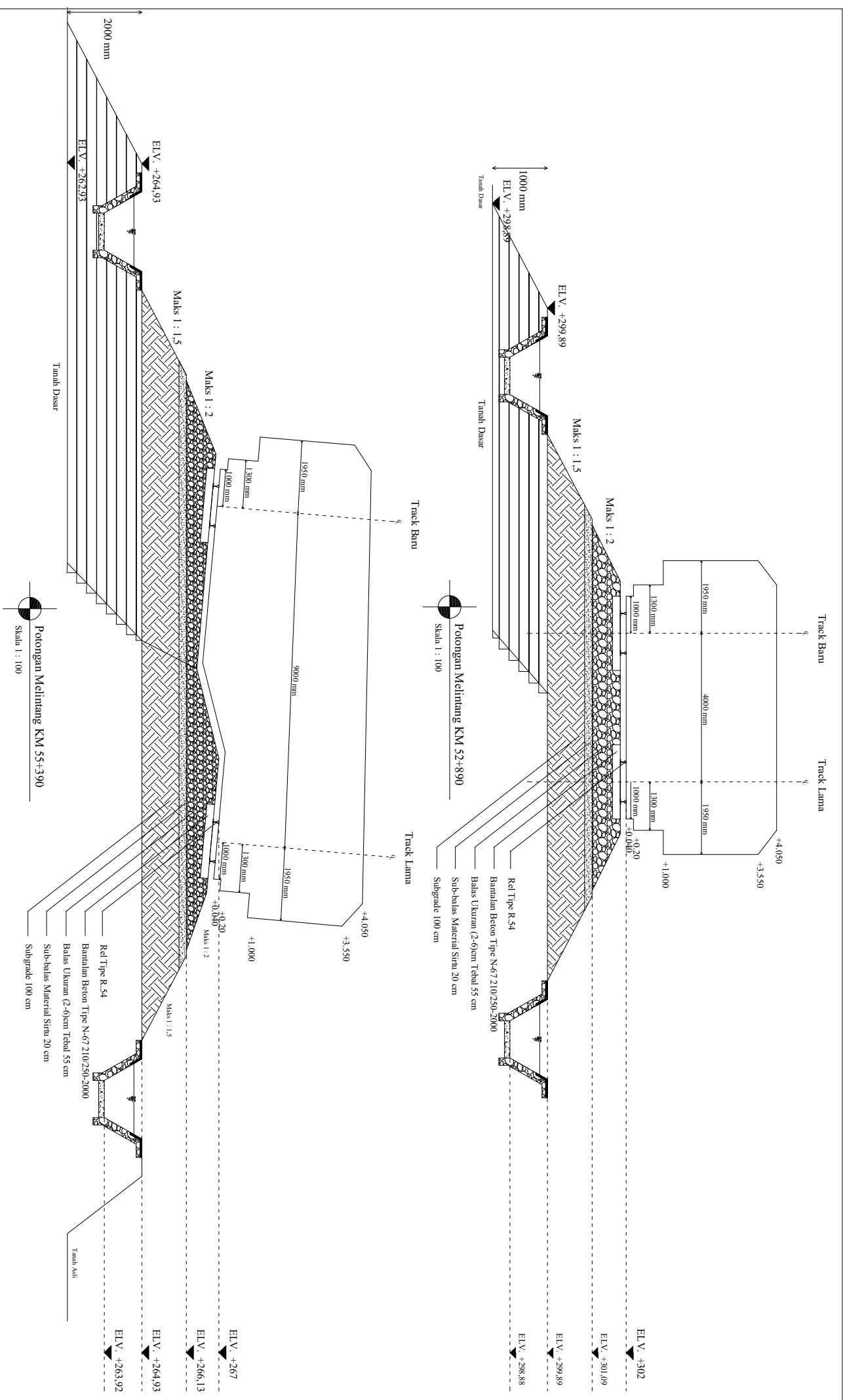


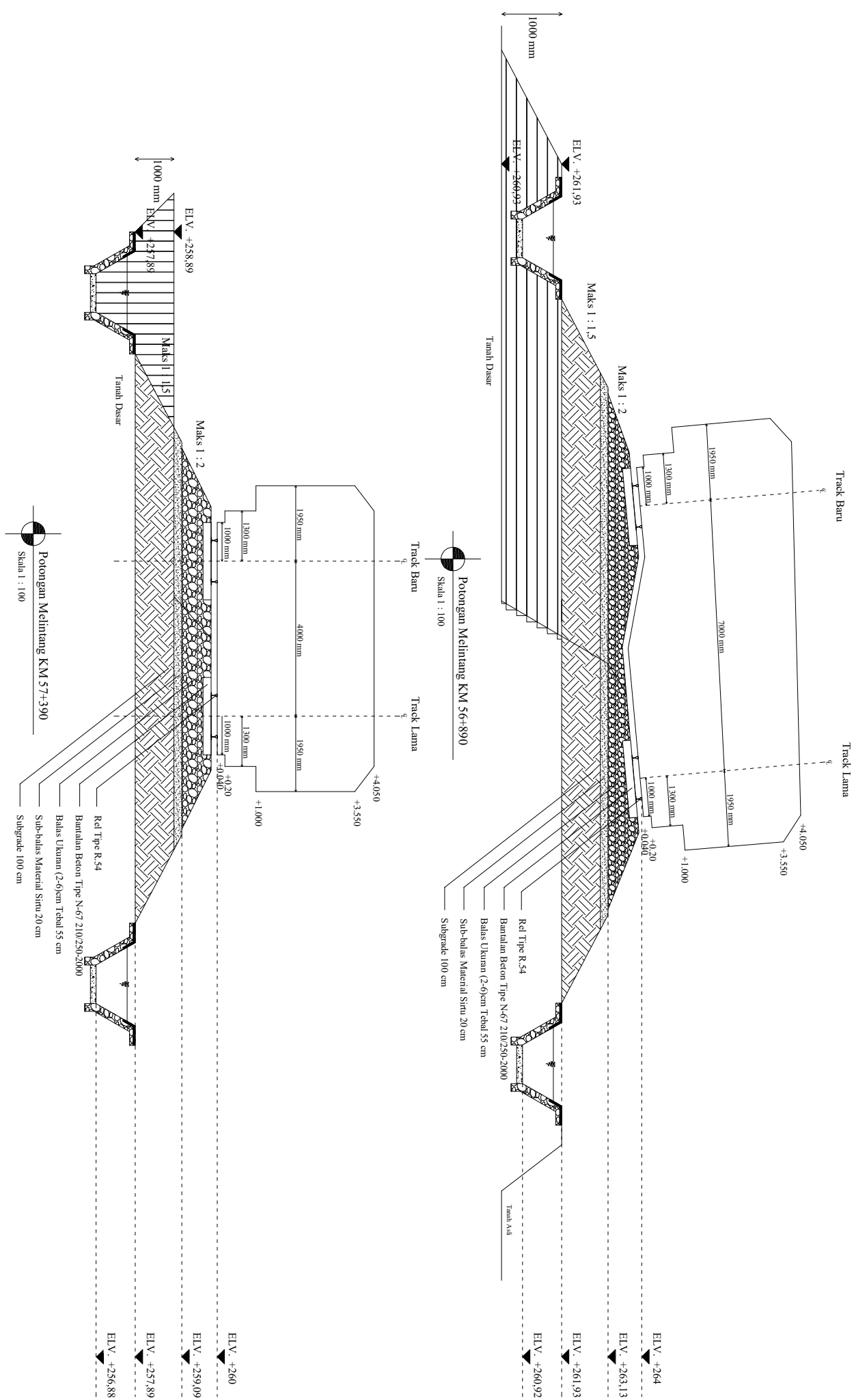
**ITS**  
Institut  
Teknologi  
Sepuluh Nopember

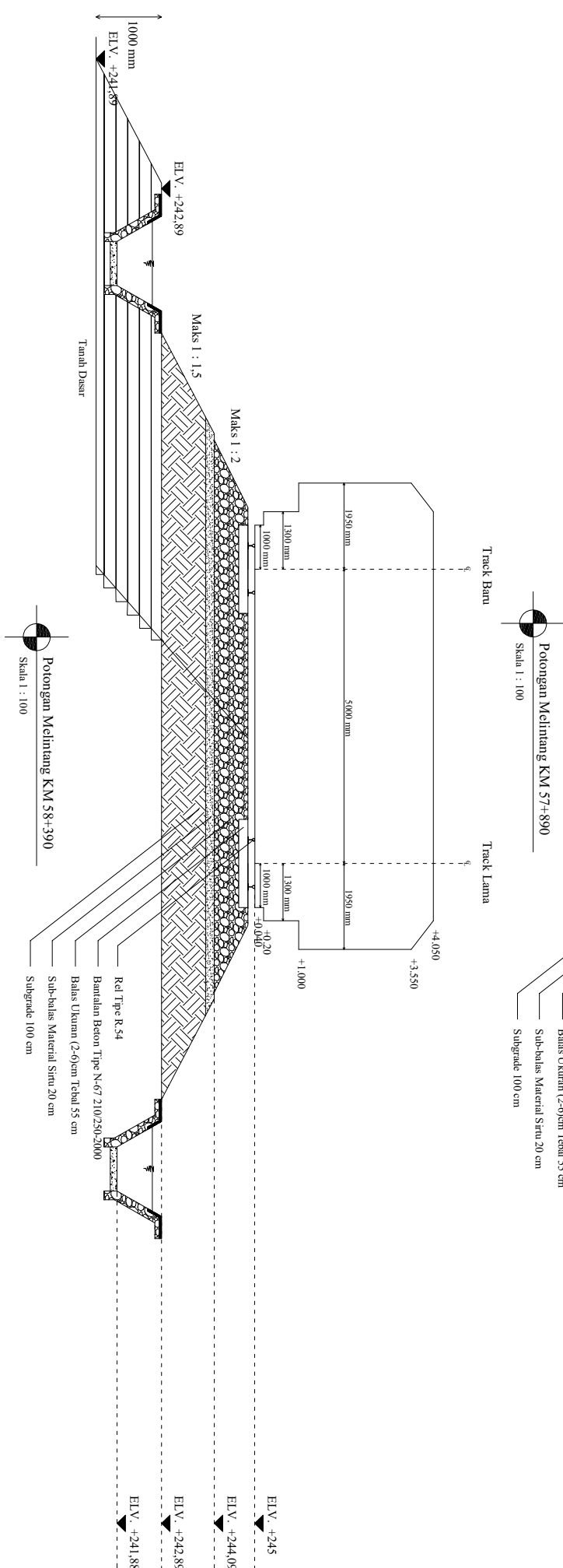
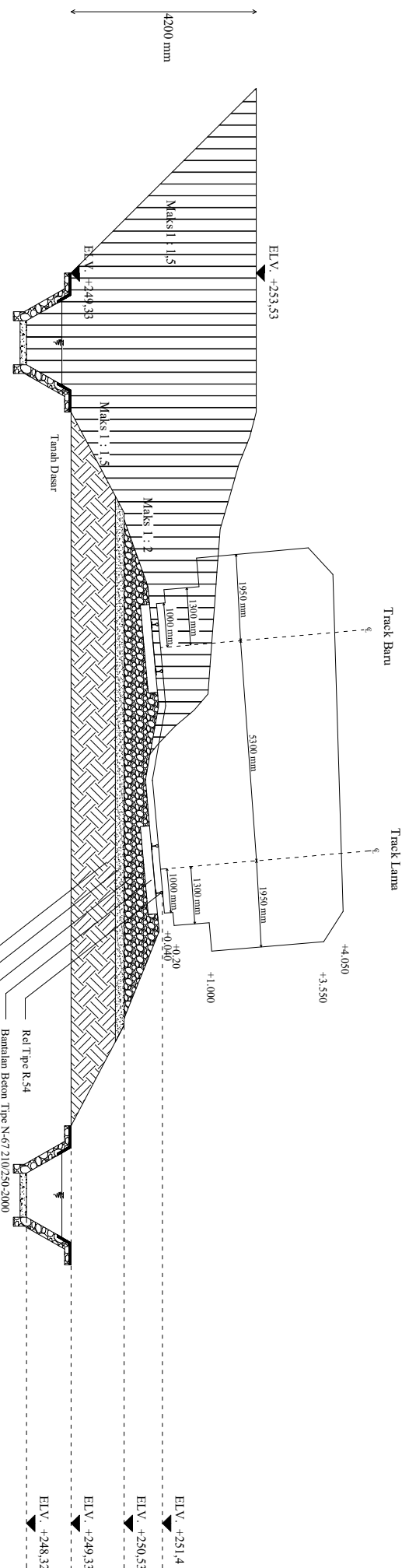
DESAIN GEOMETRIK, STRUKTUR, BESERTA METODE PELAKSANAAN

**PEMBANGUNAN JALUR REL GANDA (DOUBLE TRACK) TRASEE  
BANYUWANGI BARU-KALIBARU, KAB. BANYUWANGI**





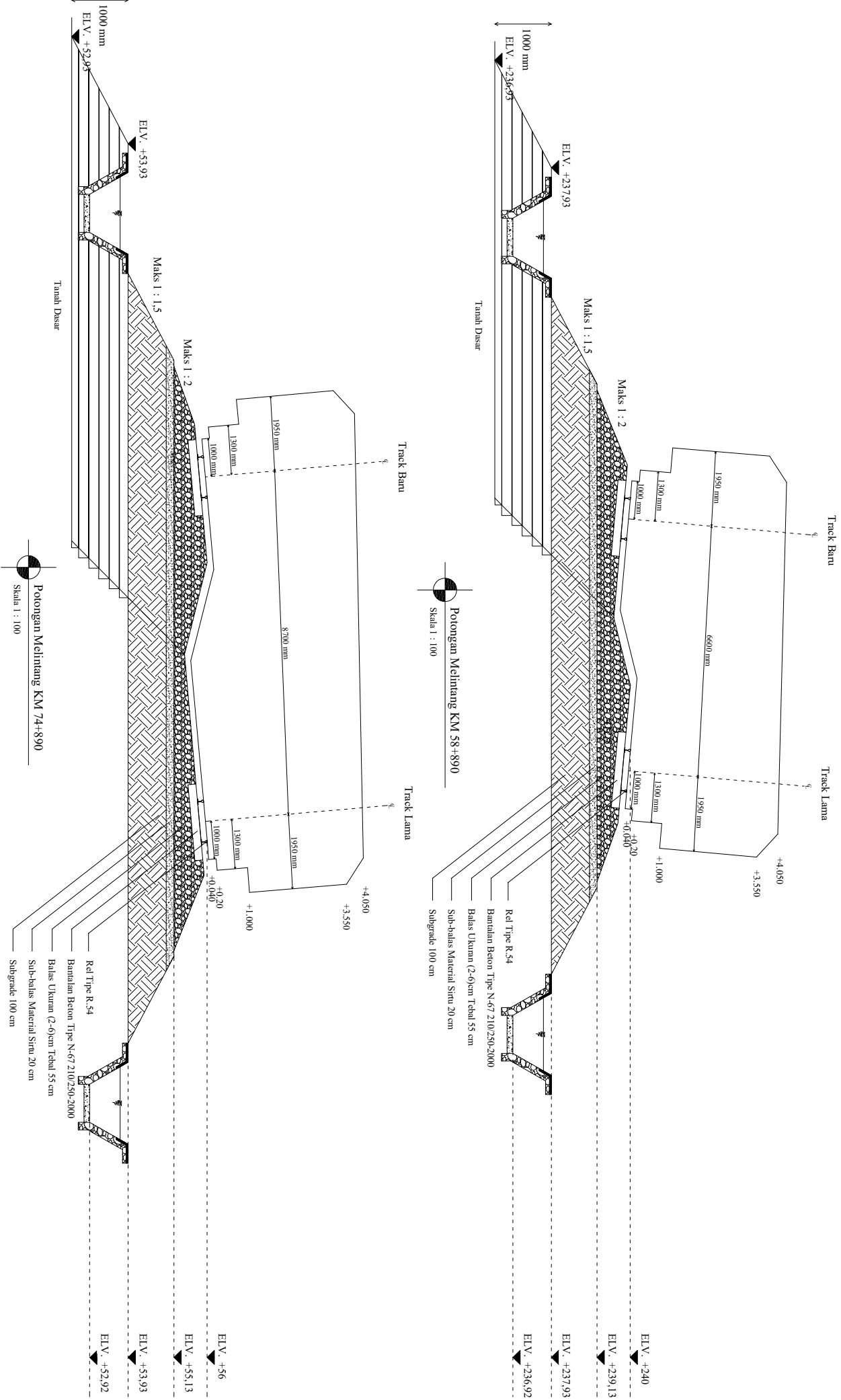




DESAIN GEOMETRIK, STRUKTUR, BESERTA METODE PELAKSANAAN

PEMBANGUNAN JALUR RAIL GANDA (DOUBLE TRACK) TRASE

BANYUWANGI BARU-KALIBARU, KAB. BANYUWANGI



DESAIN GEOMETRIK, STRUKTUR, BESERTA METODE PELAKSANAAN

PEMBANGUNAN JALUR RAIL GANDA (DOUBLE TRACK) TRASE

BANYUWANGI BARU-KALIBARU, KAB. BANYUWANGI

DOSEN PEMBIMBING

IR. CHOMAEDHI, CES.GEO  
NIP. 19550319 198403 1 001

MAHASISWA

DWIKI PRATAMA PUTRA  
NRP. 3113041027

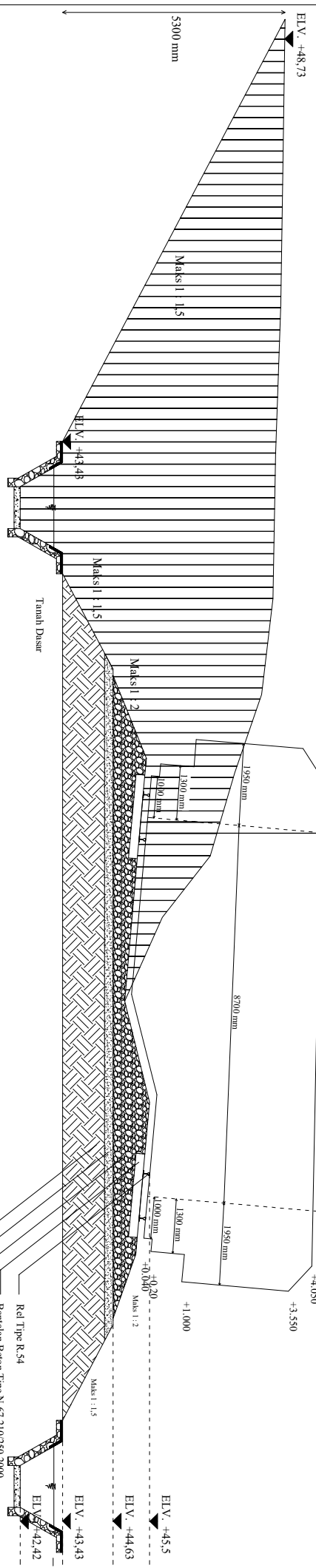
JUDUL GAMBAR

KETERANGAN

POTONGAN MELINTANG

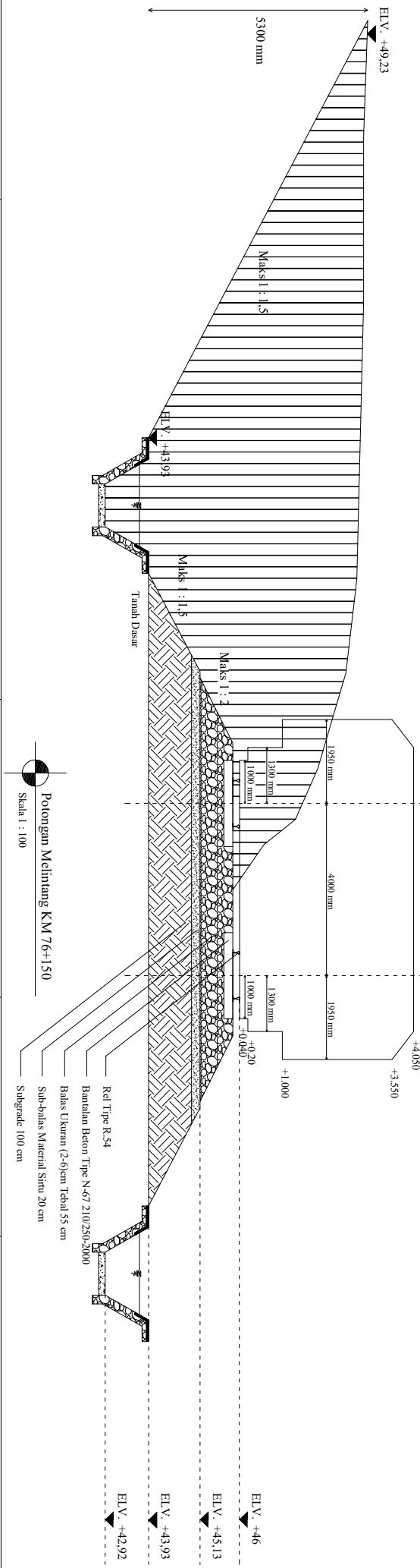
JALAN KERETA API

ARAH SBY - BWI



Potongan Melintang KM 76+150

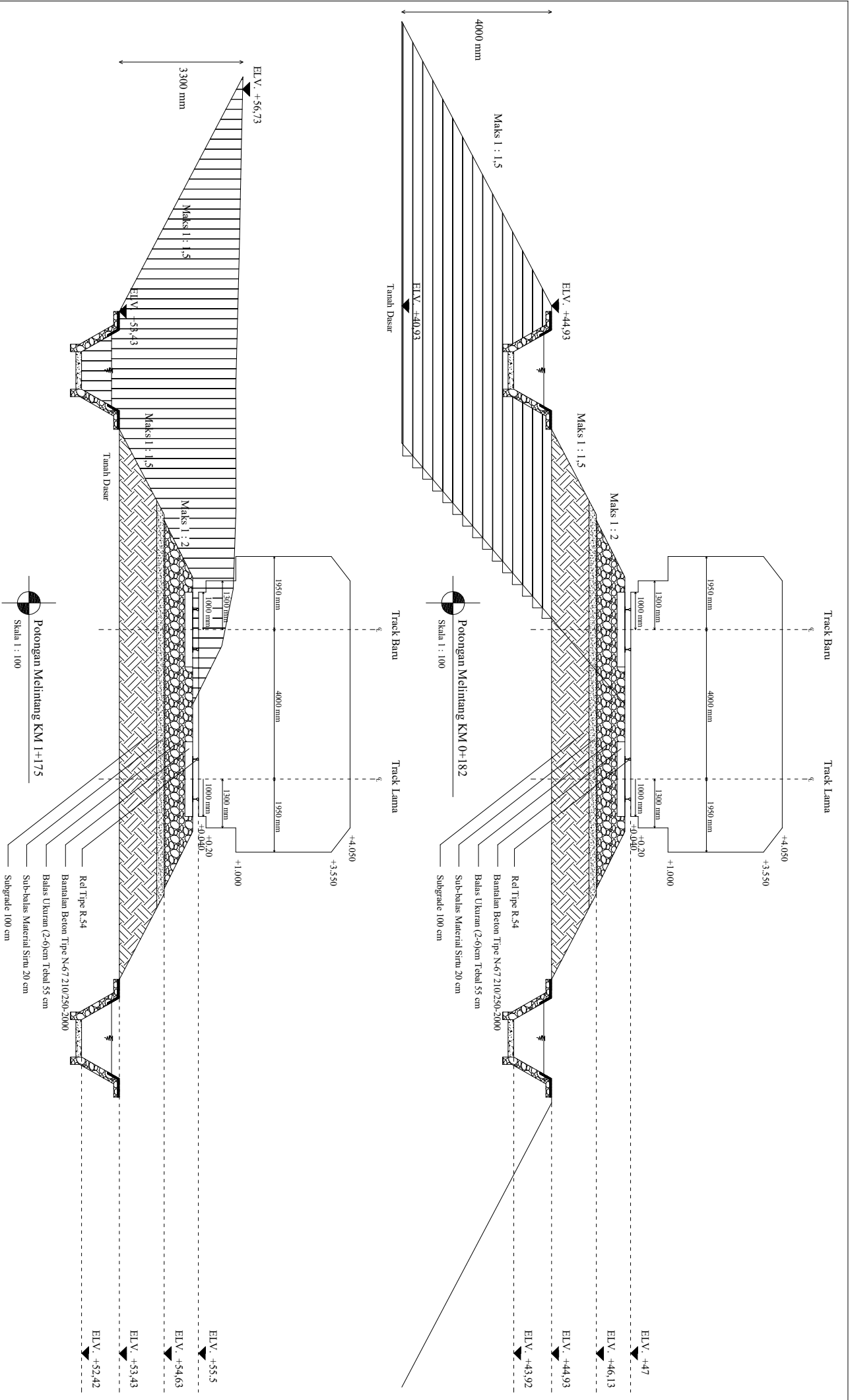
Skala 1 : 100

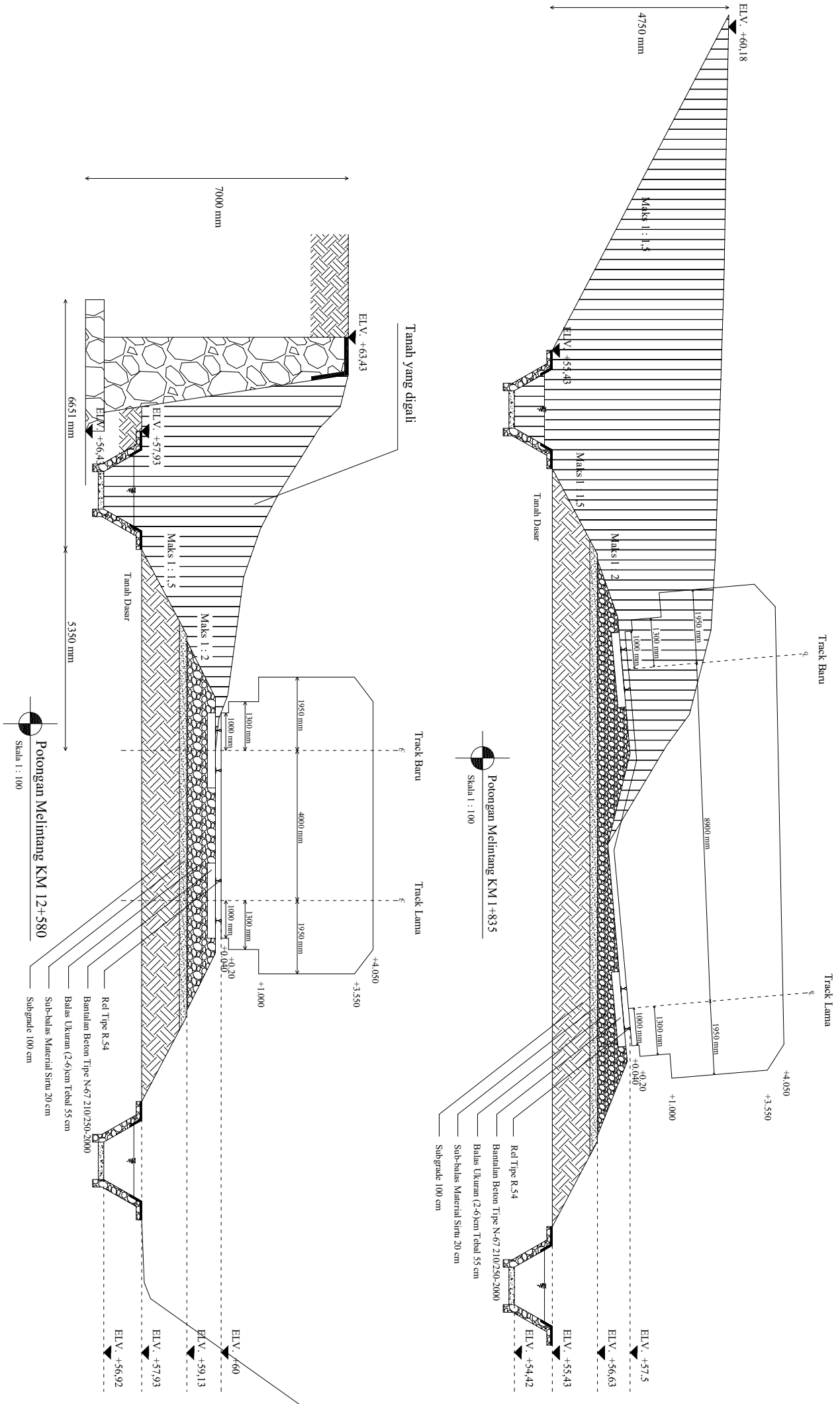


Potongan Melintang KM 75+900

Skala 1 : 100

DESAIN GEOMETRIK, STRUKTUR, BESERTA METODE PELAKSANAAN PEMBANGUNAN JALUR REL GANDA (DOUBLE TRACK) TRASE BANYUWANGI BARU-KALIBARU, KAB. BANYUWANGI		
DOSEN PEMBIMBING	MAHASISWA	JUDUL GAMBAR
		KETERANGAN
IR. CHOMAEDHI, CES.GEO NIP. 19550319 198403 1 001	DWIKI PRATAMA PUTRA NRP. 3113041027	POTONGAN MELINTANG JALAN KERETA API ARAH SBY - BWI
AMALIA FIRDAUS M, ST., MT. NIP. 19770218 200501 2 002		





DESAIN GEOMETRIK, STRUKTUR, BESERTA METODE PELAKSANAAN

PEMBANGUNAN JALUR RAIL GANDA (DOUBLE TRACK) TRASE

BANYUWANGI BARU-KALIBARU, KAB. BANYUWANGI



ITS

Institut  
Teknologi  
Sepuluh Nopember

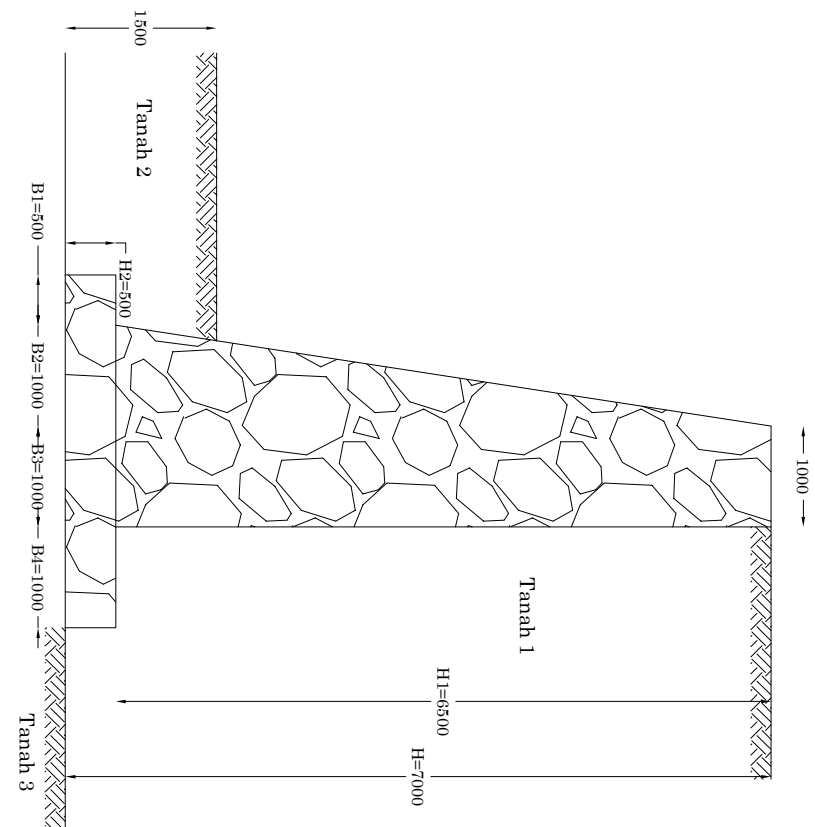
DESAIN GEOMETRIK, STRUKTUR, BESERTA METODE PELAKSANAAN

PEMBANGUNAN JALUR REL GANDA (DOUBLE TRACK) TRASE

BANYUWANGI BARU-KALIBARU, KAB. BANYUWANGI

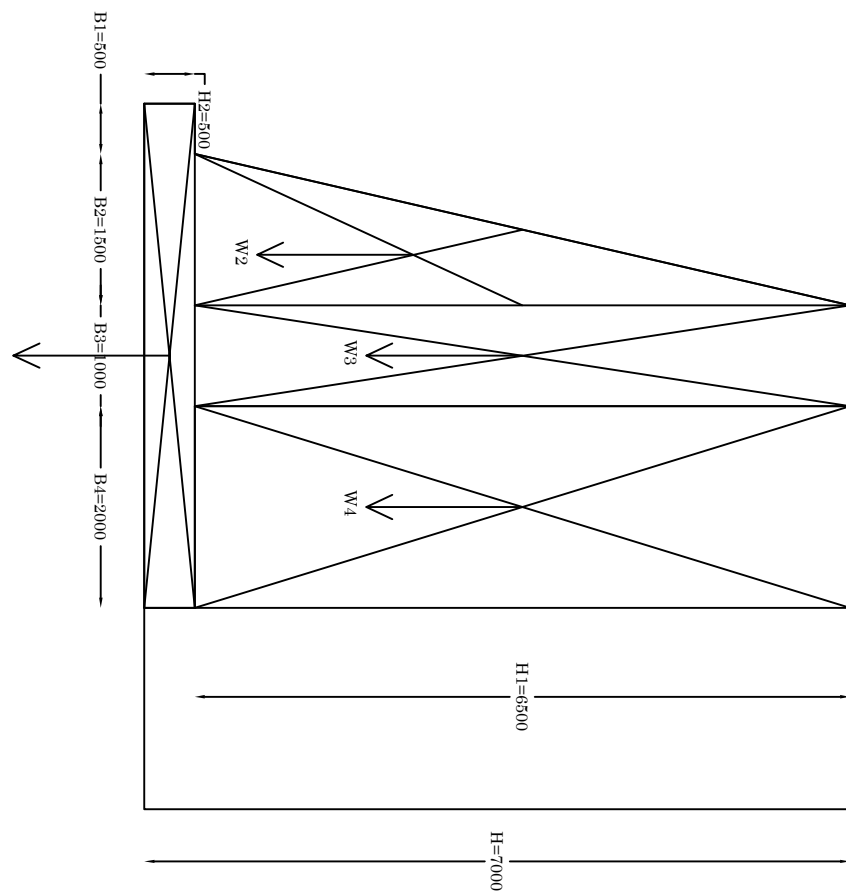
Desain Rencana Dinding Penahan Tanah

Skala 1 : 100



Berat Sendiri Dinding Penahan Tanah

Skala 1 : 100

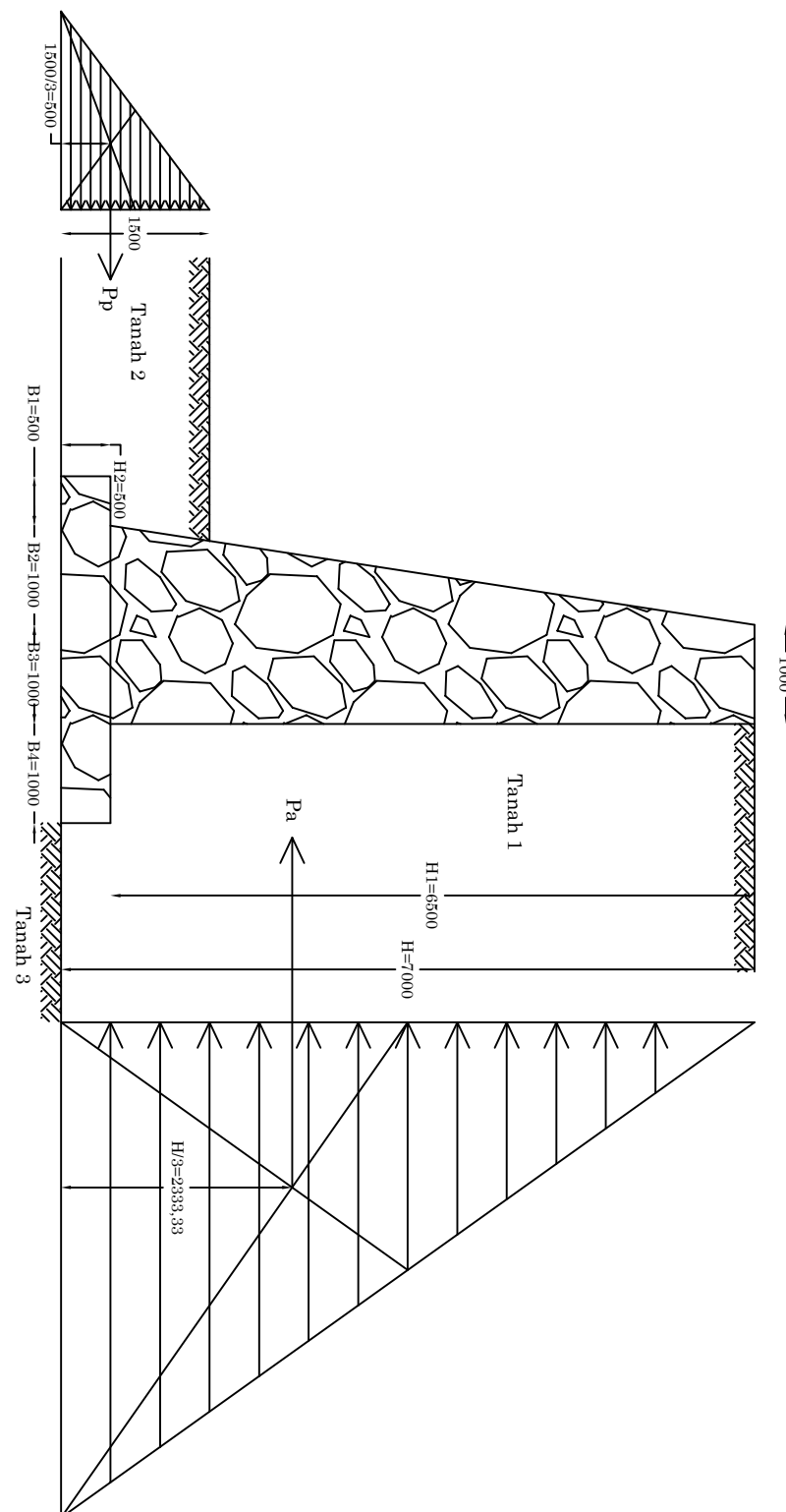
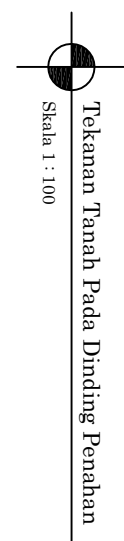


JUDUL GAMBAR			
DOSEN PEMBIMBING	MAHASISWA	KETERANGAN	
IR. CHOMAEDHI, CES, GEO NIP. 1950319 198403 1 001	DWIKI PRATAMA PUTRA NRP. 3113041027	DINDING PENAHAN TANAH KM12+580 - KM 12+680	
AMALIA FIRDAUS M. ST., MT. NIP. 19770218 200501 2 002			

DESAIN GEOMETRIK, STRUKTUR, BESERTA METODE PELAKSANAAN

PEMBANGUNAN JALUR REL GANDA (DOUBLE TRACK) TRASE  
BANYUWANGI BARU-KALIBARU, KAB. BANYUWANGI

AMALIA FIRDAUS M. ST., MT.  
NIP. 19770218 200501 2 002



DOSEN PEMBIMBING

IR. CHOMAEDHI, CES, GEO  
NIP. 1950319 198403 1 001

MAHASISWA

DWIKI PRATAMA PUTRA

JUDUL GAMBAR

KETERANGAN

KETERANGAN

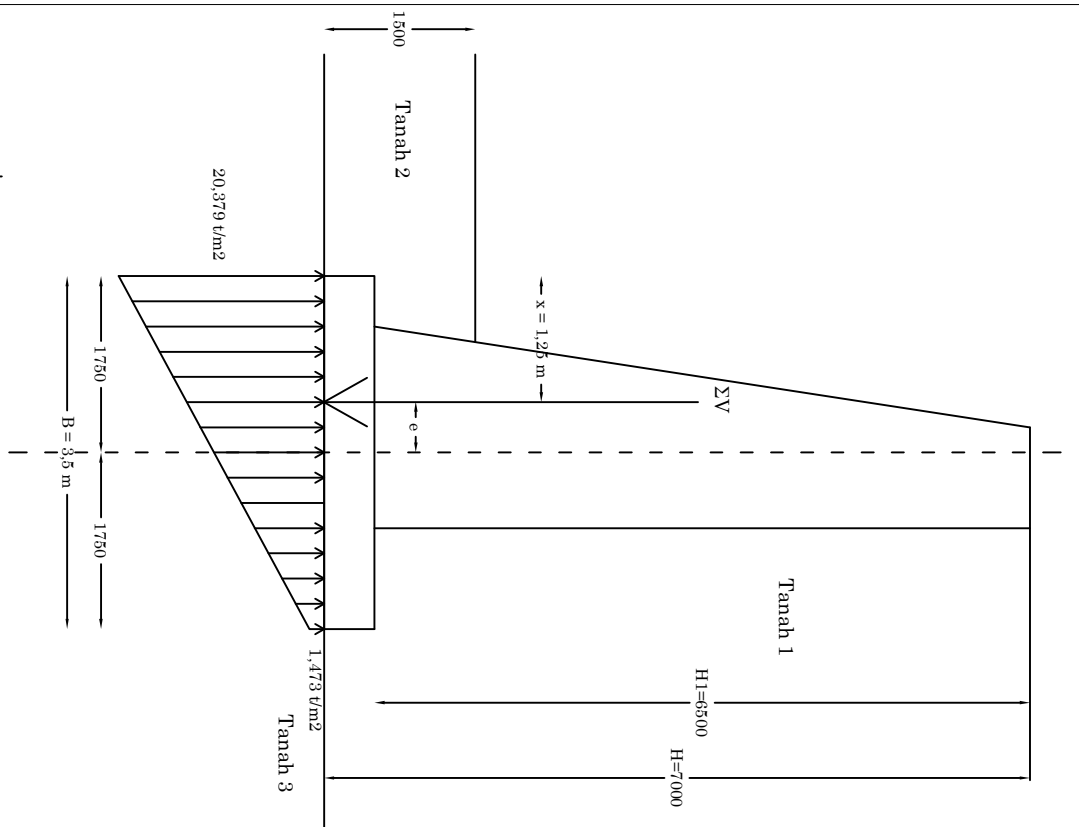
JUDUL GAMBAR

MAHASISWA

DOSEN PEMBIMBING

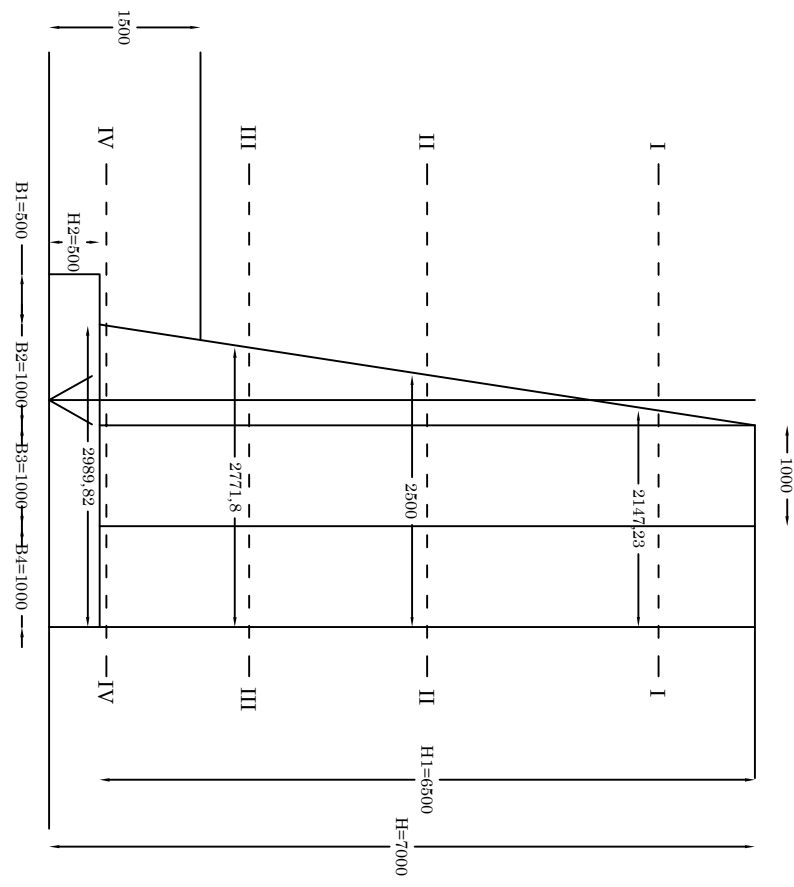
 **Tegangan Kontak Pada Dasar Dinding Penahan**

Skala 1 : 100

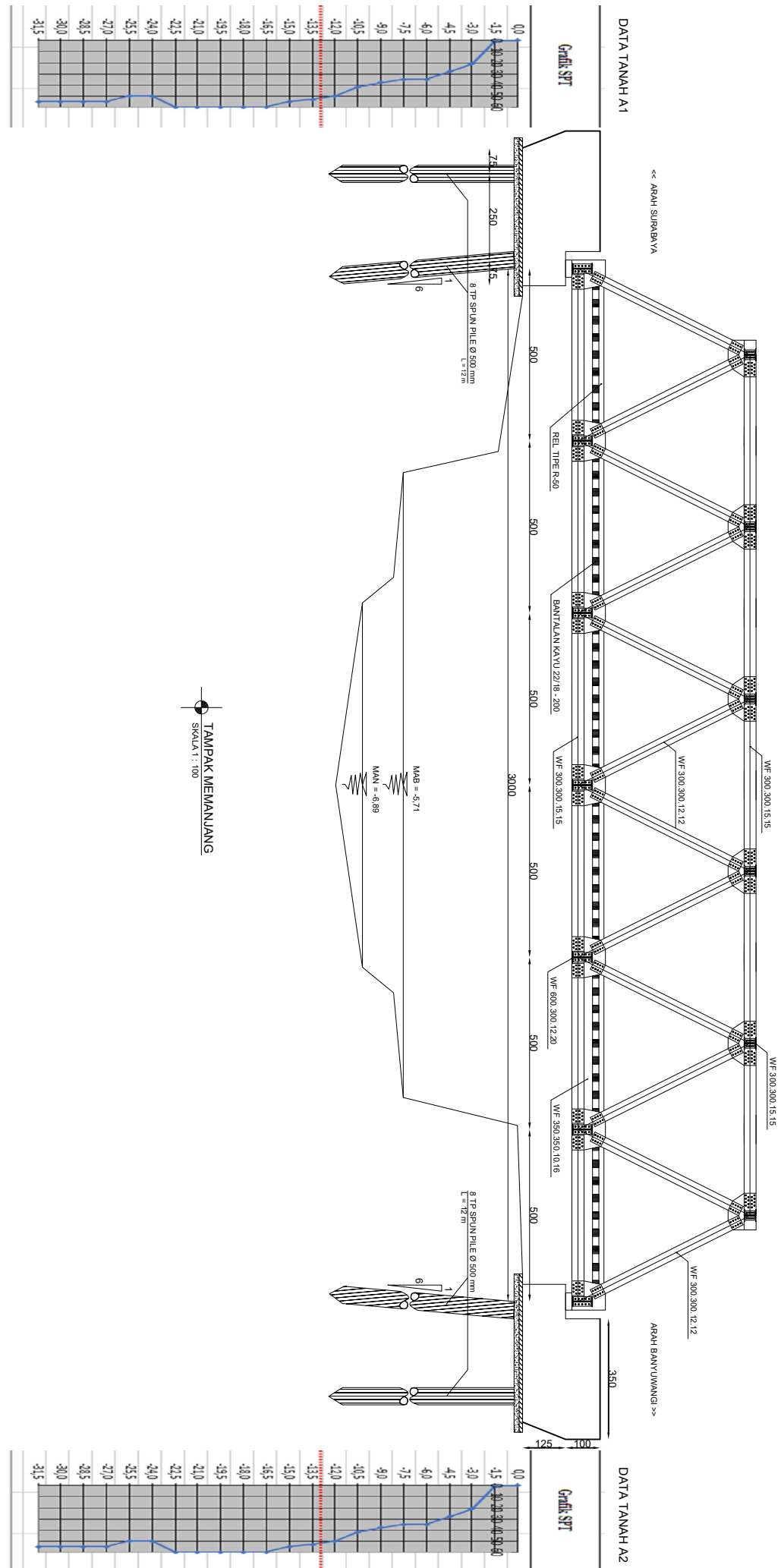


 **Potongan Tiap Struktur Dinding Penahan**

Skala 1 : 100



DESAIN GEOMETRIK, STRUKTUR, BESERTA METODE PELAKSANAAN PEMBANGUNAN JALUR REL GANDA (DOUBLE TRACK) TRASE BANYUWANGI BARU-KALIBARU, KAB. BANYUWANGI			
DOSEN PEMBIMBING	MAHASISWA	JUDUL GAMBAR	
		KETERANGAN	
<u>IR. CHOMAEDHI, CES, GEO</u> NIP. 19550319 198403 1 001	<u>DWIKI PRATAMA PUTRA</u> NRP. 3113041027	DINDING PENAHAN TANAH KM12+580 - KM 12+680	
	AMALIA FIRDAUS M. ST., MT. NIP. 19770218 200501 2 002		



DESAIN GEOMETRIK, STRUKTUR, BESERTA METODE PELAKSANAAN

PEMBANGUNAN JALUR REL GANDA (DOUBLE TRACK) TRASE

BANYUWANGI BARU-KALIBARU, KAB. BANYUWANGI

AMALIA FIRDAUS M. ST., MT.

NIP. 19770218 200501 2 002



DOSEN PEMBIMBING  
MAHASISWA  
JUDUL GAMBAR

KETERANGAN

IR. CHOMAEDHI, CES, GEO

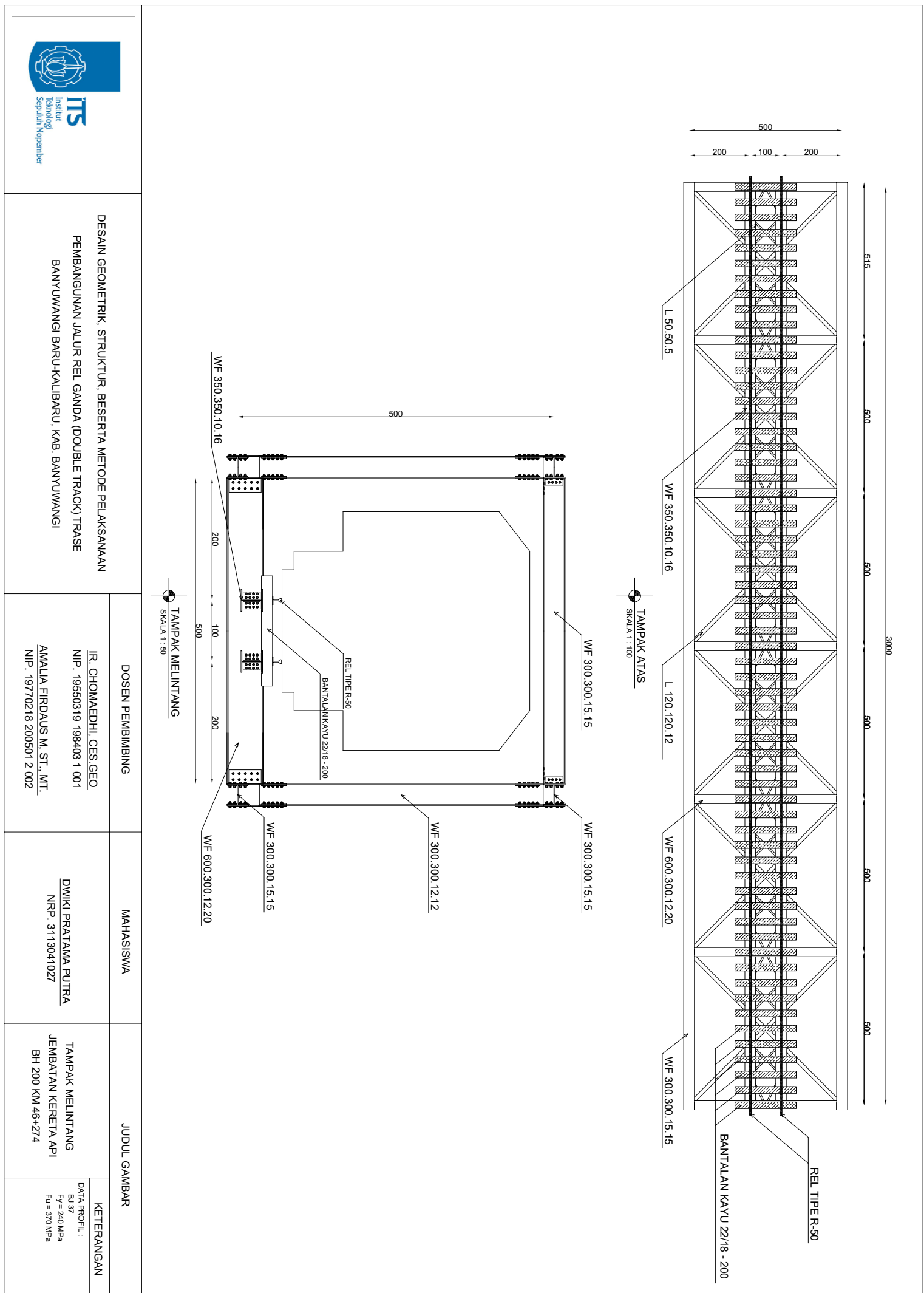
NIP. 19550319 198403 1 001

DWIKI PRATAMA PUTRA

NRP. 3113041027

TAMPAK MEMANJANG  
JEMBATAN KERETA API  
BH 200 KM 46+274

F<sub>u</sub> = 320 MPa  
F<sub>y</sub> = 240 MPa  
BJ 37





**ESAN GEOMETRIK, STRUKTUR, BESERTA METODE PELAKSANAAN PEMBANGUNAN JALUR REL GANDA (DOUBLE TRACK) TRASE BANYUWANGI BARU-KALIBARU, KAB. BANYUWANGI**

AMALIA FIRDAUS M, ST., MT.  
NIP. 19770218 200501 2 002

**DOSEN PEMBIMBING**

**MAHASISWA**

**JUDUL GAMBAR**

**IKATAN ANGIN ATAS**

SKALA 1 : 100

WF 300.300.15.15

5

5

5

L 120.120.12

WF 600.300.12.20

350.10.16

SKALA 1 : 100

IKATAN ANGIN BAWAH

WF 300.300.15.15

500

500

500

500

500

500



DESAIN GEOMETRIK, STRUKTUR, BESERTA METODE PELAKSANAAN  
PEMBANGUNAN JALUR REL GANDA (DOUBLE TRACK) TRASE  
BANYUWANGI BARU-KALIBARU, KAB. BANYUWANGI  
Sepuluh Nopember

AMALIA FIRDAUS M. ST., MT.  
NIP. 19770218 200501 2 002

### DOSEN PEMBIMBING

IR. CHOMADEHI, CES, GEO  
NIP. 19550319 198403 1 001

### MAHASISWA

DWIKI PRATAMA PUTRA  
NRP. 3113041027

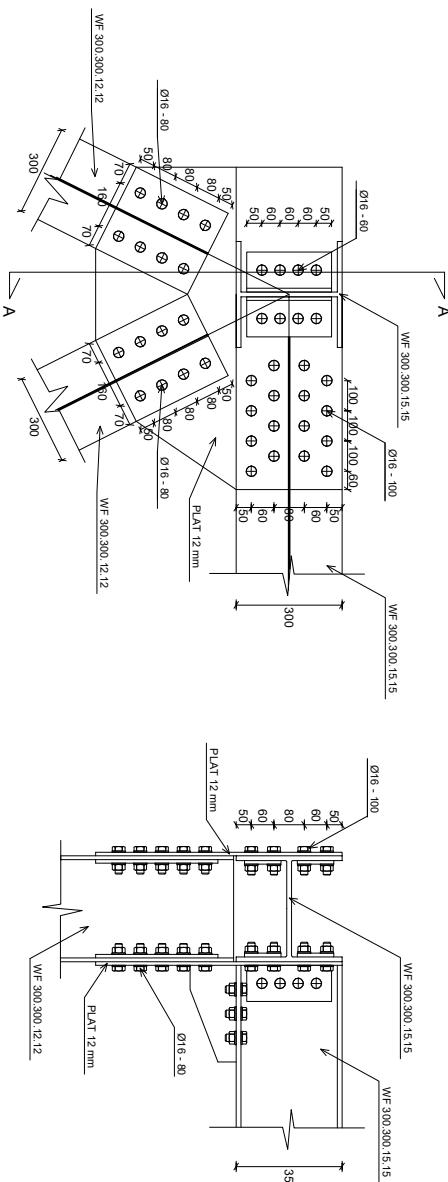
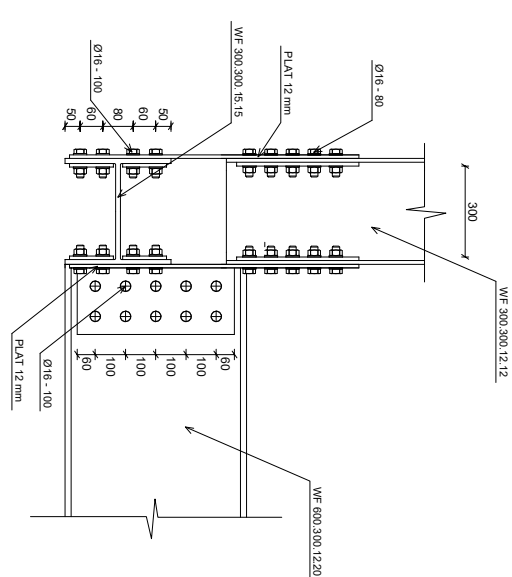
### JUDUL GAMBAR

#### KETERANGAN

DATA PROFIL: DATA BANTU:  
BUJ77 BU-90  
Fu = 240 MPa Fy = 290 MP  
Fu = 370 MPa Fy = 500 MP  
DATA PLAT PENYAMBUNG:  
Bu-41 Fy = 250 MPa  
Fu = 410 MPa

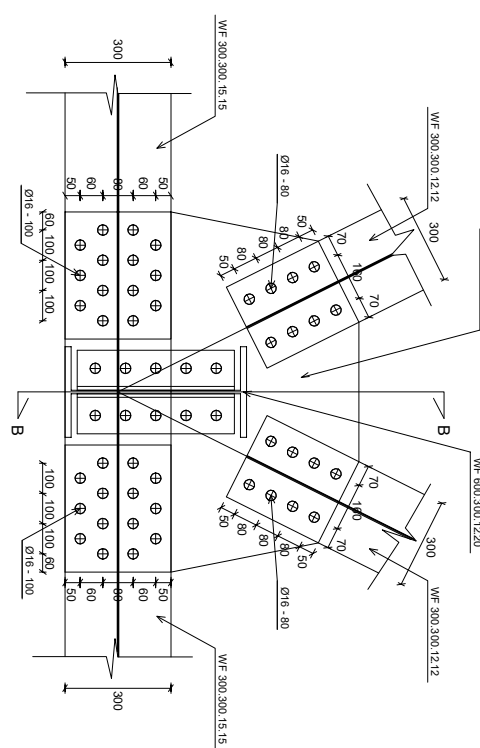
### POTONGAN B - B

SKALA 1 : 20



DETAIL - 1  
SKALA 1 : 20

POTONGAN A - A  
SKALA 1 : 20

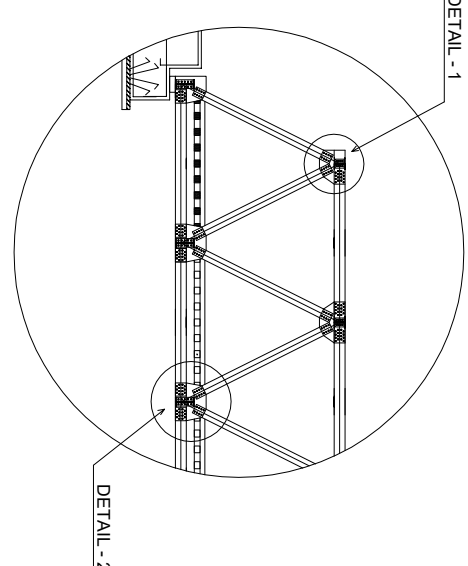
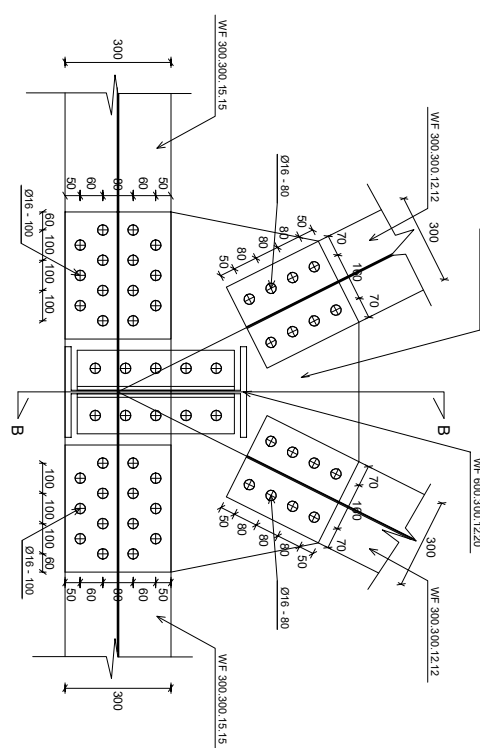


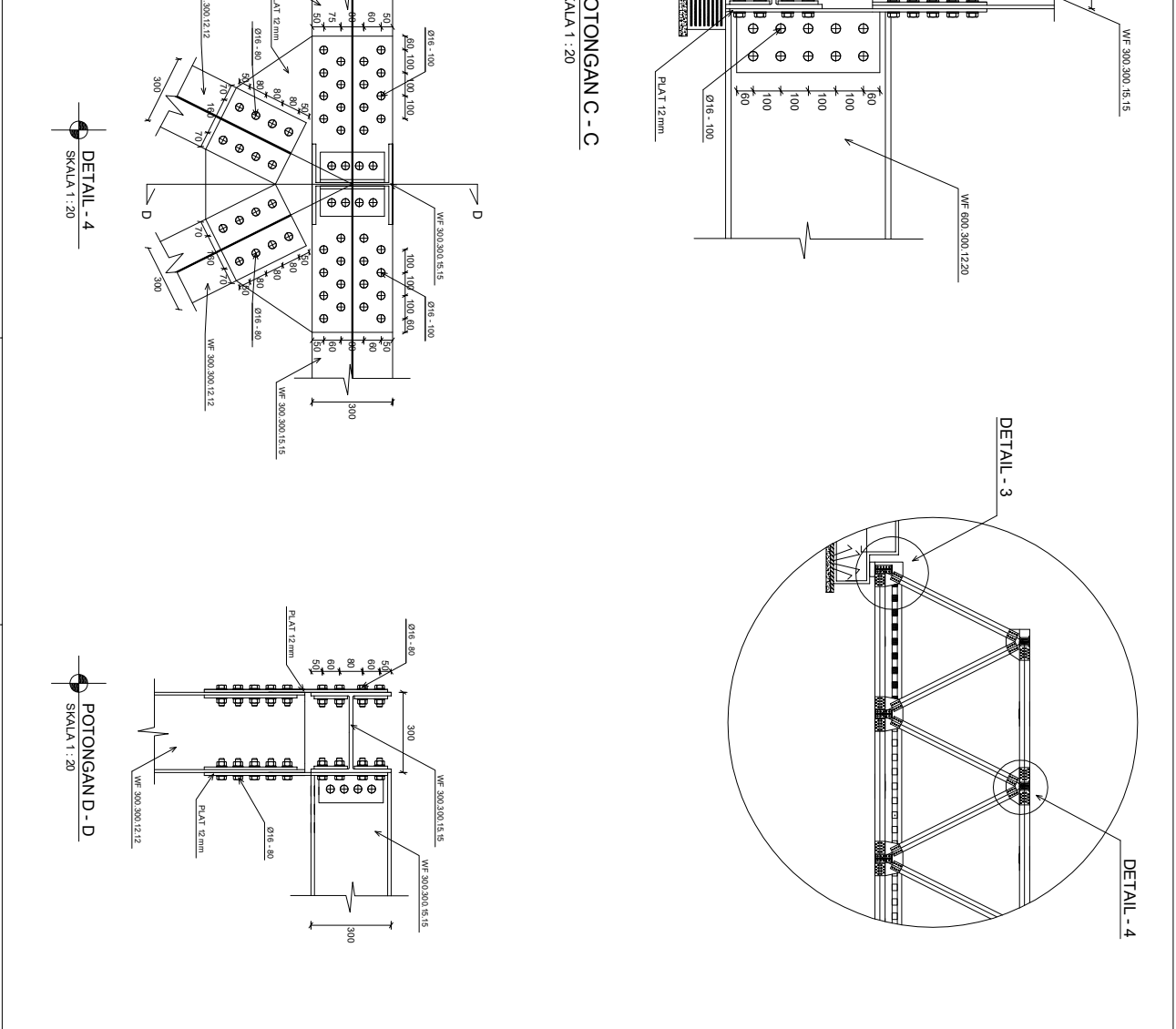
### DETAIL - 2

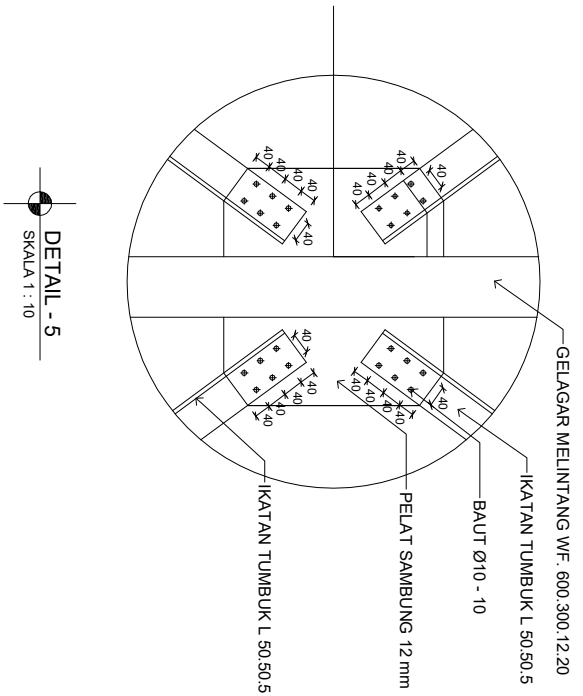
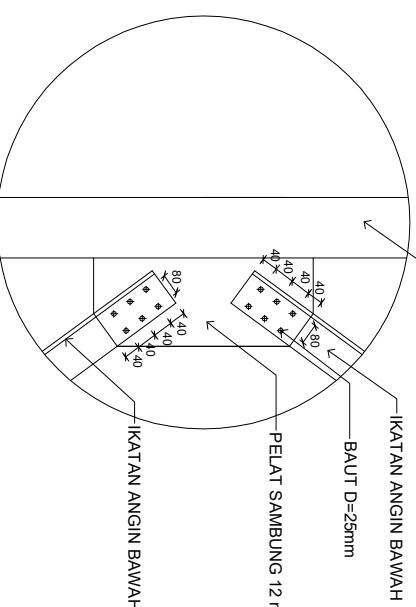
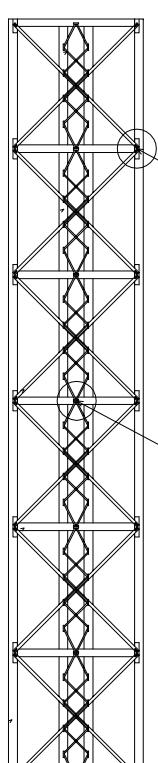
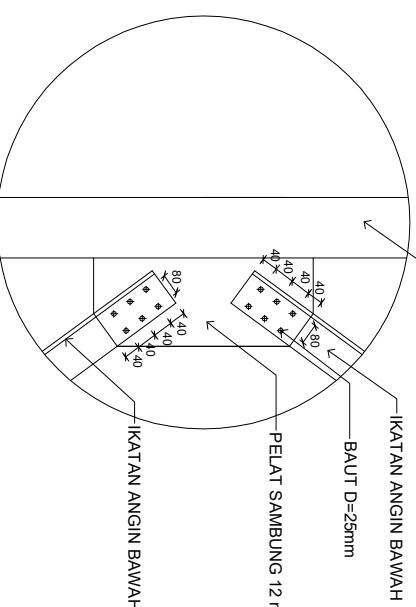
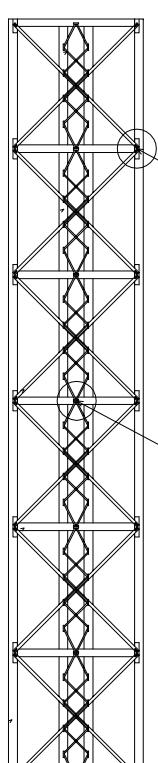
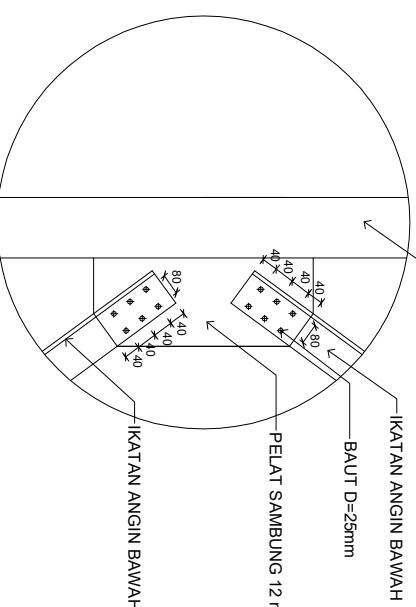
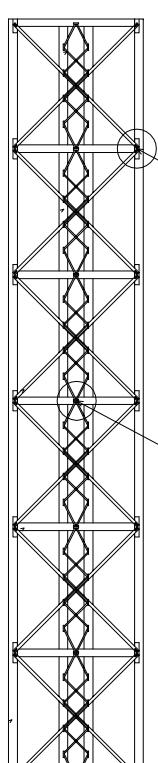
SKALA 1 : 20

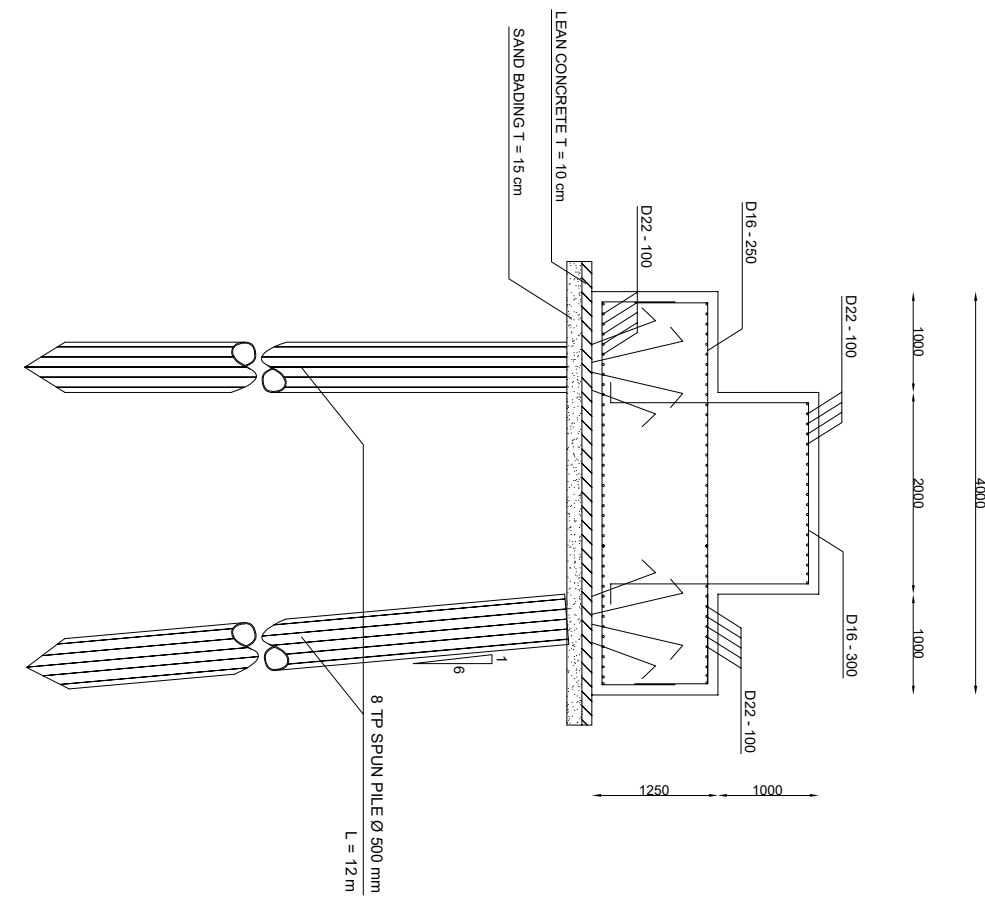
DETAIL - 1  
SKALA 1 : 20

POTONGAN B - B  
SKALA 1 : 20

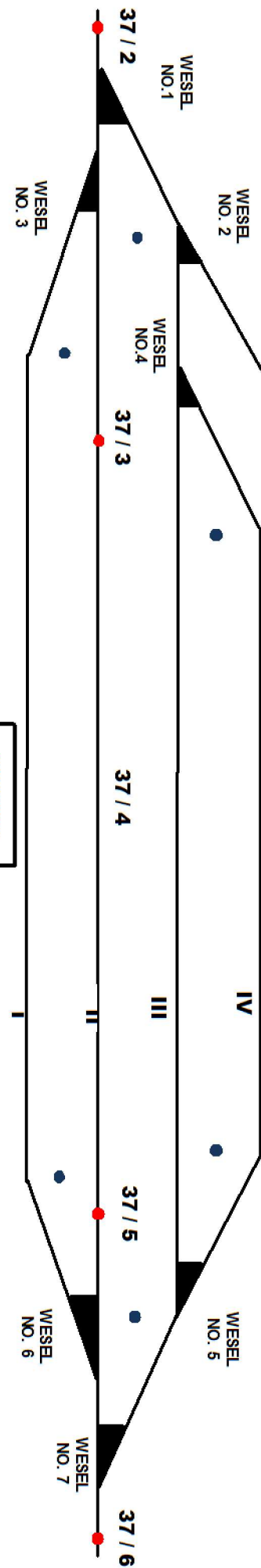


 <p><b>DESAIN GEOMETRIK, STRUKTUR, BESERTA METODE PELAKSANAAN</b>  <b>PEMBANGUNAN JALUR REL GANDA (DOUBLE TRACK) TRASE</b>  <b>BANYUWANGI BARU-KALIBARU, KAB. BANYUWANGI</b></p>	 <p><b>DETAIL - 3</b> SKALA 1:20</p> <p><b>POTONGAN C-C</b> SKALA 1:20</p> <p><b>DETAIL - 4</b> SKALA 1:20</p> <p><b>POTONGAN D-D</b> SKALA 1:20</p> <p><b>DETAIL - 3</b> SKALA 1:20</p> <p><b>DETAIL - 4</b> SKALA 1:20</p>		
<p><b>DOSEN PEMBIMBING</b></p> <p><b>IR. CHOMADEHI, CES.GEO</b> NIP. 19550319 198403 1 001</p> <p><b>DWIKI PRATAMA PUTRA</b> NRP. 3113041027</p> <p><b>MAHASISWA</b></p> <p><b>JUDUL GAMBAR</b></p> <table border="1"> <thead> <tr> <th>KETERANGAN</th> </tr> </thead> <tbody> <tr> <td>           DATA PROFIL: DATA BAUT:            Bu = 37            Fy = 240 MPa            Fu = 370 MPa            Ff = 500 MP            DATA PLAT PENYAMBUNG:            Bu = 41            Fy = 250 MPa            Fu = 410 MPa         </td> </tr> </tbody> </table>	KETERANGAN	DATA PROFIL: DATA BAUT: Bu = 37 Fy = 240 MPa Fu = 370 MPa Ff = 500 MP DATA PLAT PENYAMBUNG: Bu = 41 Fy = 250 MPa Fu = 410 MPa	
KETERANGAN			
DATA PROFIL: DATA BAUT: Bu = 37 Fy = 240 MPa Fu = 370 MPa Ff = 500 MP DATA PLAT PENYAMBUNG: Bu = 41 Fy = 250 MPa Fu = 410 MPa			

 <p><b>DESAIN GEOMETRIK, STRUKTUR, BESERTA METODE PELAKSANAAN</b>  <b>PEMBANGUNAN JALUR REL GANDA (DOUBLE TRACK) TRASE</b>  <b>BANYUWANGI BARU-KALIBARU, KAB. BANYUWANGI</b></p> <p>ITS  Institut  Teknologi  Sepuluh Nopember</p>	 <p><b>GELAGAR MELINTANG WF. 600.300.12.20</b>  <b>IKATAN TUMBUK L 50.50.5</b>  <b>BAUT Ø10 - 10</b>  <b>PELAT SAMBUNG 12 mm</b>  <b>IKATAN TUMBUK L 50.50.5</b></p> <p><b>DETAIL - 5</b>  SKALA 1 : 10</p>						
<p><b>DOSEN PEMBIMBING</b></p> <p><u>IR. CHOMAEDHI, CES, GEO</u>  NIP. 19550319 198403 1 001</p> <p><u>DWIKI PRATAMA PUPTRA</u>  NRP. 3113041027</p> <p><u>AMALIA FIRDAUS M. ST., MT.</u>  NIP. 19770218 200501 2 002</p>	<table border="1"> <thead> <tr> <th data-bbox="377 1073 536 1208">MAHASISWA</th> <th data-bbox="536 1073 695 1208">JUDUL GAMBAR</th> <th data-bbox="695 1073 854 1208">KETERANGAN</th> </tr> </thead> <tbody> <tr> <td data-bbox="377 1208 536 2196"> <p><u>JEMBATAN KERETA API</u>  TAMPAK  BH 200 KM 46+274</p> </td><td data-bbox="536 1208 695 2196"> <p><u>DETAIL - 6</u>  SKALA 1 : 10</p>  <p><b>GELAGAR MELINTANG WF. 300.300.15.15</b>  <b>IKATAN ANGIN BAWAH L 120.120.12</b>  <b>BAUT D=25mm</b>  <b>PELAT SAMBUNG 12 mm</b>  <b>IKATAN ANGIN BAWAH L 120.120.12</b></p> </td><td data-bbox="695 1208 854 2196"> <p><u>DETAIL - 5</u>  </p> </td></tr> </tbody> </table>	MAHASISWA	JUDUL GAMBAR	KETERANGAN	<p><u>JEMBATAN KERETA API</u>  TAMPAK  BH 200 KM 46+274</p>	<p><u>DETAIL - 6</u>  SKALA 1 : 10</p>  <p><b>GELAGAR MELINTANG WF. 300.300.15.15</b>  <b>IKATAN ANGIN BAWAH L 120.120.12</b>  <b>BAUT D=25mm</b>  <b>PELAT SAMBUNG 12 mm</b>  <b>IKATAN ANGIN BAWAH L 120.120.12</b></p>	<p><u>DETAIL - 5</u>  </p>
MAHASISWA	JUDUL GAMBAR	KETERANGAN					
<p><u>JEMBATAN KERETA API</u>  TAMPAK  BH 200 KM 46+274</p>	<p><u>DETAIL - 6</u>  SKALA 1 : 10</p>  <p><b>GELAGAR MELINTANG WF. 300.300.15.15</b>  <b>IKATAN ANGIN BAWAH L 120.120.12</b>  <b>BAUT D=25mm</b>  <b>PELAT SAMBUNG 12 mm</b>  <b>IKATAN ANGIN BAWAH L 120.120.12</b></p>	<p><u>DETAIL - 5</u>  </p>					

 <p><b>ITS</b> Institut Teknologi Sepuluh Nopember</p>	 <p><b>POTONGAN MEMANJANG ABUTMENT</b> SKALA 1 : 50</p>												
<p>DESAIN GEOMETRIK, STRUKTUR, BESERTA METODE PELAKSANAAN PEMBANGUNAN JALUR REL GANDA (DOUBLE TRACK) TRASE BANYUWANGI BARU-KALIBARU, KAB. BANYUWANGI</p>	<table border="1" style="width: 100%; border-collapse: collapse;"> <thead> <tr> <th style="text-align: center; padding: 5px;">DOSEN PEMBIMBING</th> <th style="text-align: center; padding: 5px;">MAHASISWA</th> <th style="text-align: center; padding: 5px;">JUDUL GAMBAR</th> <th style="text-align: center; padding: 5px;">KETERANGAN</th> </tr> </thead> <tbody> <tr> <td style="text-align: center; padding: 5px;">IR. CHOMADEHI, CES.,GEO NIP. 19550319 198403 1 001</td> <td style="text-align: center; padding: 5px;">DWIKI PRATAMA PUTRA NRP. 3113041027</td> <td style="text-align: center; padding: 5px;">TAMPAK JEMBATAN KERETA API BH 200 KM 46+274</td> <td style="text-align: center; padding: 5px;"></td> </tr> <tr> <td style="text-align: center; padding: 5px;">AMALIA FIRDAUS M. ST., MT. NIP. 19770218 200501 2 002</td> <td></td> <td></td> <td></td> </tr> </tbody> </table>	DOSEN PEMBIMBING	MAHASISWA	JUDUL GAMBAR	KETERANGAN	IR. CHOMADEHI, CES.,GEO NIP. 19550319 198403 1 001	DWIKI PRATAMA PUTRA NRP. 3113041027	TAMPAK JEMBATAN KERETA API BH 200 KM 46+274		AMALIA FIRDAUS M. ST., MT. NIP. 19770218 200501 2 002			
DOSEN PEMBIMBING	MAHASISWA	JUDUL GAMBAR	KETERANGAN										
IR. CHOMADEHI, CES.,GEO NIP. 19550319 198403 1 001	DWIKI PRATAMA PUTRA NRP. 3113041027	TAMPAK JEMBATAN KERETA API BH 200 KM 46+274											
AMALIA FIRDAUS M. ST., MT. NIP. 19770218 200501 2 002													

**EMPLASEMEN ST. KALIBARU**  
**KM 37+390**  
**Ketinggian +428 Dari Muka Air Laut**



NO SUDUT	ARAH WESEL		TYPE REL	LIDAH	TERLAYAN		MERK	TAHUN PRODUKSI
	KANAN	KIRI			PUSAT	SETEMPAT		
1	01.10	Kiri	R.42	Pegas	Pusat			1980
2	01.10	Kanan	R.42	Pegas	Pusat			"
3	01.10	Kanan	R.42	Pegas	Pusat			"
4	01.10	Kiri	R.42	Pegas	Pusat			"
5	01.10	Kiri	R.42	Pegas	Pusat			"
6	01.10	Kiri	R.42	Pegas	Pusat			"
7	01.10	Kanan	R.42	Pegas	Pusat			"

DESAIN GEOMETRIK, STRUKTUR, BESERTA METODE PELAKSANAAN

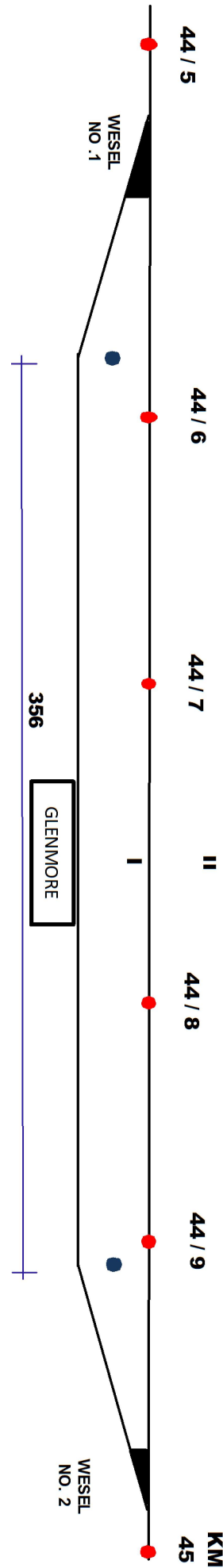
PEMBANGUNAN JALUR REL GANDA (DOUBLE TRACK) TRASE

BANYUWANGI BARU-KALIBARU, KAB. BANYUWANGI

# EMPLASEMEN ST. GLENMORE

KM 44+752

Ketinggian +342 Dari Muka Air Laut



WESEL

NO SUDUT	ARAH WESEL		TYPE REL	LIDAH	TERLAYAN		MERK	TAHUN PRODUKSI
	KANAN	KIRI			PUSAT	SETEMPAT		
1	01.10	Kanan	R.42	Pegas	Pusat			1980
2	01.10	Kiri	R.42	Pegas	Pusat			1980

DESAIN GEOMETRIK, STRUKTUR, BESERTA METODE PELAKSANAAN

PEMBANGUNAN JALUR REL GANDA (DOUBLE TRACK) TRASE

BANYUWANGI BARU-KALIBARU, KAB. BANYUWANGI



DOSEN PEMBIMBING

IR. CHOMAEDHI CES.GEO  
NIP. 19550319 198403 1 001

AMALIA FIRDAUS M. ST., MT.

NIP. 19770218 200501 2 002

MAHASISWA

JUDUL GAMBAR

KETERANGAN

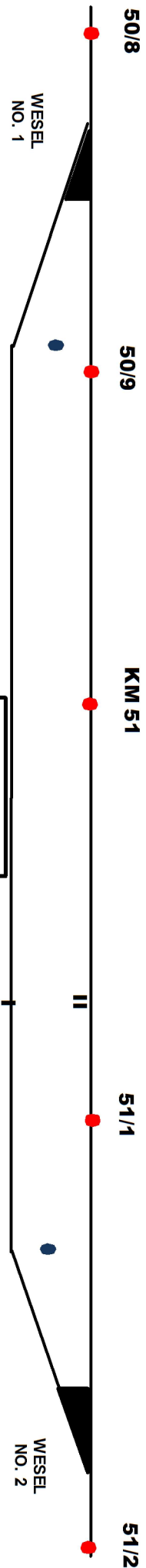
WESEL

JALAN KERETA API

## EMPLASEMENT ST. SUMBERWADUNG

KM 50+954

Ketinggian +312 Dari Muka Air Laut



NO	SUDUT	ARAH WESEL		TYPE REL	TERLAYAN		MERK	TAHUN PRODUKSI	WESEL
		KANAN	KIRI		LIDAH	PUSAT			
1	01.10	Kanan		R.42	Pegas	Pusat		1980	
2	01.10		Kiri	R.42	Pegas	Pusat		1980	

DESAIN GEOMETRIK, STRUKTUR, BESERTA METODE PELAKSANAAN

PEMBANGUNAN JALUR REL GANDA (DOUBLE TRACK) TRASEE

BANYUWANGI BARU-KALIBARU, KAB. BANYUWANGI



AMALIA FIRDAUS M, ST., MT  
NIP. 19770218 200501 2 002

JALAN KERETA API  
NRP. 3113041027

## JUDUL GAMBAR

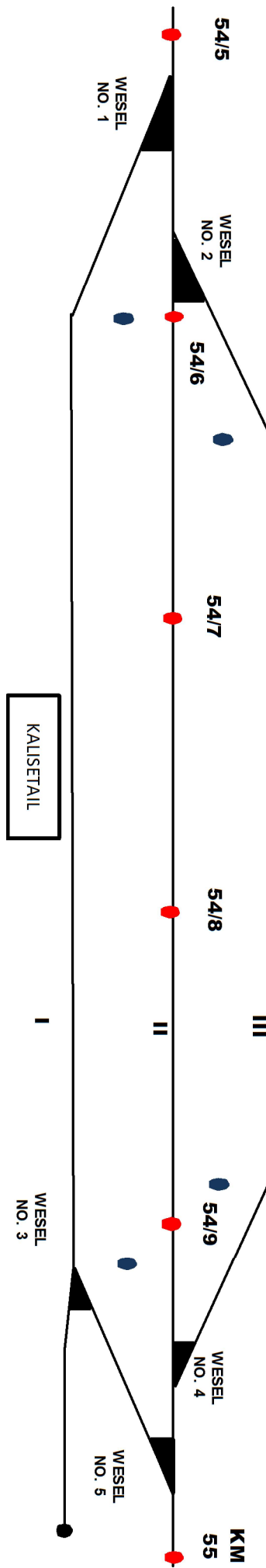
DOSEN PEMBIMBING

MAHA

# EMPLASEMEN ST. KALISETAIL

KM 54+756

Ketinggian +272 Dari Muka Air Laut



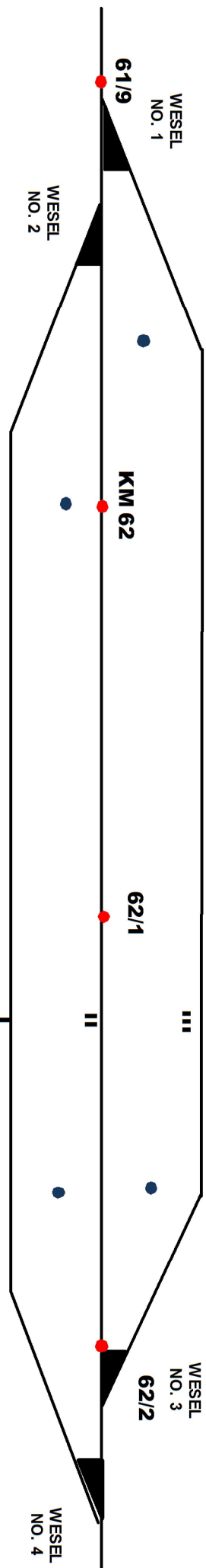
NO	ARAH WESEL		WESEL		TERLAYAN		MERK	TAHUN PRODUKSI
	SUDUT	KANAN	KIRI	TYPE REL	LIDAH	PUSAT	SETEMPAT	
1	01.10	Kanan		R.42	Pegas	Pusat		1980
2	01.10		Kiri	R.42	Pegas	Pusat		"
3	01.10	Kanan		R.25	Pegas	Pusat		"
4	01.10	Kanan		R.42	Pegas	Pusat		"
5	01.10		Kiri	R.42	Pegas	Pusat		"

DESAIN GEOMETRIK, STRUKTUR, BESERTA METODE PELAKSANAAN PEMBANGUNAN JALUR REL GANDA (DOUBLE TRACK) TRASE BANYUWANGI BARU-KALIBARU, KAB. BANYUWANGI		DOSEN PEMBIMBING	MAHASISWA	JUDUL GAMBAR	KETERANGAN
IR. CHOMADEHI CES.GEO NIP. 19550319 198403 1 001	AMALIA FIRDAUS M. ST., MT. NIP. 19770218 200501 2 002	DWIKI PRATAMA PUTRA NRP. 3113041027	WESEL JALAN KERETA API		

# EMPLASEMEN ST. TEMUGURUH

KM 62+090

Ketinggian +96 Dari Muka Air Laut



WESEL								
NO SUDUT	ARAH WESEL		TYPE REL	LIDAH	TERLAYAN		MERK	TAHUN PRODUKSI
	KANAN	KIRI			PUSAT	SETEMPAT		
1	01.10	Kiri	R.42	Pegas	Pusat			1980
2	01.10	Kanan	R.42	Pegas	Pusat			"
3	01.10	Kanan	R.42	Pegas	Pusat			"
4	01.10	Kiri	R.42	Pegas	Pusat			"

WESEL						
-------	--	--	--	--	--	--

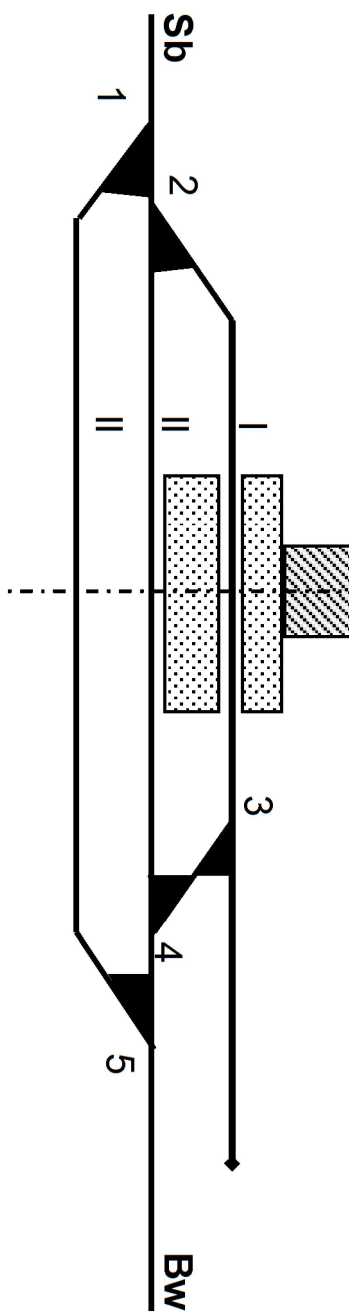
 <p><b>ITS</b> Institut Teknologi Sepuluh Nopember</p>	<p>DESAIN GEOMETRIK, STRUKTUR, BESERTA METODE PELAKSANAAN PEMBANGUNAN JALUR REL GANDA (DOUBLE TRACK) TRASE BANYUWANGI BARU-KALIBARU, KAB. BANYUWANGI</p>	DOSEN PEMBIMBING	MAHASISWA	JUDUL GAMBAR	KETERANGAN
		IR. CHOMADEHI CES. GEO NIP. 19550319 198403 1 001	DWIKI PRATAMA PUTRA NRP. 3113041027	WESEL JALAN KERETA API	

AMALIA FIRDAUS M. ST., MT.  
NIP. 19770218 200501 2 002

# EMPLASEMEN ST. SINGOJURUH

KM 66+306

Ketinggian +428 Dari Muka Air Laut



WESEL				SEPUR EMPLASEMEN					
NO	SUDUT	ARAH WESEL KANAN	TYPE REL	LIDAH	TERLAYAN PUSAT SETEMPAT	NO SEPUR	TYPE REL	PANJANG FISIK	PANJANG TERPAKKAI
1	1:10	Ya	-	R.42	Pegas	Ya	-	1	R.25
2	1:10	-	Ya	R.42	Pegas	Ya	-	II	R.42
3	1:10	Ya	-	R.25	Pegas	Ya	-	III	R.25
4	1:10	Ya	-	R.42	Pegas	Ya	-	II	R.25
5	1:10	-	Ya	R.42	Pegas	Ya	-	1	R.25

 <p><b>ITS</b> Institut Teknologi Sepuluh Nopember</p>	DESAIN GEOMETRIK, STRUKTUR, BESERTA METODE PELAKSANAAN PEMBANGUNAN JALUR REL GANDA (DOUBLE TRACK) TRASE BANYUWANGI BARU-KALIBARU, KAB. BANYUWANGI	
	DOSEN PEMBIMBING	MAHASISWA

IR. CHOMADEHI CES.GEO  
NIP. 19550319 198403 1 001

AMALIA FIRDAUS M. ST., MT.  
NIP. 19770218 200501 2 002

DWIKI PRATAMA PUTRA  
NRP. 3113041027

WESEL  
JALAN KERETA API

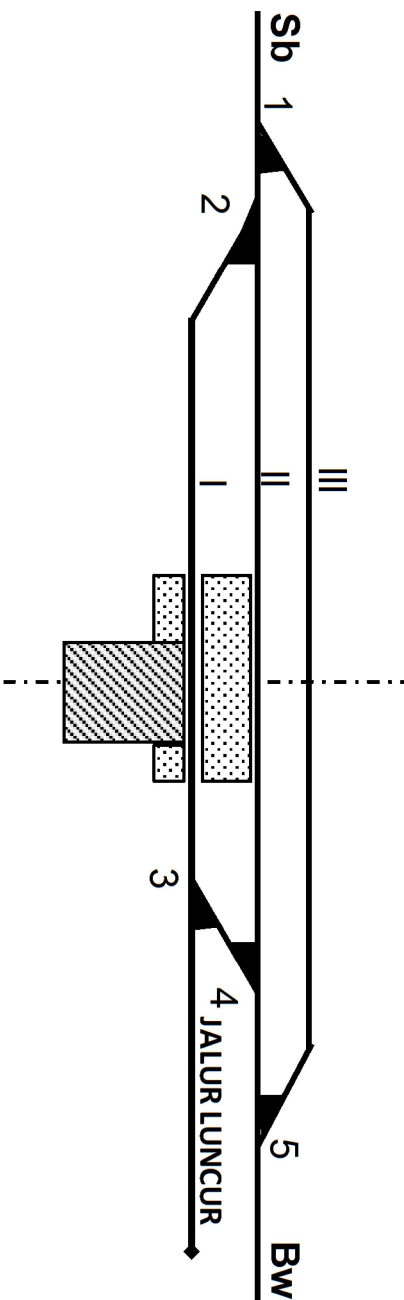
JUDUL GAMBAR

KETERANGAN

# EMPLASEMEN ST. ROGOJAMPI

KM 72+197

Ketinggian +428 Dari Muka Air Laut



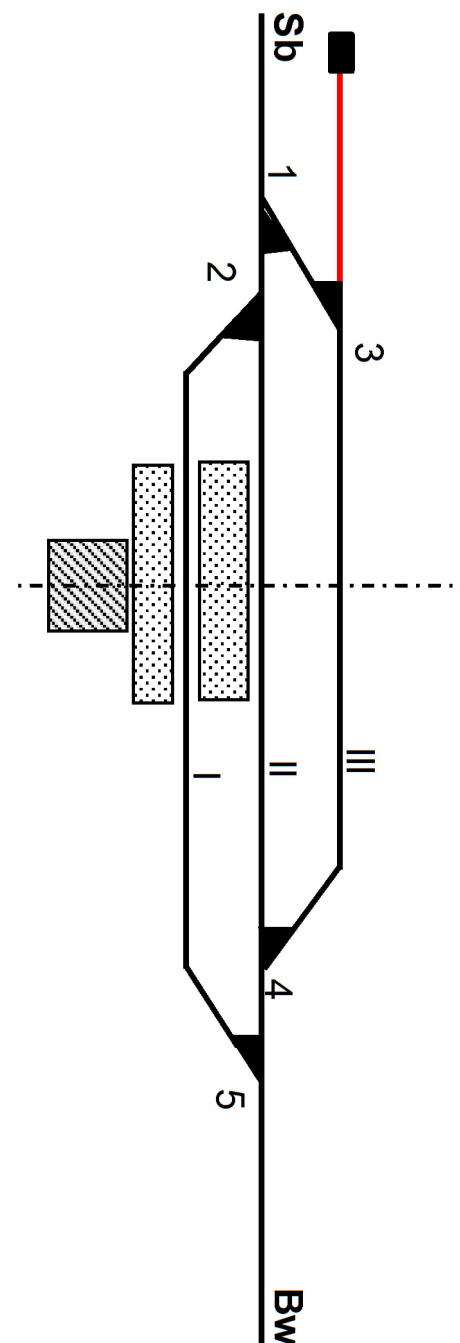
WESSEL					SEPUR EMPLASEMEN					
NO	SUDUT	ARAH WESSEL		TYPE	LIDAH	TERLAYAN	NO	TYPE PANJANG	PANJANG	TERPAKAI
		KANAN	KIRI							
				REL	PUSAT SETEMPAT	SEPUR	REL	FISIK		
1	1:10	-	Ya	R.42	Pegas	Ya	-	1	R.25	217,8
2	1:10	Ya	-	R.42	Pegas	Ya	-	II	R.42	271
3	1:10	-	Ya	R.25	Putar	Ya	-	III	R.25	271,5
4	1:10	-	Ya	R.42	Pegas	Ya	-	jalur luncur		212
5	1:10	Ya	-	R.42	Pegas	Ya	-			

DESAIN GEOMETRIK, STRUKTUR, BESERTA METODE PELAKSANAAN PEMBANGUNAN JALUR REL GANDA (DOUBLE TRACK) TRASE BANYUWANGI BARU-KALIBARU, KAB. BANYUWANGI	DOSEN PEMBIMBING IR. CHOMADEHI CES. GEO NIP. 19550319 198403 1 001  AMALIA FIRDAUS M. ST., MT. NIP. 19770218 200501 2 002	MAHASISWA DWIKI PRATAMA PUTRA NRP. 3113041027	JUDUL GAMBAR	KETERANGAN
			WESEL JALAN KERETA API	

# EMPLASEMEN ST. KARANGASEM

KM 6+855

Ketinggian +428 Dari Muka Air Laut



NO	SUDUT	WESEL		TYPE REL	LIDAH	TERLAYAN		NO SEPUR	TYPE REL	EMPLASEMEN	
		ARAHAH KANAN	KIRI			PUSAT	SETEMPAT			PANJANG FISIK	PANJANG TERPAKKAI
1	1:10	-	Ya	R.42	Pegas	Ya	-	1	R.33	504	451
2	1:10	Ya	-	R.42	Pegas	Ya	-	1	R.42	534,5	576
3	1:10	-	Ya	R.42	Pegas	Ya	-	III	R.33	509,6	459,1
4	1:10	Ya	-	R.42	Pegas	Ya	-	Baduk	R.42	156	
5	1:10	-	Ya	R.42	Pegas	Ya	-				

DESAIN GEOMETRIK, STRUKTUR, BESERTA METODE PELAKSANAAN

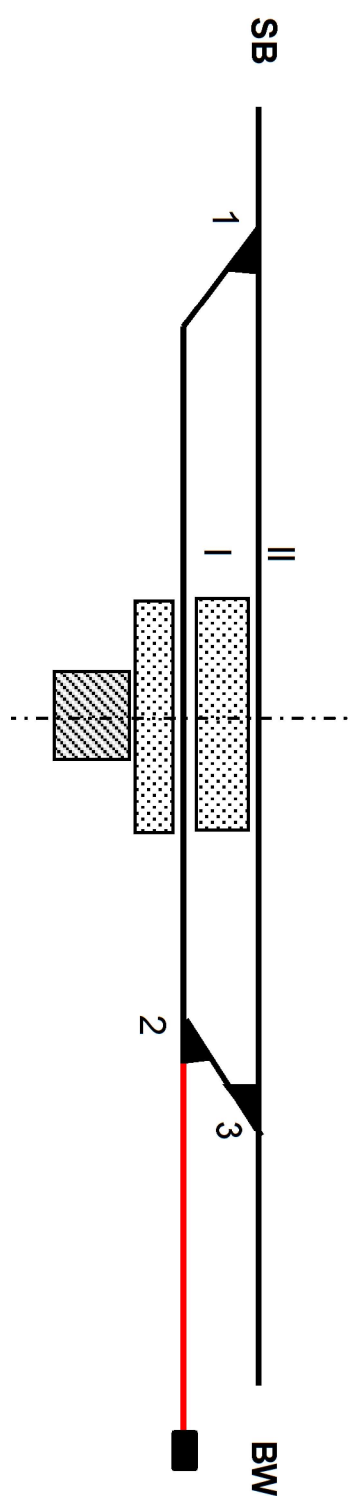
PEMBANGUNAN JALUR REL GANDA (DOUBLE TRACK) TRASE

BANYUWANGI BARU-KALIBARU, KAB. BANYUWANGI

# EMPLASEMEN ST. ARGOPURO

KM 12+630

Ketinggian +428 Dari Muka Air Laut



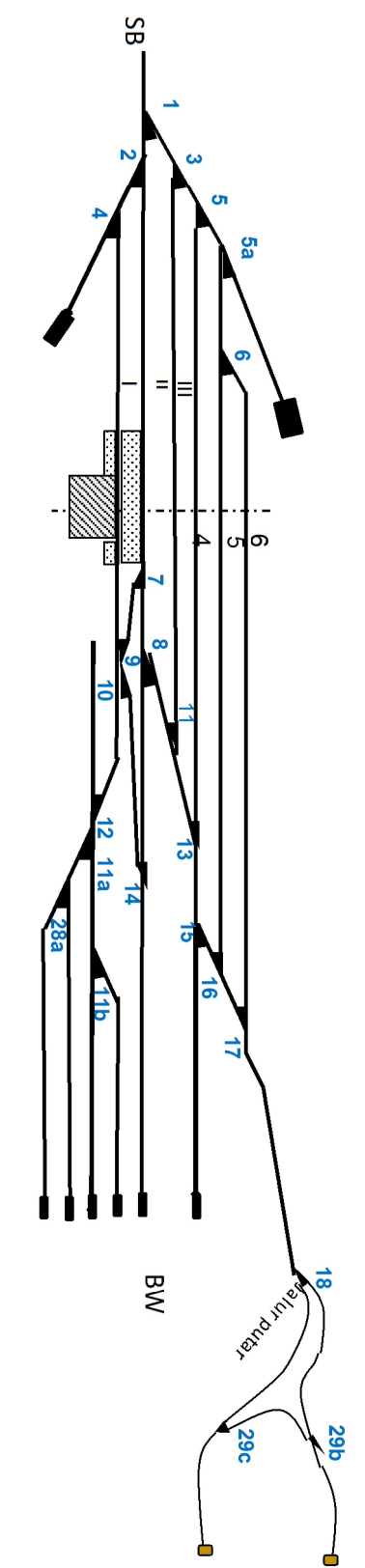
WESEL				SEPUR EMPLASEMEN			
NO	SUDUT	ARAH WESEL KANAN	TYPE REL	LIDAH	TERLAYAN PUSAT SETEMPAT	NO SEPUR	TYPE REL
		Ya	-	R.42	Ya	I	PANJANG FISIK
1	1:10	Ya	-	R.42	Ya	I	R.33
2	1:10	-	Ya	R.42	Ya	II	586,4
3	1:10	-	Ya	R.42	Ya	R.42	595
				Pegas		Baduk	555
				Pegas			126

DESAIN GEOMETRIK, STRUKTUR, BESERTA METODE PELAKSANAAN PEMBANGUNAN JALUR REL GANDA (DOUBLE TRACK) TRASE BANYUWANGI BARU-KALIBARU, KAB. BANYUWANGI	DOSEN PEMBIMBING	MAHASISWA	JUDUL GAMBAR	KETERANGAN
	IR. CHOMAEDHI CES.GEO NIP. 19550319 198403 1 001  AMALIA FIRDAUS M. ST., MT. NIP. 19770218 200501 2 002	DWIKI PRATAMA PUTRA NRP. 3113041027	WESEL JALAN KERETA API	

# EMPLASEMEN ST. BANYUWANGI BARU

KM 18+484

Ketinggian +428 Dari Muka Air Laut



NO	SUDUT	ARAH WESEL		TYPE	LIDAH	TERLAYAN		NO	JALUR	JALUR EMBLASSEMEN	
		Kiri	Kanan			PUSAT	SETEMPO			REL.	PANJANG
1	1:10	KI	Kan	R-42	Pegas	Ya	-	1	R-42	509	344
2	1:10	KA	KA	R-42	Pegas	Ya	-	II	R-42	546	344
3	1:10	KA	R-42	Pegas	Ya	-	-	III	R-42	497	351
4	1:10	KA	R-42	Pegas	Ya	-	-	4	R-42	536	334
5	1:10	KA	R-42	Pegas	Ya	-	-	5	R-33/42	478	346
5a		KA	R-38	Pegas	Ya	-	-	6	R-33	434	386
6	1:10	KI	R-42	Pegas	Ya	-	-	6	R-42	75	344
7	1:10	KA	R-42	Pegas	Ya	-	-	Spidemo	LOG	R-42/R3	205
8	1:10	KI	R-42	Pegas	Ya	-	-	Spidemo	KR1	R-42/R3	182
9	1:10	KA	R-42	Pegas	Ya	-	-	Spidemo	KR2	R-42/R3	263
10	1:10	KA	R-42	Pegas	Ya	-	-	Spidemo	KR1	R-42	267
11	1:10	KA	R-42	Pegas	Ya	-	-	Spidemo	KR2	R-42	564
11a		KA	R-42	Pegas	Ya	-	-	Spidemo	KR1	R-42	128
11b	1:10	KI	R-42	Pegas	-	ya	-	Muat Bongkar		R-42	121
12	1:10	KA	R-42	Pegas	Ya	-	-	Luncur 1		R-42	147
13	1:10	KI	R-42	Pegas	Ya	-	-	Luncur 2		R-42	100
14	1:10	KI	R-42	Pegas	Ya	-	-	Luncur 3		R-42	
15	1:10	KI	R-42	Pegas	Ya	-	-				
16	1:10	KI	R-42	Pegas	Ya	-	-				
17	1:10	KI	R-42	Pegas	Ya	-	-				
18	1:10	KI	R-42	Pegas	Ya	-	-				
28a	1:10	KA	R-42	Pegas	-	ya	-				
29b	1:10	KA	R-42	Pegas	-	ya	-				
29c	1:10	KI	R-42	Pegas	-	ya	-				

DESAIN GEOMETRIK, STRUKTUR, BESERTA METODE PELAKSANAAN

PEMBANGUNAN JALUR REL GANDA (DOUBLE TRACK) TRASE

BANYUWANGI BARU-KALIBARU, KAB. BANYUWANGI

DOSEN PEMBIMBING

IR. CHOMADEHI CES. GEO  
NIP. 19550319 198403 1 001

MAHASISWA

DWIKI PRATAMA PUTRA

JUDUL GAMBAR

KETERANGAN



Dwiki Pratama Putra, penulis dilahirkan di Banyuwangi, 20 Juli 1994, merupakan anak kedua dari dua bersaudara. Penulis telah menempuh pendidikan formal di SD Negeri 1 Rogojampi, SMP Negeri 1 Rogojampi, SMA Negeri 1 Giri Banyuwangi. Setelah lulus dari SMA tahun 2013, penulis melanjutkan kuliah di Program Studi D-IV Teknik Infrastruktur Sipil ITS pada tahun 2013 dan terdaftar dengan NRP 3113.041.027.

Pada Program Studi D-IV Teknik Infrastruktur Sipil ini penulis mengambil Bidang Studi Bangunan Transportasi. Penulis pernah aktif dalam kepanitiaan D'VILLAGE 2014 dan 2015 yang diselenggarakan oleh Departemen Teknik Infrastruktur Sipil ITS. Selain itu penulis juga aktif dalam berbagai pelatihan kemahasiswaan dan seminar baik nasional maupun internasional.

Ketertarikan pada bidang Jalan Kereta Api, membawa penulis untuk menjadikannya tugas akhir terapan. Oleh karena itu, semua saran diharapkan dapat diberikan oleh pembaca dan disampaikan melalui email [dwiki.pratama.putra@gmail.com](mailto:dwiki.pratama.putra@gmail.com)